

colecția • radio și televiziune • 102

C. Luca
L. Zănescu

Montaje acustice pentru difuzoare

ing. Cornel Luca
ing. Liviu Zănescu

MONTAJE ACUSTICE PENTRU DIFUZOARE



Editura tehnică
Bucureşti – 1972

Lucrare prezentă încooperarea difuzoarelor cu elemente și suflare, cît și montare în incintă și acțiunea lor.

Să se poate o săptămână de realizare a incintelor și parțială aruncă să nu descrie rețelele de reproducere utilizate în incintele care cuprind elemente acustice.

Cu toate că unele de obicei cu performanțele electrice și acustice ale difuzoarelor fabricate în masă și străinătate, și cu dimensiunile incintelor foarte mici, de la mijlocul difuzorului utilizat la mijlocul de la mijlocul difuzorului utilizat.

În ceea ce privește pentru difuzoarele complexe și mai sofisticate, lăsată lăsată în colecția „Racorduri și tehnici” adăposte celor care doresc să realizeze cu mijloace proprii o instalație bună și producări sonore de înaltă fidelitate.

INTRODUCERE

Reproducerea pe cale electroacustică a sunetului impune prezența la ieșirea lanțului de transmisie a unui transductor capabil să transforme oscilațiile electrice în oscilații mecanice și să asigure, în acest fel, controlul auditiv al calității și conținutului programului sonor. Transdutorul, la care ne referim, este cunoscut sub denumirea de difuzor.

Cu structuri, posibilități și caracteristici situate în limite dintre cele mai largi, în funcție de principiul de functionare, de soluțiile constructive și de calitatea materialelor din care sunt confectionate, difuzoarele rămân, chiar și astăzi, componentele cele mai „dificele” ale lanțului electroacustic. Se întâmplă adeseori ca un difuzor cu valori neconvenabile ale factorului de distorsiuni armonice, ale factorului de distorsiuni de intermodulație, ale randamentului și cu o curbă de răspuns caracterizată prin pronunțate denivelări, să anuleze bunele performanțe tehnice ale celorlalte componente ale lanțului de transmisie.

Dar, cu cit sunt mai controversale părerile privind calitățile tehnice ale difuzoarelor, cu atât mai mare este atenția ce li se acordă de către constructori și de către amatorii de reproduceri sonore de bună calitate. Firmele constructorice se străduiesc să obțină, pentru majoritatea parametrilor tehnici, valori apropiate de cele optime, în condițiile unor prețuri acceptabile.

O preocupare asemănătoare există și pentru montajul acustic al difuzorului, în sensul de a-i adapta acestuia planoul sau incinta acustică cea mai potrivită.

Deoarece, practic, este dificil de construit un difuzor care să satisfacă cerințele de calitate impuse într-o repro-

ductor: ing. MARIA GANEA

Tehnoredactor: MARIA IONESCU

Copertă: CONSTANTIN GULUȚĂ

datorită faptului că sunt realizate unele mări și deosebite diferențe de densitate măslinie, într-un interval de 10-15% din valoarea de la poartă. De aceea, se adoptă soluția utilizării unui anumit tip de difuzor, mai său chiar mai multe difuzori. Există date care arată difuziunea asigurată, în domeniul frecvențelor de emisie, a acestor difuzori. În ceea ce privește rezistența la impact, este evident că, majoritatea modelurilor de difuzori creștetă pentru constructori dificultatea legată de stabilitatea amplasamentului celuia nici nu este pe un suport aproape frontal, ci și de separarea bocanului de frecvență de recipientul de secundă difuzor. În plus, și în cazul unui banchet acustic trebuie să satisfacă și cerințele celelalte personale care consideră mai importante confortul interioar al încăperii de auditie, făță de înălțimea sau cărora. În acest sens, trebuie amintită că constructorii de difuzori în scopul miniaturizării și a creșterii duratării ușor infățișării care să se potrivească difuzorilor mobilierului ce se folosește.

Totuși, acestor probleme se enunță să da un răspuns întreaga dezvoltare recentă din partea de deschirere a tehnicii de difuzoarelor, cu și fără montaj acustic, de prezentare și posibilităților de a le realiza, cu mijloacele amatoriile de reproducere de înaltă fidelitate. În ceea ce urmărește vor fi descrise succint și rețelele de secundă utilizate în ansamblurile care cuprind mai multe difuzoare. Tabele cu performanțele electrice și acustice, caracteristice difuzoarelor și incintelor, fabricate în tehnici atât de obișnuite, completeră această lucrare.

DIFUZORUL ELECTRODINAMIC

II. CLASIFICARI, DEFINIȚII

Inainte de a prezenta modul de funcționare a difuzoarelor electrodinamice, sunt necesare unele precizări privind clasificarea lor, arătându-se totodată criteriile grupării pe diferite categorii. Astfel, difuzoarele se pot împărtăsi în două mari clase: prima, în care sunt cuprinse cele două tipuri de difuzare cu radiatii directă și, ca de a doua, care fac parte difuzoarele cu pilule. În ceea ce privește radiatia directă, elementul radiator, numiturnic, se joacă direct asupra mediului ambient, fără a exista o loptă de impedanță acustică. Difuzoarele cu pilule, din contră, permit copierea membranăi în mediu acustic juritor, prin intermediul unei pilule adaptatoare de impedanță.

Dintre aceste două categorii de difuzare, cele cu radiatie directă cu noile risipări de către mărimea lor și dimensiuni relativ mici, fabricarea lor nu este deosebit de complicate, costul este relativ scăzut, iar performanțele tehnice satisfac, de multe ori, chiar și pe cerințele celor exigenți.

Tipurile de difuzare cu radiatii directe pot fi tot atât de numeroase ca și transductoarele cu care derivă: electrodinamice, electromagnetice, electrostatice, piezoelectric. Dintre acestea, s-au impus prin cărățile tehnice două categorii: cele electrodinamice și cele electrostatice.

que se ha de tener en memoria que
el que no tiene la capa de

— com o resultado de frequentar os difuzos de banda —

Înainte de a se închide, acușările sunt montate în exclusivitate către cunoscătorii în cale de urmăză.

În cadrul cercorului, mereu inclusul de la etiologie și factorii influenți fiecărui element compozit, se poate stabili și în dedesubt principalele date tehnice privind ale cărora se face referire de la unor cercor de fabricație indigenă.

12. DESCRIEREA DIN CZOFULUI ELECTRODINAMIC

Difuzorul electroacustic este utilizat de peste patru de ani în tot acest interval de timp, performanțele fiind foarte bune și impreună cu incordul continuu, existând permanent disponibile și găsi materialele care să asigure funcționarea bună a fiecărui subansamblu: magnet, membrana, bobină, etc.

Un alt tip de electrodinamice este alcătuit dintr-un șasie, în care este fixată cu conductoarele mobile, un magnet permanent cu două elemente de suspensie și de centrare (fig. 11). Conductoarele mobile sunt puse în cimpul de inducție magnetică creat în interiorul inelar al magne-

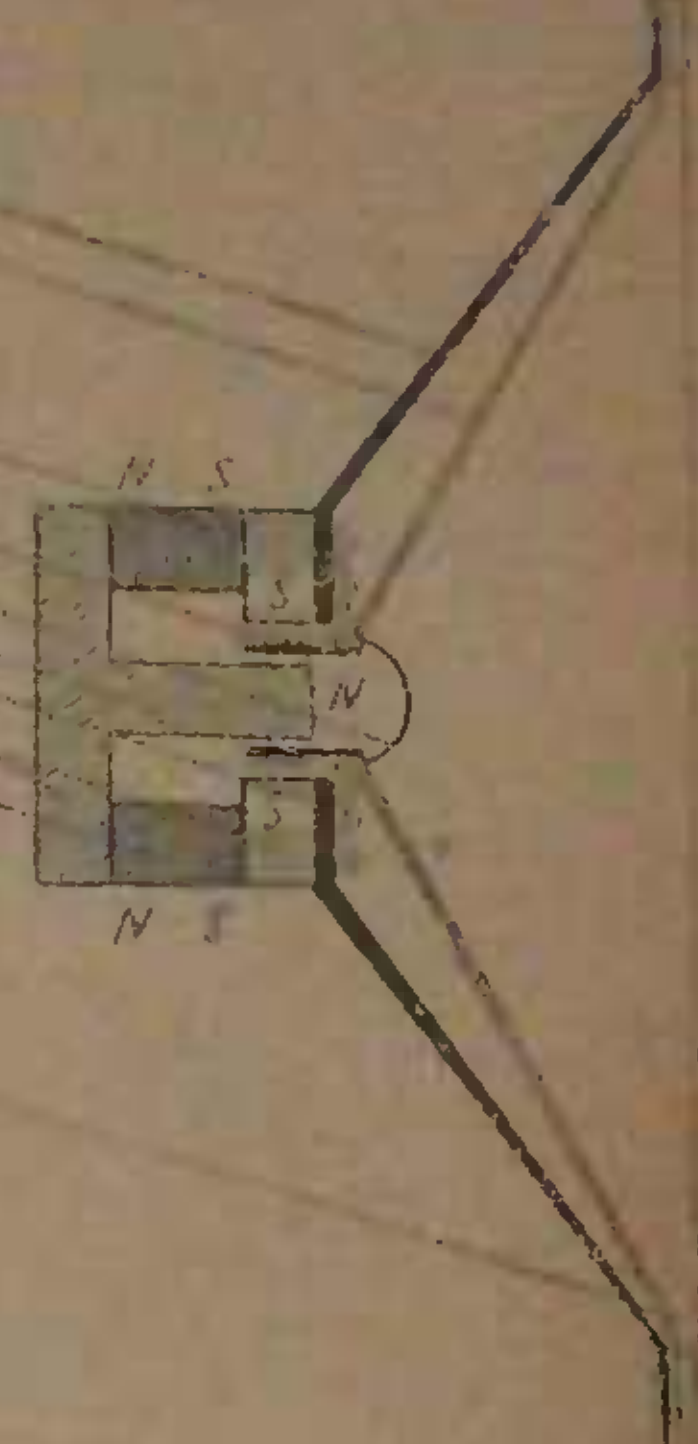


Fig. 10. Difuzional electrode-nanop.

1 -- șoarecă; 2 -- numărana; 3 -- înalt personal; 4 -- vârstă; 5 -- pacă de cetezare; 6 -- suspensie circulară; 7 -- boala (modificată); 8 -- flange din fier (modificată); 9 -- capă de protecție pentru amfifului; 10 -- bolă (interiorul cilindric din fier modificat).

mirile de suspensie circulară și piesă de centrat. Suspensia circulară (rilele) reprezintă o zonă de undulații concen-trice situate la baza conului și realizată din același ma-terial ca și membrana sau din alte structuri elastice cum ar fi: cauciucul, masele plastice, pielea etc. Piesa de cen-trare (spiderul) situată la linia de juncțiune dintre con și bobina mobilă este confectionată, în general, din țesături impregnate.

Cele două extremități ale bobinei sunt conectate la două capse fixate pe membrană. Două conductoare electrice, din cupru, flexibile, asigură legătura dintre aceste capse și cele două borne, izolate, aflate pe șasiul difuzorului.

căci el se poate apăsa într-un electric de audio-curență. În cadrul extinției difuzorului, fără să perturbe deplasarea sa din punct de vedere fizic, în ultimul timp, cele două capse de pe ambalajul său sunt eliminate, legătura dintre terminala joasă a bobinei mobile și firele flexibile făcându-se prin sudură electrică sau lipire cu văzitor.

Funcționarea difuzorului electrodinamic se bazează pe un cunoscut fenomen fizic, anume, că o bobină ușoară parcurgătoare de un curenț electric i de audios frecvență, situată într-un câmp de inducție magnetică B , este supusă unei forțe care îndreptățește să se deplaceze într-o direcție perpendiculară pe planul format de direcțiile curențului și modului magnetic. Forța produsă este proporțională cu valoarea i , expresia matematică fiind:

$$\mathcal{F} = Bli. \quad (1.1)$$

Dacă \mathcal{F} este forță exprimată, în N;

B — inducție în întreier, în T;

l — lungimea conductorului bobinei mobile, în m;

i — curențul în bobină, în A.

Dacă s-ar reprezenta, într-o prima aproximare, circuitul electric al difuzorului electrodinamic, s-ar constata că este alcătuit din elementele R_e și L_e (rezistență și inductivitatea conductorului), la care s-ar adăuga și impedanța internă R_g a generatorului, reprezentată de impedanță de ieșire a amplificatorului de putere. Pentru completarea acestui circuit electric mai trebuie inserată astfel o impedanță de mișcare Z_m , care rezultă ca o reacție în circuitul electric, a mișcării sistemului mecanic. Cind impedanța mecanică a sistemului are o valoare foarte mare (cazul blocării sistemului mobil), impedanța de mișcare devine nulă, iar impedanța totală a circuitului electric este egală cu cea a conductorului mobil. Dacă, în acest sistem mobil se deplacează liber, impedanța totală a circuitului electric al difuzorului poate fi exprimată prin relația:

$$Z_t = Z_e + Z_m, \quad (1.2)$$

în care Z_e este impedanța conductorului ($Z_e = \sqrt{R_e^2 + X_e^2}$), Z_m — impedanța de mișcare.

Circuitul electric simplu este arătat în figura 1.2.

Pentru a trece la circuitul electric al difuzorului electrodinamic, și arătați în figura 1.2, trebuie să se adauge anumite noțiuni. Astfel, fiecare element electric



Fig. 1.2. Circuitul electric al difuzorului electrodinamic

caracterizează sistemele mecanice și acustice pot fi reprezentate într-un mod similar cu cel al elementelor care intră în alcătuirea circuitelor electrice. Se poate stabili în acest fel o analogie electro-mecano-acustica, care facilitează înțelegerea funcționării sistemelor respective.

Pentru precizarea noțiunilor, săi prezentate în figura 1.3, mărimile fundamentale ale circuitelor electrice și echivalentele lor mecanice. Se constată astfel (fig. 1.3, c) că inductanței L (în henri) și corespunde masa M (în kilograme); tensiunea e (în volt) are ca mărimi echivalente forța \mathcal{F} (în newtoni), iar curențul i (în amperi) își găsește echivalentă în viteza v exprimată în metri/s cunda. Astădăr, se poate afirma că după cum într-un circuit electric o tensiune variabilă e , aplicată la bornele unei inductanțe L , face să circule un curenț i , tot așa, în circuitul mecanic echivalent, o forță \mathcal{F} aplicată unei mase M își provoacă o deplasare cu viteza v . Relațiile matematice corespunzătoare sint:

$$\left. \begin{aligned} e &= L \frac{di}{dt} \text{ și, respectiv,} \\ \mathcal{F} &= M \frac{dv}{dt}. \end{aligned} \right\} \quad (1.3)$$

Capacitatea electrică C (in farad) este în relație cu h. valență distanțărea C (in metri) și cu sarcina electrică Q (in coulombi) și are corespondență în altă parte și (in ceea ce) în rezistorul (fig. 1.3, b). și în ceea ce

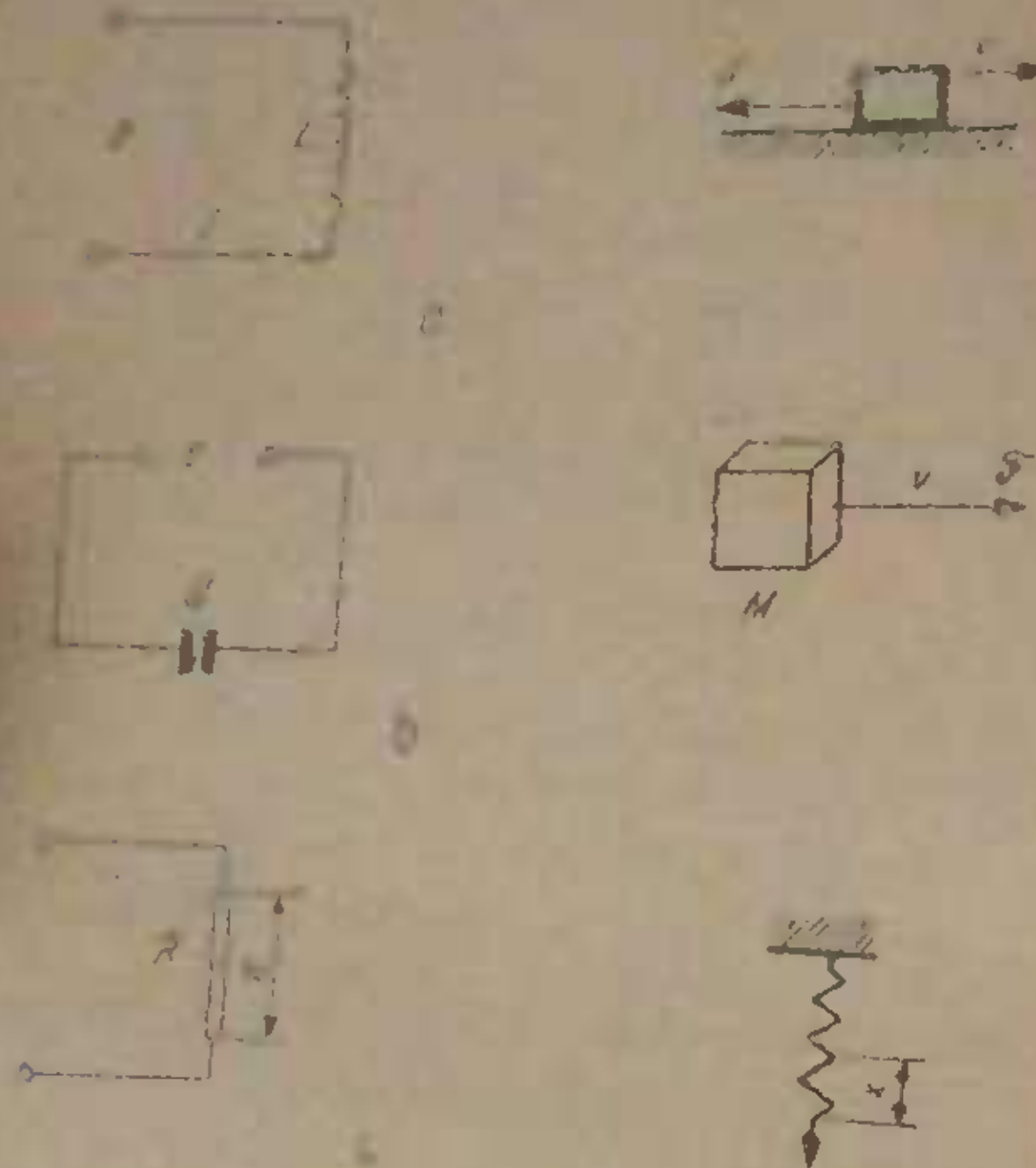


Fig. 1.3. Circuite electrice și mecanice echivalente

se reprezintă atâtă că dacă se aplică tensiunea V la bornele lui condensator C se produce o sarcină Q , fenomenul numit a emanației cu aplicarea unei forțe F asupra unui sistem de elasticitate C_m , care produce o alungire x .

În ambele cazuri se stabilesc egalitățile:

$$V = \frac{Q}{C} \text{ și } F = \frac{x}{C_m} \quad (1.4)$$

În fizică rezistență electrică R (in ohmi) își găsește echivalentul în circuitul mecanic în rezistență mecanică R_m

(în fizică rezistență mecanică R_m este rezistență R , traversată de un curent i mecanic și exercitat de forță F , ad. așa, un corp, căruia îi este aplicată o forță mecanică R_m , imprimându-i-o viteză v , ar trebui să se obțină unghiul θ , astfel indicând valoarea rezistenței

$$e = R_m v \text{ sau } R_m = \frac{e}{v} \quad (1.5)$$

De remarcat că rezistența mecanică R_m există, în circuitele mecanice, pierderile de energie care se dă nu sunt ușor frâneri, fie radiației (crearea de unde sonore).

Dică în un difuzor electrodinamic, sistemele mecanice în vibrație au o anumită viteză, aerului antrenat de acest sistem își se imprimă o aceeași viteză. Radiația energetică în mediul înconjurător se realizează prin deplasarea particulelor de aer care vin în contact cu membrana difuzorului, aflată în stare de vibrație. Această, la rândul ei, întâmpină în deplasarea sa, o rezistență din partea particulelor de aer. Este pusă, astfel, în evidență o altă mărime, denumită *impedanță de radiație*, notată cu Z_r . Ea are un caracter reactiv, de inertie, datorită maselor acrului și un alt caracter rezistiv, imprimat de frecările provocate de viscozitatea mediului în care are loc radiația. Notând cu M_s și M_m masele bobinei mobile și a conului membranei (toate ex-

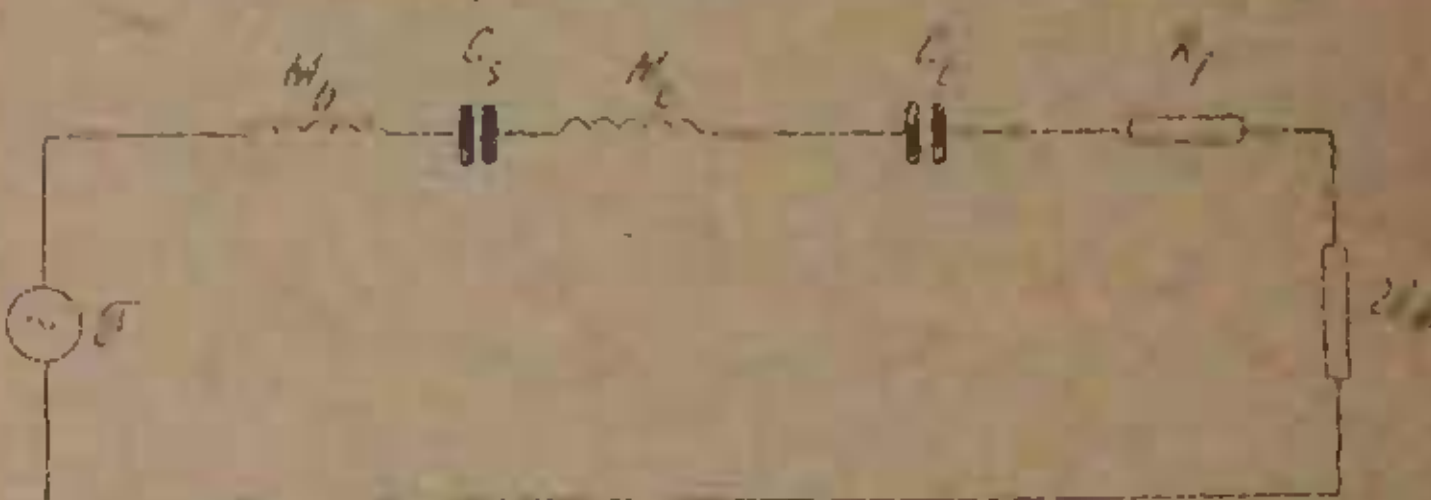


Fig. 1.4. Circuitul electric „analog” al sistemului mecanic al difuzorului electrodinamic.

primite în kilograme), cu C_s și C_t elasticitățile susținute circulare și piesei de centrare (in m/N), se poate reprezenta circuitul electric echivalent al sistemului mecanic (așa cum rezultă și din figura 1.4).

În ceea ce privește valoarea puterii acustice radiante de difuzor, acestea depind de mărimea rezistenței de radiație și sunet.

$$\mathcal{P}_a = R_t v^2, \quad (1.6)$$

în care: \mathcal{P}_a este puterea acustică, în W;

R_t — rezistența de radiație, în Ω M MKS;

v — viteză de deplasare a diafragmei, în m/s.

Analizând relația 1.6, se observă că, pentru obținerea unei puteri acustice de valori ridicate, este necesar să se realizeze rezistențe de radiație cît mai mari. Acest deziderat trebuie trasat în realitate, pentru un domeniu largit de frecvențe. De pildă, la frecvențe joase, la care lungimea de undă este mult mai mare decât diametrul difuzorului, rezistența de radiație se exprimă prin relația:

$$R_t = \frac{\rho_0}{2\sigma_0} S v^2 = \frac{\rho_0}{2\sigma_0} (\pi a^2) v^2, \quad (1.7)$$

în care: ρ_0 este densitatea aerului, în kg/m^3 ; la temperatură de 20°C are valoarea de $\rho_0 = 1,18 \text{ kg/m}^3$;

v — viteză sunetului în aer în m/s; ($c_0 = 344 \text{ m/s}$);

S — suprafața activă a difuzorului, în m^2 ;

σ_0 — puterea, în $\frac{1}{s}$;

a — raza membranei difuzorului, în m.

În ceea ce privește rezistența de radiație proporcională cu suprafața membranei, după cum se poate constata și din expresia matematică 1.8:

$$R_t = \rho_0 c_0 \pi a^2. \quad (1.8)$$

Se constată că, pentru cea mai mare parte a spectrului de audio, valoarea ridicată a rezistenței de radiație poate fi atinsă prin utilizarea unor membrane de dimensiuni mari.

Dacă, cum se aștează mai arătat, impedanța de radiație are o componentă rezistivă și una reactivă, reprezentată de reactanță de radiație. Această reactanță este proporțională cu masă de radiație care capătă, la rindul său, dimoibite în funcție de domeniul de frecvențe în care se situează sunetul transmis prin intermediul di-

fuzorului. În ceea ce privește joasele domenii de rezistență, se punde numai de masă suprafacerii active a difuzorului (relația 1.9):

$$M_s = \frac{8}{3} \pi a^2, \quad (1.9)$$

În domeniul frecvențelor înalte, valoarea ei este funcție de raza a și de o mare numărătore notată cu k (care este invers proporțională cu lungimea de undă λ a sunetului transmis):

$$M_s = \frac{2\rho_0 a}{k}, \quad (1.10)$$

în care $k = \frac{2\pi}{\lambda}$.

● Părțile componente ale difuzorului electrodynamic

Membrana este elementul care radiază energia acustică în mediul înconjurător iar materialele din care se construiește condiționează atât calitatea cît și costul întregului difuzor. Dintre cele mai frecvent întâlnite pot fi amintite pasta de celuloză cu numeroase variante de textură și fibrelor, metalele ușoare ca aluminiul și titanul, combinațiile între aluminiu și materialele plastice expandate în soluții constructive de tip „sandviș”, unele materiale plastice ca, de exemplu, polistirenul etc.

Forma membranei este de cele mai multe ori conică cu bază circulară, dar poate fi și eliptică sau, chiar, evazionă dreptunghiulară (fig. 1.5). Pe lângă membranele cu profil conic, mai pot fi întâlnite și altele, cu profil exponențial având parametri calitativi superioiri primelor. Unghiul de deschidere α (marcat și în figura 1.5), se încadrează între valorile de 90° și 145° , el putând influența caracteristicile de directivitate ale difuzorului (fig. 1.6).

Dacă profilul conic prezintă avantajul unei rigidități mai mari în cazul reproducării frecvențelor joase, în schimb el favorizează apariția unor subarmonice, deci a unor distorsiuni. Acestea sunt puse în evidență ori de către oră gradul de excitare a difuzorului a depășit un anumit prag, iar frecvența sunetului excitator se află sub 500 Hz (fig. 1.7). În vederea eliminării acestui inconvenient, constructorii au adoptat pe lângă profilul conic, că-

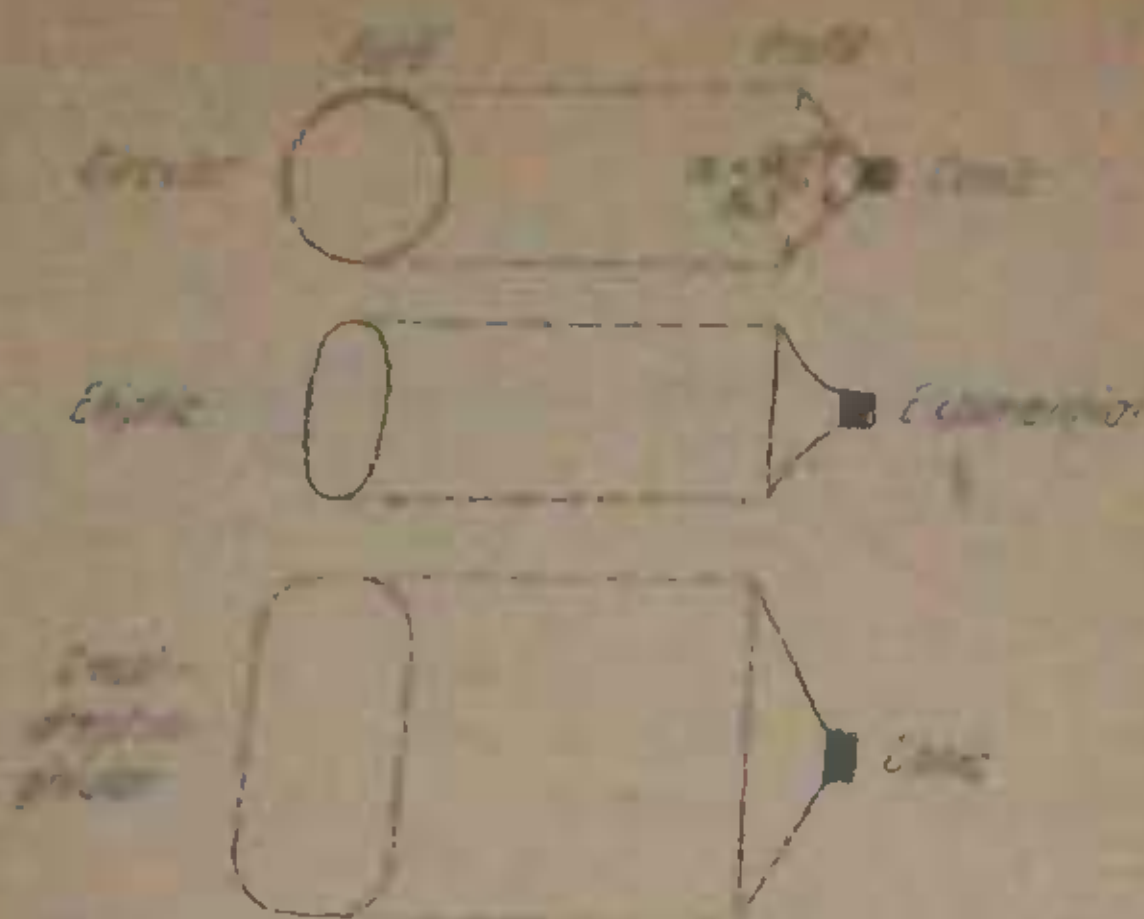


Fig. 1.5. Forme de membranele difuzoarelor electrodinginice.

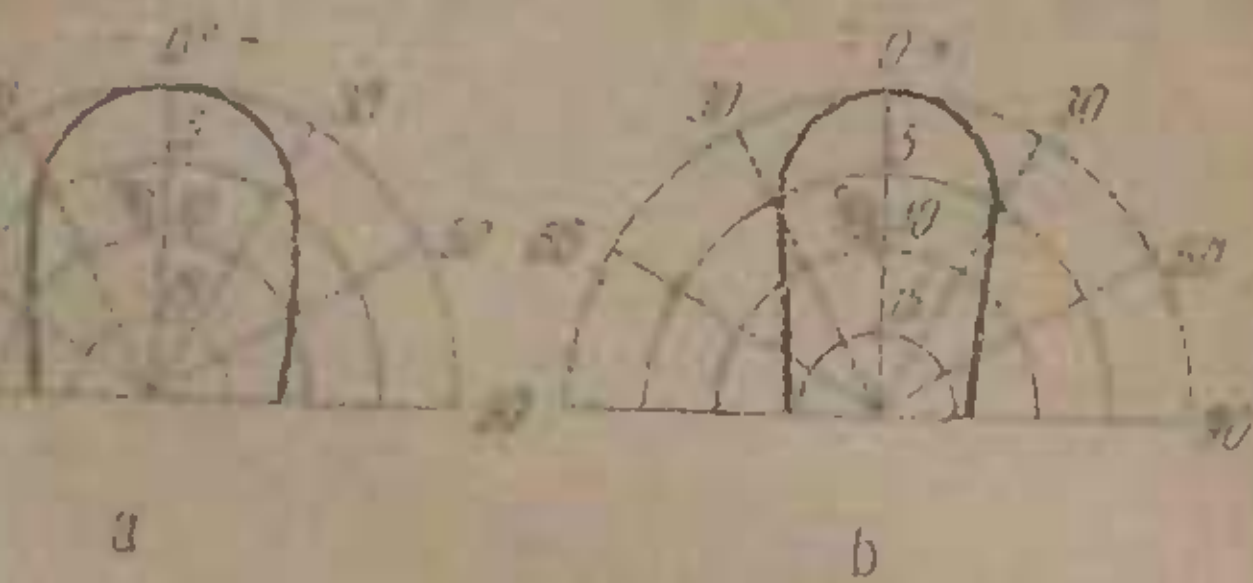


Fig. 1.6. Influența unghiului de deschidere a membranării supra direcțivității sale.
a - $\alpha = 130^\circ$; b - $\alpha = 190^\circ$.

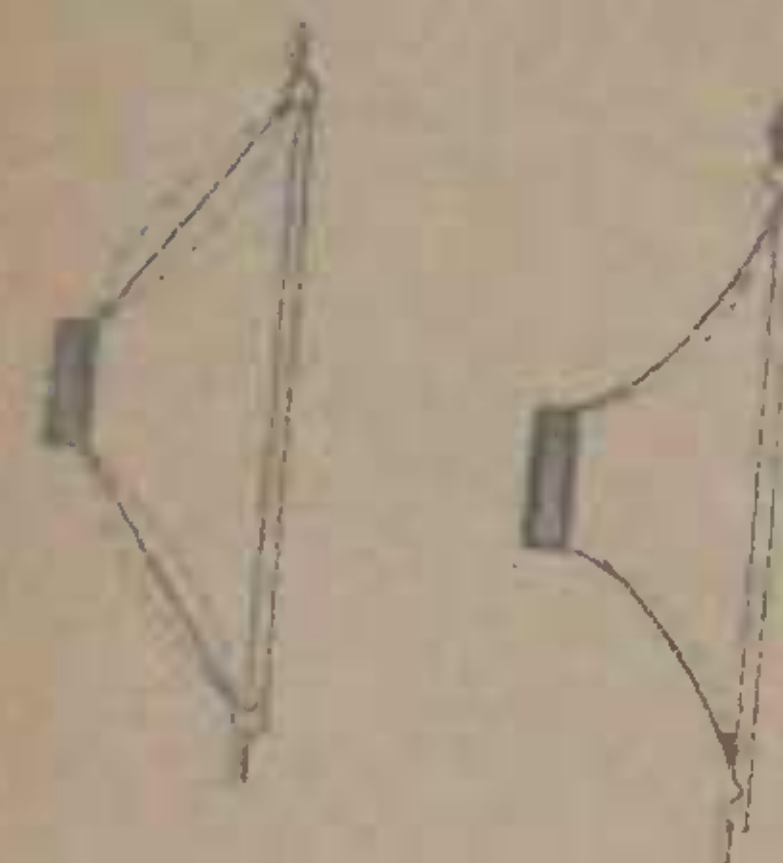


Fig. 1.7. Reducerea distorsiunilor subharmonice prin utilizarea unor membrane cu profil exponențial.

de, și nu este exponential, care permite — după cum se poate observa în dină-dupa 1.7 — ca membranele să se foloseze numai într-un anumit scop.

Parametrii construcției și membranei influențează și valoarea rendamentului electrodinginic. În figura 1.8 se prezintă variația rendamentului în funcție de raportul $\frac{M_b}{M_e + M_r}$. Cercetând caracteristica respectivă se constată că

rendamentul este maxim cind raportul $\frac{M_b}{M_e + M_r}$ este egal cu unitatea, adică în cazul în care se stabilește ună situație egalație:

$$M_b = M_e + M_r$$

Prin această relație matematică se arată că valoarea optimă a rendamentului se obține cind masa bobinei măabile M_b este egală cu suma maselor diafragmei M_e și a radiație M_r . Masa membranei, însă, are o valoare mai mare decit cea a bobinei. Rezultă, de aici, că pentru obținerea

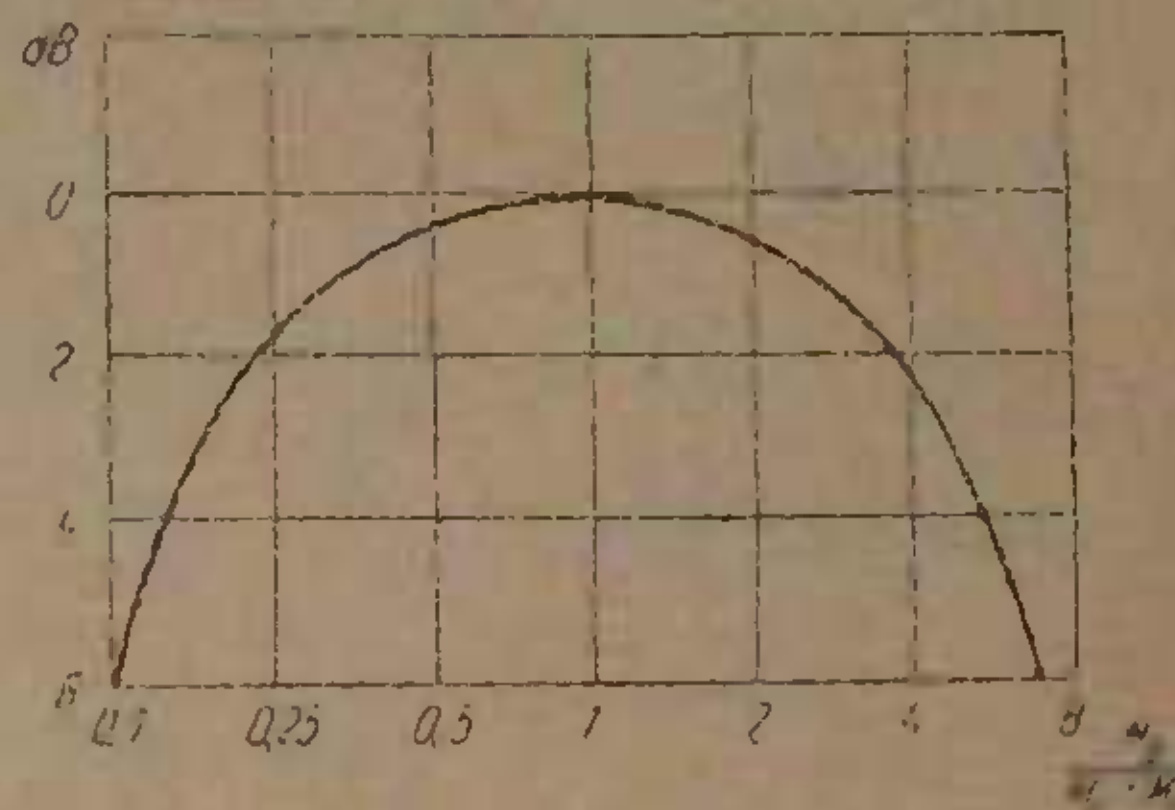


Fig. 1.8. Reprezentarea răndamentului unui difuzor electrodinganic în funcție de raportul $\frac{M_b}{M_e + M_r}$.

nerca unui bun răndament se impune realizarea unei membrane că mai ușoare. Această concluzie este însă în contradicție cu cele arătate anterior, cind s-a precizat că pentru a mări puterea acustică radiată este necesara o

membrana cu diametru cel mai mare, crea un impiedicător de oscilație. În fizică, totuși, membrane cu diametri mari și cu greutăți reduse, trăgătătoare deosebit de pronunțată, favorizează apariția undelor în membrană. Se constată, în acest fel, că răndăcina rezistenței difuzorului redusă sunt la difuzorul electrodynamic și cu mărime incomparabilă una față de celală. Rezistențele undulătoare sunt posibile numai în condițiile stabilizării unei compormis între valoile lor.

În ceea ce este capitol să se consideră că membrana este un sistem ideal. Această presupunere este valabilă, în practică, numai în domeniul frecvențelor joase. La frecvențe mai mari și multe zonele de vibrație se reduc pe măsură ce sunoul reproducă crește în înălțime. Apare evident că, în aceste condiții de reducere a diametrului și a rezistenței de radiație va fi și ea din ce în ce mai mică. Cu o compensare însă, se produce și o scădere a rezistenței a membranei.

La unde difuzoare, membrana prezintă anumite ondulații, ca cele din figura 1.9, cu rolul de a asigura legături

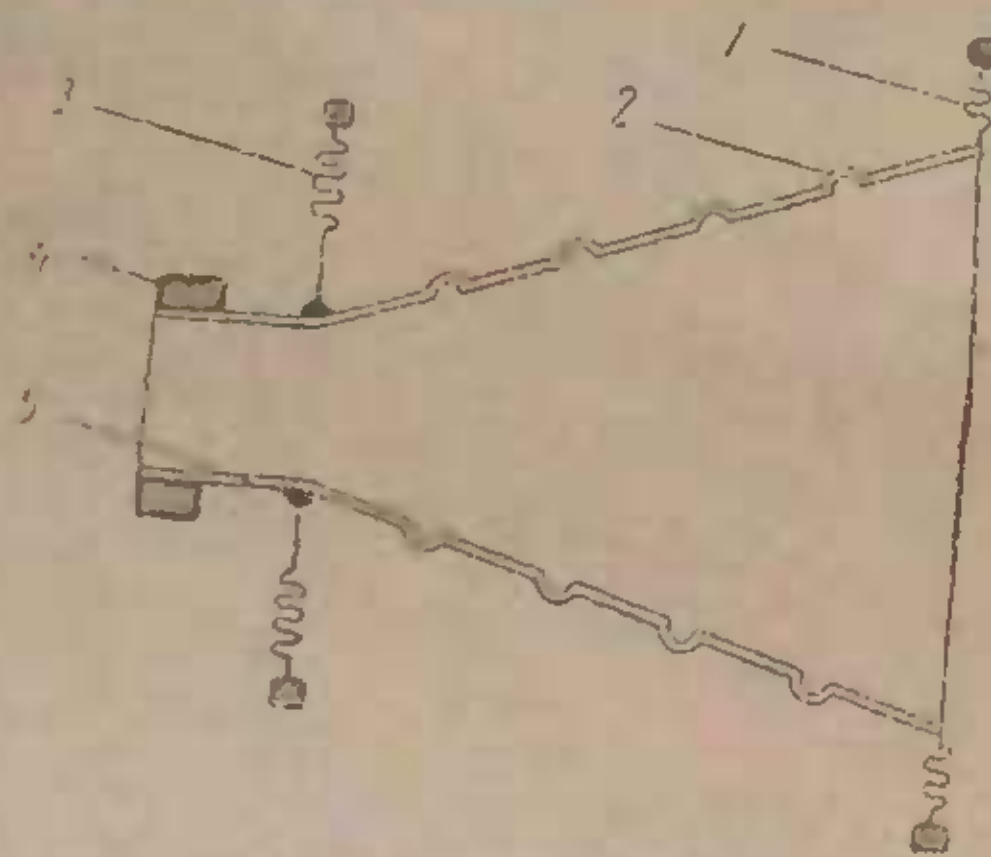


Fig. 1.9. Reprezentarea schematică a unei membrane cu ondulații.
1 — bobină mobilă; 2 — picior de centru; 3 — susținătoare; 4 — suport; 5 — membrană.

între zonele cu mase aproximativ egale. Aceste ondulații, cu săruri, realizează și discontinuitățile necesare evitării apariției undelor staționare în masa membra-

nă, fără urmări a existenței unei rezonanțe între sistemele de susținere și difuzorul și conțiunutul.

Magneti. Circuitul magnetic al difuzorului electrodynamic este alcătuit dintr-un nucleu permanent de formă neclerică sau cilindrică și din piezi și poluri, precum și bobine. În figura 1.10 s-au reprezentat ambele cazuri de magneti. Se observă că în cazul unui circuitor neîntregit, dintr-un magnet cilindric central, se obține o rezistență sensibilă a fluxului de scăpare. Dacă însă magnetul are fluxul util reprezentă aproape 50% din fluxul total, la magnetul cilindric central fluxul de scăpare este redus aproape în totalitate, asigurând în acest fel, utilizator, în întregime a fluxului magnetic. Reducerea fluxului de scăpare are repercusiuni nu numai asupra volumului magnetului, în condiții normale de funcționare, ci și asupra extinderii domeniului de utilizare a difuzorului cu magnet cilindric central. Aceste difuzeoare neperiferice în funcționarea tuburilor cinescop și nici antenele cu ferite pot fi folosite în receptoarele de radiodifuziune și televiziune. Utilizarea lor este de asemenea recomandată.

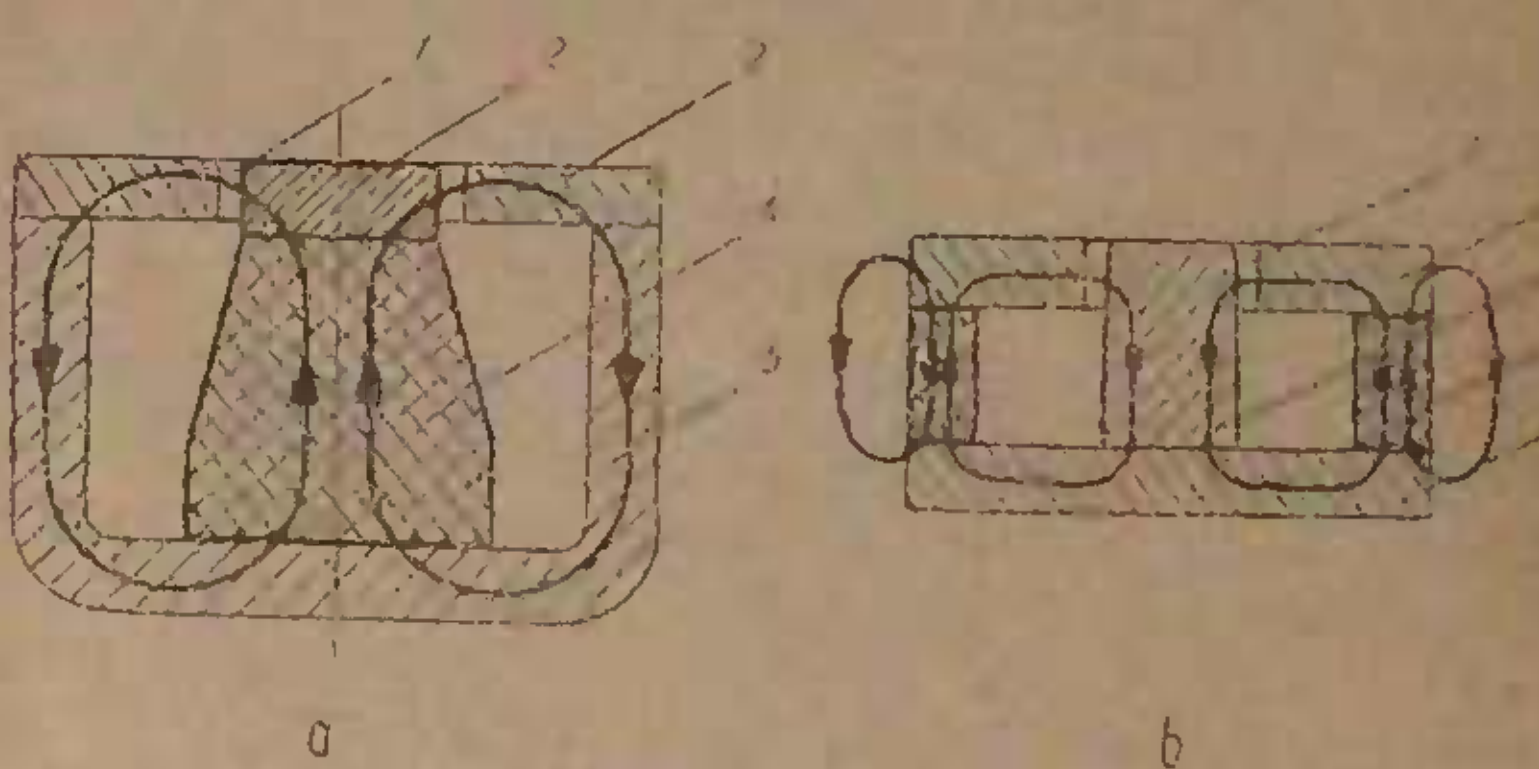


Fig. 1.10. Circuite magnetice:
a — magnet cilindric central; b — magnet înelar;
1 — intrețeler; 2 — piezi polare; 3 — bobină (bobină centrală din ferită); 4 — magnet; 5 — jumătate.

pentru studiourile de televiziune, unde instalațiile de audiofreqvență trebuie să funcționeze în comun cu cele de videofreqvență.

În ceea ce privește bobinele polare, acestora sunt realizate din ferită de fier cu secțiuni și dimensiuni variabile, conform cu dimensiunile în interiorul cărora se montează bobina mobilă. În aceste mărci este amplasată bobina mobilă.

Pentru obținerea unor mărci de calitate superioară se lucrează coacăciunile acestora din altele specii de fier, precum și coacăciunile cu bobine (nichel, cobalt, cupru, otel), sau din nichel (nichel, nichel, cobalt, cupru, otel), sau din nichel (nichel, nichel), aliași (otel, aluminiu, nichel și otel, aluminiu, nichel). Deși în ultimii zece ani au început să fie utilizate și bobine realizate din oțel metalic prețios (ferită) și se obțin mărci cu o amplitudine mai mare fără să fie nevoie să se mărească într-o măsură mai mare forța aplicată.

Calea magnetică poate influența, ca și în cazul bobinelor substanțiale, parametrii tehnici ai întregului difuzor. Așa, de pildă, un flux magnetic neuniform în bobină, în condiție de a crea unor deplasări importante ale bobinei, poate provoca apariția unor importante distorsiuni. Aceste rezultă din neproporționalitatea dintre forța de atracție a bobinei și tensiunii electrice de excitație și cea a inducției magnetice. Efectul apare evident dacă se cercetează figura 1.1. Dacă curentul electric este constant, iar proiecția lui pe direcția variabilă, atunci și forța \bar{F} este variabilă. Se urmărește remedierea acestui neajuns constă în dimensiunea întărișării ei de o astă manieră, încât acesta să poată suporta bobina mobilă chiar în cazul unor amplitudini mari.

Suspensia circulară (anel) reprezintă partea cu olandă concentrică situată la baza conului membranei. În dimensiune de mare serie rilele se obțin o dată cu sediul membranei, din același material. În zona ocupată de aceste ondulații, spre deosebire de restul suprafeței conului, materialul este mai subțire.

În valoarea îmbunătățirii calității difuzorului, la tipuri moderne, se folosesc suspensii circulare realizate din cauciuc sau materiale plastice.

Cealaltă componentă a sistemului de suspensie, piesa de centură, are drept scop ghidarea axială a bobinei mobile în interiorul inelar. Ea are forma unui disc ondulat care se aplică în zona de imbinare a conului membrană cu bobina mobilă. Piesa, confectionată în majoritatea ca-

zărilor din plastic, este realizată în formă de tubă, având o secțiune ovală cu lățimea mobilă. În lungimea sa este prevăzută pe un lățime mică și în altă direcție, astfel încât să se realizeze o ridicare din tubă de o parte și o scădere din tubă de pe partea opusă, ceea ce determină o modificare a formării difuzorului (v. fig. 1.1).

O suspensie necondensabilă poate constitui o capă a căterării căilei căii difuzorului. Dacă în amplitudinile mici, între forță aplicată și deplasarea membranei, există, în general, funcții de legătură liniare, în amplitudinile mari, apar limitări ale deplasării membranei, cauzate de rezistența și sistemul constructiv al difuzorului. Funcția de legătură între forță F și amplitudinea x este o curvă de gradul trei, de forma:

$$F = ax^3 + bx^2 \quad (1.1)$$

în care a și b sunt două constante pozitive care depind de caracteristicile sistemului de suspensie. Grafic, această funcție a fost reprezentată în figura 1.11. Prin urmare, în figura 1.11, se poate demonstra că în cazul unor suspensii mai puțin reușite din punct de vedere calitativ, nu po-

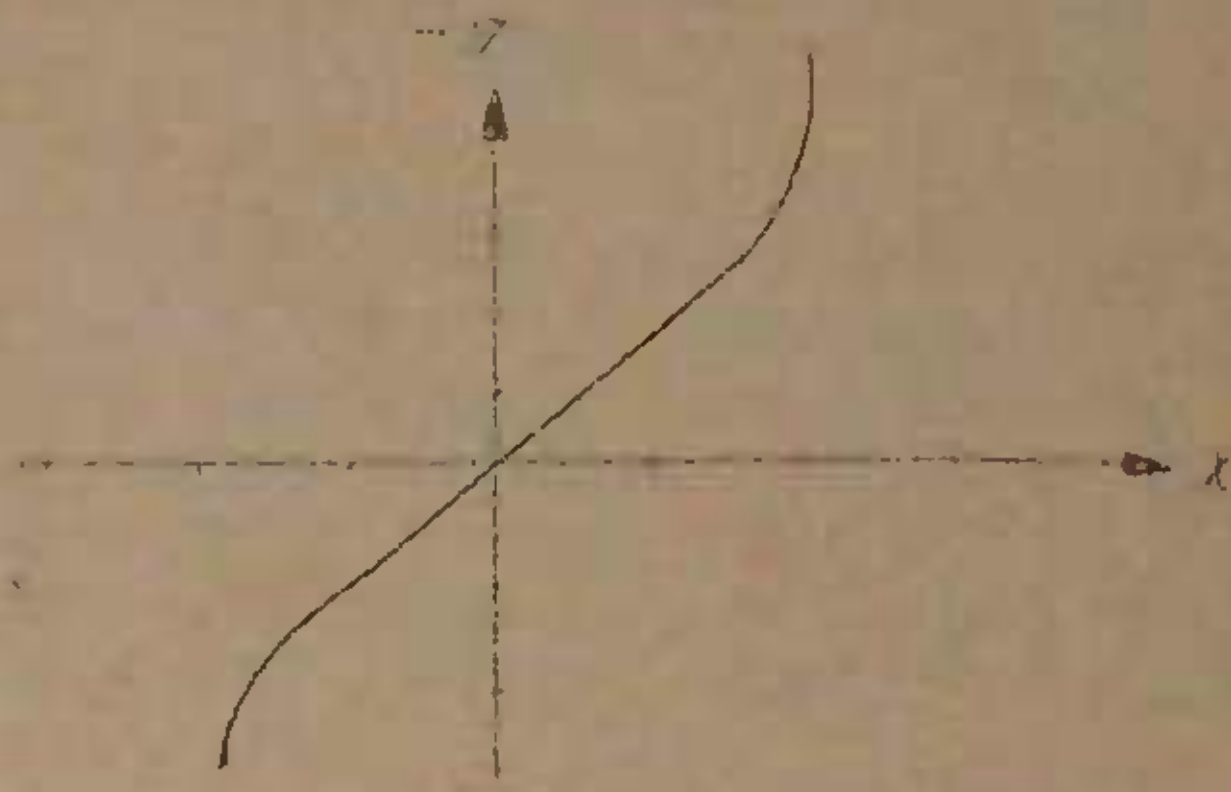


Fig. 1.11. Reprezentarea forței F în funcție de deplasarea x a membranei difuzorului.

derență în stabilirea factorului de distorsiuni devine armonica a treia. Distorsiunile, astfel create, sunt cu atât mai importante cu cât frecvența sunetului transmis este mai înaltă.

În ceea ce sub aspectul conservării calității difuzorului este un model în care variază viteza sistemului de susținere în funcție de frecvență. Pe caracteristica trăsată și prezentată în figura 1.12 se poate distinge o anumită regiune de înălțime.

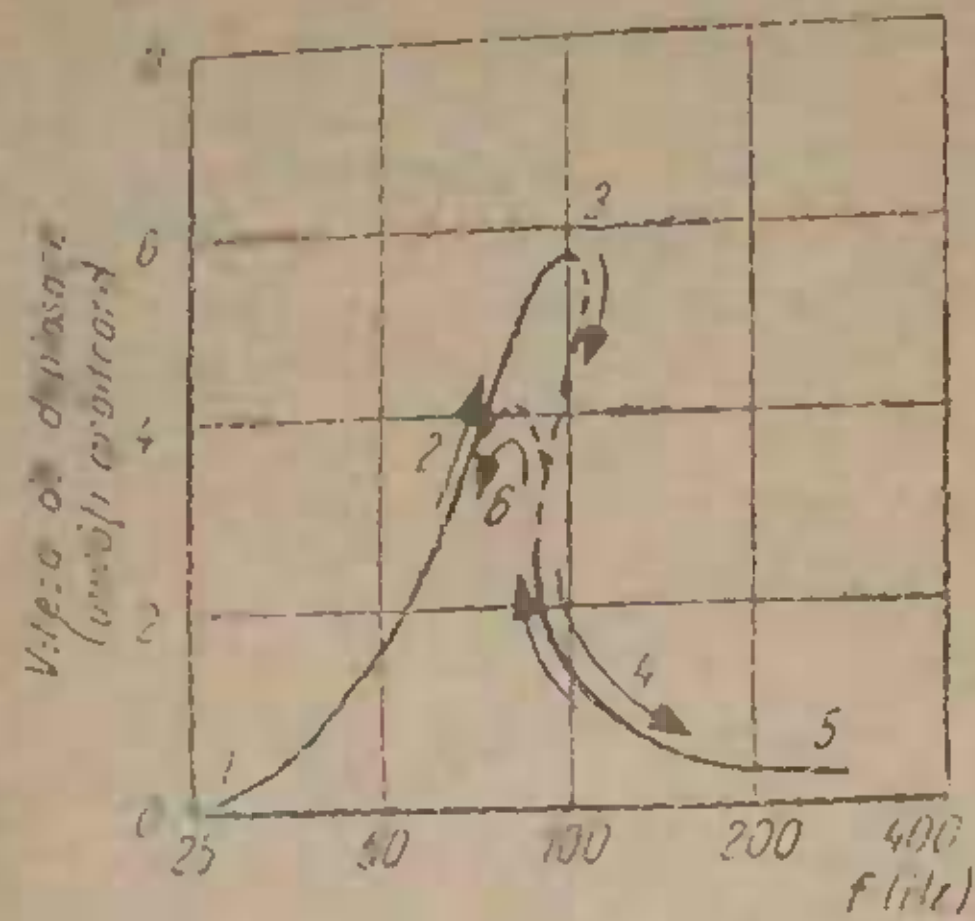


Fig. 1.12. Reprezentarea vitezei de deplasare a sistemului mobil a unui difuzor electrodinamic în funcție de frecvență.

bilitate. Cind frecvența ia valori crescătoare, curba trece prin punctele 1, 2, 3 și 4, în timp ce la descreșterea frecvenței punctele de trecere sunt 5, 4, 6, 2 și 1.

Săsiul reprezintă elementul rigid care susține toate piesele componente ale difuzorului. Principala condiție pe care trebuie să-o indeplinească este aceea de a nu se deformă ușor. Rigiditatea să prezinte, de asemenea, o condiție absolut necesară, pentru a-l feri de intrarea în vibrație.

Săsiul prezintă mai multe decupări, cu scopul de a permite spațiului membranei să intre în contact cu mediul ambient.

Difuzoarele de mare serie, cu cost redus, au săsiu confectionat din tablă ambutisată. Celorlalte difuzoare, de calitate superioară, își se realizează săsiul din aluminiu urmat și apoi prelucrat prin frezare și strunjire. Un astfel

de săsiu este deosebit de rezistent și precumă, printre biele, avantajul că, în cazul unei prinderi la suporturi fixe pe panou, nu se deformează cu ușurință.

1.3. CARACTERISTICILE TEHNICE ALE DIFUZOARELOR

Pentru ca un difuzor să corespundă din punctul de vedere al calității trebuie să satisfacă următoarele condiții:

- să aibă un randament de valoare ridicată;
- să permită reproducerea sunetelor într-o gamă de frecvențe cât mai largă;
- să nu producă distorsiuni mari.

Așa cum s-a mai arătat, în practică, îndeplinirea tuturor acestor cerințe este dificil de realizat. De cele mai multe ori se stabilesc relații de compromis între valorile diferitelor parametri. Alte ori, se acceptă valori scăzute pentru unii, în schimbul asigurării unor valori optime celorlalți parametri. Se poate, totuși, preciza că difuzoarele cu membrane de diametru mare favorizează reproducerea sunetelor de frecvență joasă, au un randament ridicat (cu valori în jur de 7—8%), și pot radi o putere acustică mare. Spre deosebire de acestea, difuzoarele de dimensiuni mici reproduc cu prioritate sunetele de frecvență înaltă, au randamente de valori mult mai scăzute și pot fi încărcate cu puteri electrice mult mici.

În legătură cu randamentul difuzoarelor, mai trebuie să se precizeze că, valoarea scăzută a acestuia implică existența unei importante disipații de căldură. Mișcarea bobinei mobile creează, însă, bune condiții pentru radiația de căldură astfel încit densitatea de curent poate ajunge la valori de ordinul 30—40 A/mm².

Utilizarea unui difuzor poate fi făcută în mod judicios numai dacă sunt cunoscuți principaliii parametri tehnici și anume:

- puterea nominală (în VA) reprezentând puterea electrică aparentă ce poate fi aplicată unui difuzor în anumite condiții de respectare a unor limite de temperatură (60°—65°C) și distorsiuni (4—5%);

- rezistența electrică a conductorului mobil (în Ω);

Parametri tehnici

Difuzoare

Producător	Tipul difuzorului	Dimensiuni	Greutate kg	Difuzoarele					Notă
				1	2	3	4	5	
PIRELLI	P 21458	155×103 <i>h</i> =52,8	0,440	—	—	—	—	—	—
	P 21465	183×136 <i>h</i> =78,3	0,470	—	124	90—15 000	—	75	Formă elliptică
	P 21480	233×160 <i>h</i> =72,8	0,525	—	—	—	—	—	Formă elliptică
	P 21460	Ø 165 <i>h</i> =50	0,160	—	165	123—9 000	3	71,5	Formă circulară
	P 32628	Ø 155 <i>h</i> =46,9	0,250	—	95	71—15 000	750	75	magnetul montat în față membrană
	P 21483	Ø 216,5 <i>h</i> =111,6	1,860	—	50	40—16 000	6	81	Recomandat de furnizor pentru reproducere Hi-Fi
Alico Tenne	601 C	Ø 300 <i>h</i> =200	6,795	—	39	30—22 000	5 1/2	—	
	755 C	Ø 200 <i>h</i> =200	1,698	—	50	40—15 000	2 1/2	—	
Electro- Voice	12 TRAB	Ø 300 <i>h</i> =100	0,342	—	50	35—20 000	7	—	Sistem coaxial
	80 W	Ø 750 <i>h</i> =400	15,402	—	18	15—300	13 1/2	—	Difuzor excelent pentru producerea frecvențelor joase
	G-610 B	Ø 375 <i>h</i> =100	20,838	—	50	25—20 000	10 1/2	—	Sistem coaxial
	SC — 300	Ø 300 <i>h</i> =200	6,795	—	25	26—20 000	8 1/2	—	Sistem coaxial
	DL — 220	Ø 300 <i>h</i> =200	4,530	—	25	25—17 000	5 1/2	—	Sistem coaxial

University Card	315 C	$\varnothing 375$ $h=200$	15,628	50	32	25—30 000	12	—	sistem coaxial
	M 12 T	$\varnothing 300$ $h=200$	4,977	30	45	35—40 000	3	—	sistem coaxial
E.C.B. Leipzig	L 112 M	$\varnothing 65$ $h=30$	0,072	0,	—	250—14 000	8	—	sistem coaxial
	LP 553 BBS	155×105 $h=57$	0,420	1,	—	80—16 000	4	—	forma eliptică
Eiecto/Impex- Belarusia	LP 561 BB	180×115 $h=65$	0,500	2	—	80—16 000	5	—	forma eliptică
	L 2659 PBO	180×260 $h=91$	1,060	8	—	60—12 000	7	—	forma eliptică
Matsushita Electronic	R—VECH 3	225×156 $h=92$	1,200	8	85	80—11 000	4	—	forma eliptică
	R—VEE 8	295×200 $h=123$	1,600	8	85	70—9 000	3,2—4,2	—	forma eliptică
	R—VE 1	165×115 $h=80$	0,700	1,	130	100—11 000	6,7	—	forma eliptică
AUDAX	EAS 20PL23S	$\varnothing 200$ $h=84,5$	1,000	10	50±15	25—8 000	8	—	—
	EAS 12PL65S	$\varnothing 120$ $h=61,4$	0,570	25	60±15	50—10 000	8	—	—
VEGA	T 19 PA 15	$\varnothing 192$ $h=90$	1,240	5	70	60—15 500	4—5	—	—
	T 21 PA 15	212×322 $h=130$	1,450	10	45	40—14 000	4—5	—	—
	WFR 24	$\varnothing 261$ $h=134$	2,350	12	25	20—12 000	4—5	—	—
COODMANS	OMNIEX 21	$\varnothing 240$	2,780	25	30—35	35—17 000	8	—	membrană exponentială
	Triaxiom 1220 c	$\varnothing 320$	8,450	20	35	30—20 000	15—16	—	sistem coaxial
	Triaxiom 212 c	$\varnothing 320$	7,700	15	35	30—20 000	15—16	—	sistem coaxial
	Triaxiom 203	$\varnothing 200$	2,880	10	45	40—20 000	15—16	—	sistem coaxial

- frecvență de referință a sistemului mod (in Hz);
- cădere în întrejur (in T);
- efectivitatea absolută la o distanță precizată, de obicei un metru (in N m²/VA);
- restarea acustică standard definită ca presiunea obtinută la distanță de un metru, cind difuzorul produce o putere de 0,1 VA;
- dimensiunile difuzorului (șasiu, găuri de fixare, etc.).

Dacă caz la caz, de la furnizor la furnizor, acești parametri pot fi precizați în totalitate sau numai parțial.

Ce datele referință sunt prezentate în tabelul 1.1, principalele date tehnice ale difuzeoarelor de fabricație îndată și sistematizate.

Capitolul 2

PANOURI ȘI INCINTE ACUSTICE PENTRU DIFUZOARE

2.1. DEFINIȚII, CLASIFICARE

Panourile și incintele acustice în care se montează difuzeoarele electrodinamice cu radiație directă, pot fi definite ca sisteme acustice destinate cuplajului dintre membrană și mediul ambient, în scopul îmbunătățirii calității reprodusului sunetului. Ele constituie de asemenea și suporturile pe care se fixează mecanice difuzeoarele.

Utilizarea judicioasă a fiecărui sistem de montaj acustic presupune cunoașterea destinației fiecărui ansamblu panou-difuzor, respectiv incintă-difuzor.

Din multitudinea de realizări constructive ale următoarelor sisteme pot fi amintite: incintele (casetele) pentru receptoarele de radiodifuziune și televiziune, incintele folosite pentru controlul auditiv al programelor în studiourile de radiodifuziune, de televiziune și în cele ale caselor de discuri, incintele din sălile de teatru și din cele de cinematograf, panourile acustice întrebunțiate atât pentru măsurări în laboratoare cât și pentru sonorizarea spațiilor inchise și a celor situate în aer liber.

Din această enumerare rezultă că sunt principalele moduri de montare a difuzeoarelor (fig. 2.1). Pot fi astfel deosebite două mari grupe: panourile acustice și incintele acustice.

În rindul lor, aceste două mari categorii pot fi împărțite în mai multe subgrupe. Așa, de exemplu, panouri acustice pot fi clasificate, în funcție de dimensiunile lor, în panouri acustice infinite și panouri acustice finite. Cel

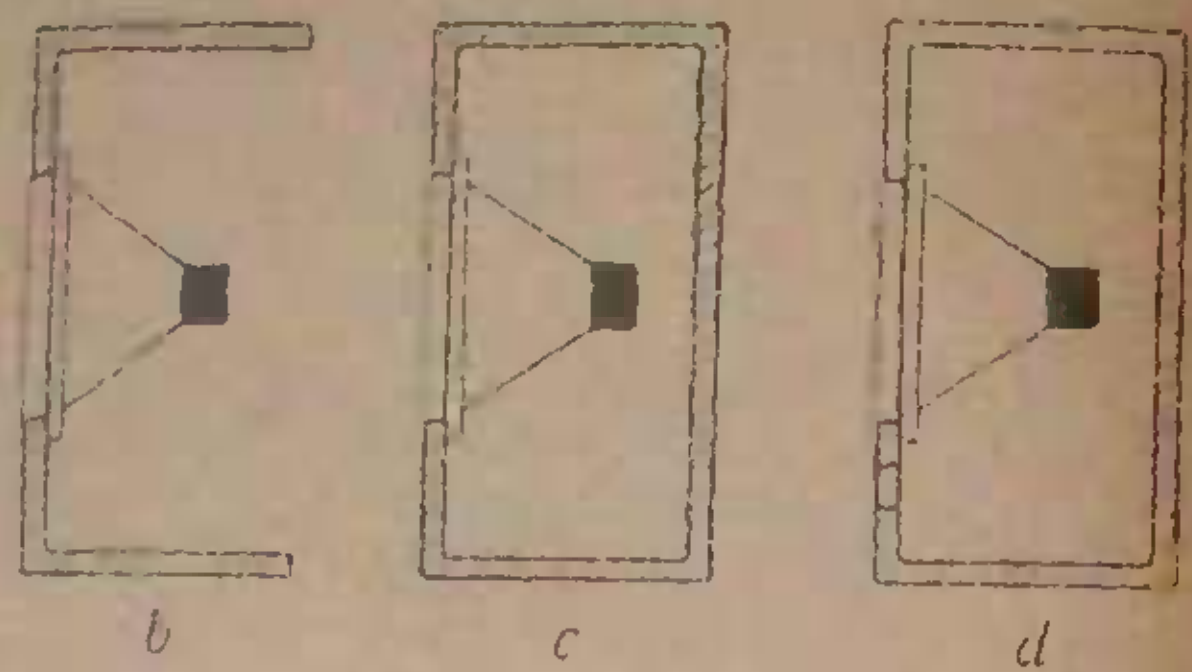


Fig. 2.1. Sisteme de montaj a știeic al difuzoarelor:
a - pe latură; b - înainte acustic; c - schimb; d - înainte acustic, închis; e - înainte; f - înainte bassreflex.

din care și ele cuprind formă și după poziția pe care o ocupă difuzorul părioului. Din acest punct de vedere se descriu: *panourile dreptunghiulare* și *panourile circulare* în variante simetrice și asymetrice.

În ceea ce privește incintele acustice, acestea pot fi clasificate în următoarele principale categorii: deschise, închise, *bassreflex* (antirezonante) și *labirinturi acustice*.

Difuzorul, împreună cu sistemul acustic în care este montat, formează un ansamblu funcțional. Stabilirea caracteristicilor tehnice ale unui asemenea ansamblu este condiționată de nedisocierea componentelor sale.

2. PANOURILE ACUSTICE

Panourile acustice reprezintă suprafețe plane, reflectante din punct de vedere acustic și realizate din materiale suficient de groase, de rigide și de dense.

Uzura lor are drept scop să mărească traseul acustic efectiv al undelor acustice radiate de spatele membranii.

În legătură cu modul de funcționare a unui difuzor montat pe un picior, întrucât membrana este suportată de el și nu poate să se mișeze liber. Astfel, un difuzor își realizează înțelesă înță montaj acustic, poate fi obținut, cu ușurință, cele două fețe ale sale putând fi asimilate cu doar o presiune. Cind membrana se deplasează spre față, crește înaintea ei o suprapresiune, iar în spatele său o depresiune; se produce, în acest fel, un defazaj întreundele acustice radiate de cele două fețe. Diferența de fază poate fi pusă în evidență cu atit mai mult, cu cit sursele sunt mai apropiate unele de altele și cu cit frecvența sunetului transmis este mai coborâtă. Din punct de vedere al caracteristicii de frecvență, se poate preciza că, în condițiile unei viteze de deplasare constantă a membranii, difuzorul funcționând ca dipol acustic, generează o presiune și căruia nivel variază cu frecvență cu 12 dB/octavă . Sau, la o frecvență de rezonanță, viteza este proporțională cu frecvența, așa că nivelul de presiune acustică prezintă și adesea un nivel mai important de 18 dB/octavă ($12 \text{ dB} + 6 \text{ dB}$). Deasupra frecvenței de rezonanță, se păstrează variația nivelului de presiunii de 12 dB/octavă , specifică dipolului acustic, și viteza de deplasare a membranei fiind invers proporțională cu frecvența, se va stabili o descreștere a nivelului de presiune acustică cu numai 6 dB/octavă ($12 \text{ dB} - 6 \text{ dB}$).

Ca urmare a apariției acestor importante neregularități în răspunsul cu frecvență al difuzorului funcționând ca dipol acustic, ascultătorul percep un sunet metallic, strident. Fenomenul acesta neplăcut dispare, în bună măsură, cind sunetele reproduce sunt de frecvență înaltă, datorită concentrării energiei acustice în direcția axei de radiație a membranei difuzorului.

Soluția de îmbunătățire a calității reproducerii, echivalentă cu înțetarea funcționării, ca dipol, a difuzorului, constă în impunerea unui anumit traseu pentru undele acustice radiate de spatele membranii. Este necesar, ca cel mai scurt parcurs să depășească de cîteva ori lungimea de undă cea mai mare a sunetului reprobus. Dispozitivul capabil să îndeplinească aceste cerințe este panoul acustic.

● **Panoul plan.** Cind se fac referiri la panourile acustice, este normal, ca în primul rînd, să ne gîndim la cele mai simple dintre ele și, anume, la panourile plane cu

și dimensiuni finite. Din acestă cauză, un panou de undă cu dimensiuni foarte mari în raport cu lungimea de undă a sunetului transmis — astăzi numit „panou infinit” — și și panourile cu dimensiuni puțin mai mari decât mărimea părții fără pentru anumite frecvențe, nu sunt de undă. Aceste ultime panouri pot fi numite „panouri finite”.

Panoul plan infinit. Un panou, de acest tip, poate fi reprezentat de un perete rigid, cu dimensiuni mult mai mari decât lungimele de undă, maxime, ale sunetelor reduse. Într-un astfel de perete, se montează difuzorul. Cea de bază de funcționare a difuzorului, caracteristicile sale de redirecție sunt într-un astfel de caz identice cu cele ale unui radijant, amplasat într-un mediu infinit. În consecință, răspunsul în domeniul frecvențelor joase, nu depinde numai de proprietățile transductorului, ci și de undă, în acest sens, nici o contribuție.

Panourile plane finite constituie cea mai răspândită categorie de panouri acustice. Construcția lor este simplă și costul redus. Mult timp ele au reprezentat singurile dispozitive utilizate pentru montarea difuzoarelor.

Este de la sineințes că orice panou finit să comporte pentru un anumit domeniu de frecvențe, situat deasupra unei numere de frecvențe de tăiere, ca un panou infinit (prin „frecvență de tăiere” se înțelege frecvența corespondență unei lungimi de undă egale cu dublul celei mai mici dimensiuni a panoului acustic).

Panourile plane finite sunt la rîndul lor de două feluri: unele pe care le-am denumit *simetrice* și altele *asimetrice*.

Panourile plane simetrice pot avea forme pătrate, dreptunghiulare sau circulare, în centrul lor aflindu-se întotdeauna, fixat difuzorul. Dimensiunile panourilor influențează răspunsul, la frecvențe joase, al ansamblului panou-difuzor, aşa cum se poate observa din caracteristicile prezentate în figura 2.2.

Este interesant de remarcat că, în curba de răspuns a unui difuzor montat în centrul unui panou cu dimensiuni „finite”, există pronunțate neregularități. Ele apar de cîte ori traseul dintre fețele posterioară și anterioară, ale membranei (făcindu-se bîncințele ocolul panoului),

cum arăta cu un număr de unde în cadrul unor intervale de lungime reduse, de cînd domnia feță ale membranei este blocată printr-o parte de a ea, care devine în importanță diferențe de nivel în cîmpul său de răspuns.

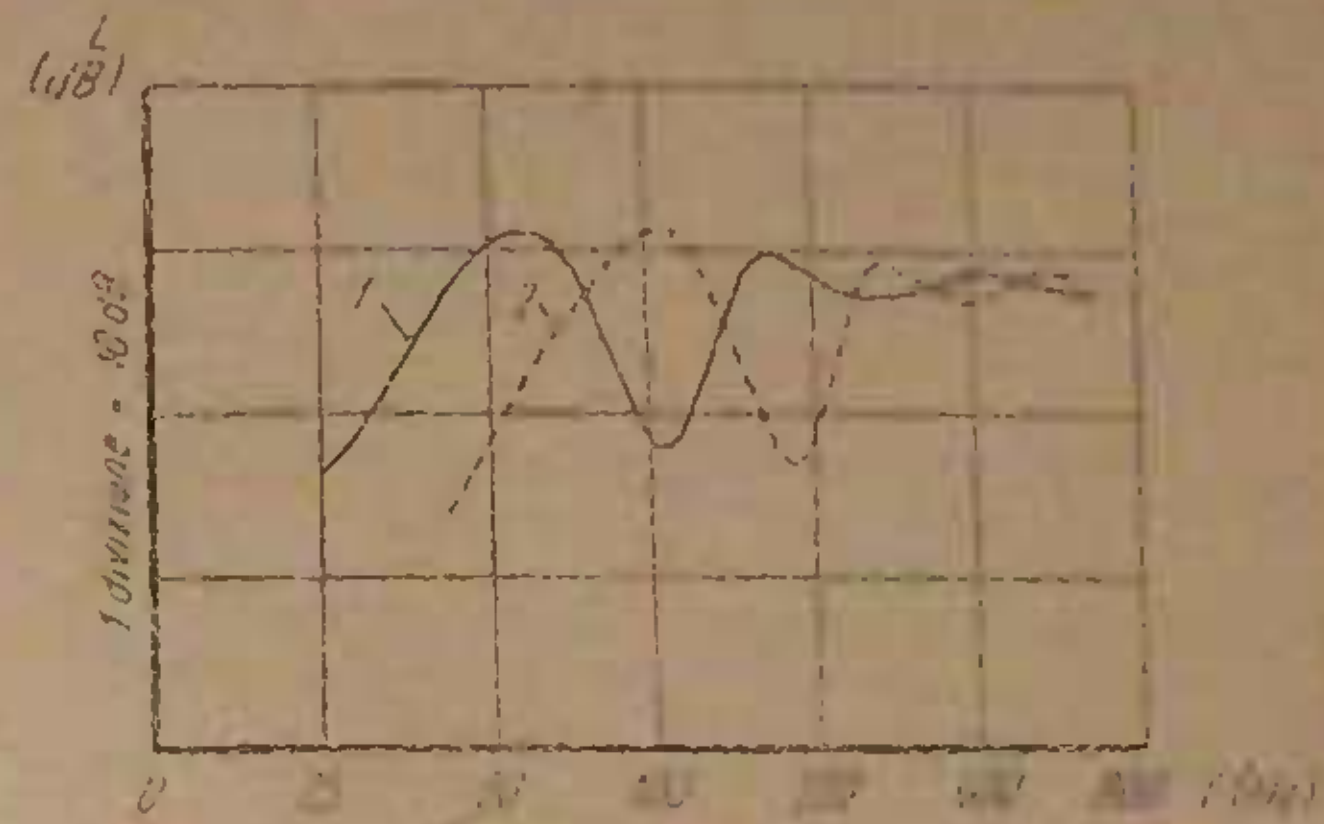


Fig. 2.2. Influența dimensiunilor unui panou acustic plan asupra răspunsului:
1 — panou finit cu lățimea de 100 mm și adâncimea de 100 mm;

Panourile plane asimetrice au rezultat din dorința constructorilor de a evita inconvenientele rătăciilor întărit. La un panou asimetric, difuzorul este montat excentric față de axele sale de simetrie. Se reușește în acest fel să se îmbunătățească răspunsul în domeniul frecvențelor joase, șă cum de altfel se poate observa din caracteristica trăsătură în figura 2.3. Fenomenul este explicabil prin că, traseele cu lungimi diferite ale undelor acustice, date de montarea excentrică a difuzorului, împiedică apariția defazajelor între undele emise de cele două fețe ale membranei, intervenind, în acest caz, un fel de „reprazitor” a interferențelor, într-un domeniu largit de frecvențe.

În vederea uniformizării metodelor de măsurare a difuzoarelor, s-a procedat la normalizarea panourilor asimetrice, adoptându-se dimensiunile indicate în figura 2.4.

● **Dimensionarea panourilor plane finite.** Pentru dimensionarea unor astfel de panouri este nevoie să fie lăsată în considerare atît puterea acustică F_{ac} , radiată de difuzorul montat în panou finit cît și puterea acustică F_{ac} ,

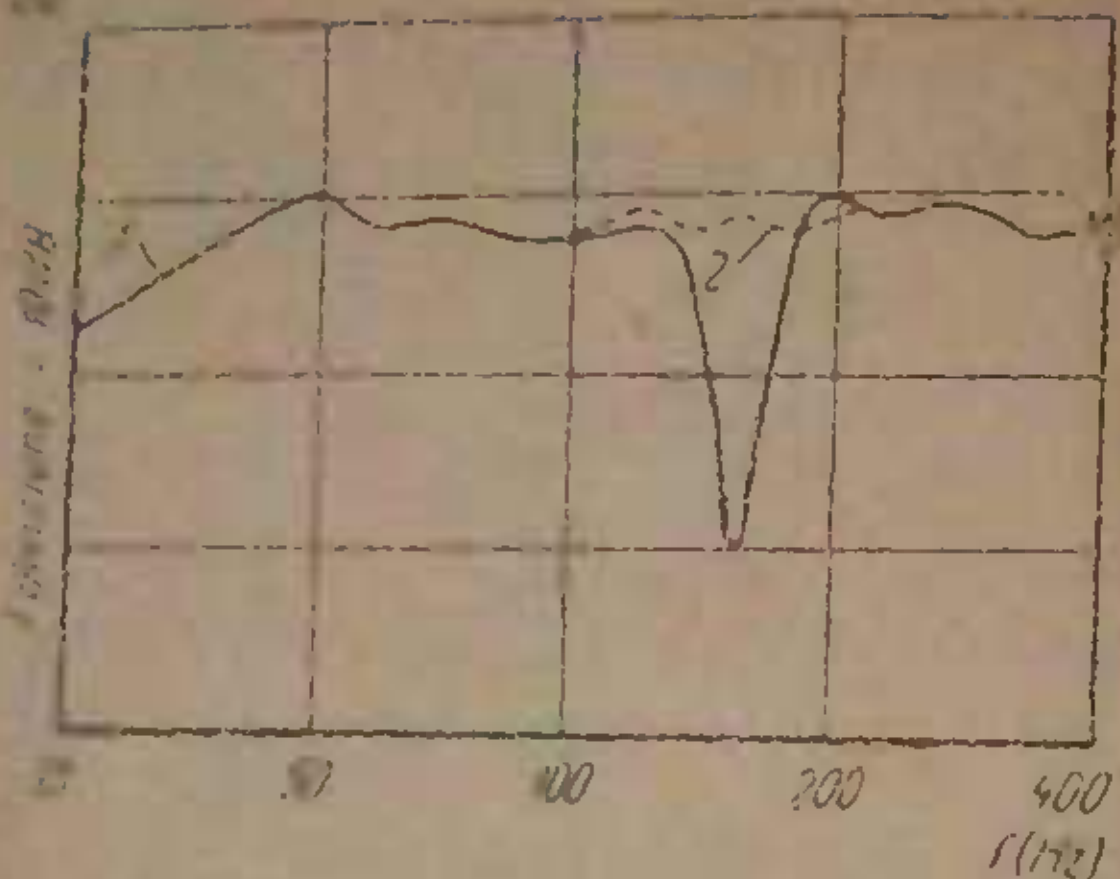


Fig. 2.3. Îmbunătățirea răspunsului cu frecvența în cazul folosirii unui panou asymmetric:

1 — difuzor montat în centru panoului; 2 — difuzor montat eccentric.

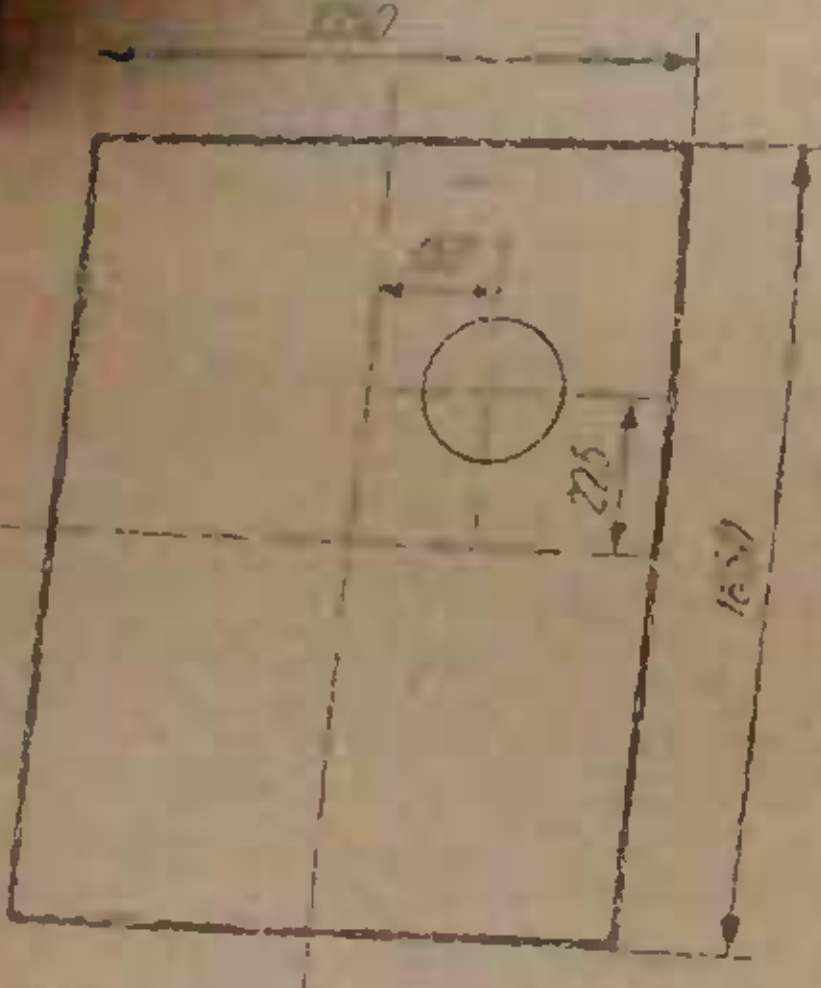


Fig. 2.4. Panou acustic normalizat (prevederi STAS E 7061-61).

În sprijinatoare difuzorului montat în panou infinit. Raportul lor poate fi exprimat astfel:

$$\frac{S_d}{S_{ap}} = 2 \left(1 - \frac{\sin kd}{kd} \right), \quad (2.1)$$

din care rezultă:

$$kd = \frac{2\pi}{\lambda} \text{ și}$$

d — distanța paralelă de undă acustică ridată de sprijinatoarele membranei (în metri);
Reprezentarea grafică a expresiei (2.1) este:

$$\left(1 - \frac{\sin kd}{kd} \right) \text{ în funcție de produsul } kd \text{ este arătată în figura 2.5.}$$

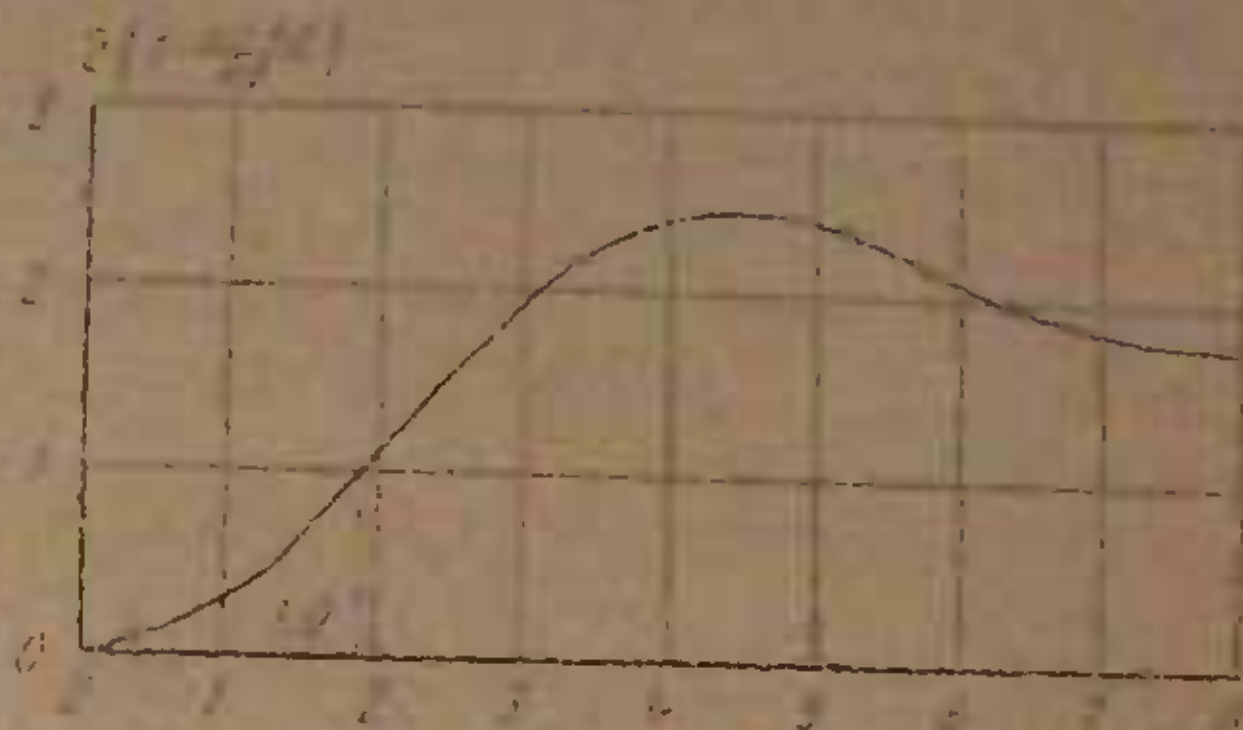


Fig. 2.5. Reprezentarea funcției $\frac{1 - \sin kd}{kd}$ (variantă 1 - $\frac{\sin kd}{kd}$)

Impunind condiția cea mai avantajoasă pentru funcționarea difuzorului în panou finit, reprezentată prin alcătuirea unui raport $\frac{S_d}{S_{ap}}$ egal cu unitatea (egalitatea celor două puteri acustice), se constată că o astfel de situație corespunde unei valori $kd = 1.9$.

$$kd = \frac{2\pi}{\lambda} d = 1.9. \quad (2.2)$$

Stând că lungimea de undă λ poate fi exprimată ca funcție de viteza sunetului c_0 și de frecvență f :

$$k = \frac{c_0}{\lambda} \quad (2.3)$$

se introduce valoarea lui k din relația (2.3) în (2.2), obținindu-se:

$$\frac{2\pi}{c_0} fd = 1.9. \quad (2.4)$$

2 ~ Montajele acustice pe difuzor

Echipament 2.4 permite determinarea frecvenței de tăiere f_t :

$$f_t = \frac{1.9c_n}{2-d} \approx \frac{10}{d},$$

în care:

f_t — frecvența de tăiere, în Hz;
 d — traseul undei acustice, în m.

Pentru a consta ordinul de mărime a lui d , se poate apela și se poate dorește dimensionarea unui panou fizic și permite reproducerea în bune condiții a sunetului având frecvențe superioare valorii $f_t = 100$ Hz. Introducând ceea ce este valoarea a lui f_t în relația matematică 2.5, pentru d valoarea de un metru.

Rezulta, în construcția unui panou acustic, este concomitentă și de respectarea anumitor cerințe referitoare la modul de fixare a difuzorului: prinderea acestuia va trebui realizată încât să nu fie cit mai apropiata de spatele panoului. Pentru evitarea formării unor cavitate rezonante, în față sau în spatele membranelor, este recomandată montarea difuzorului pe o placă auxiliară (a se vedea figura 2.6), având o grosime egală cu o zecime din dia-



Fig. 2.6. Montarea difuzorului electro-dinamic pe un panou acustic (prevederi STAS E 7061-64).

metrul nominal (la difuzorul circular), sau din lungimea axei mici (la difuzorul eliptic). Este de asemenea indicată marginea șasiului difuzorului să adere cit mai bine la panoului.

2. INCINTE ACUSTICE

O incintă acustică reprezintă un volum închis sau deschis, în interiorul căruia sunt fixate unele sau mai multe difuzeoare și care are drept scop imbinarea liniilor de funcționare ale acestor difuzeoare. Cind incinta este închisă, ele două fețe ale membranei sunt complet separate și în funcționarea ansamblului conținutul său are locă interioară. Din contră, la o casetă care prezintă deschideri cu forme și dimensiuni diferențiate, ambele fețe ale membranei sunt active, iar comportarea ansamblului în cintă-difuzor este total diferită față de cazul precedent.

Deși, în prezent, incintele acustice sunt realizate într-o mare varietate de tipuri și forme constructive, ele au, în majoritate la origină panoul acustic plan căruia succese și s-au adus modificări. Astfel, prin rabaterea marginilor panoului s-a obținut incintă acustică deschisă. Închiderea completă a peretelui din spate, a determinat apariția unui alt tip de casetă, cunoscut sub denumirea de incintă acustică închisă. O altă categorie de incinte, care permite ca o parte a radiației acustice (corespunzătoare spotelui membranei), să fie redusă spre față, după introducerea unui fazaj convenabil, în vederea creșterii radiației totale, într-un anumit domeniu de frecvențe, se numește bass reflex sau antirezonantă. Dacă la o incintă deschisă se reduc simțitor dimensiunile feței pe care este fixat difuzorul, simultan cu lungirea peretilor laterali, se obține o formă tubulară. Diversitatea soluțiilor constructive ale unor astfel de tuburi rezultă din varietatea mare a formelor peretilor laterali și din mărimele diferențe ale spotelui incintei. Din categoria tuburilor face parte și labirintul acustic.

Din cele prezentate, a reieșit că se pot deosebi două mari categorii de incinte acustice: unele în care radiația produsă de spatele membranei este complet anulată, exemplul tipic fiind incinta acustică închisă și, alttele, în care fața sa posterioară devine activă prin practicarea într-unul din peretii incintei a unor deschideri. Din această ultimă categorie fac parte incintele deschise, bass-reflex, labirintul acustic.

Diferența contribuției unei casețe în ceea ce privește rezistența internă, rezulta din corectarea circuitelor echivalente și deținute de casetele acustice. Se poate afirma, în acest sens, că toate dispozitivele de montaj acustic al difuzorului de tip incintă pot fi reprezentate, într-un astfel de circuit echivalent de impedanță Z , care se inseriază cu circuitul echivalent al difuzorului (fig. 2.7, a). În figura 2.7, b este prezentat un astfel de circuit care înglobează atât elementele specifice difuzorului, cât și componenta introdusă de incinta acustică închisă. Aceasta din urmă este reprezentată, pentru domeniul de frecvențe care ne interesează, prin cărțea C_p a volumului de aer din incintă.

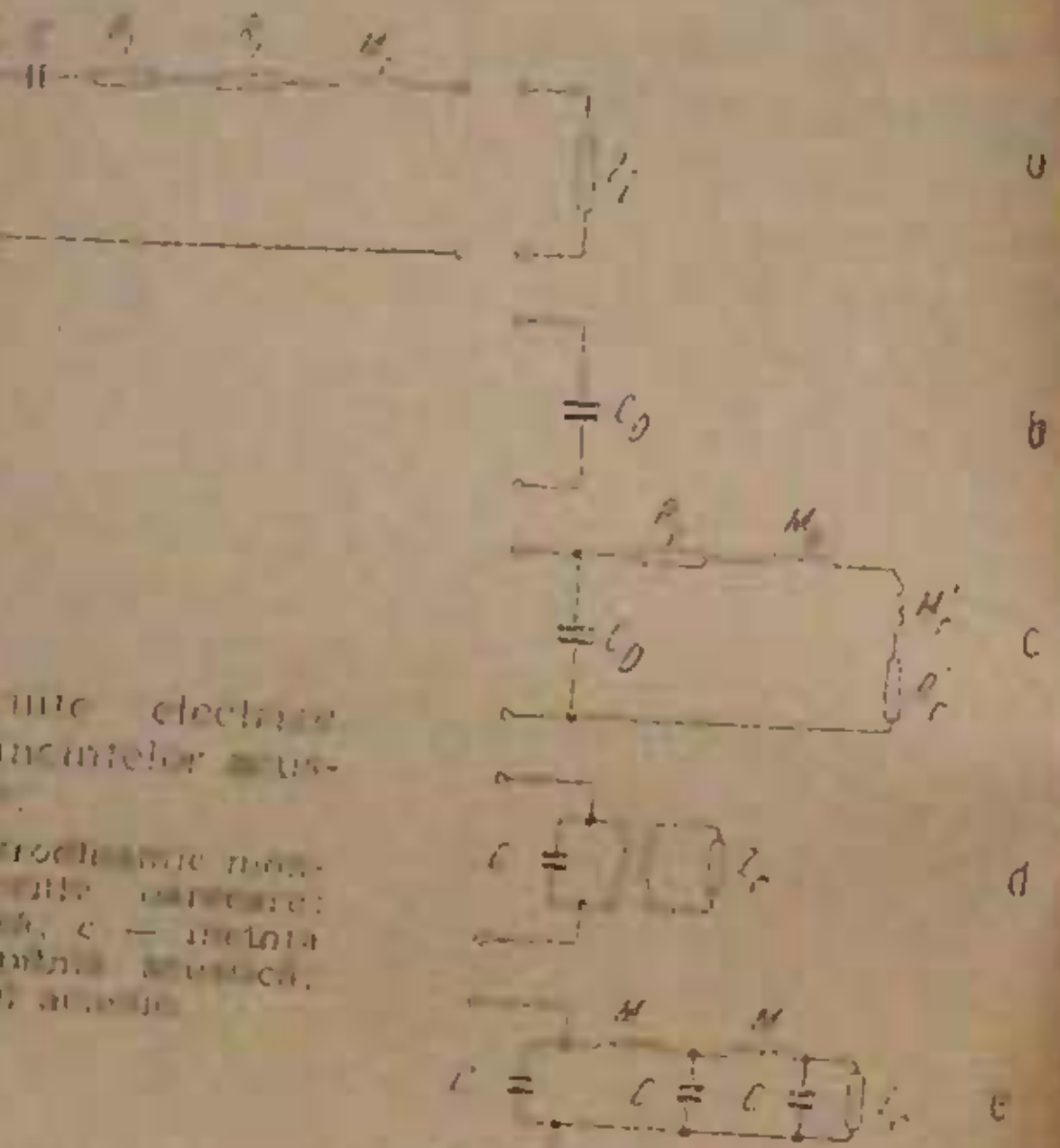


Fig. 2.7. Circuit electric echivalent al incintelor acustice.
— rezistență de incintă; — rezistență de perete; — rezistență de casetă; — rezistență de membrană; — rezistență de tub.

În următoarea figură (2.7, e) este arătat circuitul echivalent al rezonanțelor incintei bassreflex. În acest ultim, mai întâi în afară de elementele precizate în figura 2.7, b încă două mărimi: masa și rezistența de rezonanță a membranii fictive. Aceste elemente au semnificație similară cu M_1 și respectiv cu R_2 . Celelalte două mărimi sunt determinate de deschiderea cutiei, ele repre-

sintă masele aerului aflat în cîmpul rezonanțelor, respectiv rezistența frânilor care se produc în acest cîmp.

Circuitul echivalent, al cărui difuzor nu are o formă simplă, de tipuri paralele (fig. 2.7, e) cuprinde compozitul de unirea rezistențelor M_1 și C (într-o rezonanță), specific unui astfel de dispozitiv de montaj acustic. Pentru obținerea unei imagini și mai completă, asupra unei casețe de circuite echivalente, s-a prezentat în figura 2.7, d circuitul caracteristic unui difuzor cu punte.

2.3. INCINTE ACUSTICE DESCHISE

Incintele acustice deschise pot fi întîlnite frecvent în industria producătoare de receptoare de radio, televiziune și film. În mareala lor majoritate există unor rezistențe de recepție sau, de fapt, niste incinte deschise. Pe peretele din spatele incintei, persoana într-o proporție de cel puțin 30% și realizat dintr-un material usor cum ar fi pildă, cartonul, nu poate asigura completă separare a celor două fețe ale membranei difuzorului.

Într-o primă aproximare o incintă deschisă poate fi similită cu un panou plan avind dimensiunile:

$$d = h + 2a. \quad (2.6)$$

În figura 2.8 a fost indicat traseul d pe care ar trebui să-l urmeze unda acustică generată de spațiul membrană, întru a interfeiera cu cealaltă undă radiată de fața difuzorului.

Analizând mai în amănunt se constată că funcționarea unei incintă deschise depinde nu numai de dimensiunile a și de rezistența acustică pe care o prezintă tubul de înălțime a , delimitat de peretii săi. Modificarea acestor înălțimi poate provoca apariția unor pronunțate incintări, manifestă în caracteristica de frecvență a ansamblului incintă-difuzor. Pentru demonstrarea celor afirmate, sunt arătate în figura 2.9 trei casețe deschise în care s-au montat difuzoare de același tip. Prima incintă are o înălțime: $a = 20$ cm, a doua: $a = 40$ cm, iar a treia: $a = 60$ cm. Analiza îndu-se curbele de răspuns ale celor trei incinte (determinările aparțin lui H. Olson) se observă că prin

dimensiunea treptată a lui o se stabilește crăteri din co
mo prelungită ale nivelului de presiune acustică
(ce și frecvență). Așa, de pildă, dacă dimensiunea a

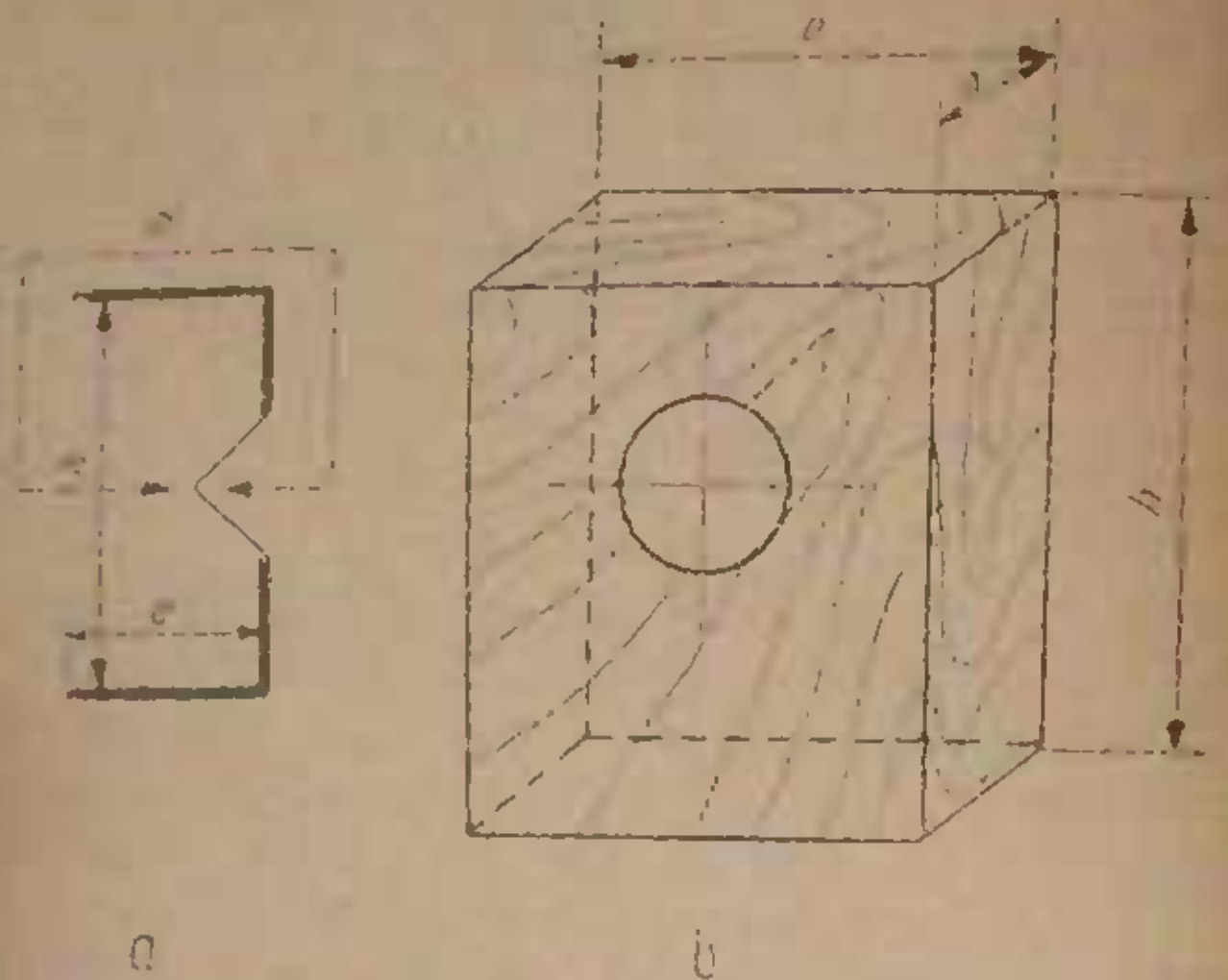
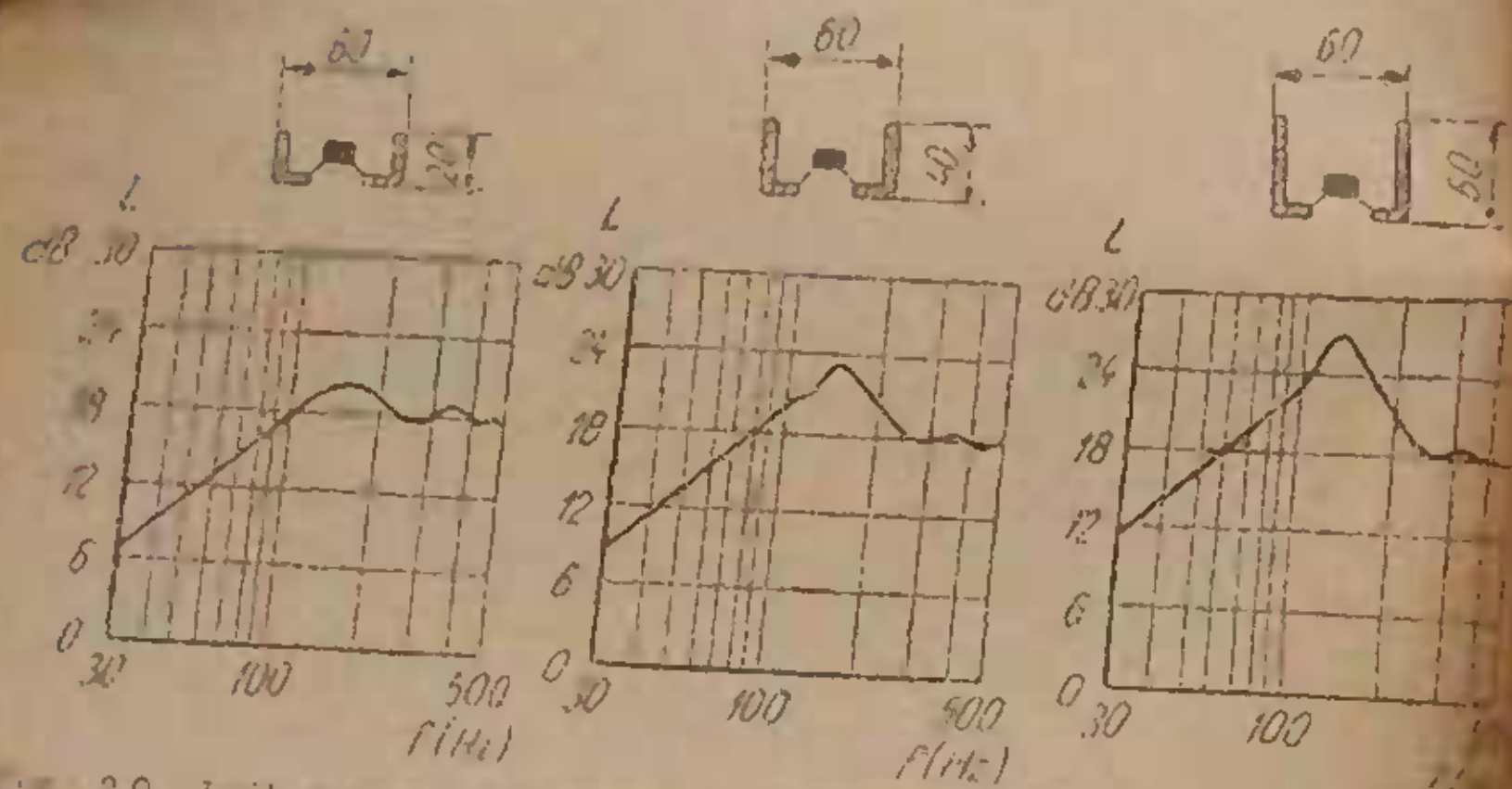


Fig. 26. Incinta acustica deschisa.



2.9. Influența înălțimii peretilor laterali ai incintei asupra curbei de răspuns.

că la cu 20 cm, denivelarea de presiune acustică este cîndinul a 2 dB; lungind tubul de la 20 cm la 60 cm, regularitățile caracteristice de frecvență ating valori de 8 dB. Este important să se sublinieze faptul că mărimea

... may mean in a present alternate they would be
more frequent.

Din cele prezente rezultate de măsură se poate arăta că
aceste pot fi dimensiunile polilor și indicătorii de la par-
tialul „panouri acustice”, impunindu-se condiția condi-
 $b > 2a$.

Calculul pentru dimensiunea înălțimii este realizat pe baza relația matematică 2.5, utilizându-se ceea ce urmărește rezonanța acustică. În situația de față, în 5. m. intervalele sunt lățimi medie a traseului pe care îl parcurge undearea generată de spatele membranei, maximile cărora intervin în calcul fiind cele indicate în figura 2.4, b.

Precizind că: $b = K_1 a$ și $h = K_2 a$ și că parcursul înălțimii pînzătării semisuma traseelor care pun înălțimea $b - h$, respectiv $a - h$, se poate scrie:

$$d_{med} = \frac{1}{2} \left[(a + K_1 u) + (a + K_2 v) \right] = o\left(1 + \frac{K_1 + K_2}{2}\right).$$

Cunoscind că volumul casetei rezultă din egale se

$$V = K_1 K_2 \rho^2$$

• obține cu ajutorul relației 2.5 egalitate

$$f_1 = \frac{100 \sqrt{K_1 K_2}}{\left(1 + \frac{K_1 + K_2}{2}\right) \sqrt{V}}$$

Pentru a aprecia ordinul de mărime a frecvenței de
încare, se consideră radioreceptorul de fabricație „Electro-
nica”, tip S 692A — Eforie, a cărui casetă are următoarele
dimensiuni: 680 mm \times 225 mm \times 215 mm. Coeficienți K_1
și K_2 au în acest caz valoriile: $K_1 = 3,15$ și $K_2 = 1,05$. În
situația arătată se ajunge la o formă simplificată a for-
mulii precedente și anume:

$$f_1 \equiv \frac{4S}{\sqrt{V}}$$

Volumul casetei fiind de aproximativ 0.033 m^3 , se obține $f_t = 150 \text{ Hz}$.

Să mai arătăm în cuprinsul acestui capitol că, fără a fi închisă, se asigură separarea acustică funcțională între cele două fețe ale membranei. Din acest punct de vedere, se obțin aceleasi avantaje ca și la panourile inchise. Aceasta este de altfel și motivul pentru care sunt denumite descori și incinte infinite. O precizare trebuie făcută aici: deși numite inchise, ele sunt totuși prevăzute cu o mică deschidere (fig. 2.10) care are drept scop să creeze presiunile statice ce se aplică pe fețele membranăi. Se vede, în acest fel, schimbarea poziției de repaus a binei mobile, ce ar putea apărea ca urmare a variației presiunii atmosferice. Dimensiunile acestui orificiu și bineînțeles, condițiile de funcționare difuzorului montat într-un astfel de dispozitiv, în situația utilizării unei incinte inchise, energia acustică radiată numai de fața membranei spatele fiind complet inchis. Unda acustică „de spate” este total ab-

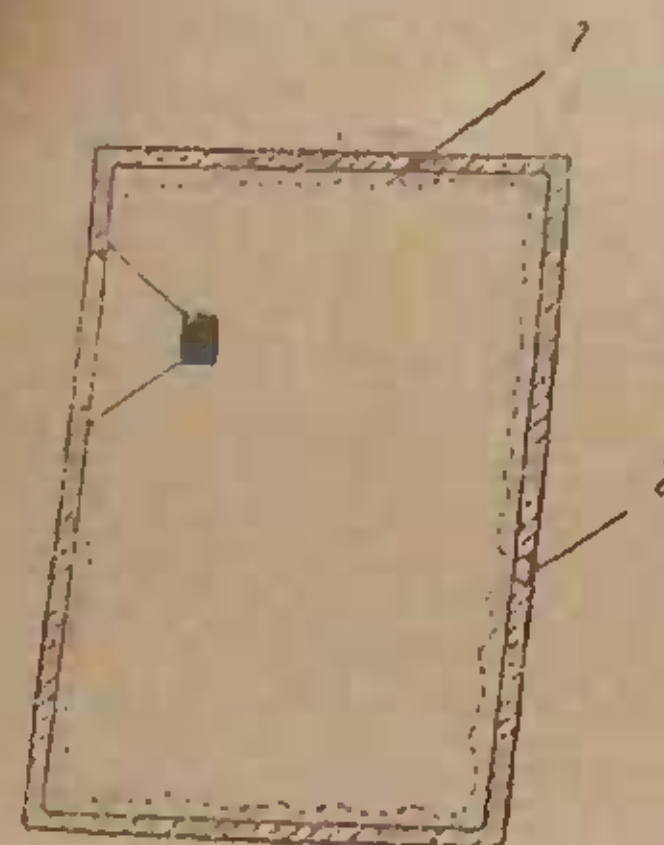


Fig. 2.10. Incinta acustica inchisa:

1 — căpușă a peretelui realizată din material poros; 2 — orificiu de decompresie.

O altă trăsătură specifică incintelor inchise este între-acumularea unor creșteri de rezonanță a ansamblului închis în ceea ce privește frecvențe. Într-o voră, volumul de aer din incintă, acționându-se ca un rezonator, încetă înălțindu-le cu elasticitatea extensibilă orificiilor și a lui electrodinamic și provocând în același timp creșterea de rezonanță.

Pentru a aprecia cantitativ modificările frecvenței de rezonanță a difuzorului, s-au prezentat în figura 2.11 rezultatele unor experimentări efectuate de H. Olson. Constatându-le, se constată că prin montarea unui difuzor cu frecvență de rezonanță $f_0 = 150 \text{ Hz}$ într-o incintă inchisă se produce o creștere a lui f_0 de la 150 Hz la 200 Hz.

Este, deci, important de observat că montajul difuzorului în incintă inchisă nu este de natură să contrac-

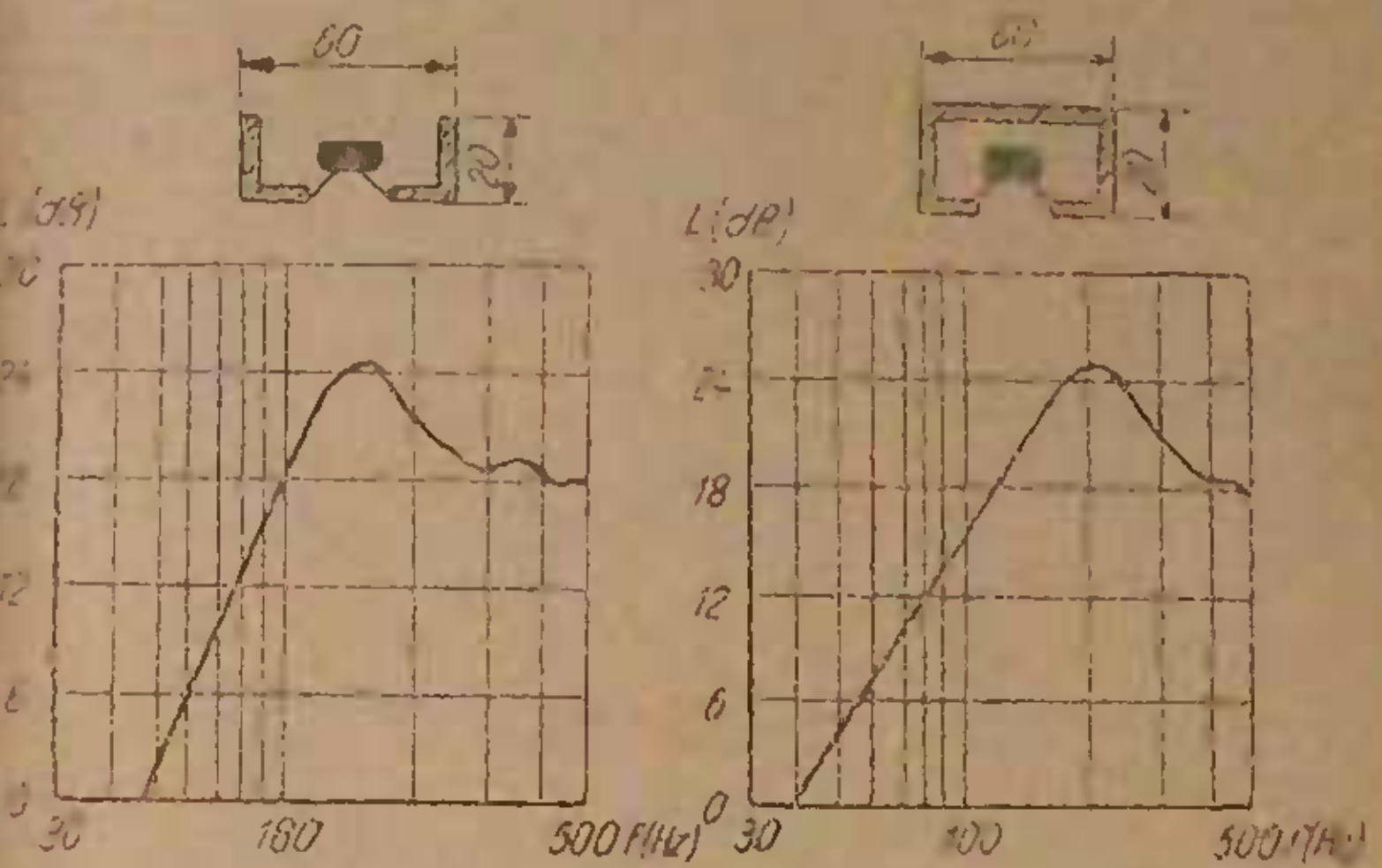


Fig. 2.11. Modificarea frecvenței de rezonanță ca urmare a montării difuzorului într-o incintă inchisă.

bită, înălțindu-se astfel, apariția tuturor neajunsurilor caracteristice funcționării ca dipol acustic. Rezultă, deci, ca una din principalele insușiri ale unui ansamblu incintă inchisă — difuzor, o constituie anularea radiației produse de spatele membranei și păstrarea, ca element activ, a lor sale.

Ameliorarea răspunsului la frecvențe joase (compresiunea înălțindu-se cu difuzorul montat pe un panou infinit) este, împotriva, să-l înrăutățească. Acest neajuns se poate, totuși, evita dacă se iau măsuri ca, de pildă,

— mărirea volumului incintei în aşa fel, încât, elasticitatea pe care o prezintă aerul din interiorul ei să nu mai

poate modifica frecvența de rezonanță a difuzorului. În
acele menționate căi o astfelă condiție nu poate fi în-
dovânată în lipsă dispare și dimensiunea incintei ne-
potriveste chiar de mult, ceea ce trebuie să se adapteze p-
reluat din lecția reînvierii audiuitoriei.

— Utilizarea unui difuzor cu o frecvență de rezonanță
mai mare decât frecvența limită inferioară impusă spatiu
întregului cărora se transmită și se reproduc și unei casete judicioase
dimensionale, care îl ridică valoarea frecvenței de rezonanță proprie a difuzorului pînă la această limită.

Pentru determinarea frecvențelor de rezonanță a unei
casete difuzor electrodynamică incintă inchisă este ne-
voie să se impună, pentru circuitul electric echivalent
cunoscută condiție de anulare a reactanței mecanice, adică
a celor acustice. În cazul de față, în componentă
electromagnetică, astăzi elementele care punzătoare difuzorului
sunt și cele datorite incintei. Mărimea care aparțin obiectelor sunt elasticitatea totală a sistemului de susținere C (in $m^{-1}N$), masă totală M a ansamblului
membrană plus conductor mobil, ($M = M_b + M_e$, in kg) și
parametru de radiație λ , considerată pe fiecare sală
ansamblu (determinată de masa de radiație M_r). În acest
căndajii valoarea frecvenței de rezonanță a difuzorului
rezultă din relația:

$$f_0 = \frac{1}{2\pi} \sqrt{\frac{1}{C(M + M_r)}} \quad (2.7)$$

Valoarea lui M_r , așa cum se va vedea în paragraful
următor, depinde de raportul dintre dimensiunile casetei
și cele ale membranei.

Pentru calculul frecvenței de rezonanță a ansamblului
vor fi luată în considerare și capacitatea acustică a incintei,
notată cu C_D . Se poate scrie deci relația:

$$f_0 = \frac{1}{2\pi} \sqrt{\frac{1}{(M + M_r) \frac{C_D}{C + C_D}}} = \frac{1}{2\pi} \sqrt{\frac{C + C_D}{C C_D (M + M_r)}} \quad (2.8)$$

Influența capacitații acustice C_D asupra frecvenței de
rezonanță a difuzorului poate fi ușor pusă în evidență.

În figura 2.12 se prezintă raportul $\frac{f_0}{f_0}$ în funcție de $\frac{C_D}{C}$, în
cazul cărui spatiu este de $1 m^3$.

$$\frac{f_0}{f_0} = \sqrt{1 + \frac{C_D}{C}} \quad (2.9)$$

Acrușind formula cu de altfel similară, din figura 2.12, notă de către că în cadrul unui interval
lui este întotdeauna mai mare cît și raportul frecvențelor de
rezonanță a difuzorului $\left(\frac{f_0}{f_0}\right)$ este, apărându-se totu-
 $\frac{f_0}{f_0}$ unde să crească odată cu celălalt raport $\frac{C_D}{C}$, adică p-
masură ce capacitatea acustică C_D a incintei se micorează. Se justifică astfel, și matematic, condiția enunțată
anterior și anume, că pentru evitarea rezonanțelor trebuie
măsură mai mare a frecvenței de rezonanță a difuzorului

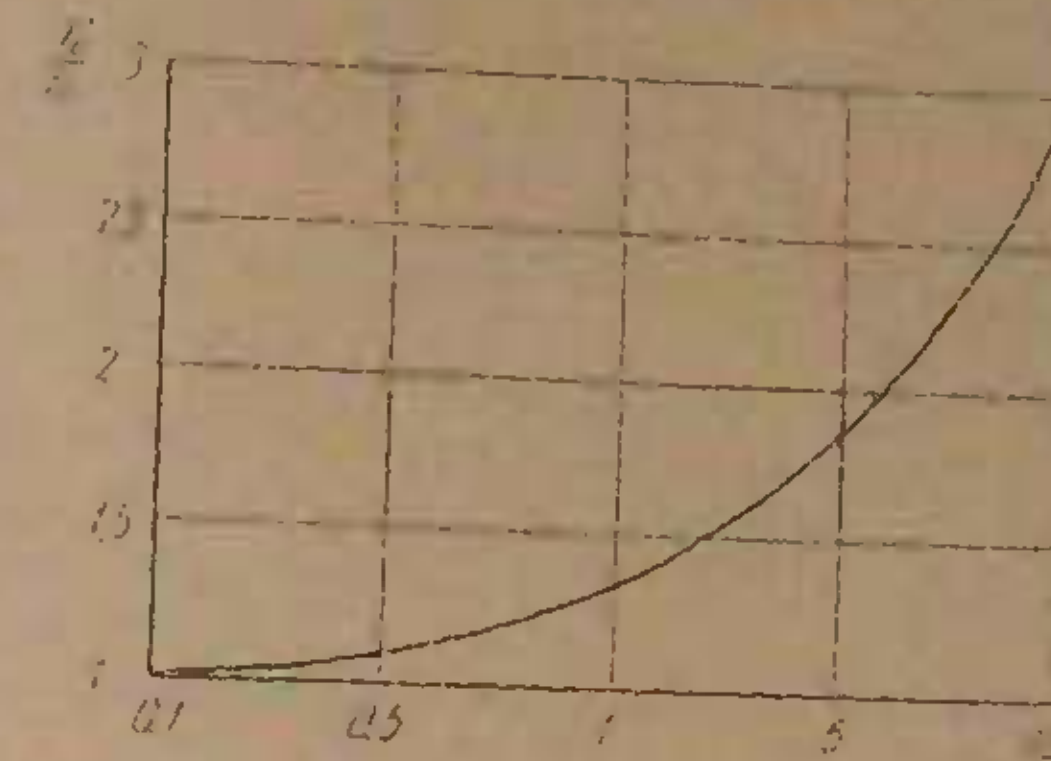


Fig. 2.12. Reprezentarea grafică a raportului $\frac{f_0}{f_0}$ în funcție de $\frac{C_D}{C}$.

montat în incintă inchisă, este necesara o capacitate C_D
redusă și deci o unui volum interior cît mai mare. În
trădăvăr cunoștință că valoarea lui C_D rezultă din relația:

$$C_D = \frac{V}{\rho_0 c_0^2 S_i^2} \quad (2.10)$$

V este volumul acra, în m^3 ;
 ρ — densitatea aerului, în kg/m^3 ;
 μ — coeficientul de aer, în m^2 ;
 F — suprafața acra a difuzorului, în m^2 .
 se observă că valoarea raportului $\frac{F}{V}$ este invers proporțională cu ea a volumului.

Recunoscând de prezentate, se poate spune că în cadrul mehanismului de rezonanță a circuitului electric echivalent al unui difuzor casetă — difuzor sub formă unei încăperi, care e interacția cu componentele specifice difuzorului. În acest caz, această impedanță este reprezentată prin o reactanță capacitive, determinată de capacitatea totală cuprinsă în încinta, care provoacă rezonanță de rezonanță a spațiului (circircuitul rezonant este prezent în figura 2.7, b). La frecvențe mari se întâmplă în modul încintei unde stacionar se dezvoltă un răspuns la frecvență. Pentru a le elibera, se poate folosi o captură peretilor cu materiale termoabsorbante ca vată de bumbac, vată de sticlă, vată de șipci etc. Un alt menajat procedeu este avantajos numai în încăpătări neajunsurile menționate, dar constituite dinții de măr. În mod fizic, volumul interior nu variază. Împotriva explicabilă, ceea ce, compresia acraului, care este adiabatică (transformări fără schimburi de căldură cu mediul înconjurător), trebuie să devină izotermă (temperatura de închidere și deschidere în mediul arămat), ceea ce implică modificare valorice ale vitezei și a raportului vitezelor în cele două situații.

$$v_0 = \sqrt{\alpha}$$

v_0 este viteza unuiui în cazul unor transformări adiabatică, în m/s ;
 v — viteza unuiui pentru transformări izotermice, în m/s ;
 α — raportul caldurilor specifice, cu valoarea de 1.4.

Viteza supradisponibilă, micromodulă, cu 1.4, are drept consecință că viteza valoare cuprinsă în intervalul 10% - 15% relativ la valoare normală.

De obicei, în cadrul multor poarte de rezonanță, există și o periere, ca rezultat obținut întrucât se execută cu deosebită intensitate pentru a nu deteriora difuzorul. În acest scop se recomandă să se pună o sârmă transparentă pe partea rună, care să împiedice impingerea particulelor ce se formează prin farișecare. În cadrul fibrelor de vată de sticlă, avândă odată rată de absorbtie a sistemului mobil al difuzorului, poate fi imposibilă deplasarea normală, provocând pătră la urmă de rezonanță căderea în interior.

Funcționarea ansamblului mai poate fi optimizată în afară de undele staționare din interiorul încintei, și întrucât în vibrație a peretilor ei sunt. Pentru obținerea unor bune rezultate, se impune confectionarea unor peretești încintei din materiale groase și rănite cum ar fi de exemplu panoul. Este indicativ de menajat, execuțarea unor perete dubli, spațiu între ele de minimă de 10 mm.

O importanță deosebită, în bona funcționare a ansamblului, o prezintă și modul în care se fixează difuzorul de panoul frontal al casetei. Deși acesta este totuști prezentat la panourile acustice, se subliniază în mod special că în cazul utilizării pentru încrengături, și anume pe unde aproape relativ mari, se poate forma fie în faza, fie în peretele membranei, tuluri acustice a căror impedanță de întărire intervine în mod cu totul nedescris în circuitul echivalent al ansamblului. Din aceste motive este indicativă decuparea circulară sau elliptică de pe panoul pe care se fixează difuzorul și dină un profil curbat, ca cel prezentat în figura 2.13, c.

Mai este de adăugat că colectarea unei căderi bune, respectiv a fizarea unui răspuns la frecvență și deosebit de uniform, este condiționată și de anumiti parametri ai amplificatorului de putere, mai precis, de valoarea impedanțelor sale de ieșire. Cind acestă impedanță este o valoare rezăzuită, se produce o rezonanță a rezonanțelor care se stabilesc în interiorul încintei și, ca urmare, o scădere a curbei de responză.

Determinarea valorilor elementelor care alcătuiesc circuitul echivalent al ansamblului difuzor-electrodinamic în incintă acustică închisă. Toate elementele care intră în circuitul echivalent încintă acustică sunt reprezentate în circuitul electric echivalent prin mărimi corespunzătoare

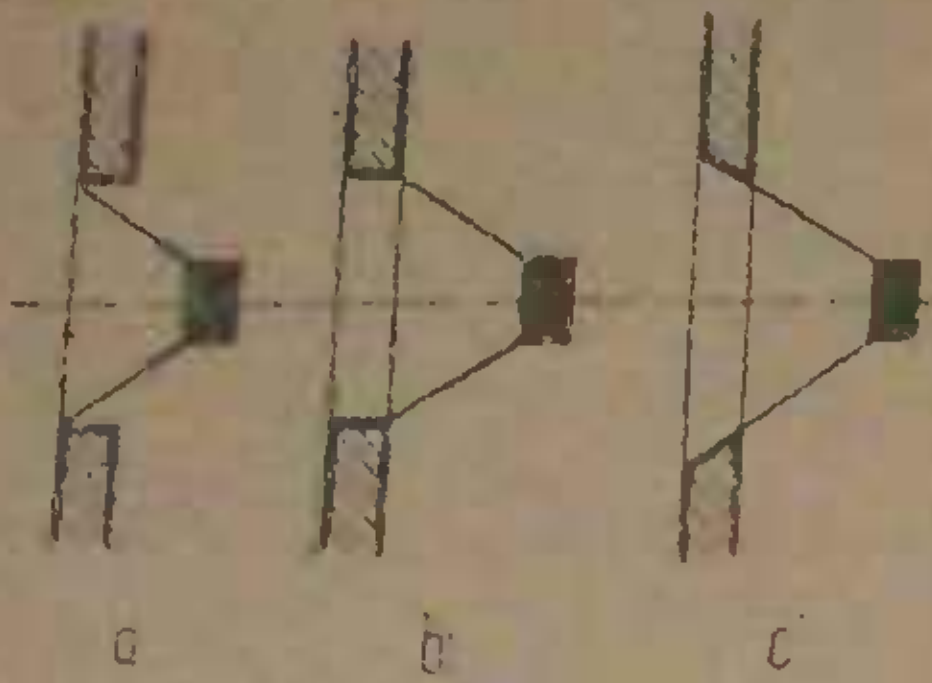


Fig. 2.13. Desupări ale panoului frontal al înțintă acustice:
a, b - incorrekte; c - corect.

rezistențe, inductanțe, capacitații), pot fi determinate valoare fie prin măsurări, fie prin calcul. Valorile rezistențelor și inductanței bobinei mobile rezultă în urma efectuării unor măsurări. Celelalte parametri, relativi la sistemul oscilant al difuzorului, pot fi calculați pornind de la masa membranei și a bobinei mobile, precum și de la suprafața activă a conului difuzorului.

În ceea ce privește calculul impedanței de radiație, se efectuează diferențiat, după cum dimensiunile incintei sunt mai mari sau mai mici față de suprafața membranei. Considerind că lucărăm cu impedanțe acustice (valorile acestora rezultă din divizarea impedanțelor mecanice cu pătratul suprafeței active a membranei) și că ne interesează numai domeniul frecvențelor joase, cele două mărimi care definesc impedanța de radiație, rezistența R_r și masa de radiație M_r , sunt calculabile cu relația:

$$\left. \begin{aligned} R_r &= 0.0215 f^2 \\ M_r &= \frac{0.318}{a} \end{aligned} \right\} \quad (2.10)$$

în care:

f este frecvența, în Hz;

a — raza membranei active a difuzorului, în m.

Aceste relații sunt valabile numai în cazul în care dimensiunile incintei sunt mult mai mari în raport cu diametrul membranei (de exemplu, într-un casetă de 0,7 m), și pentru demonstrarea lor se lucră cu rezolvări matematice 1.7 și 1.9.

În cel de al doilea caz, adică în situații unde dimensiunile incintei sunt aproape egale cu diametrul membranei (de exemplu, într-un casetă de 0,3 m), se aplică formula:

$$R_r = 0.0107 f^2; \quad (2.11)$$

$$M_r = \frac{0.25}{a}. \quad (2.12)$$

Capacitatea acustică a incintei se calculează cu relația 2.10. Si celelalte elemente ale circuitului electric echivalent, ca de pildă, masa difuzorului, măre și mărimile bobinei mobile pot fi calculate, mai ales în situația în care nu sunt precizate de firma furnizoare.

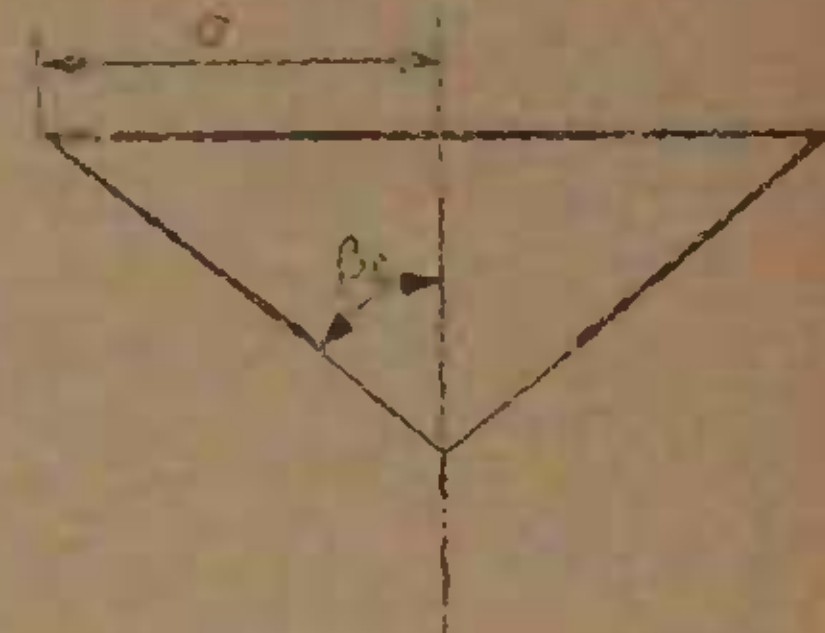


Fig. 2.14. Elementele geometrice necesare determinării masei membranei

În ceea ce urmează sunt prezentate formulele de calcul pentru toate aceste mărimi:

Masa conului membranei M_c , se determină în funcție de raza și unghiul deschiderii sale (a și β_c), de grosimea materialului din care este confectionată (Δ_c) și de greutatea specifică a acestui material (δ_c). Unele din acele

parametri sunt indicate și în schita din figura 2.14. Din ceea ce rezultă geometria rezultă că

$$M_b = \frac{\pi^2}{256} \delta_b D_b \quad (2.13)$$

toate elementele fiind exprimate în unități MKS.
Massa conductorului mobil M_b se calculează cu formula:

$$M_b = \pi^2 \delta_b D_b n \frac{C}{4} \quad (2.14)$$

în care s-au făcut notările:

- δ_b — greutatea specifică a materialului din care este executat conductorul mobil (în kg/m^3). Pentru aluminiu valoarea să fie de $\delta_{\text{Al}} = 2.7 \cdot 10^{-3}$ kg/m^3 , iar pentru cupru $\delta_{\text{Cu}} = 8.89 \cdot 10^{-3}$ kg/m^3 ;
- D_b — diametrul mediul al bobinei, în m;
- n — numărul de spire;
- C — diametrul conductorului, în m.

Rezistența electrică a conductorului mobil se calculează cu formula:

$$R_b = \rho_b \frac{l}{S} = 4 \rho_b \frac{n D_b}{d^2} \quad (2.15)$$

în care s-au făcut notările:

- ρ_b — rezistivitatea conductorului mobil, în $\frac{\Omega \text{mm}^2}{\text{m}}$;
- S — secțiunea, în mm^2 .

Valoarea rezisitivității depinde de asemenea de materialul din care este confectionat conductorul mobil: $\rho_{\text{Al}} = 0.12 \cdot 10^{-8} \frac{\Omega \text{m}}{\text{m}}$ și $\rho_{\text{Cu}} = 0.0172 \frac{\Omega \text{m}}{\text{m}}$.

Cunoștină fiind relația care leagă rezistența R_b de parametrii ρ_b , n , D_b și d și tinând seama de egalitatea 2.14 se poate scrie:

$$\frac{M_b}{R_b} = \frac{\delta_b d^4}{16 \rho_b} \quad (2.16)$$

$$M_b = \frac{\pi^2 \delta_b d^4 R_b}{16 \rho_b} \quad (2.17)$$

Că o aplicatie comună a naturor relațiilor matematice prezentate se poate determina, frecvența de rezonanță a unui anumit difuzor în cadrul unei incinte acustice închise, pornindu-se de la următoarele date:

— frecvența de rezonanță a difuzorului cedând $f_0 = 60$ Hz;

— diametrul difuzorului: $2a = 6.3$ cm;

— suma maselor sistemului cedant și de radiere: $(M + M_r) = 0.0123$ kg;

— volumul incintei acustice: $V = 0.035 \text{ m}^3$.

Avind aceste date, se consideră relația 2.8, care mai poate fi exprimată și sub forma:

$$f'_0 = \frac{1}{2\pi} \sqrt{\frac{1}{C_D (M + M_r)} + \frac{1}{C (M + M_r)}} \quad (2.18)$$

în care capacitatea acustică C_D se calculează cu relația 2.10. Partea a doua a expresiei de sub radical reprezintă frecvența de rezonanță a difuzorului (a se vedea expresia 2.7). În acest condiții egalitatea 2.8 se poate scrie:

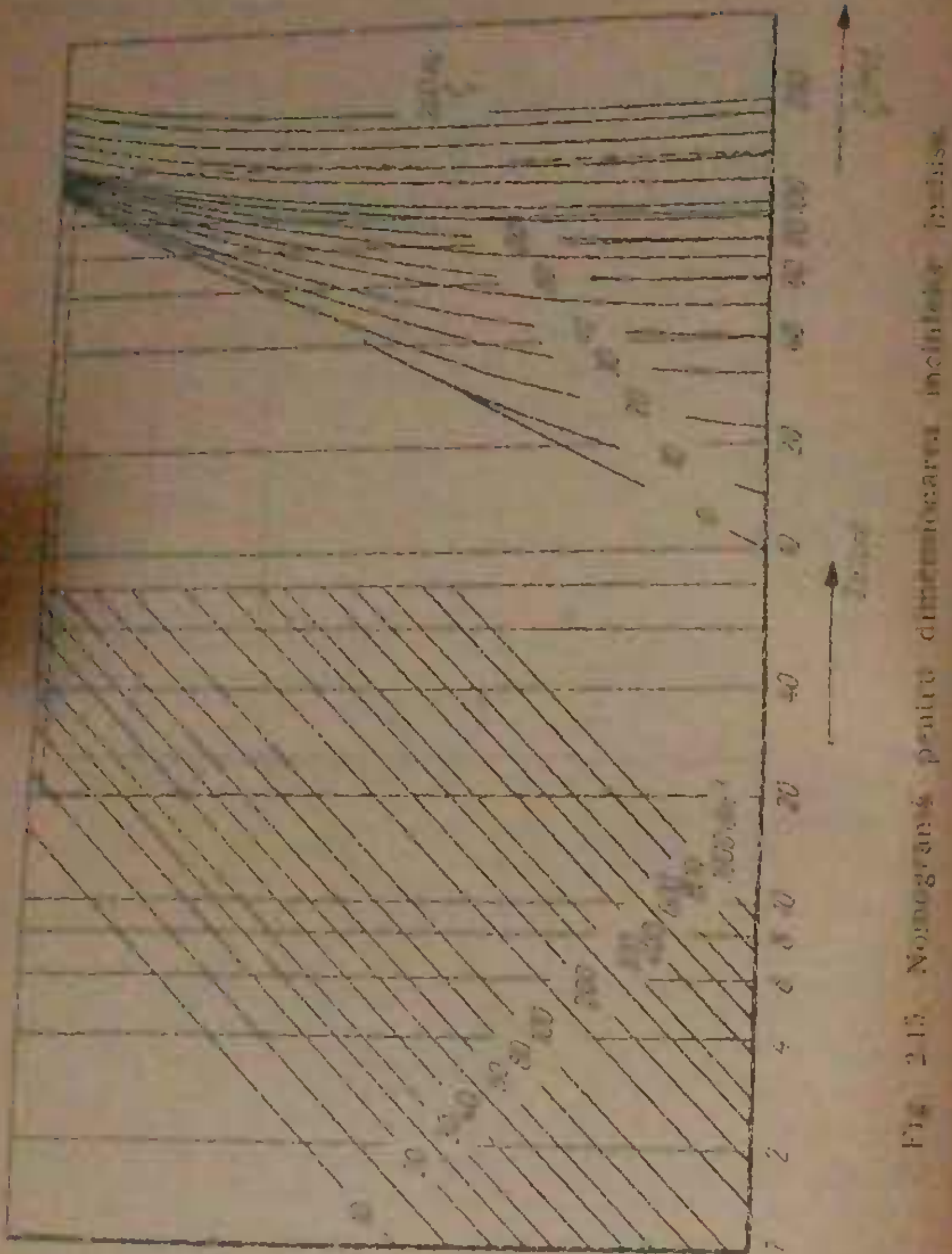
$$f'_0 = \sqrt{\frac{\rho_b C_e}{4 \pi^2} \frac{S_e^2}{(M + M_r)V} + f_0^2} \quad (2.19)$$

Introducind în formulă valorile cunoscute pentru fiecare parametru în parte, se găsește:

$$f'_0 = \sqrt{\frac{1.18 \cdot 10^{-1} \cdot 3.1 \cdot 10^4}{4 \cdot 3.14^2} \cdot \frac{3.14^2 \cdot 30^2}{16 \cdot 12.3 \cdot 13.500}} \cdot 60^2 = 156 \text{ Hz}.$$

Se observă din rezultatul acestui exemplu de calcul că, prin montarea difuzorului în incintă închisă, frecvența de rezonanță a crescut de la 60 Hz la 156 Hz.

Pentru dimensionarea casetelor închise au fost elaborate și o serie de metode grafice. Una dintre ele, o nomogramă întocmită de specialiștii firmei Lorenz, este prezentată în figura 2.15. Ea se referă la difuzoare cu diametre cuprinse între 4.5 cm și 30 cm. Nomograma permite determinarea frecvenței de rezonanță a ansamblului, pornind de la diametrul activ al difuzorului și cunoscând volumul V al incintei. Se poate proceda și în sens invers.



pentru a se impiedica valurile laterale să se extindă în exterior, ceea ce ar rezulta într-o pierdere de putere.

Pentru unirea căile de difuzie din interior, se propune utilizarea unei căi de rezonanță de lungime $L = 100 \text{ mm}$ și de 0.0175 m^2 .

Același fundal deosebit de interes rezultă din cauză că diametrul cilindric este de 20 cm . Se trasează o cercușă pînă la intersecția cu caracteristica $V = 18.5 \text{ dm}^3$. Dacă apoi se trasează o dreptă orizontală pînă la intersecția cu cercușă, la frecvența $f_r = 60 \text{ Hz}$. De aici, o altă verticală va trebui să se pună cu paralelă o doară și altă oarecare altă verticală în față. În felul acesta se determină locul de rezonanță a ansamblului. Astăzi cum se poate face, să se cunoască și se poată preleva în sens invers, să se marcat pe nomogramă, determinându-se la un răstăciu vertical și corespunzător diametrul lui difuzorului cu care astăzi se și are originea pe una din diagramele judecătmului V al incintelor cuștice inchise. După cum se observă rezultatele sunt asemănătare cu cele obținute prin calcul numeric.

2.3.3. INCINTE BASSREFLEX (ANTIREZONANTE)

O altă soluție de montaj acustic al difuzorului, derivă din ideea de a utiliza pentru redirecționarea frontală, sunetele acustice generate de ambele fețe ale difuzorului, înțărind, în același timp, sarcina acustică pe spațiale membraane. Aceste cerințe sunt prevăzute să se realizeze între-un domeniu restrins de frecvențe, corespunzător sunetelor joase și situat în imediata apropiere a frecvenței de rezonanță. Dispozitivul de montaj capabil să susțină condițiile menționate, funcționează pe principiul rezonatorului Helmholtz și este cunoscut sub diferite denumiri: incintă inversoare de fază, sau incintă antirezonantă sau, mai ales, ca incintă bassreflex. O astfel de caseta, reprezentată în figura 2.16, este prevăzută cu o deschidere amplasată pe aceeași față pe care se află fixat și difuzorul. Prezentată schematic, funcționarea unui ansamblu difu-

— incinta acustica este umpluta; cind se aplică tensiune de audiofreqvență pe bornele bobinei mobile, membrana diferențială începe să se deplaceze, aerul din incintă urmând scurind, după caz, comprimarea și extinderea incintei.

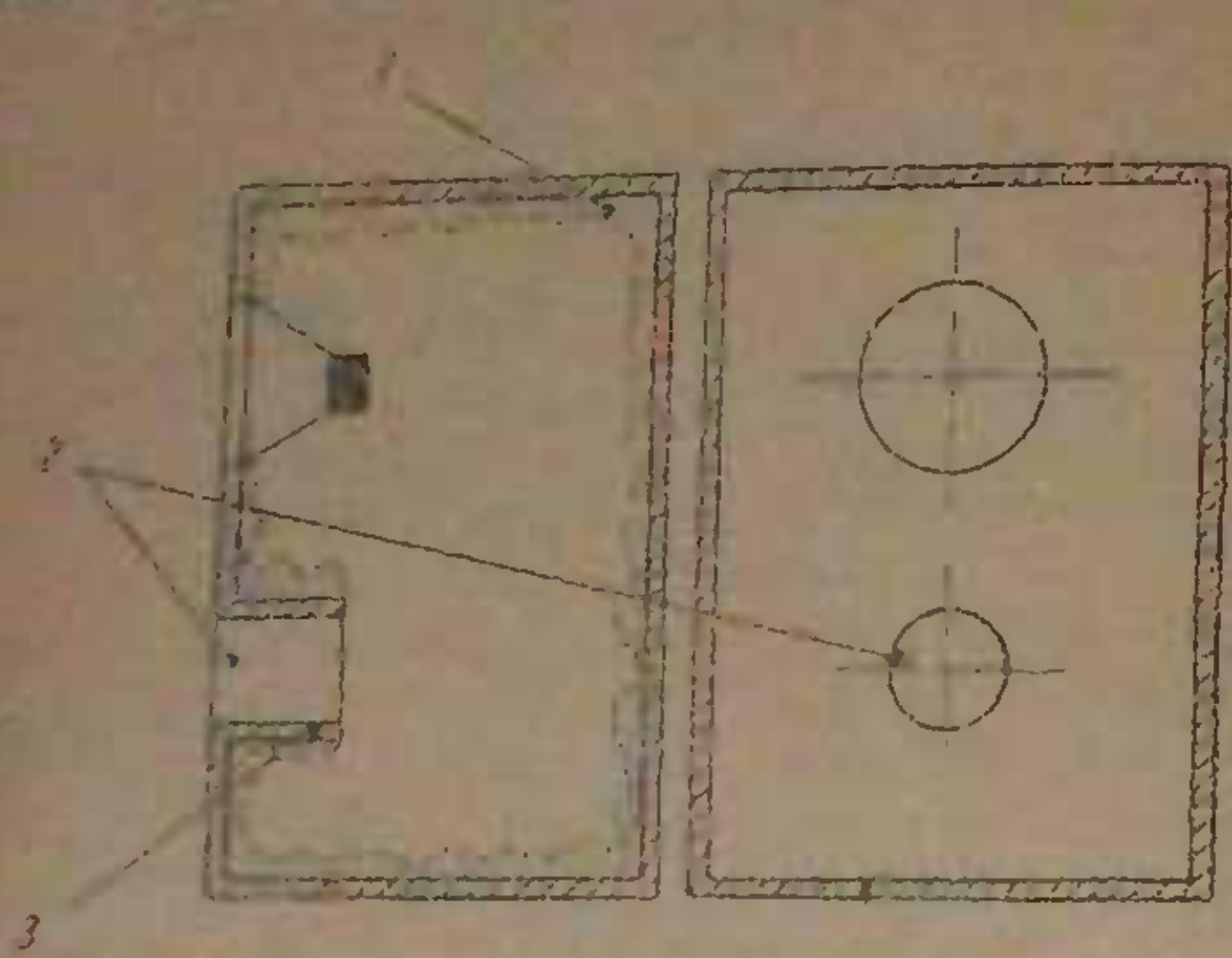


Fig. 2.13. Incinta acustica bassreflex:

1 — incinta acustica (cabinet); 2 — deschidere; 3 — tub.

dimensiuni. Considerind că are loc o comprimare, se actionează prin întărirea volumului de aer din interiorul incintei, cauzând unirea de aer din deschidere, aceasta avinând o mișcare de a se deplasa spre exterior. Masă de aer din deschidere se comportă întocmai ca un piston, fiind puțin rezistent la radiație acustică asemănătoare cu cele ale membranelor și poate chiar denumirea de „membrană închisă”. Prin introducerea ei se creează o substanțială rezistență de radiație, cu consecințe sesizabile în raport la frecvențe joase.

Dacă dimensiunile deschiderii sunt mici în raport cu lungimea de undă a sunetului emis, rezistența de radiație va fi mică și în consecință puterea acustică radiată va fi deosebit de redusă. Prin urmare la frecvențe joase, corespunzător unei lungimi de undă mari, sunt necesare deschideri de suprafețe mari. Deși aparent acest lucru nu

ar părea lipsit de sens, există totuși contravenție, deoarece valoarea rezistenței de aer nu se află într-o strânsă interdependență cu valoarea volumului incintei, în temă cu ceea ce rezultă din ecuația formulei, ea care permite calculul frecvenței de rezonanță al rezonatorului Helmholtz. Ea a fost demonstrată de Rayleigh și este de forma:

$$f_0 = \frac{c_0}{2} \sqrt{\frac{S_0}{V \left(t + \frac{V \cdot S_0}{2} \right)}} \quad (2.20)$$

în care:

f_0 este frecvența de rezonanță, în Hz;

c_0 — viteza sunetului, în m/s;

S_0 — secțiunea deschiderii, în m^2 ;

t — grosimea deschiderii, în m;

V — volumul interior, util, al incintei, în m^3 .

Din aceste motive, la dimensionarea incintelor se va adopta soluții de compromis în care se vor fi analizat următorii principali factori:

— domeniul de frecvențe (ce are în vedere frecvențele joase) ce urmează să fie reproduse;

— dimensiunile incintei, îninad scănd de condițiile spațiului ce urmărează să fie sonorizat;

— caracteristicile și dimensiunile difuzorului;

— dimensiunile deschiderii.

La o casetă tip bassreflex se urmărește obinută una frecvențe de rezonanță, f_0 (a difuzorului) și f_1 (a incintei), ceea ce este mai apropiate ca valoare, eventual identice. Deoarece identitatea de valori este greu de obținut, în practică sunt puse în evidență trei domenii de frecvențe: primul corespunzător frecvențelor superioare lui f_0 , în care difuzorul se comportă ca și cind ar fi montat într-o incintă închisă; al doilea cuprins între f_0 și f_1 și în care se produce o creștere a nivelului de presiune acustică cu 4–6 dB față de cazul difuzorului montat în incintă închisă; al treilea domeniu se află situat sub f_1 și îl corespunde o descreștere substanțială a nivelului de presiune acustică.

Din cele arătate reiese că un priu avantaj al utilizării incintelor bassreflex constă în marele nivelul de presiune acustică.

une perioada de vîrstă de frecvență coprinsă între ω_0 și ω_1 . Mai puțin înainte se sălăi acordajul cu:

— o curățenie la încadrarea impedanței electrice în rezonanță de frecvență (ω_0) și a rezonanței difuzorului (ω_1). Acest fenomen este excepțional prin aceea că în circuitul difuzorului (figura 2.7, c) se produce rezonanță serie și rezonanță paralelă care determină anumite caracteristici rezonante. Pentru exemplificare, în figura 2.17 sunt trăsăt datele reprezentând impedanța electrică atât a difuzorului cât și a unei bărbi libere din cauză rezonanță difuzor montat într-o cadră băsseflex. Se poate constata, în acest fel, aspectul mult mai puțin ușor de a două caracteristici:

— un lucru de distorsiuni redus, ca urmare a producției unei rezonanțe de răpe, ceea ce presupune aplicarea unor sarcini de valouri mari la suprafața membranăi și suprădările oscilațiilor la frecvențele în cadră ale cărora a crescut.

• Dimensionarea incintelor bassreflex. Înă din anul 1952 mulți specialisti au fost preocupati atât de clarificarea modului de funcționare a incintelor bassreflex cît și dezvoltarea metodelor lor de proiectare. Problema di-

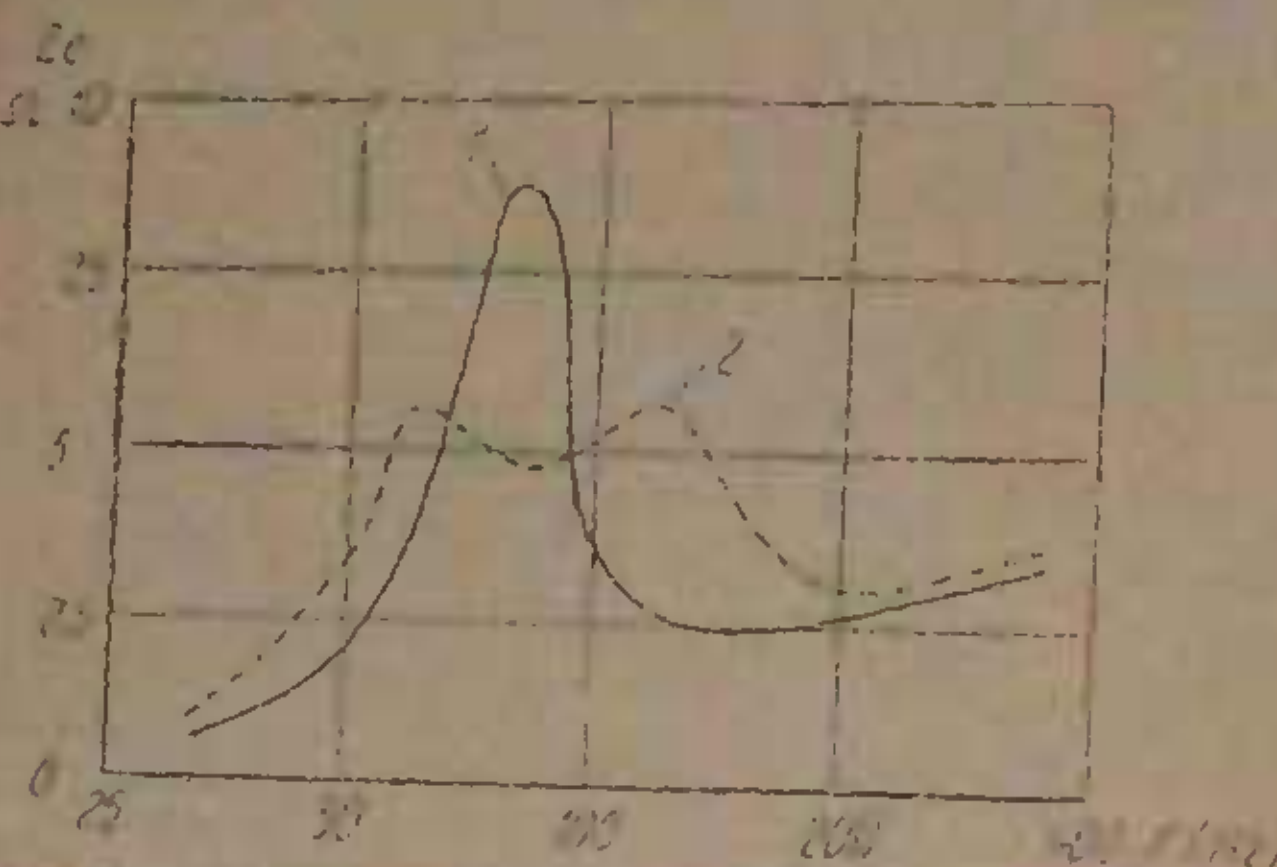


Fig. 2.17. Reprezentare a modulului impedanței electrice a difuzorului în funcție de frecvență.

dimensionării nu este de loc să împărtășească, în majoritatea lor, nu se cunoaște cu precizie și în totalitate, valorile principalelor parametri. Unii autori ca, de exemplu L. Berndt, au elaborat metode de calcul bazate tocmai pe

cadră și încintă cu multe consecințe, a menținând rezonanța și rezonanța paralelă în cadră și în încintă.

În cele ce urmăresc se vor prezenta mai multe cărți de calcul care sintabile cu apărutul lui L. Berndt, relativ cu rezonanța de răpe și rezonanța paralelă, două în număr, unde metoda proprie și cea bazată de G. Westermark și, respectiv, J. E. Klock.

Recomandăm metoda L. Berndt, care se bazează pe elementele de bază circuitul echivalent și în același timp a fost el prezentat în figura 2.7, c. Din analiza sa rezultă că elementele ce trebuiesc luate în considerare sunt următoarele:

- inducția corespunzătoare mării de rezistență a membranului mobil al difuzorului, $M \rightarrow M_s$;
- capacitatea determinată de susținătorul membranăi de suspensie și membranei, C ;
- impedanța de radiație corespunzătoare membranăi difuzorului (masă și rezistență), $M_s + R_s$;
- capacitatea rezultată din elementele secundare din interiorul incintei, C_b ;
- inducția determinată de masă aerului din cadră, M_a ;
- impedanța de radiație corespunzătoare periferiei (masă și rezistență, M_p și R_p).

Prin metoda citată se obțin se următoarele mărimi: ω_0 , pulsăria la rezonanță a difuzorului; ω_1 , pulsăria la rezonanță a ansamblului difuzor incintă închisă; ω_2 , pulsăria la rezonanță a ansamblului difuzor — incintă bassreflex. Din relațiile matematice referitoare la impedanță și puterea acustică a unui astfel de ansamblu, s-au determinat condițiile care permit ca variațiile puterii acustice radiate să fie independente de rezonanțe condiții ce pot fi scrise astfel:

$$\frac{\omega_2}{\omega_0} = 1; \quad \frac{\omega_2}{\omega_1} = 0.65; \quad \frac{R}{M} = 1.68, \quad (2.21)$$

în care s-au notat:

$$\left. \begin{aligned} R &= R_s + R_f + R_p; \\ M &= M_b + M_c + M_s. \end{aligned} \right\} \quad (2.22)$$

Este important de subliniat că relația 2.21 este valabilă pentru regimul permanent, în determinarea lor neîndepărta săma de fenomenele care apar în regim transitoriu. Dacă în considerare în situația în care se suprime forța electromotoră, deci cind se trece în regim transitoriu, se obțin formulele necesare dimensionării incintelor bass-reflex:

$$\left. \begin{aligned} \frac{S_0^2}{M} &= \frac{S_e^2}{M} \cdot \frac{1}{\left(\frac{\delta}{\pi}\right)^2}; \\ V_0 &= \frac{S_e^2}{M} \cdot S_e^2 \cdot \frac{1}{\omega_0^2} \cdot \frac{1}{\left(\frac{\delta}{\pi}\right)^2} = 1.42 \cdot 10^6 \cdot \frac{S_e^2}{M} \cdot \frac{1}{\omega_0^2} \cdot \frac{1}{\left(\frac{\delta}{\pi}\right)^2}; \end{aligned} \right\} \quad (2.23)$$

$$r_0 = 2 \cdot \frac{\delta}{\pi} \cdot r_0$$

unde următoarele:

S_0 — suprafața deschiderii, în m^2 ;

S_e — suprafața decupării în care se fixează difuzorul, în m^2 ;

δ — constanta de amortizare;

ρ_0 — densitatea aerului, în kg m^{-3} pentru condiții normale atmosferice $\rho_0 = 1.18 \text{ kg m}^{-3}$;

c_0 — viteza sunetului, în m s^{-1} ;

R și M au expresiile indicate prin relațiile matematice 2.22.

Pentru obținerea unei radiatii acustice imbunătățite, în domeniul frecvențelor joase, I. Kebs propune un raport $\frac{R}{M} = 1.2$.

În acest caz formulele se pot scrie sub forma:

$$\left. \begin{aligned} \frac{S_0^2}{M_0} &= \frac{S_e^2}{M} \cdot \frac{1}{1.44}; \\ V &= 9.85 \cdot 10^6 \cdot \frac{S_e^2}{M} \cdot \frac{1}{\omega_0^2}; \end{aligned} \right\} \quad (2.24)$$

$$\frac{R}{M} = 2.4 \cdot c_0,$$

Dacă deschiderea incintei bass-reflex are formă circulară, se obține $S_0 = \pi r_0^2$ și masa M_0 se calculează cu relație:

$$S_0^2 = r_0^2 \pi^2 \quad \text{și} \quad M_0 = \frac{\rho_0}{g} \cdot \pi r_0^2 \cdot \frac{1}{4}, \quad (2.25)$$

în care r_0 este raza deschiderii.

Înindu-se seamă de formula 2.23, raportul $\frac{S_0^2}{M_0}$ poate fi exprimat prin relația matematică:

$$\frac{S_0^2}{M_0} = \frac{3 \pi^2}{16 c_0^2} \cdot r_0^2. \quad (2.26)$$

Determinat fiind raportul $\frac{S_0^2}{M_0}$, expresia 2.24 poate fi prezentată și astfel:

$$r_0 = \frac{S_0^2}{M} \cdot 4.53 \cdot 10^{-4};$$

$$V = 9.85 \cdot 10^6 \cdot \frac{S_e^2}{M} \cdot \frac{1}{\omega_0^2}, \quad (2.27)$$

$$\frac{R}{M} = 2.4 \cdot c_0.$$

În situația în care deschiderea incintei este prevăzută cu tub, ecuațiile 2.25 se transformă după cum urmează:

$$S_0^2 = r_0^2 \pi^2 \cdot M_0 = \rho_0 \pi r_0^2 [l + 1.7 \cdot r_0]. \quad (2.28)$$

Relația 2.28 a fost determinată de Rayleigh. Cu l să notăm lungimea tubului care rezultă din egalitatea:

$$l = 2.61 \cdot 10^3 \cdot r_0^2 \cdot \frac{M}{S_0^2} - 1.7 \cdot r_0. \quad (2.29)$$

Pentru a constata modalitățile de utilizare practică a acestor formule, se prezintă, în cele ce urmează, un exemplu numeric. În acest scop, se propune dimensionarea unei incinte bass-reflex, fiind cunoscute următoarele date:

- diametrul difuzorului: $2a = 0.2 \text{ m}$;
- inducția în întregier: $B = 1 \text{ T}$;
- lungimea firului bobinei: $l_b = 3.60 \text{ m}$;
- rezistența electrică a conductorului mobil: $R_b = 5 \Omega$;

- fréquence de rotation à 60 Hz;
- masse totale équivalente discontinue $M_f + M_s = 1 \cdot 10^{-3}$ kg;
- masse des deux corps rotatifs égale à 50 % de la masse totale;
- masse des deux corps rotatifs égale à 30 % de la masse totale;
- diamètre d'essai : $D = 12.5 \cdot 10^{-3}$ m;
- masse d'essai : $M = 12.5 \cdot 10^{-3}$ kg;
- rayon de l'axe : $R_f = 2.07$ Ω M MKS;
- rayon de l'axe : $R_s = 0.93$ Ω M MKS.

Introducere: valoare conspunzătoare în relația 2.27
din următoarele valori:

$$A = \frac{\pi D^2}{4} = 314 \text{ cm}^2 = 0.0314 \text{ m}^2$$

$$r = \frac{3,14 \cdot 10^2}{12,3} \cdot 4,03 \cdot 10^{-3} = 0,63 \text{ cm} = 0,0368 \text{ m}$$

$$V = 9.85 \cdot 10^4 \cdot \frac{314}{12.3} \cdot \frac{1}{6.28 \cdot 0.01} = 56\,000 \text{ cm}^3 = 0.056 \text{ m}^3$$

În continuare mai poate calcula și valoarea sumei cinci ori de radacine și încări:

$$R = R_f + R_s = 2.4 \cdot m_0 M = 2.4 \cdot 6.28 \cdot 60 \cdot 12.3 \ldots \\ = 1.1 \cdot 10^4 \text{ g s}^{-1} = 11 \Omega \text{M MKS.}$$

Dacă se compara valoarea lui R calculată ($11 \Omega M$ MKS), cu valoarea reală ($2.15 \Omega M$ MKS), se constată că prima, este mult mai mare decât cea de a doua. Reiese de la această diferență de a mări amortizarea de la valoarea $2.15 \Omega M$ MKS la $11 \Omega M$ MKS. Diferența de $8.85 \Omega M$ MKS se realizează prin introducerea în interiorul cutiei a unui strat îndoros, cu ajutorul căruia se mărește valoarea rezistenței termice.

In multe cazuri, apărute în practică, se impune o apreciere rapidă a dimensiunilor unei incinte bassreflex. Alători, este necesar să existe un mijloc de a verifica rapid rezonanța unei instalații de incintă. În vederea realizării acestor decizionale se prezintă, în cuprinsul acestui paragraf, două metode: de calcul grafic. Una dintre ele care apărține, cum s-a mai arătat, lui G. Westervoor, este relativ mai simplă decât cea de a doua, dar oferă și mai

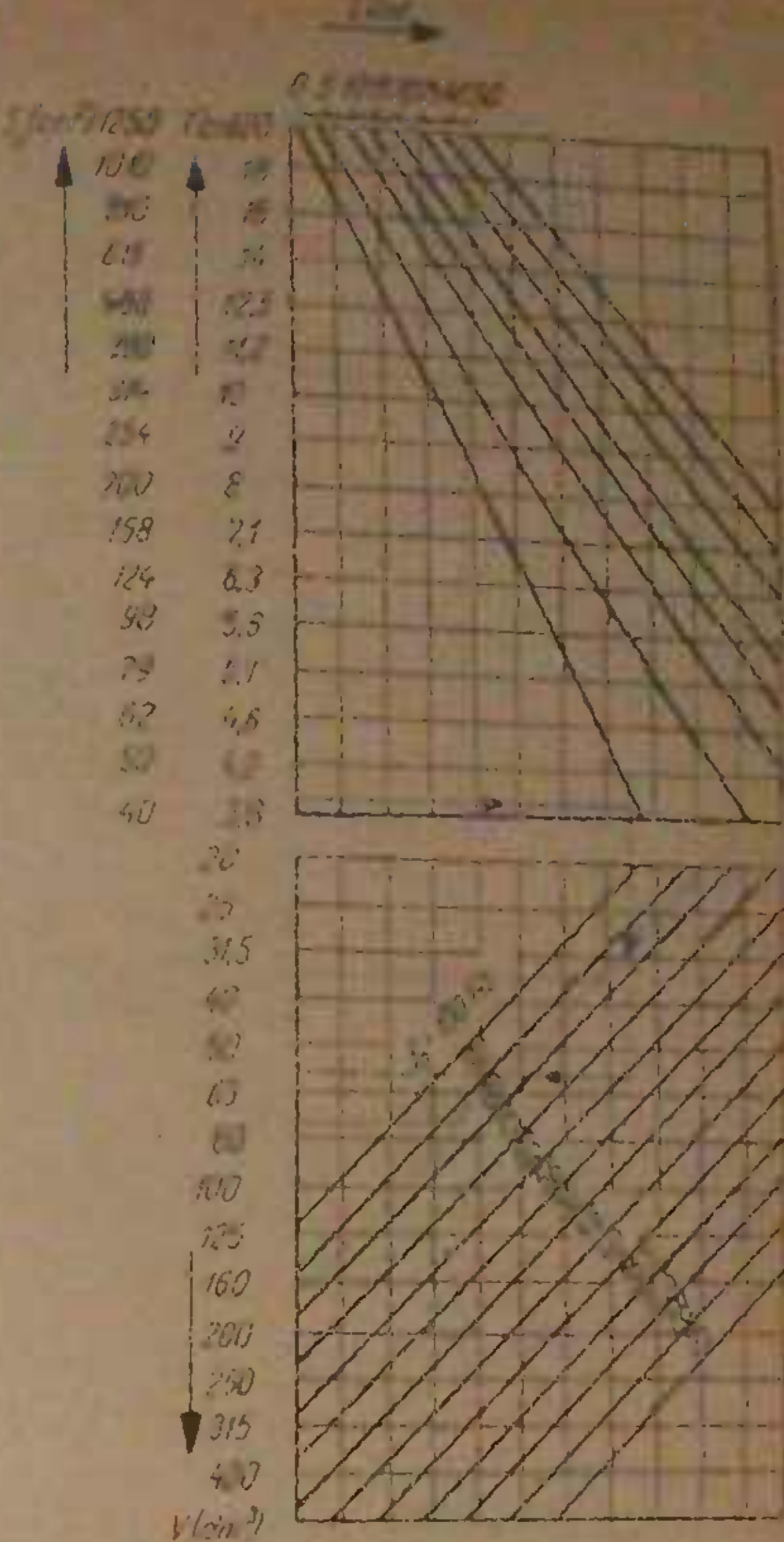
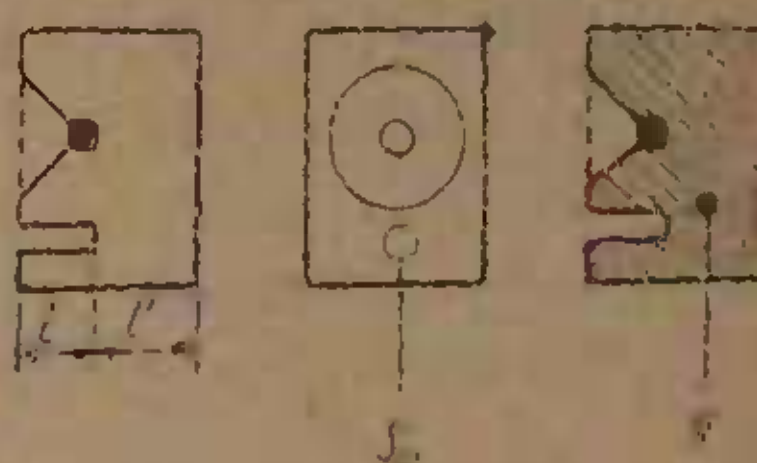


Fig. 2.18. Nomenclatura pentru dimensionarea incintelor bass-flex.



metode constructive. Ceaală metodă a fost elaborată de J. F. Novak. Pentru aplicarea ei se presupune cunoașteri mai multe parametri. Metoda este mai complexă, dar exactă și, din aplicarea ei, rezultă mai multe date care se referă la dimensiunea incintei.

Prima metodă constă în utilizarea unei nomograme (fig. 2.18) care cuprinde două părți: într-o liniște, pe ordonată, suprafețele deschiderii S_0 și distanța r_0 de la capătul tubului la peretele din spate al cămarii. În cinciă, sunt precizate pe ordonată valorile volumului V al incintei. Parametrii variabili sunt lungimea tubului și, respectiv, frecvența de rezonanță f_0 a difuzorului.

Presupunând că se dorește dimensionarea incintei bassreflex pentru același difuzor ce a fost prezentat în capitolul precedent, modul de utilizare a nomogramei este următorul: se fixază pe ordonată punctul corespunzător lui $S_0 = 43 \text{ cm}^2$ (se consideră pentru r_0 valoarea calculată în exemplul anterior). Din acest punct, se trasează o dreaptă orizontală pînă la intersecția cu caracteristica f_0 . De aici, se duce o altă dreaptă, de data aceasta, verticală, pînă cînd întîlneste curba $f_0 = 60 \text{ Hz}$. Dacă se unește acest ultim punct de intersecție cu ordinata celei de a doua părți a nomogramei, se obține valoarea volumului incintei bassreflex. Se observă că, și în cazul calculului său, se obține un rezultat asemănător cu cel determinat prin calcul numeric, volumul fiind aproximativ egal cu $56 \text{ dm}^3 = 56000 \text{ cm}^3$.

Cea de a doua metodă grafică permite determinarea diametrului optim al unei casete bassreflex în condițiile cărora, cît a frecvenței de rezonanță a unui difuzor care radiază liber, cît și a unui ansamblu care cuprinde același difuzor montat într-o incintă închisă. În cazul de față nu este vorba de o incintă oarecare, ci de o anumită casetă pe care autorul metodei a normalizat-o în funcție de dimensiunile difuzorului utilizat. Sunt, astfel, stabilite patru categorii de incinte normalizate, așa cum rezultă și din tabelul 2.1.

Dimensiuni incintelor normalizate
Tabel 2.1

Diametru incintă cm	Lățime incintă cm	Adâncime incintă cm	Diametru difuzor cm	Lățime difuzor cm
20,00	25,00	21,50	10,00	12,50
25,00	33,50	23,20	13,50	16,80
30,00	35,60	23,20	15,00	18,75
37,50	50,00	21,00	18,75	23,75

Determinarea celor două frecvențe de rezonanță a difuzorului radijă liber și a ansamblului incintă normalizată — difuzor) este posibilă și pe calea experimentală (esa cum este de dorit), fie prin calcul. Trebuie menționat că, frecvența de rezonanță a difuzorului este cea care este indicată de furnizor în prospektul care însoțește produsul respectiv.

Dacă se alege, pentru a exemplifica modul de folosință a acestor nomograme, difuzorul din aplicație numărul precedente, frecvența de rezonanță a căreia avea valoarea de 60 Hz . Cealaltă frecvență de rezonanță, a anumitului, neputind fi, în cazul de față, determinată experimental, se ia în considerație rezultatul calculului din paragraful precedent (în care se precizează că difuzorul montat într-o incintă cu volum de 13500 cm^3 , are frecvență de rezonanță f' egală cu 156 Hz). Cunoscute fiind aceste date, se poate trece la prezentarea medului de utilizare a nomogramelor Novak (arătate în figura 2.19).

Prima nomogramă (fig. 2.19, a) servește la calculul volumului cînd diametrul difuzorului este de 20 cm ; doua (fig. 2.19, b) corespunde unor diametre cuprinse între 25 cm și 30 cm , iar a treia (fig. 2.19, c) este utilizabilă în cazul diametrelor de $37,5 \text{ cm}$.

Pentru exemplul ce urmărește, considerindu-se diametrul de 20 cm , se impune folosirea nomogramei din figura 2.19, a. Pe nomogramă sunt traseate patru diagrame: pe diagrama A sunt inscrise volumele incintelor bassreflex; B corespunde frecvențelor de rezonanță ale anumbrului difuzor — incintă normalizată; C este o dreaptă de reper.

pe diagrama D sunt trasele frecvențelor resonanță a difuzoarelor. Se marchează, pe diagramele B și D, punctele M și N corespunzătoare lui $f_0 = 156$ Hz și $f_0 = 60$ Hz. Se unește cu o linie dreaptă aceste două puncte. La intersecția cu dreapta C se obține punctul O_1 . Se duc

o altă dreaptă care să intersecteze O₁ și să treacă într-unghiul cu dreapta A (punctul P). Se determină în acest fel volumul optim al incintei. Se poate alege o rezonanță apropiată de cea cunoscută din exemplul de mai sus, anume V = 5600 cm³.

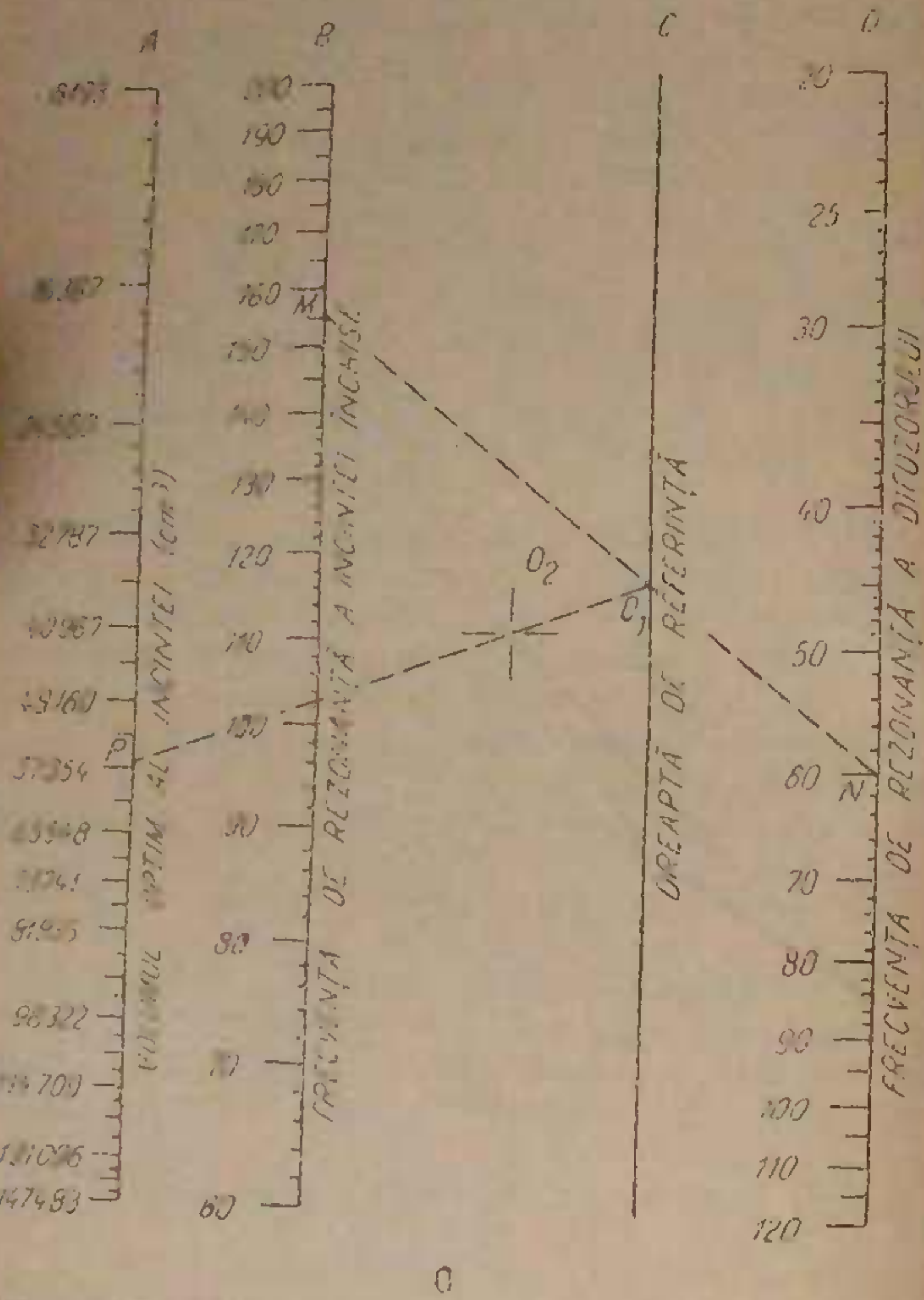


Fig. 2.19. Nomograme pentru determinarea volumului optim al incintelor bassreflex:
a - pentru difuzoare cu diametre de 20 cm.

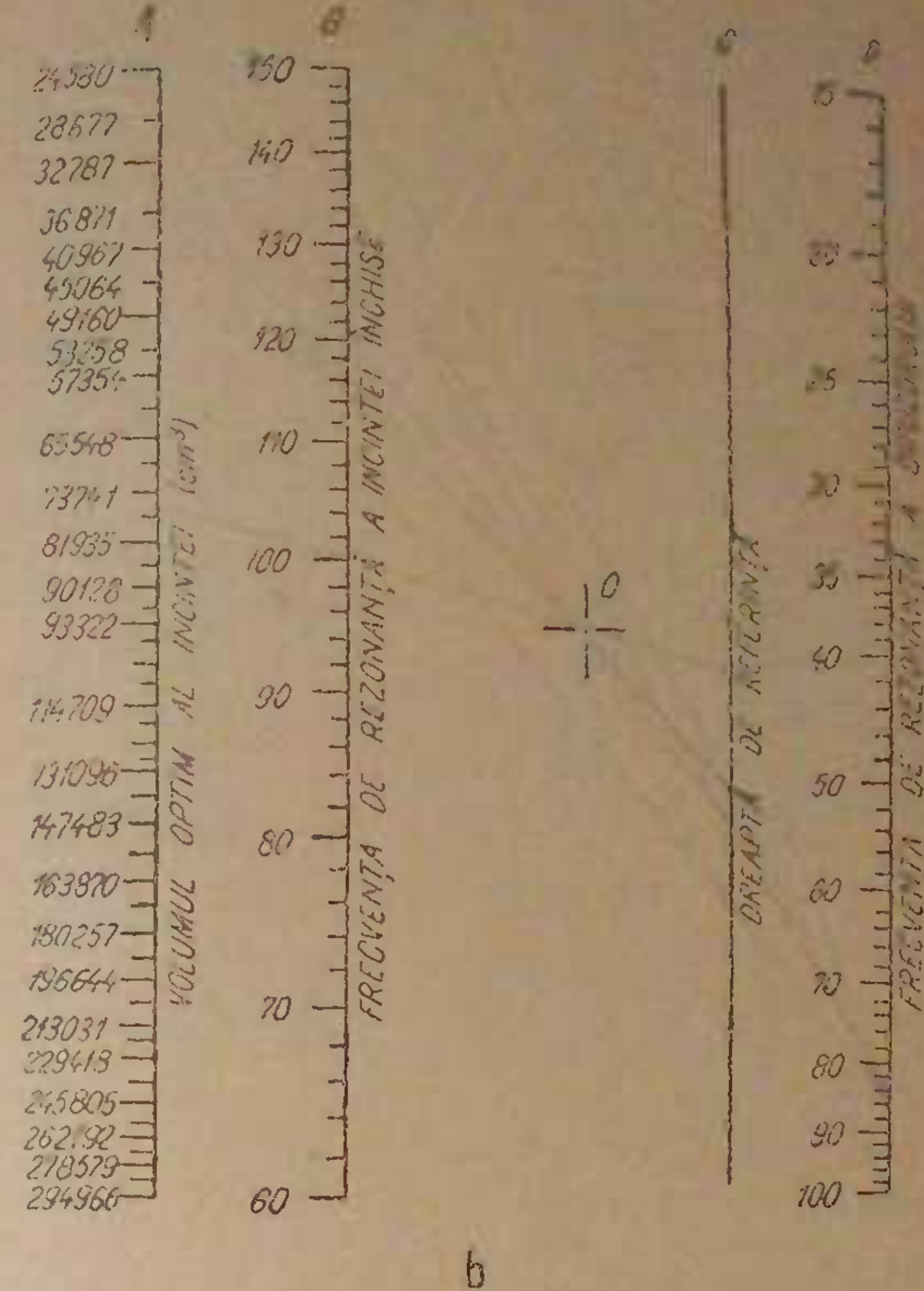


Fig. 2.19. Nomograme pentru determinarea volumului optim al incintelor bassreflex:
b - difuzoare cu diametre cuprinse între 25 cm și 30 cm.

Pentru stabilirea dimensiunilor optime ale boalașelor și a altă nomogramă (vezi figura 2.19). Acea său prezintă patru diagramme A și B pe care sunt inserate volumele închiselor boalașelor, B este spundatorul înălțimii incisiei, C pentru lățimi, și D pentru adâncimi. Trasând o orizontală

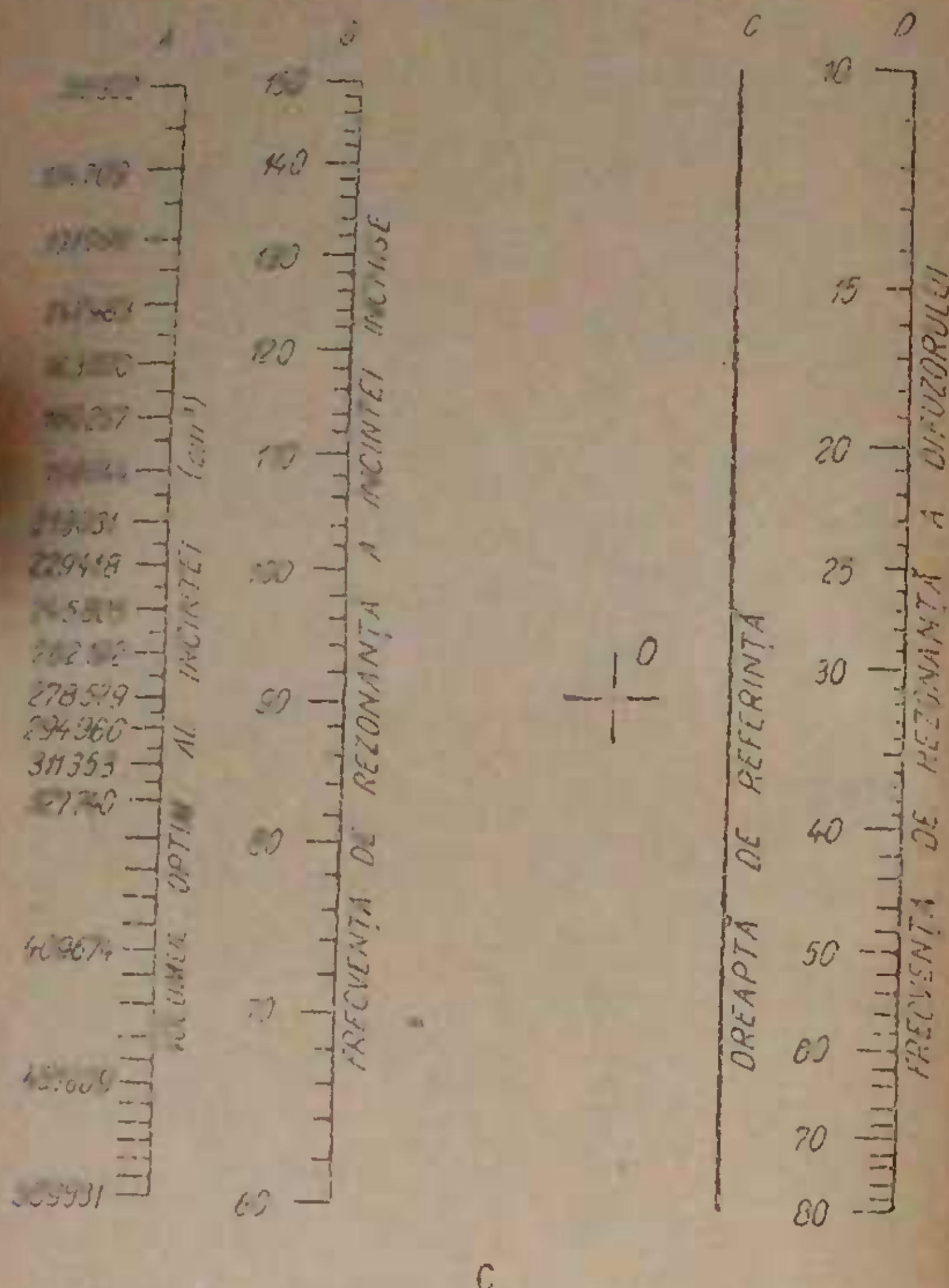


Fig. 2.19. Nomogramă pentru determinarea volumului optim al închisorilor bass-reflex:
- determinare cu diametre de 37,5 cm.

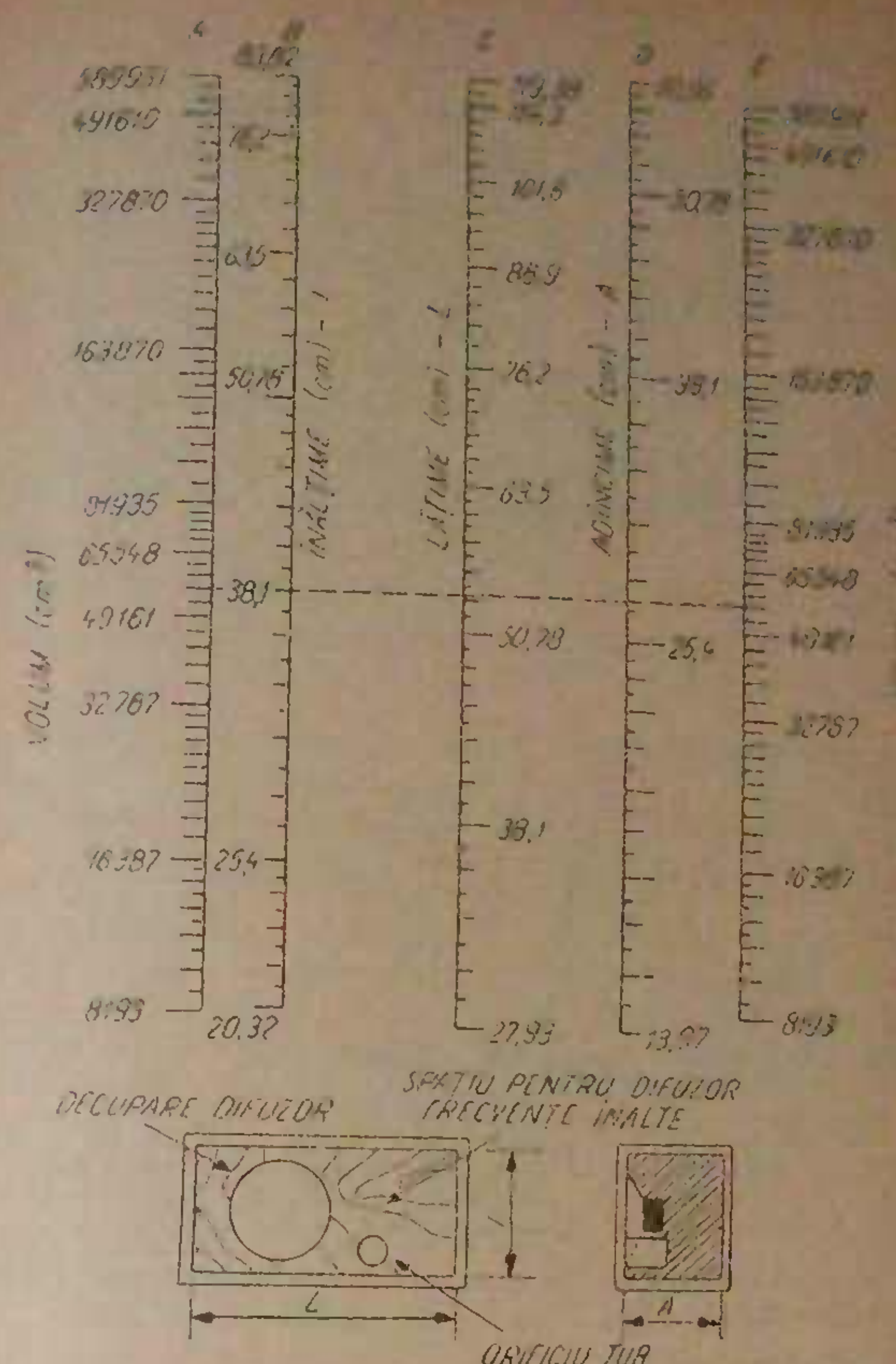
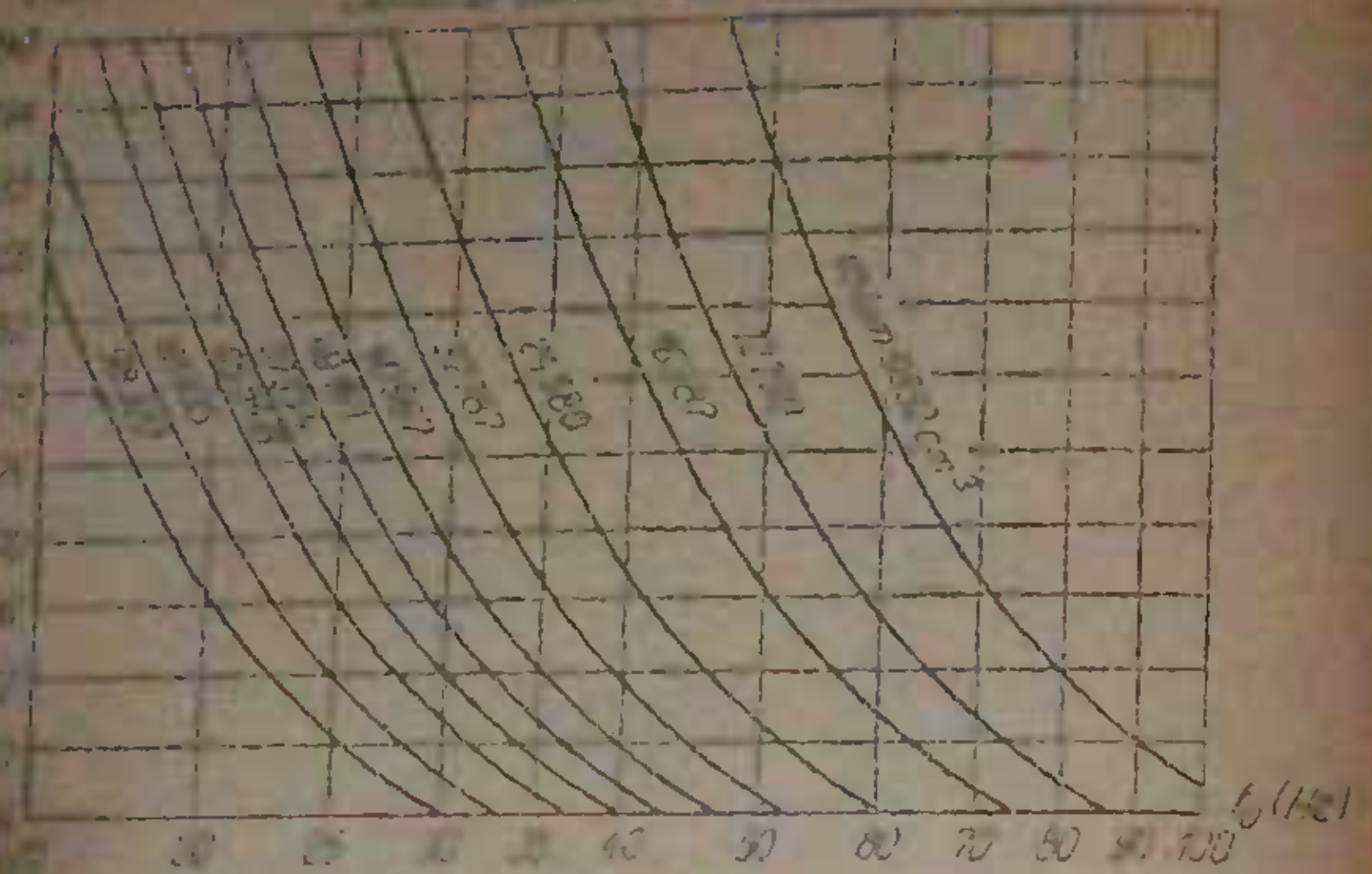


Fig. 2.20. Nomogramă pentru stabilirea dimensiunilor optime ale închisorilor bass-reflex.

— Monuște acustice și difuzoare



deosebită în securitatea și durata de funcționare a unor anumite permiți de călătorie, în combinație cu un deosebită durată de viață a unei piese electronice.

În cadrul acestui în dreptul dezvoltarii speciale, se vor da trei principii de prevenție a dezechilibrelor (figura 2.13).

Principala merită a inventelor propuse ale autorului constă în folosirea din varianta scurtă a dezechilibrelor. În figura 2.22 sunt indicate mai multe modalități de amortizare a reverberelor proprii din invenție. În figura 2.22 a, se poate hărțui că el constă din captusirea cu un material poros și de amplitudine redusă a unei, o jumătate de sârbiște de la înălțimea în care sunt trezătoarele mărite. În figura 2.22 b, c și d sunt schimbate în alte moduri de amortizare a reverberelor proprii, cu ceea ce următoare. Sunt urmărate sisteme de amortizare care să nu conțină consecutivă în mîna sau pe altă parte din spatele din material poros, sau să nu fie amplasate la distanță între metri, departe de cărămidă. Ca material poros, pot fi utilizate vase de sticlă și plastică în hârtie sau sub formă de saltele (ST-S 322-67, NI 670-66, NI 14-69) vîta de sticla sau vase de plastic sau sticla (ST-S 3281-63, NI 612-61). Aceste materiale sunt produse în oraș la fabricile de București, Sibiu — Prahova.

În figura 2.22 sunt indicată și în realizarea invenției basculană și contruirea măsurărilor și regajalelor ce se va face în incintă progrădindu-se el și asupra difuzorului său înălțimabil. Se recomandă ca după terminarea construcției să se efectueze, să se verifice și simplă verificare de vedere a complexității procedurilor și echivalențelor de rezistență. De asemenea, este recomandat să se urmărească în ambele difuzor-încinte basculante, să se urmărească că este lăsată principala parametrii tehnici și să se urmărească prin proiectare se regăsească valoarea înălțimii. Materialele nu sunt necesare și în altă parte, de exemplu, cind se schimbă difuzorul din înălțime, în hârtie având caracteristică tehnico-asemanătoare cu cea cind depă un timp mai îndelungat de funcționare se obțin chinuri cahătive (datorită pierderii, în-

ținere a proprietăților fizice și chimice ale permițelor de călătorie). Procedurile de urmărire și control trebuie să fie întotdeauna îmbinăte cu metode de depistare a eventualelor defecțiuni. Dintre următoarele modalități:

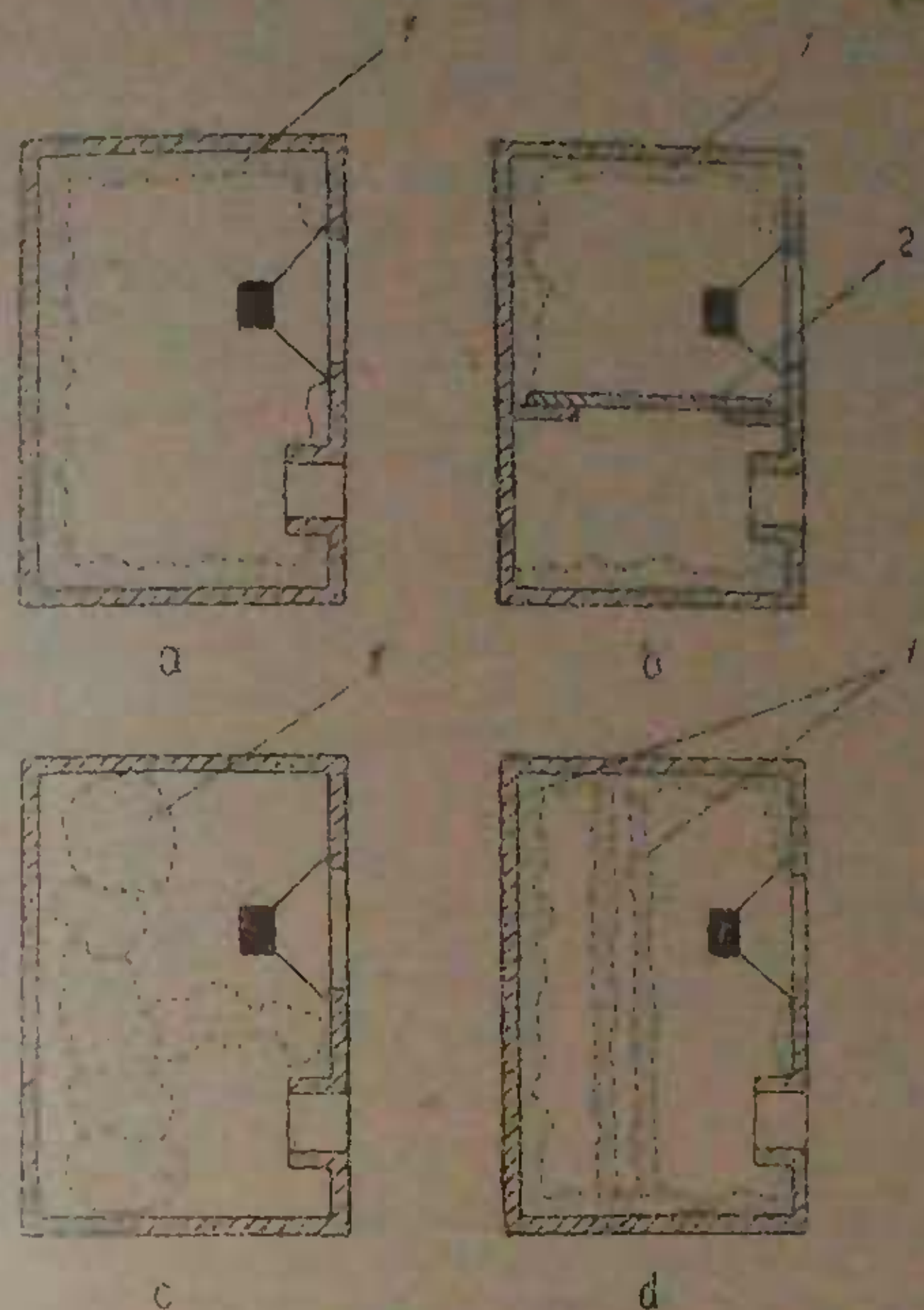


Fig. 2.22. Modalități de amortizare a reverberelor proprii din invenție în înălțimă:

a — captusirea perceptorului cu material conținând vibrații; b — același lucru în care este adăugat un cercon din piatră sau porfir; c — amortizare realizată cu perete din material fonodobor anti; d — același lucru ca și în figura 2.22 a, în care se adăugă 3 draperii din lână de 15 mm (probabil de firma Coconatura); 1 — material fonodobor anti; 2 — cercon din piatră sau porfir.

care sănătătos și în funcție de multor aranžări de reper și unde de măsură. În ceea ce se referă la rezonanțe de incintă, pot fi amintite că, în cadrul unor determinări fizice ale rezonanțelor, se poate observa și prezenta în calea cu sunet a.

Varianta calității frecvenței de rezonanță a difuzorului se realizează cu un echipament de măsurat alcătuit din genuncher de radiofrecvență, un amplificator și un comutator electronic (fig. 2.23).

Rezistența R , introdusă în montaj, este de ordinul a 100 Q și are rolul de a permite injectarea unei curățuri continue în circuitul electric al difuzorului. În acest fel, tensiunea inițială de voltmetru electronic este proporțională cu impedanța echivalentă Z a difuzorului. Grățică, ca rezultă din această relație, reprezentă variația impedancei Z în funcție de frecvență, maximul acționându-se la frecvența de rezonanță f_0 a difuzorului (vezi și figura 2.17).

Pentru determinarea frecvenței de rezonanță a incintei bassreflex se poate utiliza o metodă relativ simplă, ceea ce înseamnă că sunetul, pur, sinusoidal, produs de un difuzor, moară pe un panou plan, amplasat în imediul incintei. Un microfon, introdus în casetă, este con-

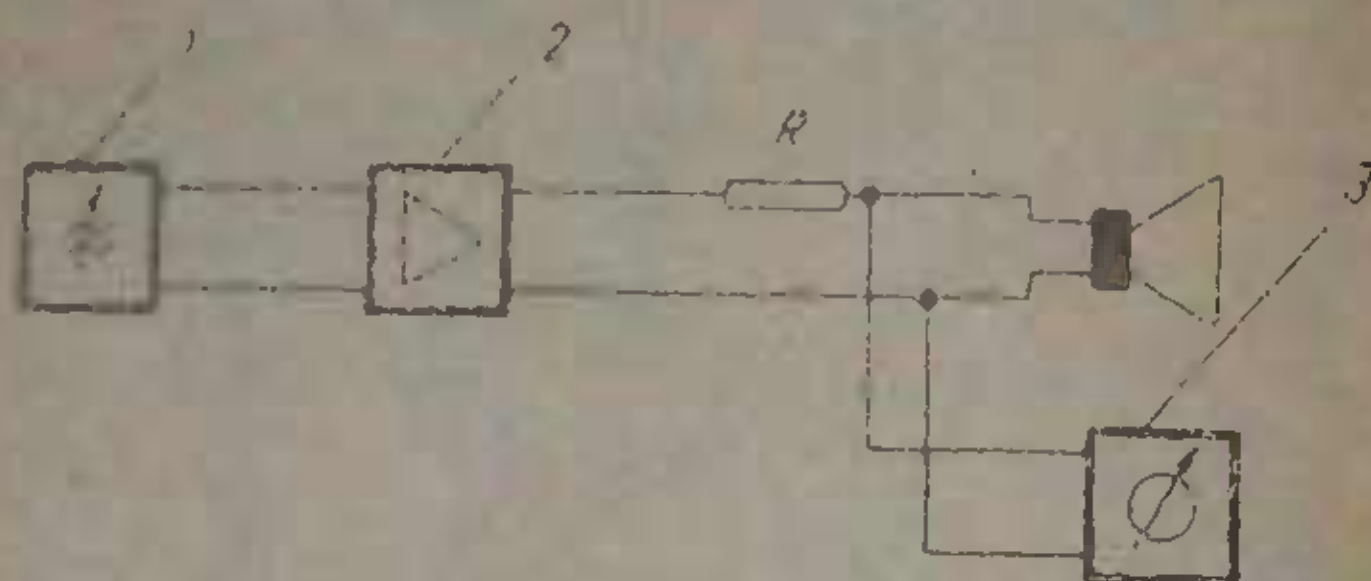


Fig. 2.23 Schema bloc a instalației pentru măsurarea rezonanței de rezonanță a difuzorului:

1 — generator de radiofrecvență; 2 — osciloscop de putere; 3 — voltmetru electronic.

at la intrarea unui lant electroacustic terminat cu un voltmetru electronic. Variind frecvența sunetului excitator, se constată că la o anumită frecvență (cea de rezonanță a incintei), puterea electrică la ieșirea lanțului electroacustic are valoarea maxima.

Considerind că, după aceste măsurări, se montează

difuzorul în casetă și că tratamentul acustic nu face parte dintr-o întrebare, ele permit să se constate că există o diferență considerabilă între rezonanța incintei și cea a difuzorului. Deja cum se constată în figura 2.17, dacă ansamblul este un reglaj cu doar un singur element, unui impedență electrică în cadrul de frecvențe trebuie să fie egală. În situația în care rezonanța de la frecvența superioară are o valoare mai mare decât cea de la frecvență inferioară, este necesar să se adauge un element de deschidere; dacă marimea de la frecvență inferioară este superioară celuilalt, se impune obținerea unei poziții dacă deschiderea incintei bassreflex. Dacă se ajunge să se poată ajunge ca cele două rezonanțe să aibă valori aproxiimativ egale, ceea ce ar corespunde unui acord optim.

In practica de proiectare și realizare la scara industrială apar, de multe ori, cazuri în care se impune implementarea mai multor ansambluri difuzoare într-o incintă bassreflex. Pentru aceste situații speciale, se recomandă realizarea unor casete cu pereti demontabili, prevăzute fiecare cu buloane, șârbe și pufoane cu miner tip „fluture”. În acest mod, panourile frontale, pe care sunt fixate diferite difuzoare, pot fi schimbată cu ușurință. De asemenea, este indicat, ca și pentru deschidere să se adopte o soluție adecvată, astfel încât suprafața acesteia să poată fi modificată cu cat mai puține complicații constructive. În figura 2.24 este arătată o propunere făcută de G. A. Briggs.

În încheierea acestui paragraf se vor trage în revistă cîteva din defectele ce se pot produce la o incintă bassreflex, prezentindu-se totodată modul în care se manifestă fiecare din ele, cauzele probabile și unele remedii ce pot fi aplicate:

a) Apariția unor rezonanțe multiple. O astfel de defecțiune se poate datora intrării în stări de vibrație a peretilor casetei. Remediul constă în rigidizarea tuturor panourilor cu baghetă din lemn dimensionate corespunzător și în verificarea în amănunt a pieselor de fixare.

b) Variații continue ale frecvențelor de rezonanță. Asemenea defecțiuni sunt generate de slabă etanșeitate

în interiorul casetei și, ca urmare a acestuia, săpt. o ușă de scăpare și o ușă din incintă. Îndepărțarea acestor elemente și verificarea și apoi poziționarea lor este posibilă fie prin verificarea și apoi poziționarea lor.



Fig. 2.24. Realizarea unei incinte bassreflex cu deschidere variabilă ca suprafață.

Secțiunile și temelior de prindere a panourilor, fie printră introducerea unor materiale elastice (pislă, cauciuc), fie prin intermediul lor de contact.

c) Frecvența de rezonanță a incintei bassreflex este de obicei mai ridicată decit cea rezultată din calcul. Cauza unei astfel de anomalii constă în erorile de construcție a deschiderii și a tubului. Remedierea este posibilă, dacă se micșorează suprafața deschiderii sau, după caz, dacă se utilizează un tub de lungime mai mare.

d) Frecvența de rezonanță a incintei bassreflex are o valoare scăzută față de cea rezultată din calcul. Cauza este deosebit de similară cu cele din cazul precedent. Îndreptarea situației este posibilă prin marirea suprafeței deschiderii respectiv prin micșorarea lungimii tubului. Dacă frecvența de rezonanță este mult mai mică față de valoarea prestațională atunci, se impune să se actioneze direct asupra volumului casetei, în sensul micșorării spațiului din interiorul său. În acest scop, se vor introduce în casetă fie saci mici umpluți cu nisip, fie căramizi.

2.4. ALTE DISPOZITIVE DE MONTARE A DIFUZORULUI LABIRINTUL SI PILNIA ACUSTICA

Cercurile întreprinse în scopul realizării altor dispozitive, cît mai potrivite pentru montajul difuzorului, astfel încit ansamblurile difuzor-dispozitiv să favorizeze obținerea unor valori optimale pentru majoritatea parametrilor calitativi, au condus la diversificarea categoriilor sistemelor de montaj acustic și, în cadrul unei noi, ieșăi categorii, la multiplicarea soluțiilor constructive.

În paragrafele precedente a fost descrisă o parte din dispozitivele de montaj acustic, ce ar putea fi denumite clasice, fără a lua în considerare și alte categorii de incinte acustice, care intrunesc, pentru o aceeași unitate constructivă, caracteristicile tehnice ale mai multor tipuri sau care conțin pe lîngă elementele specifice unei anumite grupe de casete, dispozitive suplimentare, menite să contribuie la îmbunătățirea calității. Pot fi, astfel, amintite atât incintele care reprezintă combinații între casele de bassreflex și tuburile acustice, cît și acele incinte cunoscute sub denumirea de elipson. Acestea din urmă, foarte răspândite în Franță, sunt alcătuite, de obicei, din doi rezonatori Helmholtz: primul reprezentă incinta bassreflex, cel de al doilea, de formă inelară, și cu deschiderea amplasată în grosimea orificiului celui dintâi, contribuie la îmbunătățirea răspunsului cu frecvență (fig. 2.25).

În majoritatea cazurilor incintele elipson sunt prevăzute cu reflectoare de sunet, ale căror forme concave sau convexe, se aleg în funcție de efectul ce trebuie realizat.

Revenind la dispozitivele denumite clasice, mai este necesar să fie amintite două dintre ele și anume labirintul acustic și pilnia acustică.

2.4.1. LABIRINTUL ACUSTIC

Un astfel de dispozitiv a fost descris pentru prima dată de H.F. Olson, în urmă cu aproximativ treizeci de ani. Din secțiunea prezentată în figura 2.26, se observă că labirintul acustic reprezintă, de fapt, o incintă, separată în mai multe secțiuni care comunică între ele. Prin

închidere a secțiunii, se obține un tub închis la capăt, în care este amplasat difuzorul și deschis la celalalt capăt. Cuplând un difuzor cu un labirint acustic, rezultă cele însemnatăre cu ceea ce obținute în cazul incintelor bassreflex.



Fig. 2.25. Incinta acustica „Ellipton”:
1 — reflector de fundal;
2 — difuzor; 3 — material poros cu care sunt captușiti peretii;
4 — rezonator Helmholtz;
5 — tub de extensie.

În crumă: se mărește sarcina pe spatele membranei și se crește posibilitatea de a utiliza, pentru radiația frontală, undă acustică generată de spatele difuzorului.

Modul de funcționare a unui astfel de dispozitiv poate rezulta fie din analiza circuitului echivalent (prezentat în fig. 2.7, c), fie din studiul vibrației aerului cuprins în interiorul său.

Este cunoscut faptul că, dimensionând un tub astfel încât lungimea să să fie egală cu sfertul lungimii de undă a sunetului transmis, cele două mărimi caracteristice, presiunea acustică și viteza sunetului au un mod de vibrație ca cel prezentat în figura 2.27. La frecvențele care nu îndeplinește această condiție, impedanța acustică are o valoare scăzută la capătul deschis și o valoare ridicată la extremitatea închisă (cca la care se află montat difuzorul). În

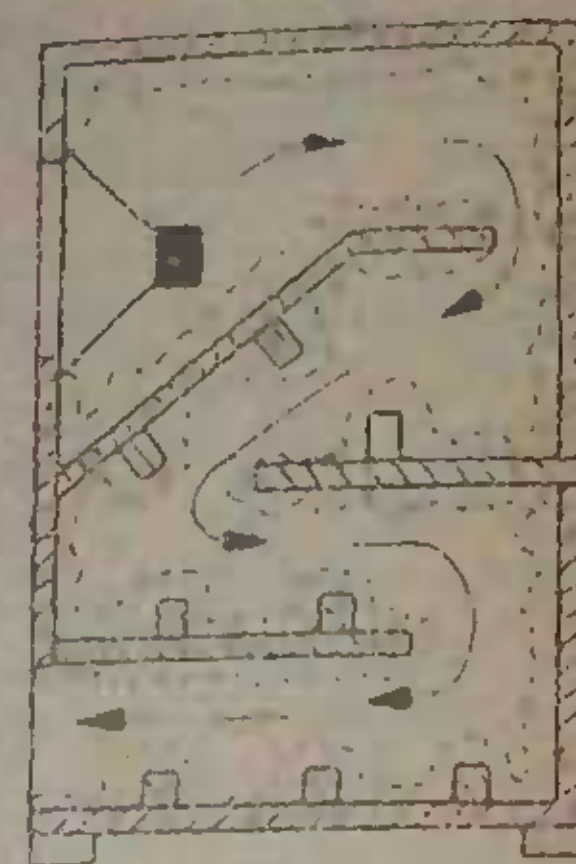


Fig. 2.26. Labirintul acustic:
1 — material poros cu care sunt captușiti peretii;
2 — reflector de fundal;

fază scurtă, pentru un anumit domeniu de frecvențe, se ajunge la rezistență nărcine de către. Prezența rezistenței nărcine ale frecvențelor se produce în cadrul zonelor propriamente unde generează de spatele membranei, în zonă între

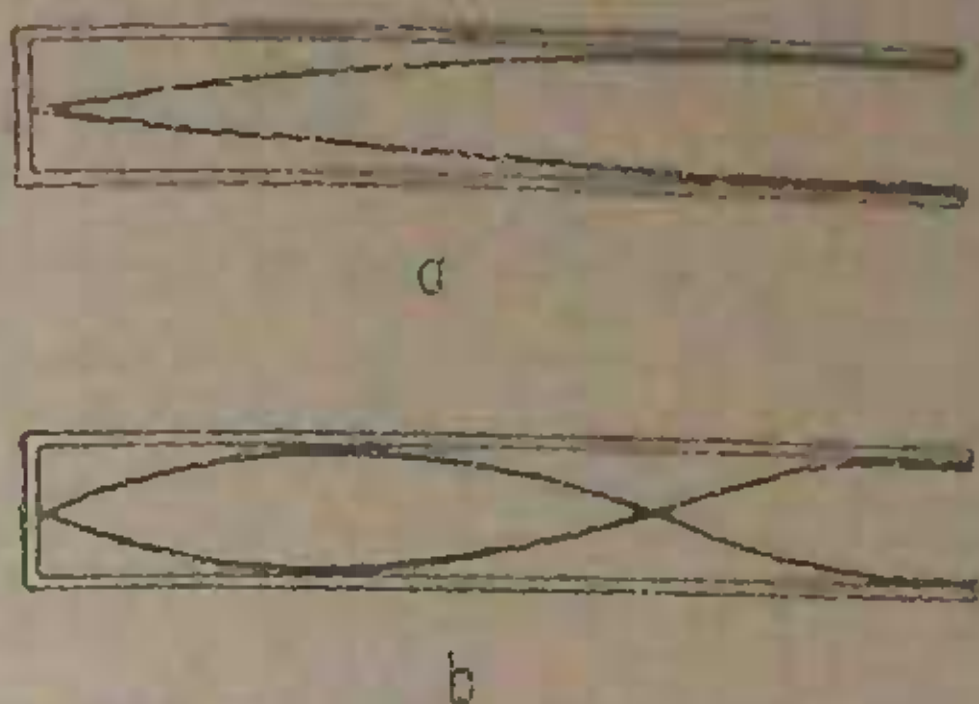


Fig. 2.27. Modul de variație a vitezei acustice, într-un tub închis la un capăt:
a — frecvență fundamentală; b — zone de frecvență sonore.

undelete acustice produse de ambele fețe ale acesteia și neîn fază. Deci și în această situație, înlocuind ca în cazul utilizării incintelor bassreflex, se realizează imbunătățirea răspunsului la frecvențe joase. Mijloacele sunt însă în cele două situații diferite: incinta bassreflex funcționează ca un rezonator de tip Helmholtz, pe cind labirintul acustic are ca element de bază un tub acordat pe sfertul lungimii de undă.

Este totuși necesar să se precizeze că acest mod de vibrație a aerului, din interiorul labirintului, se produce nu numai pentru o singură frecvență, ci pentru toate frecvențele care satisfac egalitatea:

$$l = (2n+1) \frac{\lambda}{4}, \quad (2.30)$$

în care:

l este lungimea tubului în m;

n — un număr întreg (1, 2, 3...);

λ — lungimea de undă a sunetului reproduc-

Pentru căte acesta frecvențe (care sunt de fapt amplitudini mici ale sunetului fundamental), corespunzătoare unei oarecare o serie de rezonanțe, care introduc variații în acordanță în răspunsul cu frecvența al anumitor tuburi în cadrul înțintă-difuzor și, care, în cazul armonicelor supradisponibile în suprafață. Evitarea acestor neajunșuri este posibilă prin căpușirea peretilor labirintului cu un material poros, sonoabsorbant. O contribuție la reducerea amplitudinilor de la rezonanță o aduc și schimbările de direcție a tubului, specifice de altfel, oricărei incinte acustice.

Determinarea lungimii labirintului se face cu ajutorul figurii 2.30, în care se consideră $n = 0$.

În completarea expunării de pe labirintul acustic, se poate observa că s-au considerat indeplinite următoarele condiții: rigiditatea perfectă a peretilor, fluiditatea absolută a gazului din interiorul său (dacă, totuși, o viscozitate nu se poate neglijă), existența unor transformări brusante ale vitezei de la un capăt la celălalt, corecția constă în mărimile lungimii l cu o cantitate egală cu $0.82 r_0$.

În prezent, după cum se observă, modelele de incinte acustice, oferite spre achiziționare amatorilor de reproduceri în înălță fidelitate, sunt foarte numeroase. Ele diferă nu numai de la un producător la altul ci, chiar în cadrul producătorilor unei același firme constructoare, se observă o gamă foarte variată de soluții constructive.

Cîteva dintre cele mai recente și mai cunoscute modele de incinte sunt prezentate în tabelul 2.2. (în care s-a notat cu B incinta bassreflex și cu I incinta inchisă).

2.4.2 PILNI ACUSTICE

Acstea dispozitive sunt constituite, de asemenea, din tuburi, a căror secțiune variază de-a lungul axei de simetrie potrivit unei anumite legi matematice, în scopul re-

alizării unor adaptări de impedanță acustică și prevenirea unui anumit efect direct.

Difuzoarele, sociale cu pilni acustice, din aceeași categorie, amintită la începutul paragrafului anterior, și denumita „cu radiație indirectă” (în modulul de lucru lor nu acționează, în acest caz, direcția unui mediu ambient, ci prin intermediu acelui piln), prezintă elementul de cuplu.

O caracteristică a pilnilor acustice o constituie înălțarea valorii randamentului teoretic în limitele mari, prin încărcarea membranăi cu o suprafață mică, grație introducerii unui element intermediar, denumit camera de compresie.

Dacă sunt luate în considerație schimările din figura 2.22, se poate observa că, oricare din pilni, prezintă la celălalt două secțiuni diferite. Capătul cu secțiunea mai mare se numește gâtul pilniei, iar cel cu secțiunea mai mică denumirea de gură a pilniei. În funcție de ecuația matematică potrivit căreia se stabilește profilul pilniei, se pot fi împărțite în următoarele categorii:

— pilni conice (ecuație: $S_2 = S_1 \cdot x$);

— pilni exponențiale (ecuație: $S_2 = S_1 \cdot e^{mx}$ în care m este o constantă de expansiune);

— pilni hiperbolice (ecuație: $S_2 = S_1 \left(\operatorname{ch} \frac{x}{x_0} - k \sin \frac{x}{x_0} \right)$)

în care x_0 este distanța pe ax față de origine a secțiunii, iar k un coeficient subunitar, cuprins între 0,5 și 0,7;

— pilni parabolice (ecuație $S_2 = S_1 \cdot x^2$).

În toate ecuațiile arătate s-a notat cu S_2 secțiunea gării pilniei și cu S_1 suprafața gătului său.

În practică, dintre toate profilurile enumerate, cele mai frecvent utilizate sunt cele conice și cele exponențiale (figurile 2.28, a și b).

Considerind cazul cel mai simplu, al pilniei conice, se poate demonstra egalitatea:

$$Z_1 \cdot S_1 = Z_2 \cdot S_2, \quad (2.31)$$

în care Z_1 este impedanța acustică la intrarea pilniei și Z_2 impedanța acustică la ieșirea sa. Această relație permite să se tragă concluzia că impedanța acustică a unei pilni variază continuu și proporțional cu secțiunea sa, facind posibilă, în acest fel, realizarea adaptării de impedanță.

Pentru determinarea lungimii unei părți conice se folosește formula:

$$l_c \geq \frac{D_2}{2\pi} \left[\frac{D_2}{D_1} - 1 \right] \quad (2.32)$$

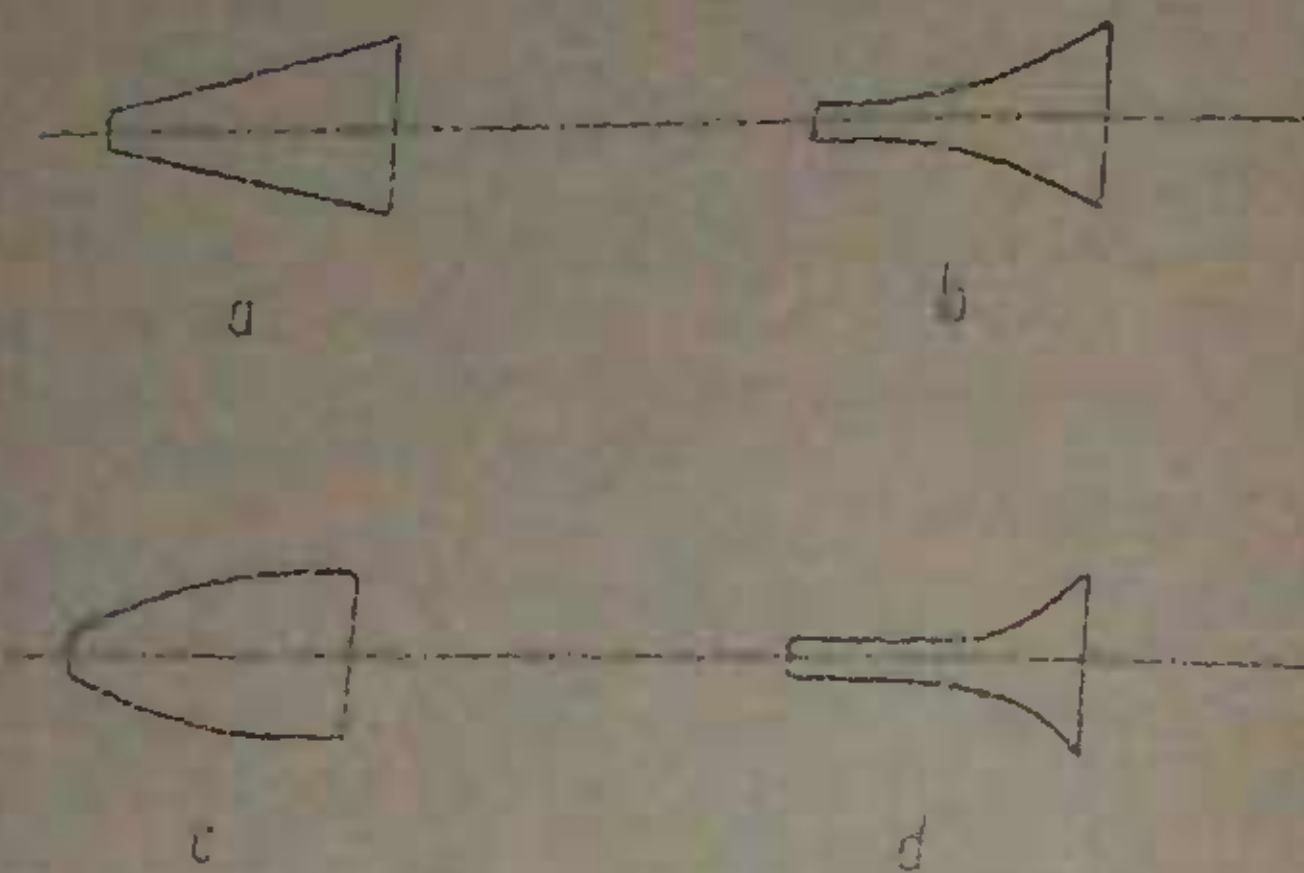


Fig. 2.28. Tipuri de pilni:
a — conică; b — cu apertura în formă de rectangulo; c — cu
apertura în formă de rombo; d — cu apertura în formă de cerc.

În ceea ce următoarele:

- lungimea pilni i conice, în m;
- D_1 — diametrul gurii pilni, în m;
- D_2 — diametrul guri pilni, în m;
- f_c — lungimea de călărit corespondătoare frecvenței minime ce urmărează să fie transmisă, în m.

Această formulă se aplică și pe baza unor considerații economice astfel cum de fapt se poate constata și din figura prezentată în figura 2.29.

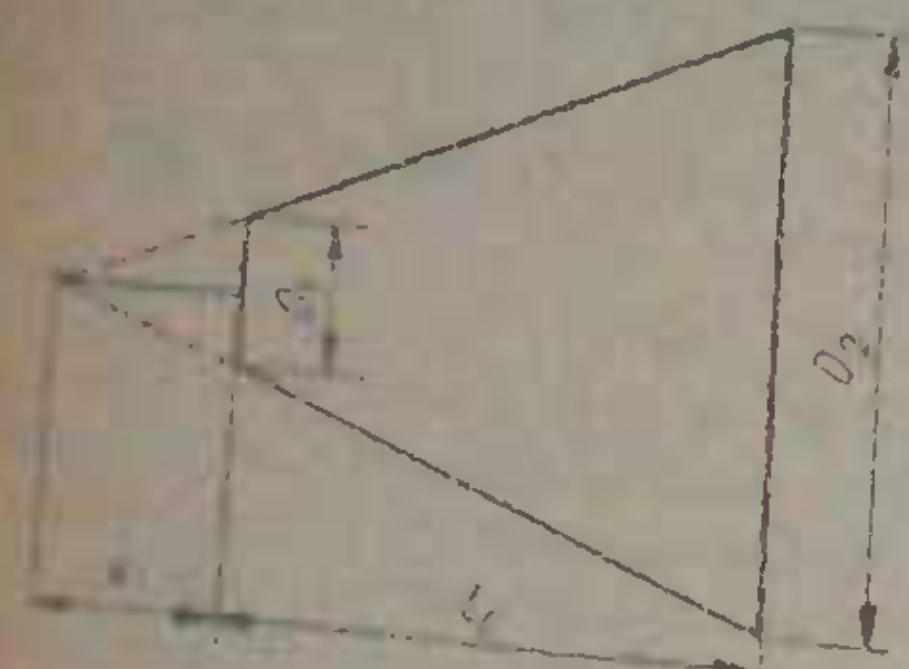


Fig. 2.29. Dimensiunile pilni conice.

Diametrul guri pilni se determină în relație:

$$D_2 = \frac{11,3}{3,14} \cdot D_1 \quad (2.33)$$

Lungimea l_c , calculată în formula 2.32, corespunde unei anumite frecvențe, ce poartă denumirea de frecvență de călărit și este notată cu f_c . În domeniul acustic există sub această frecvență de călărit, părțile sonorizante ca un filtru acustic „trece-sus”, care nu mai permite utilizarea pentru transmiterea sunetelor. De aceea este necesar să se impună părțile cu o valoare de călărit redusă. Realizarea unor pilni care să aibă o frecvență de călărit foarte coborâtă este o problemă deosebit de dificilă, reducind mult valoarea lui f_c , se ajunge la valori dimensiunilor pilni, într-o extenție masivă, care ar deveni nutilizabilă.

Celeva exemple numerice vor fi, din acest punct de vedere, suficient de concluziente. Preocupând că se dorește reproducerea, cu ajutorul unei pilni, a sunetelor având frecvență limită inferioară $f_c = 30$ Hz, se cere dimensiunea pilni. Diametrul guri pilni se calculează cu formula 2.33, obținindu-se:

$$D_2 \geq \frac{11,3}{3,14} = 3,6 \text{ m.}$$

Cunoscind că diametrul D_1 al gălăzii pilni poate fi de ordinul 0,35 m se obține valoarea raportului $\frac{D_2}{D_1}$:

$$\frac{D_2}{D_1} = 10.$$

În acest caz lungimea pilni conice va fi:

$$l_c = \frac{11,3}{2 \cdot 3,14} (10 - 1) = 16,2 \text{ m.}$$

Este evident că, o astfel de pilnie, cu un diametru al gurii de 3,6 m și o lungime de 16,2 m, chiar dacă ar fi excelentă pentru reproducerea frecvențelor joase, nu ar putea fi utilizată pentru sonorizarea unor încăperi sau

the other species in the genus, *Gymnophyllum*,
are probably limited to small areas in

În mod similar experimental rezultă dimensiunile
conducând că datele problemei rămân același
cu cea de la etapă următoare:

$$C \geq \frac{M}{\gamma} + \ln \frac{P}{P_0}, \quad (2.3)$$

Este prima părere exponentială. Egalitatea demonstrată prin relație matematică, prin determinarea valoarei funcției de târzie:

$$f_i = \frac{m_i v_i}{\pi n} \quad (2.35)$$

într-o comparație formată și cu exponentii 3 și 5 și 7. Prin urma de datele acestei date, rezultă următoarele rezultate.

$$L > \frac{11.3}{0.25} \cdot \ln 10 = 4.5 \text{ m.}$$

Conținutul său în dimensiune cu cea obținută la părțile vechi se constată și, pentru aceeași frecvență de tranzitie, atât valoarea rezistenței, cât și durata, în cazul pilo-velo exponențială, o lungime de aproximativ patru ori mai mare. Din aceste motive, și datorită posibilității de realizare a unor distanțe mai mici, constructorii au optat în mare parte majoritatea formă exponențială.

Dacă se urmărește să se concesioneze priveliște de
trimitere de informații, utilizarea pilinilor acustice este
mai eficientă și mai ieftină, în același timp economică, decât
un binalor difuzor-pilie le sunt caracteristice nu numai
ună redusă a cărora rezistență (n = 40—50%) ca
și o cărare de direcționalitate corespunzătoare unor fascicule
de emisie și de recepție.

Din cîteva pilnile fac parte și pilniile multicelulare. Acestea sunt constituite din mai multe pilni care comunic între ele, guriile lor fiind situate și împreună și separată de către o membrană.

Permito, en sucesos determinados de la
paz o guerra, que se establezca
una fuerza armada permanente
en el país, sin otra finalidad
que la de garantizar la independencia
y la soberanía del Estado, y
que se encargue de la defensa
de éste, y de dirigir las
guerras de exterminio.

RETELE SEPARATOARE

GENERALITATE

In deceniile este peste devenit care s-au scurs de la apariția difuzoarelor electroacustice au fost, calitativ precum și tehnologic, atât din punctul de vedere al materialelor utilizate, cât și al tehnologiei de fabricație, multe schimburile constructive. Cu toate acestea sunt mai rare caudurile în care se folosește un singur difuzor pentru ceea ce constituie o gamă de frecvențe largă, cuprinsă, de exemplu, între 10 Hz și 15 000 Hz. Producătorii incintelor acustice sunt de acord cu majoritate, sistemul de inglobare într-o caudă unică a două sau trei difuzoare. Fiecare din componentele este capabil să reproducă în condițiile unei incinte acustice, sunetele ale căror frecvențe se situează în intervalul pentru care au fost prevăzute. Cele mai multe incinte acustice sunt prevăzute cu două difuzoare, ele desemnând respectiv, numărul de trei. Se pot combina astfel de difuzoare de dimensiuni mici (destinat reproducerii frecvențelor joase și medie), cu unul de diametru redus (destinat redarea frecvențelor înalte), asigurindu-se, în acest fel, uniformitatea spectrului de frecvențe.

Pentru alimentarea cu tensiune de audiofrecvență se utilizează un singur amplificator, fiecare spectru de frecvență fiind emalizat spre difuzorul corespunzător, prin intermediul unor rețelele de paratoare.

Frecvențele luate, determinate și de sensibilitatea mărimii tablăi de înțelegere de către sunet, spectrul de frecvență este mai puțin sau, mai precis, de graful prezentat în figura 3.1. Majoritatea frecvențelor în domeniul

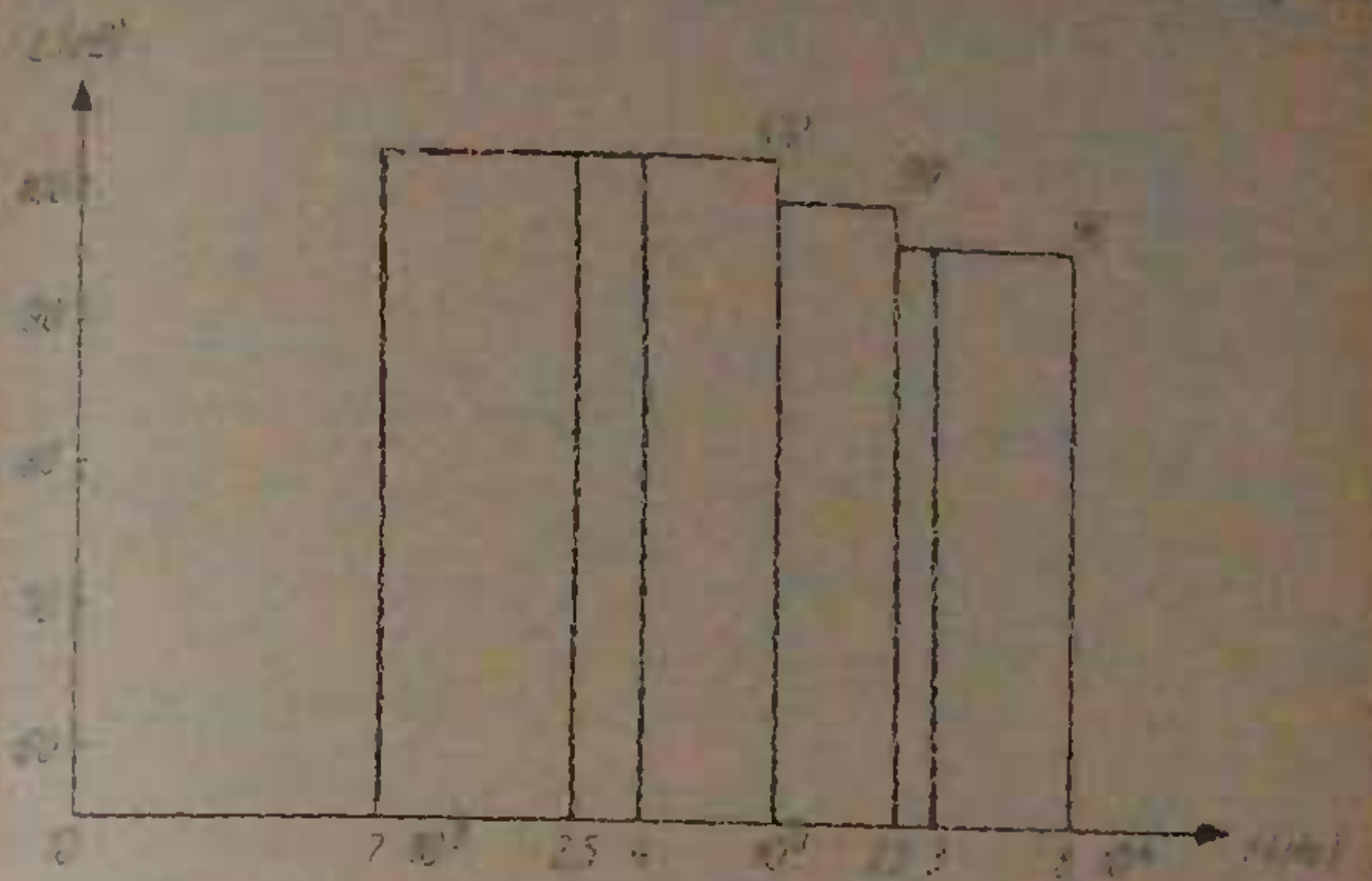


Fig. 3.1. Graficul puterii de vizat în funcție de frecvență, realizat de o orchestră simfonică, cu un sunet cu 75 de instrumente.

arătat că, pentru sunete complexe, de natură, celor componente cu ajutorul unei orchestre simfonice, nivelul componentelor situate sub frecvența de 1 000 Hz și de 3—6 dB mai mari decit cel al componentelor superioare acestei frecvențe.

Separând cu ajutorul rețelelor energia de joasă și înaltă de cea de înaltă frecvență, se asigură nu numai uniformarea difuzoarelor de diametru mic, dar se evită răsucirea energiei de înaltă frecvență în difuzorul de dimensiuni mari.

3.2. DIMENSIONAREA RETELELOR DE SEPARARE

Cu toate că, teoretic, domeniile în care rețelele separatoare își manifestă eficacitatea sunt bine determinate, practic însă, apar zone de interferență. Prin existență

acest lucru este, în plus, exprimă aproape în modul de către care diferența de tensiune al celor două difuzoare este putin mai mare decât de la mare. În figura 3.3 se prezintă caracteristica de frecvență a două difuzoare separate și anumită frecvență de tăiere, din

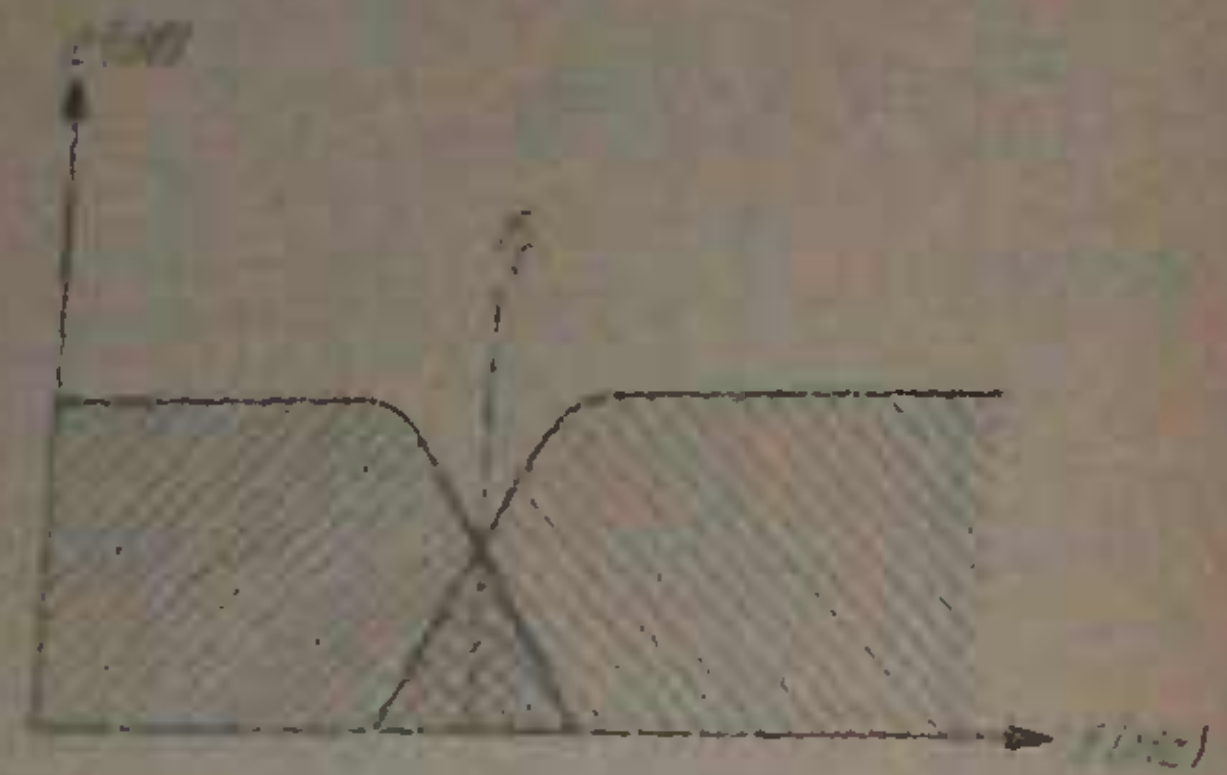


Fig. 3.2. Cetățea de vopsea a rețelei separatoare diferențială, constând din două difuzoare.

pozitie la distanță diferită tot aici este marcată și numărul respectiv. Pentru a începe să lucreze acest neajun, este necesar să fie realizată o colectare apreciabilă în reproducerea sunetului. Acea lucru nu se poate întâmpla în mediu acustic închis, unde nu există suflare în mediu. De aceea, în ceea ce urmărește cadrul de frecvență, este necesară o valoare suficient de ridicată.

În ceea ce rezulta din rețelele separatoare sunt, de obicei, trei. Deoarece incinta cuprinde două difuzoare distante unul de celălalt, unele joasă și altă sus, iar dacă împreună formă un ansamblu format din trei difuzoare, trebuie să se diferențieze tot și ce tipurile: „trece joasă”, „trece sus” și „trece sus”. Rețelele separatoare se devin numeroase și prin numărul printr-o diversitate mare de rețele pot fi înținute o complexitatea schema. Din acest lucru începind cu cele alcătuite dintr-un simplu condensator conectat în paralel cu bobina mobilă a difuzorului de la unul dintre sunetele de frecvență joasă (cu c

ea în figura 3.3) și următoarea rețea, care exprimă un număr mare de elemente și care poate fi realizată într-un mod foarte simplu.

Rețeaua din figura 3.4, care poate fi realizată, este prima rețea separatoare diferențială

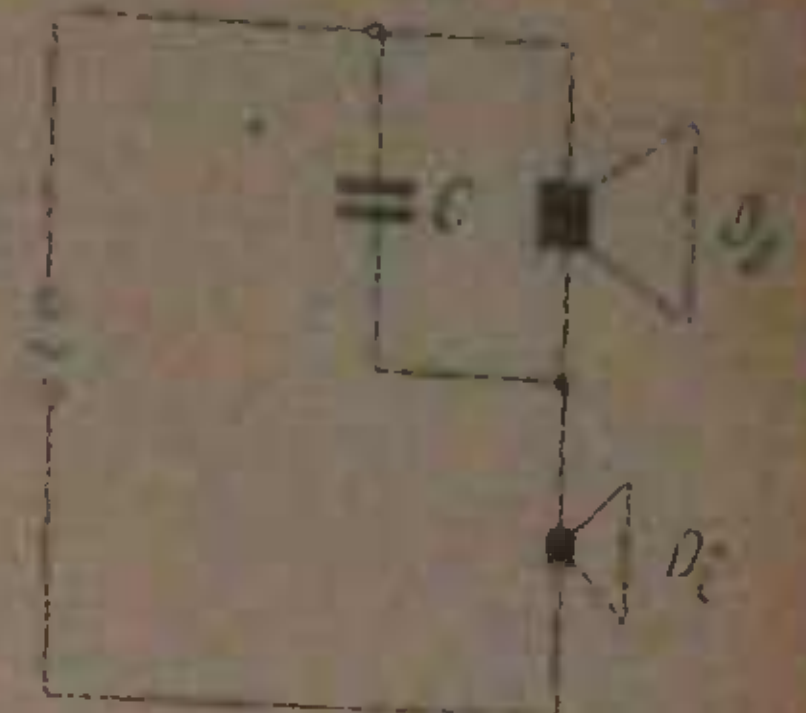


Fig. 3.3. Rețea separatoare diferențială dintr-un sunet de la mare.

R_1 — rezistor pentru producerea frecvențelor joase; D_1 — dispozitiv pentru reproducerea în valoare joasă;

potrivite inconveniente. Astfel de părți, cum ar fi o reparare netă a curentului electric de la rețea, sau făța de cel de înaltă frecvență, primul curent să aibă bobinele mobile ale ambelor difuzoare. Pe de altă parte, impedanța electrică a ansamblului, fiind o funcție de frecvență, își modifică permanent valoarea, nemulțumind ceea ceva unei bune adaptări.

O imbunătățire a situației este totuși posibilă, dacă în condensatorul C se adaugă o înrăutățire L , concret, de stă dată, în paralel cu bobina mobilă a difuzorului pentru reproducerea frecvențelor înalte (v. fig. 3.4). Cu aceste două elemente C și L se pot construi rețele de tip „derivație” și „derivație”. Formulele pentru calculul lor sunt următoarele:

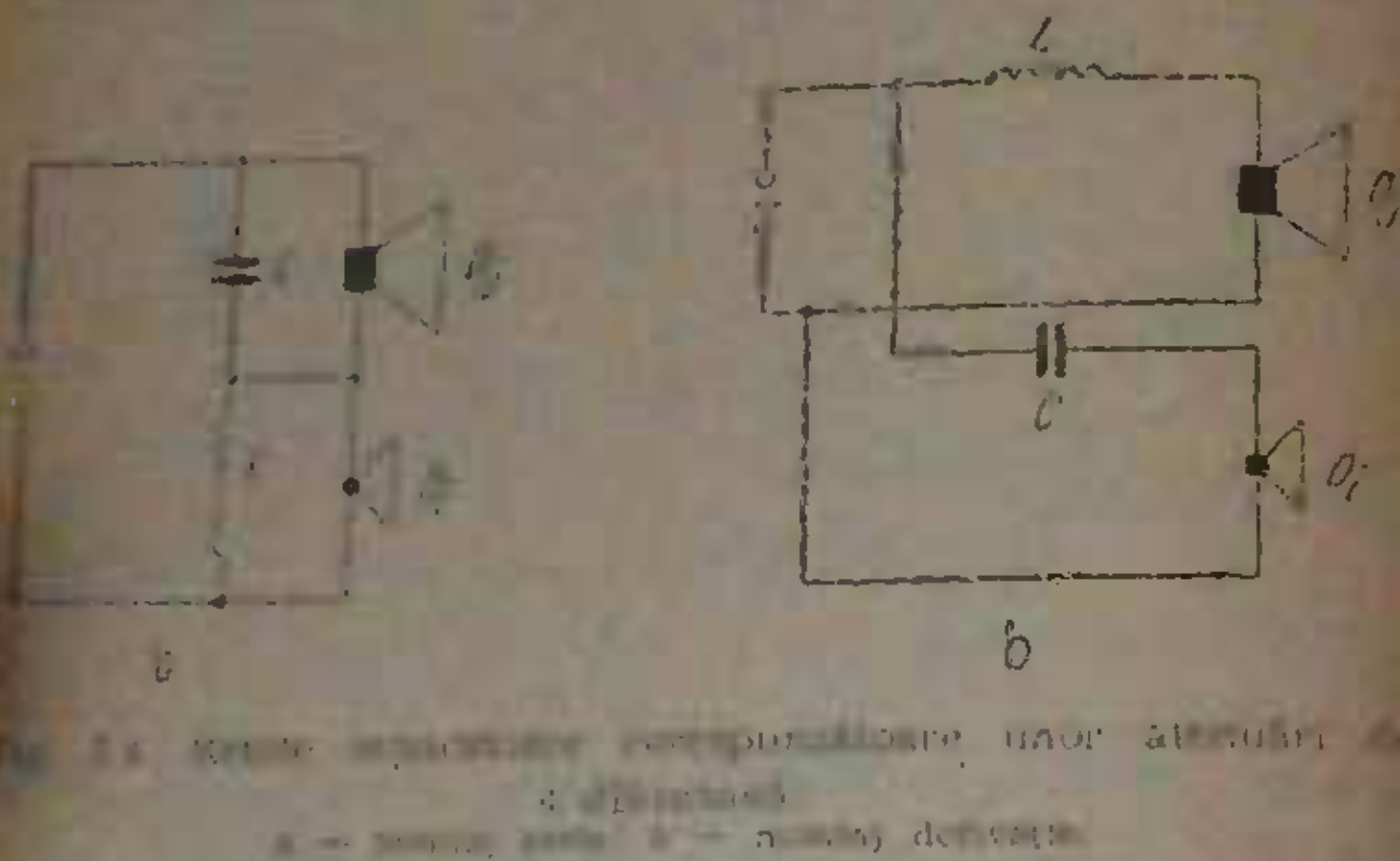
$$L = \frac{Z}{\omega_1} \{H\}; \quad C = \frac{1}{\omega_1 Z} \{F\}; \quad (3.1)$$

în care s-au făcut notațiile:

Z — impedanță bobinei mobile, în Ω ;

ω_1 — pulsăția, în $\frac{1}{s}$.

La redus la 1000 Hz se obține diagrama din figura 3.4, în care se vede că atenuarea este de 34 dB și considerabilă. În figura 3.5 se prezintă un alt circuit de rezonanță care, acordat o impedanță de 1000 Ω, prezintă rezistență scăzută (fig. 3.6).



În figura 3.5 se prezintă valoarea:

$$L = \frac{16}{4,97 \cdot 10^{-6}} = 3,27 \cdot 10^{-3} \text{ H} = 3,27 \text{ mH};$$

$$C = \frac{1}{4,97 \cdot 10^{-6} \cdot 16} = 4,97 \cdot 10^{-9} \text{ F} = 4,97 \mu\text{F}.$$

Dacă se ia în considerare valoarea lui ω_0 și se acordă circuitul, se obține o atenuare pe octavă de 4 dB. De altfel, în figura 3.5 se prezintă și cele de rezonanță ale ambelor rețele. În figura 3.5, se prezintă și frecvența de taiere $f_t = 2000$ Hz. În figura 3.6 se determină că atenuarea caracteristicilor din figura 3.5, adică a atenuării pe octavă, se scade din atenuarea de 34 dB la frecvența de rezonanță (de exemplu 2 kHz) și nu crește, ci scade încă altă frecvență care reprezintă dublul celui dintâi (în cazul de față 4 kHz). Se observă că în domeniul cuprins între două frecvențe se produce o atenuare de 4 dB.

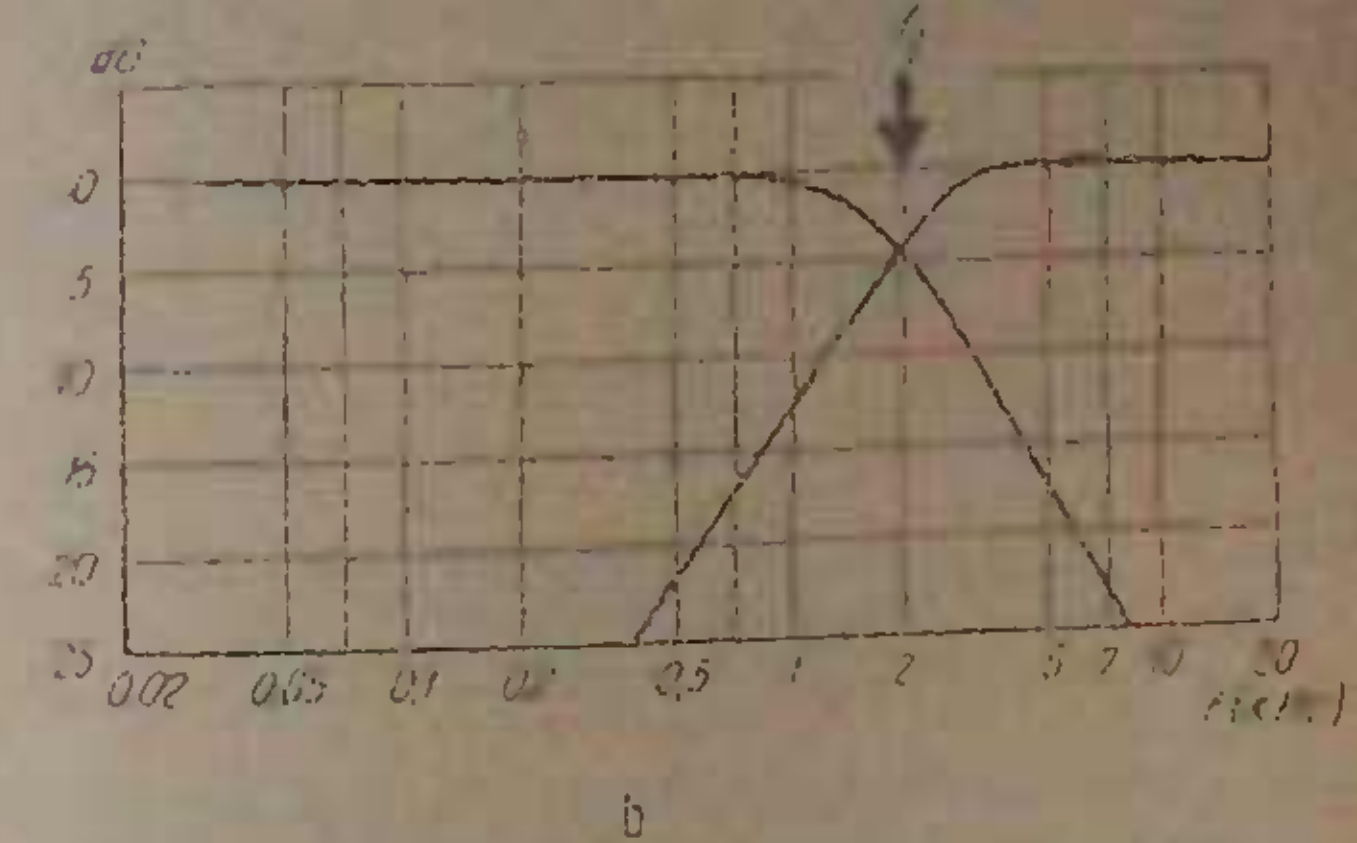
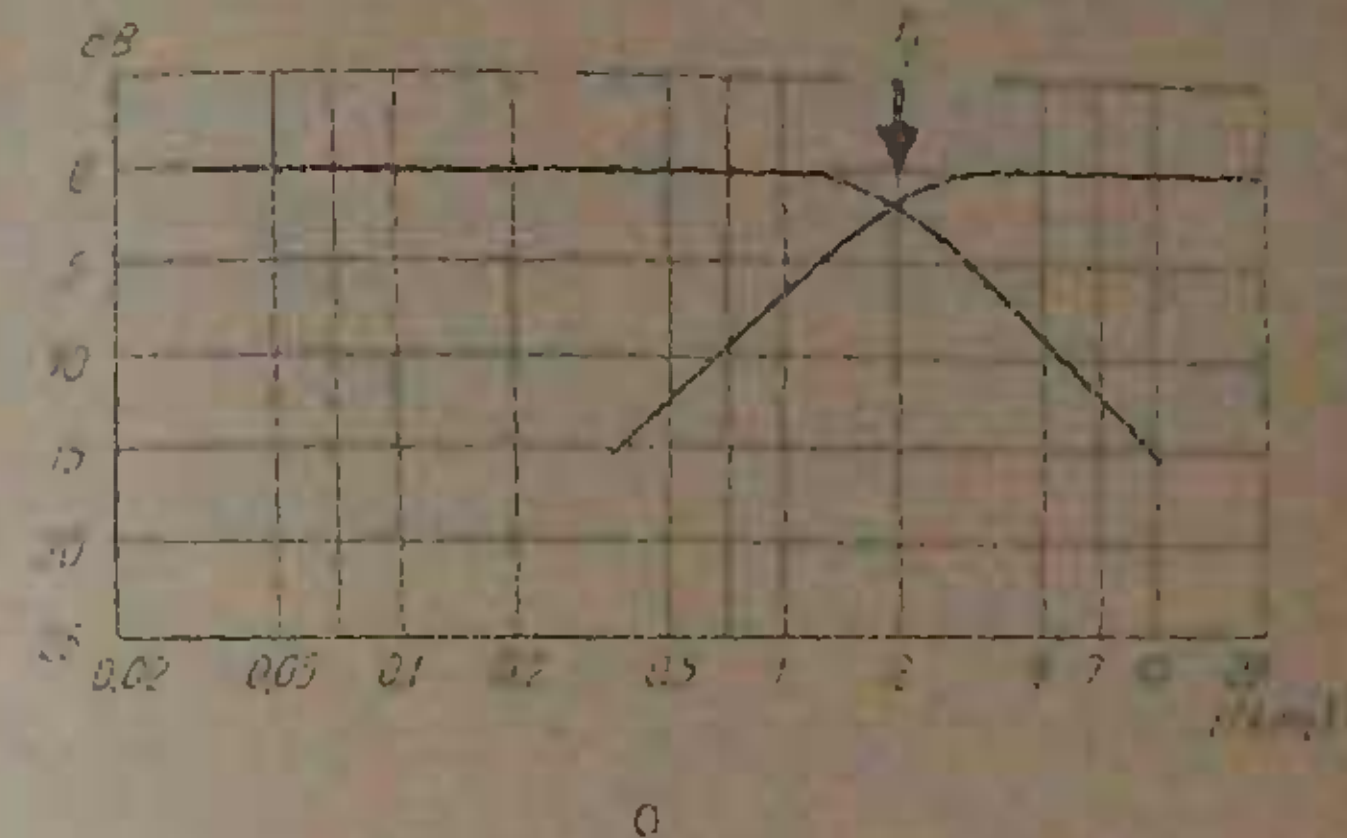


Fig. 3.5. Curmele atenuării și rezonanță: a - pentru rețeaua din figura 3.4; b - pentru rețeaua din figura 3.5

Dacă se consideră $L_1 = L_2 = L$, $C_1 = C_2 = C$, se pot calcula componentele rețelei cu ajutorul formula:

— punctul mijlociu din figura 3.6, a;

$$L = \frac{Z}{\sqrt{\omega}} \text{ (m)}; \quad C = \frac{\sqrt{\omega}}{2\pi Z} \text{ (F)}; \quad (3.2)$$

— punctul mijlociu din figura 3.6, b.

$$L = \frac{\sqrt{\omega} Z}{\omega} \text{ (m)}; \quad C = \frac{1}{\sqrt{2\omega} Z} \text{ (F)} \quad (3.3)$$

Din un exemplu numeric vor rezulta ordinea de mărime a componentelor rețelei. În acest scop, se preiau următoarele date: impedanța electrică a difuzorului $\Omega = 8 \Omega$; frecvență de lucru 2000 Hz . Se obțin valorile:

$$L = \frac{0.91}{1.11 \cdot 2 \cdot 3.14 \cdot 2000} = 0.91 \cdot 10^{-3} \text{ H} = 0.91 \text{ mH},$$

$$C = \frac{1.41}{2 \cdot 3.14 \cdot 2000 \cdot 10^3} = 7.03 \cdot 10^{-9} \text{ F} = 7.03 \mu\text{F}.$$

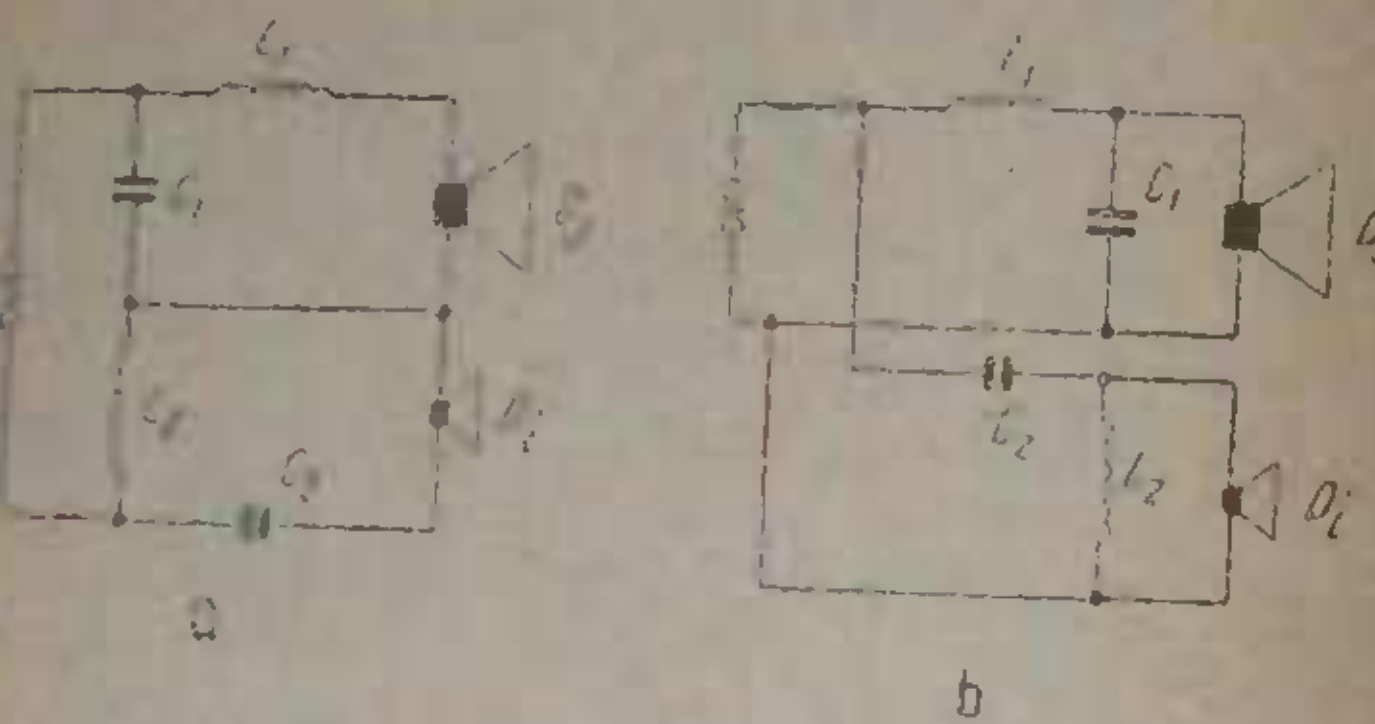


Fig. 3.6. Rețele de separatoare corespunzătoare unor atenuări de 9,5 dB/octavă:
a — rețea în formă de T; b — rețea în formă de π .

Caracteristicile de frecvență ale acestui tip de rețea de separare sunt prezentate în figura 3.5, b.

Valoarea atenuării pe octavă poate fi mărită în cinci ori (aproximativ 13 dB/octavă), dacă se folosesc re-

țele de separare în formă de T sau și de π din cele arătate în figurele 3.7, a și 3.7, b.

Componentele unor astfel de rețele sunt calculate următoarele relații matematice:

$$L_1 = \frac{Z}{m}; \quad L_2 = (1+m) \frac{Z}{m}; \quad L_3 = \frac{1}{1-m} \frac{Z}{m} \text{ (m)},$$

$$C_1 = \frac{1}{m Z}; \quad C_2 = (1+m) \frac{1}{m Z}; \quad C_3 = \frac{1}{1+m} \frac{1}{m Z} \text{ (F)} \quad (3.4)$$

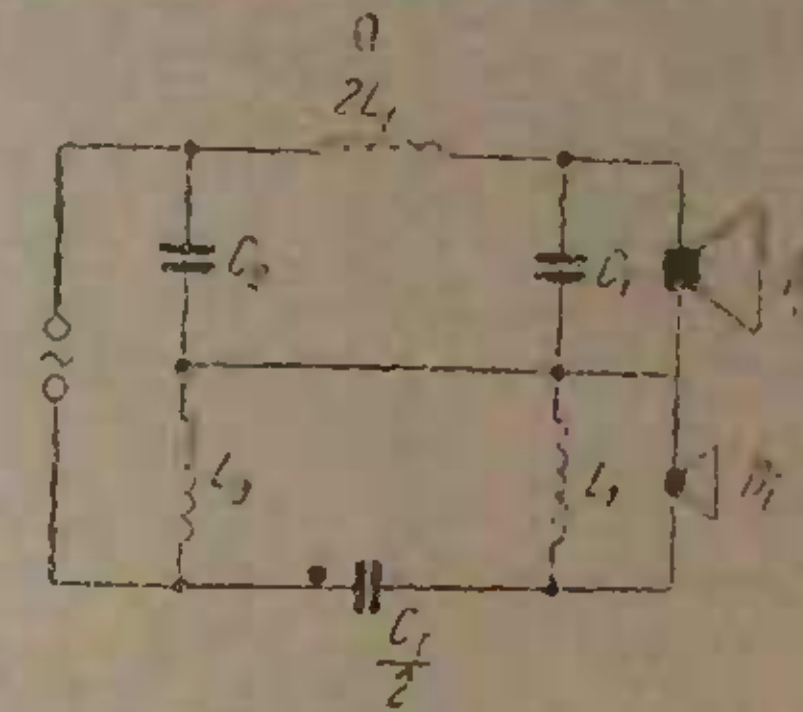
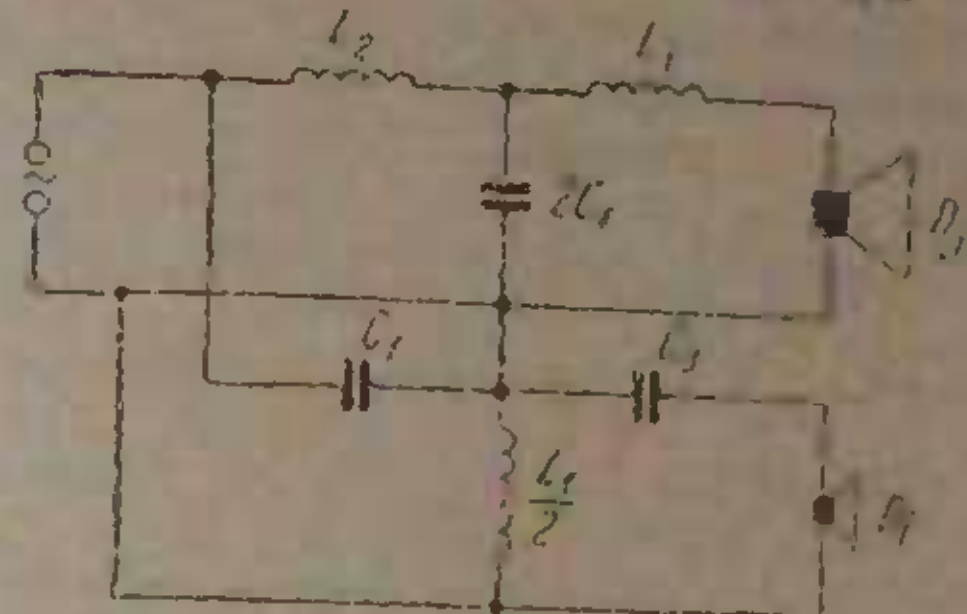


Fig. 3.7. Rețele de separatoare corespunzătoare unor atenuări de 9,5 dB/octavă:
a — rețea în formă de T; b — rețea în formă de π .

în care s-a notat cu m un parametru variind între 0,4 și 0,6, valoarea recomandată fiind $m = 0,6$.

O rețea separatoare de acest tip, deși da deplină satisfacție în ceea ce privește atenuarea pe octavă, prezintă încăjunsul de a avea o impedanță variabilă cu frecvență,

Să se analizeze schema prezentată pînă la ocazională (figura 3.4 și 3.6) săn cu impedanță de intrare de 8 Ω.

Nicăieri nu se întâlnește incintă acustică care să cuprindă un ansamblu de două difuzoare și și grupe de trei difuzoare. Pentru acest ultim caz au fost studiate, de autor, trei rețele separatoare adecvate calculului lor în funcție de impedanța difuzoarelor și de atenuarea în funcție de frecvență. În ceea ce privește schemele existente, acestea se prezintă într-o mare diversitate și adesea, în urma unei zămeți mînse de valori pe care îi pot avea, prin principiu, parametrii ai celor trei celule de filtru, care determină atenuarea pe octavă, impedanța celor trei difuzoare, atenuarea pe octave (inferioră și superioară).

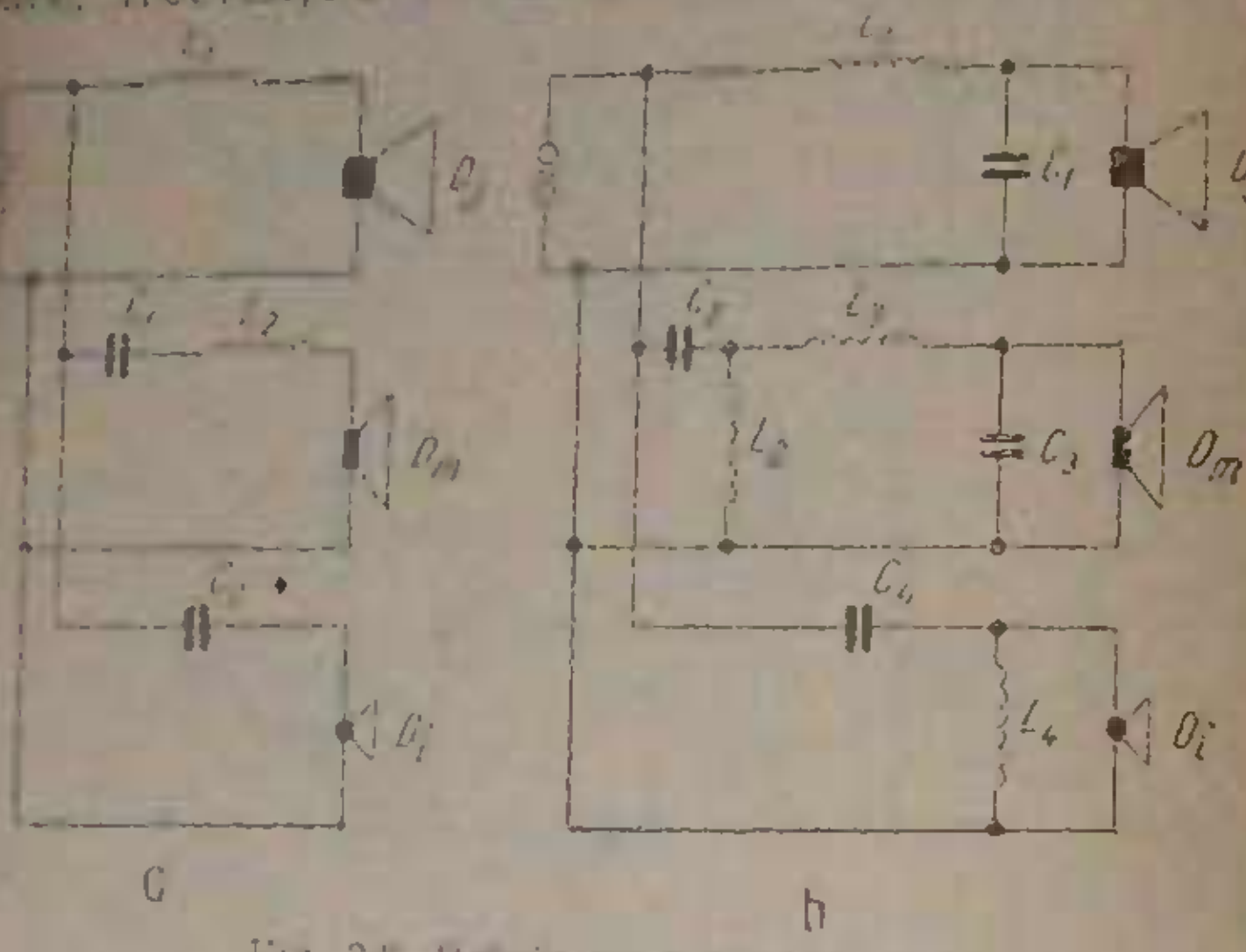


Fig. 3.7: Rețea separatoare corespunzătoare unei atenuări de 18 dB/octavă:

* = cu atenuare de 6 dB/octavă; ** = cu atenuare de 9,5 dB/octavă;

— = cu atenuare de 6 dB/octavă;

În numărul mare de scheme existente, în cele ce urmăresc vor fi prezentate două (cele din figura 3.8). Pentru variante constructive (cele din figura 3.10) sunt indicate direct valorile componentelor (v. tabelul 3.2).

Dacă se consideră o primă rețea separatoare, valabilă pentru un ansamblu de trei difuzoare (figura 3.8.a) valo-

rile componentelor se calculează cu următoarele formule matematice:

$$L_1 = \frac{Z}{\omega_{t,inf}}; L_2 = \frac{Z}{\omega_{t,sup}} \quad (3.4)$$

$$C_1 = \frac{1}{\omega_{t,inf} Z}; C_2 = \frac{1}{\omega_{t,sup} Z} \quad (3.5)$$

Un exemplu de calcul numeric se poate obține apărându-l de mîrimea a frecvență inducătoare și capacitive care intră în alcătuirea rețelei. Astfel, dacă dăm impedanță egală cu 8 Ω, la frecvențele de cîteva hertz, f_{t,inf} = 500 Hz și f_{t,sup} = 5 000 Hz, se obțin cu ajutorul formulelor 3.5, valorile:

$$L_1 = \frac{8}{2 \cdot 3,14 \cdot 500} = 2,54 \cdot 10^{-3} \text{ H} = 2,54 \text{ mH}$$

$$L_2 = \frac{8}{2 \cdot 3,14 \cdot 5000} = 0,25 \cdot 10^{-3} \text{ H} = 0,25 \text{ mH}$$

$$C_1 = \frac{1}{2 \cdot 3,14 \cdot 500 \cdot 8} = 39,8 \cdot 10^{-9} \text{ F} = 39,8 \mu\text{F}$$

$$C_2 = \frac{1}{2 \cdot 3,14 \cdot 5000 \cdot 8} = 3,98 \cdot 10^{-6} \text{ F} = 3,98 \mu\text{F}$$

Trăsind caracteristicile atenuării în funcție de frecvență, corespunzătoare celor trei filtre, se constată că atenuarea pe octavă este de cîteva de refuză de ordinul a 4 dB/octavă (figura 3.9.a).

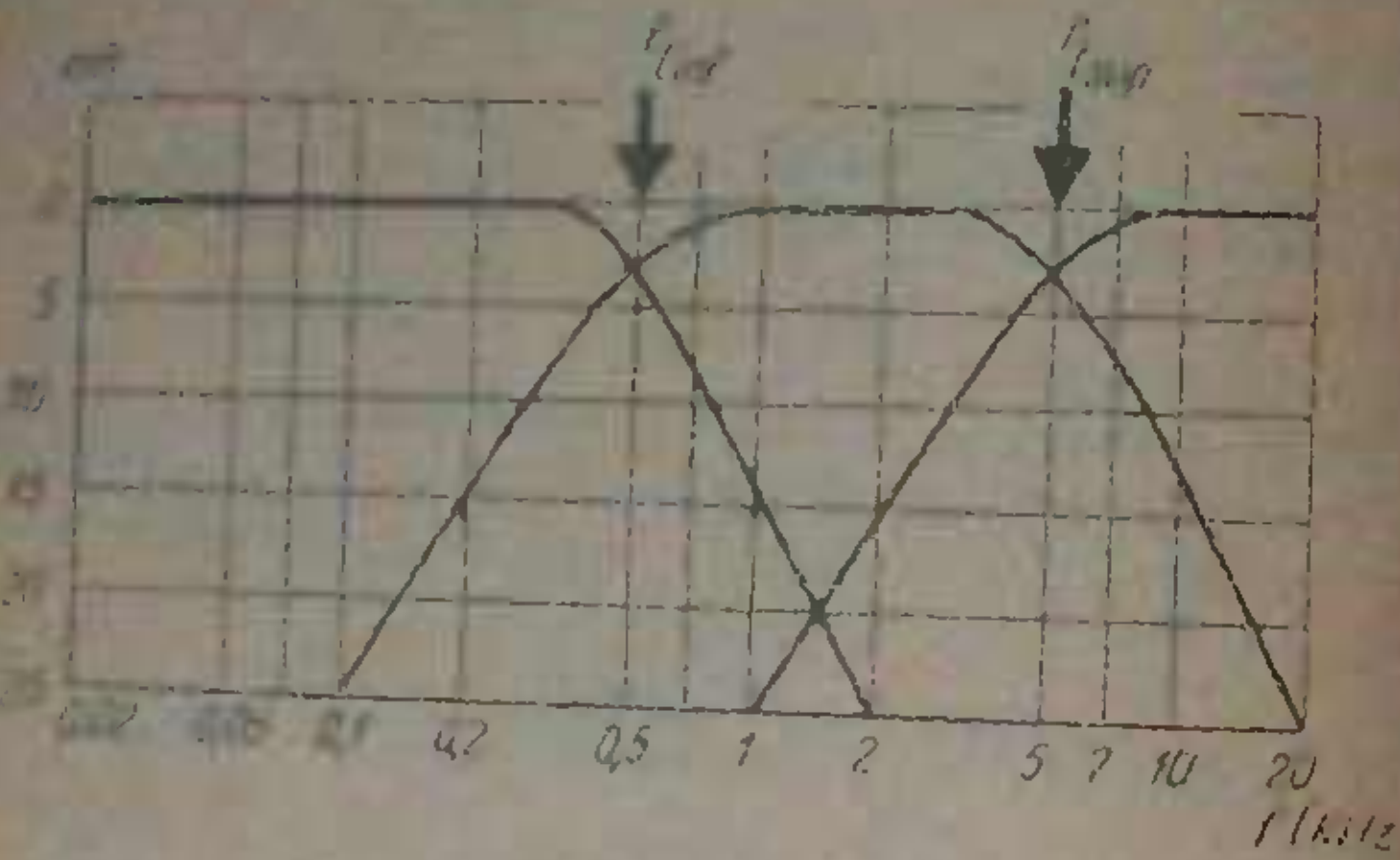
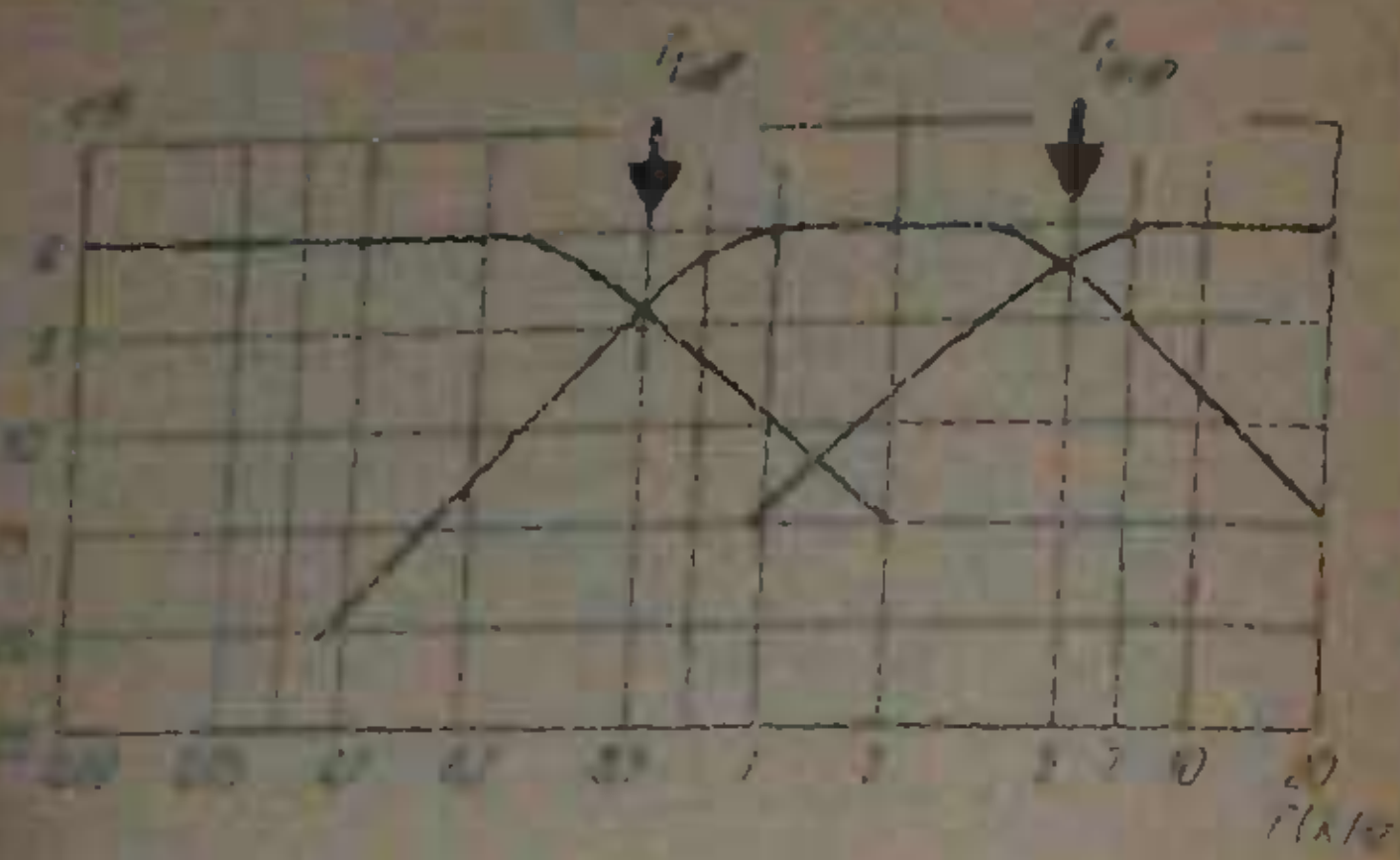
Cealaltă rețea separatoare, prezentată în figura 3.8.b este, de asemenea, destinată unor incinte cu trei difuzoare. Calculul elementelor componente se efectuează cu formulele:

$$L_1 = L_2 = \frac{\sqrt{2} Z}{\omega_{t,inf}} \quad (3.6)$$

$$L_3 = L_4 = \frac{\sqrt{2} Z}{\omega_{t,sup}} \quad (3.7)$$

$$C_1 = C_2 = \frac{1}{\omega_{t,inf} Z \sqrt{2}} \quad (3.8)$$

$$C_3 = C_4 = \frac{1}{\omega_{t,sup} Z \sqrt{2}} \quad (3.9)$$



b

Fig. 3.9. Căracteristice de frecvență pentru retelele din figura 3.8.
a = punctul mijlociu de la figura 3.8.a; b = punctul mijlociu de la figura 3.8.b.

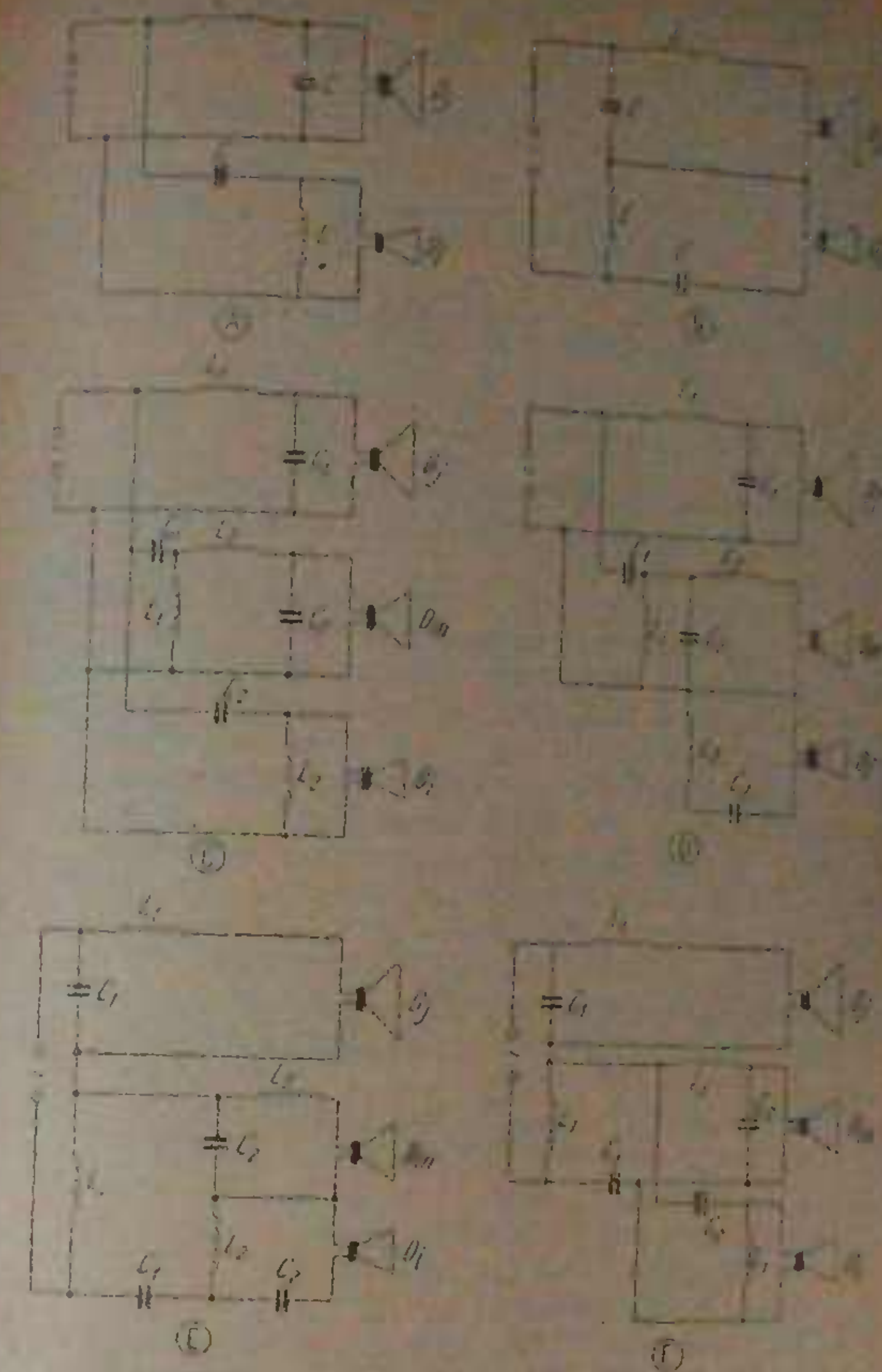


Fig. 3.10. Schemele retelelor suprarezonante de vîrstă
sunt indicate în tabelele 3.1 și 3.2.

Valoarele celoror componente ale rețelei de curenți obținute din două tabele.

Diametru bobinei m m	Distanța m m	Rezistență ohm		Inductanță mH	
		în mijloc m m	în extremitate m m	în mijloc m m	în extremitate m m
4	4	85	A	10,2	20
4	4	175	A	5,1	100
4	4	275	B	1,6	200
4	4	550	A	1,6	500
4	4	1100	B	0,8	1000
8	8	85	B	1,2	200
8	8	175	A	10,2	100
8	8	350	A	5,1	200
8	8	550	A	1,6	500
8	8	1100	A	1,6	1000
8	8	2200	B	0,8	2000
16	16	175	B	10,2	20
16	16	350	B	5,1	100
16	16	700	A	1,6	200
16	16	1100	B	1,6	500
16	16	2200	A	1,6	1000

$$L_1 = \frac{1,4 \cdot 8}{2 \cdot 3,14 \cdot 500} = 3,6 \cdot 10^{-4} H = 3,6 \text{ mH};$$

$$L_2 = L_3 = \frac{1,4 \cdot 8}{2 \cdot 3,14 \cdot 5000} = 0,36 \cdot 10^{-4} H = 0,36 \text{ mH};$$

$$C_1 = C_2 = \frac{1}{2 \cdot 3,14 \cdot 80 \cdot 8 \cdot 1,41} = 28,1 \cdot 10^{-6} F = 28,1 \mu F;$$

$$C_3 = C_4 = \frac{1}{2 \cdot 3,14 \cdot 5000 \cdot 8 \cdot 1,41} = 2,8 \cdot 10^{-6} F = 2,8 \mu F.$$

Carcacteristica de frecvență a acestui rețeală este numai puțină mai joasă decât arătată în figura 3.9, a, atențuind că este de 9,5 dB/octava.

În practică proiecturi și construcții de incintă apărătoare sunt realizate diferențial, în care valorile componentelor se separă care se încadrează în limite foarte largi. În scopul facilității dimensionării fiecarei piezoelectrici arătătoare sunt date în tabelele 3.1 și 3.2 în care sunt cuprinse rezistențile de contact și inducțanțelor care alcătuiesc rețelele de curenți ale unei anumitări cu două și trei dimensiuni. În aceste tabele se preiau în cunoștință impreună difuzoarelor și frecvențele de lucru. Cu A, R, ..., I se indică celelalte din figura 3.10 ale căror valori sunt componente ale obiceiului acelora două tabele.

Pentru dimensionarea inducțanțelor care intră în cadrul rețelelor separătoare, se poate utiliza relația:

$$L = 0,315 \frac{R^2 \cdot n^2}{6 \cdot R_m + 9n + 106} (\mu H) \quad (3.7)$$

unde se folosesc:

- raza medie a bobinei, în cm;

- numărul bobinei, în ctv;

- grosimea bobinei, în cm.

Dimensiunile sunt indicate și în figura 3.11. Deosebit de corectă este formula (3.7) dă rezultate suficient de precise, dacă se lucrează pentru cele trei mărimi: R_m , a și b valori obiective, în ordin de mărime. Deoarece asemenea situații sunt

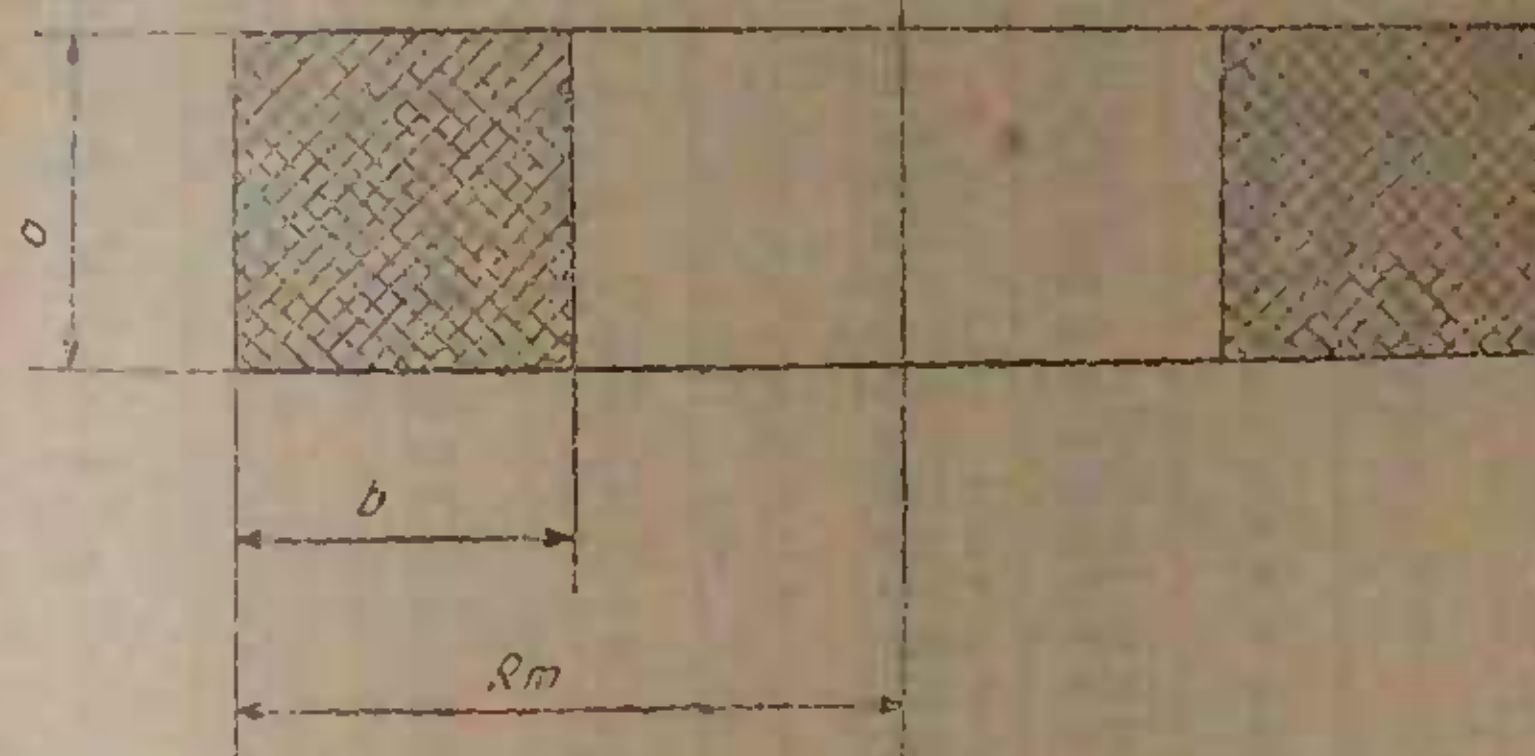


Fig. 3.11. Principalele dimensiuni ale bobinei.

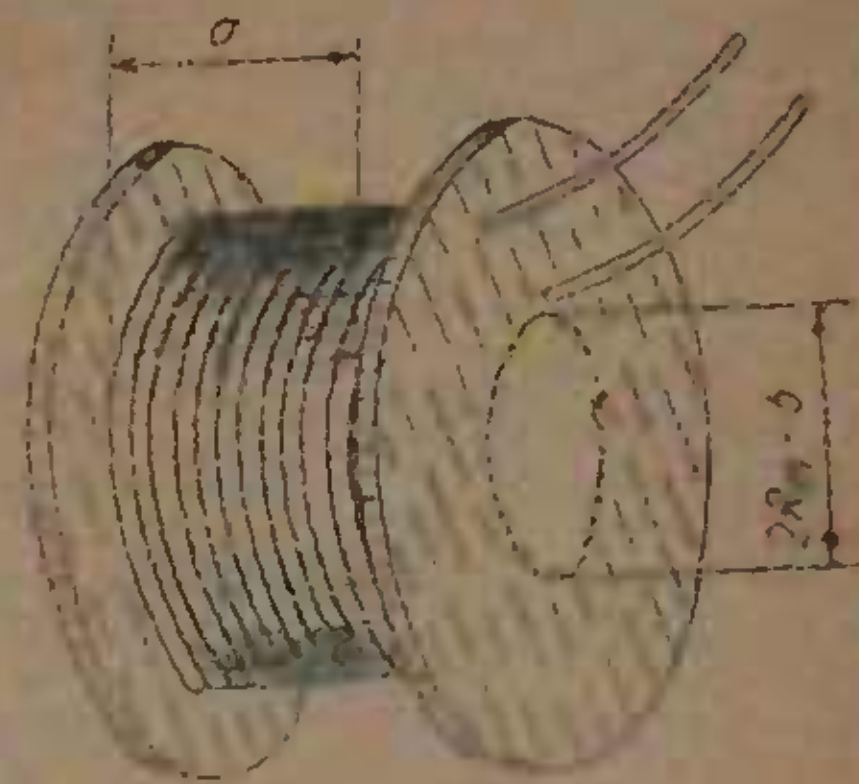
Variantele elementelor componente ale retelelor de separare ale
ansamblurilor de trai din huse

Numărul de variații	Pretul de la cca.	Schema utilizată	Variante componente			
			L_1 mH	C_1 μF	L_2 mH	C_2
			7	8	9	10
4	4	85	50	C	10,2	320
4	5	85	1100	C	10,2	320
4	4	175	550	C	5,1	180
4	4	275	1100	C	5,1	160
4	4	275	550	F	1,6	200
4	4	175	1100	F	1,6	200
4	5	550		C	1,6	50
8	8	85	550	D	10,2	320
8	8	85	1100	G	10,2	320
8	8	85	2200	G	10,2	320
8	8	175	550	D	5,1	160
8	8	175	1100	C	5,1	160
8	8	175	2200	C	5,1	180
8	8	275	550	E	1,6	200
8	8	275	1100	F	1,6	200
8	8	275	2200	F	1,6	200
8	8	550	1100	C	1,6	50
8	8	550	2200	C	1,6	50
8	8	85	550	F	10,2	320
8	8	85	1100	F	10,2	320
8	8	175	550	C	10,2	80
8	8	175	1100	C	10,2	80
8	8	350	550	C	5,1	40
8	8	350	1100	C	5,1	40
8	8	350	2200	F	1,6	50
8	8	85	550	E	10,2	320
8	8	85	1100	F	10,2	320
8	8	85	2200	F	10,2	320
8	8	175	550	D	10,2	80
8	8	175	1100	C	10,2	80
8	8	175	2200	C	10,2	80
8	8	350	1100	C	5,1	40
8	8	350	2200	C	5,1	40
8	8	350	1100	F	1,6	50
8	8	350	2200	F	1,6	50
16	16	85	700	F	10,2	320
8	16	85	1100	E	10,2	320

intilnire destul de des în practica construcțiilor de retele separatoare, rezultă că relația 3.7 are o largă aplicabilitate.

Dintre mărimele care intră în compoziția formulei 3.7, singura cunoscută este cea a inductanței L . Cea ce tre-

Fig. 3.12. Bobină realizată pe suport din lemn.



aceea că se poate obține la un. Pentru determinarea se impune o anumită butură a bobinei și rezistență în medie R_m și grosimea b . Se obține astfel o primă valoare a lui n . Cunoscând diametrul conductorului (inclusiv izolația), admisind un anumit factor de ambiere (de obicei cuprins între 0,5–0,8) și știind numărul n , se determină grosimea b . Se confrunta valoarea cu cea aproximativă și ceea calculată). Dacă apar diferențe, se reface calculul cu noile valori ale lui R_m și b . Dacă nu reușește să se ajungă la un rezultat definitiv,

bobinele se realizează din conductor de cupru împănat cu izolație de bunibloc. Ele se execută fără izolație, pe cilindri din lemn sau prepan. La capetele cilindrului se fixează două flanze cu grosimi de aproximativ 10 mm (fig. 3.12).

Capitolul 3

SOLUȚII CONSTRUCTIVE ALE UNOR PANOURI ȘI INCINTE ACUSTICE

Diversitatea mare, existentă în prezent, de soluții constructive ale panourilor și incintelor acustice a crezut autorilor unele dificultăți în elaborarea acestor exemplare care, prin calitatea lor tehnică și posibilitatea de realizare cu mijloacele specifice construcției amatoriar potențial considerabili reprezentări.

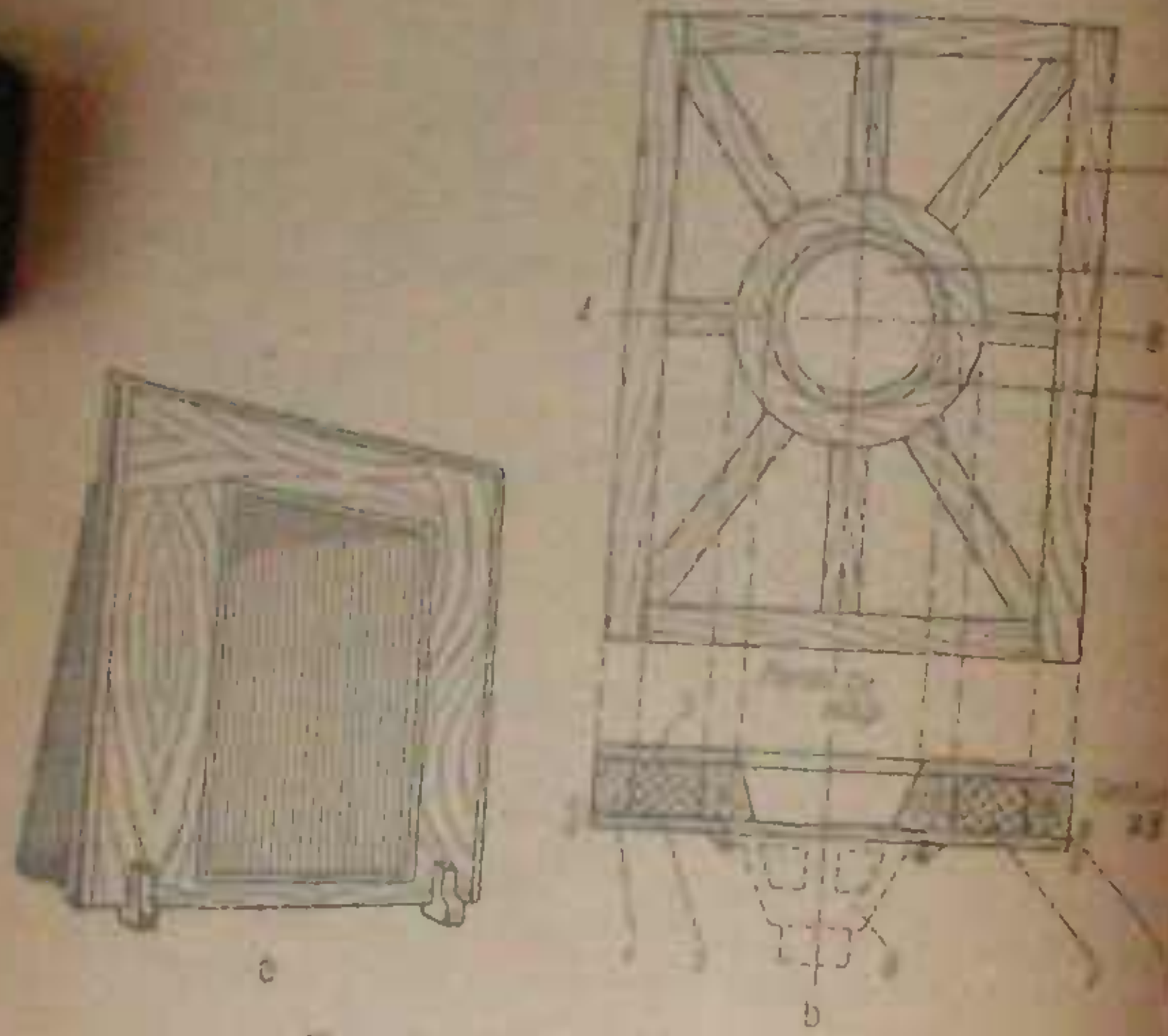
S-a încercat totuși ca în cadrul acestui capitol să se prezinte câteva exemple de soluții constructive considerate semnificative, — pentru că acele din principalele tipuri de panouri și incinte acustice.

În ceea ce privește datele tehnice-explane, dimensiunile și detaliile constructive arătă, ele nu trebuie să fie preluate întocmai de constructorii amatori, ci vor fi adaptate la piesele, materialele și condițiile de realizare specifice fiecarui caz în parte.

1) PANOURILE ACUSTICE PLANE

● Panoul Wharfedale SFB-3, prezentat în fig. nr. 3.1, a, este de formă dreptunghiulară, cu față frontală ușor inclinată spre spate. Dimensiunile sunt 930 mm \times 780 mm \times 300 mm. În grosimea de 300 mm este cuprinsă și lajmașa aripilor laterale, care-i asigura în liniația optună și suportul de pardoselă. Panoul este alcătuit din două plăci

and the country is covered with dense jungle
and thick vegetation, the result of the removal of the
forests. A few simple villages are scattered
here and there, and a few small pine trees are seen
here and there growing amidst the jungle.



1000 ft. above the Wm. Zedde

— 1 —

the indispensable, inevitable, and resulting division
of the empire, is most apparent. What are the
two great divisions?

What does SFB-3 want?

Finalul săptămânăi este echipat cu trei difuzoare de cinci frecvențe joase — 60, 100, 150 și 200 Hz.

Concentru de 300 ml. cel de al doilea, des
igualat la venitul mediu.

Al treilea, de diametru mediu de 250 mm, înlocuind totul anterior.

102. *Malte* (male) (see also under *malte* (male))

Detailele de cibulă și trunchi se observă în hârtie, unde este reprezentată în figura 41, b. În stînga se vede un răspicăt fiind condus într-o direcție îndreptătoare, de la capătul său de sus, într-o linie plină de posibile erori, cu o lungime de 16 mm, și cu o lăție întărită de ună părțile îngrijite uneori chiar și curate, cu secții unea pe cealaltă, cu o lăție de 20–30 mm și o lăție interioară de 10–16 mm.

Construcția periodică se poate realiza și pe una din felile de exemplu de o roată cuale, de cercuri de rigiditate (în care se deschide reșuburile pentru lemnul să devină cărămidă), asamblată dintr-o pătrăună și o violeță cu susținere folosită într-o mulțime prea mare de poale burinților, sau chiar unei oalăi făcute din plăci de lemn. Se poate adăuna un panou suficient de gros și cu coadă de lemn (de exemplu, o lovitură de cedru) generând un suport infundat. Acestea sunt cele mai puține de vibrație situat în alătura apăsării ambele

Fențru conținutul și înțelegerea acestor documente, sunt
împliniți și însipătăriți de către apăratori și reprezentanții
statului, care având în vedere economia națională, se
impoblinează și binecuvântă.

Ca fiind exterior, nu pot să formeze niciun
sau alt lucru.

● Panoul Siemens, prezentat în figura 42, a este de formă dreptunghiulară și este alcătuit dintr-o placă care se găsește fixată pe un stativ metalic mobil. Dimensiunile sale sunt 1 000 x 500 mm x 20 mm. Înalțimea sa este de cota de la nivelul pardoselii și pînă la partea inferioară a placi este de 1 100 mm. El este confectionat dintr-o placă de panel cu grosimea de 20 mm, fiind suportat de ambele laturi (cu 3 foi de furnir de 0,5 mm x 1 mm) și acoperită cu nucăie sau vîlă.

Nispien in den ersten beiden Jahren des Krieges auf dem Balkan und im Russisch-türkischen Kriege.

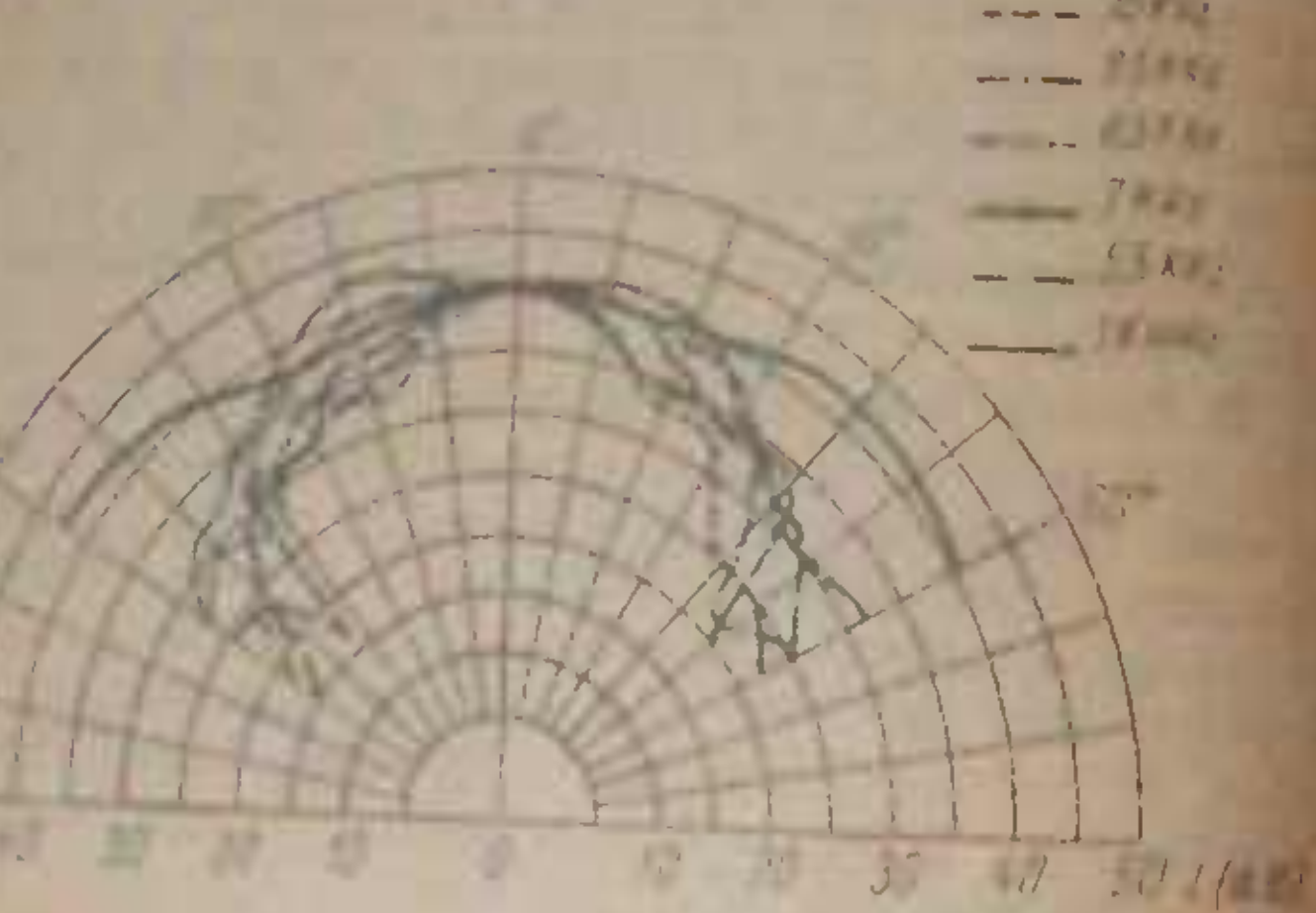


Fig. 4.2. Planul parțial frontal și lateral cu rotație în jurul axei de simetrie planară.

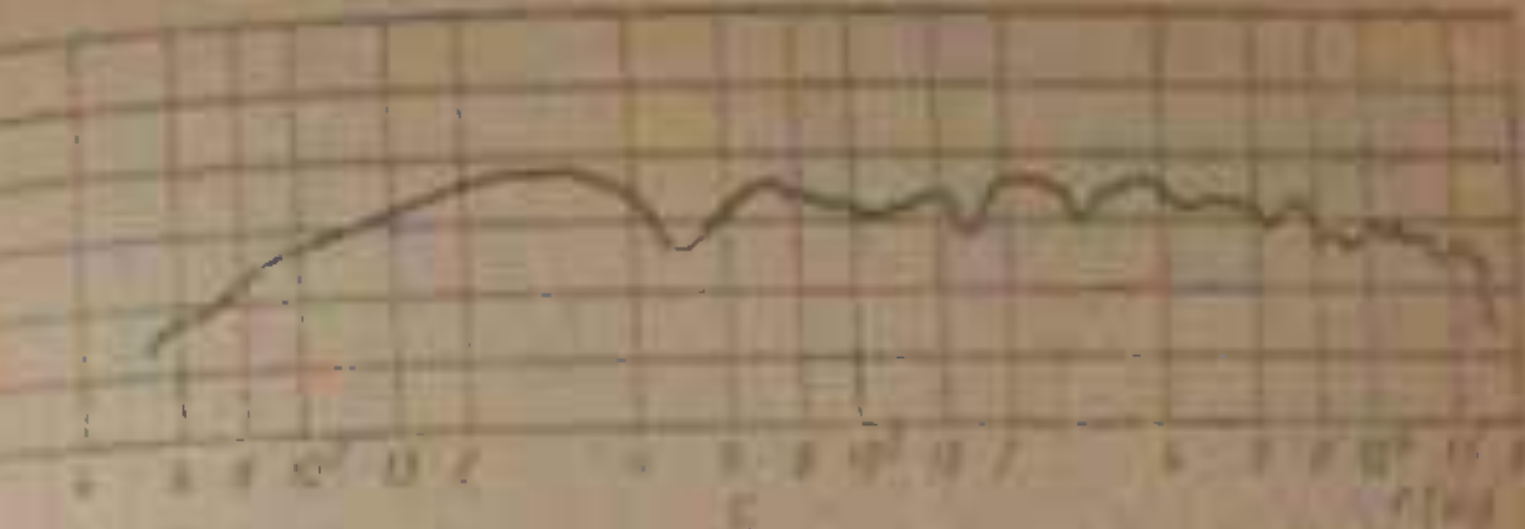
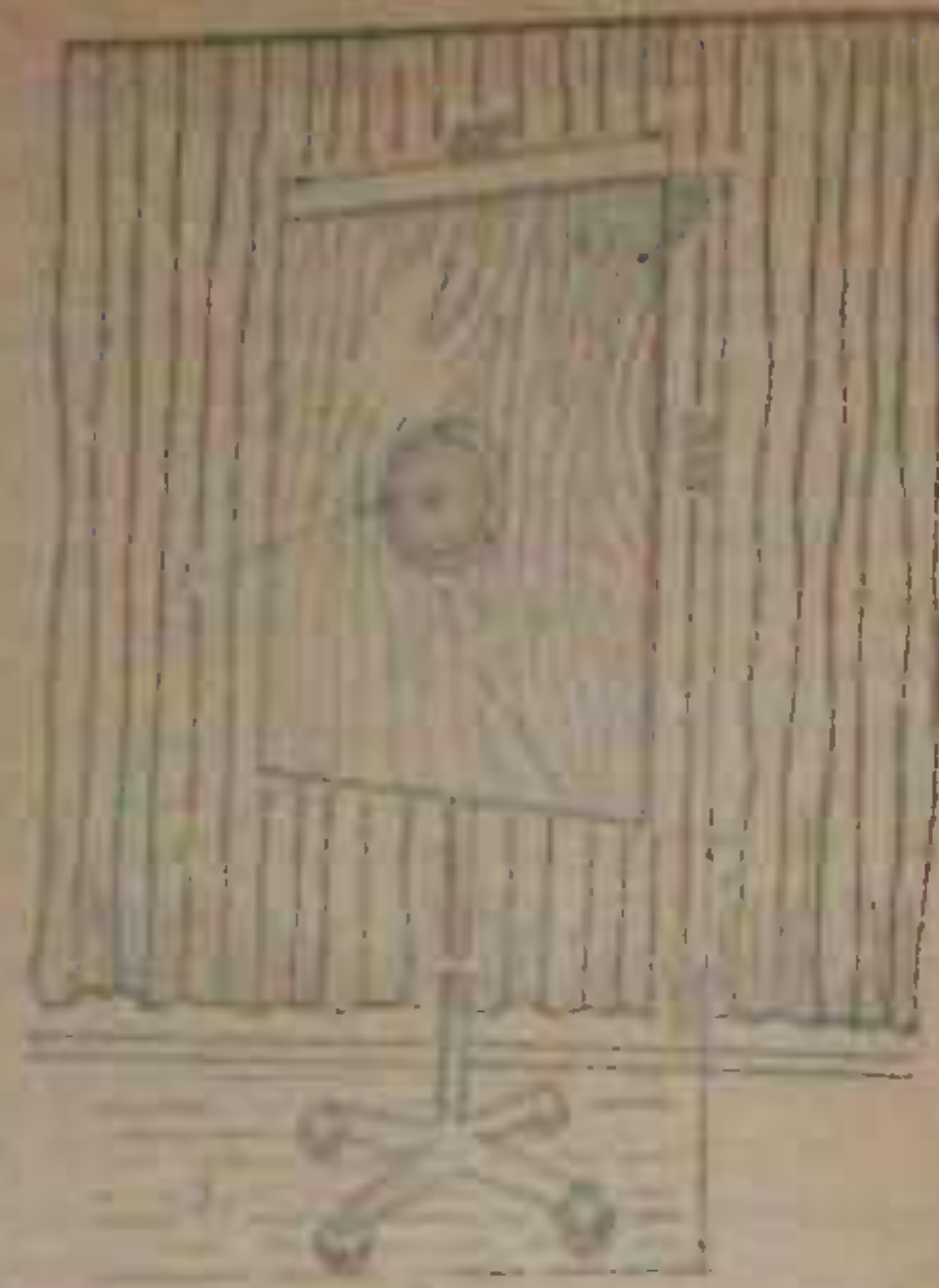


Fig. 4.4. Profilul parțial frontal paralel cu direcția axei de simetrie.

Difuzorul SA-Vega este echipat cu un difuzor central, de CSE 14/3835, montat pe un trunchi lăț de centru sau.

Difuzorul central are o frecvență de rezonanță de 65 Hz, caracteristica de frecvență având o valoare de 16 000 Hz. Puterea nominală a difuzorului este de 16 VA, inducția în interior de 1,2 T, iar impedanța nominală mebranei de 15 Ω.

Dimensiunile difuzorului sunt: diametrul maxim de 245 mm, înălțimea difuzorului (între stângă și dreapta) 146 mm, iar diametrul găurilor paralele este de 210 mm.

În figura 4.2 b se poate observa formele oblitomice prin care urmărește apărarea difuzorului, precum și figura 4.2 c este urmărea caracteristică de rezonanță.

4.2. INCINTE ACUSTICE DESCHISE

- Incinta acustica SA-Vega, prezentata in figura 4.3 are forma de prismă cu vârful frontal închis și unghiul măritiv 12° .

Dimensiunile exterioare ale incintei de sunet sunt din figura 4.3, a. Volumul unei incinte este de 370 dm³ (370 litri).

Incinta cuprinde un plan frontal cu lungime de 1100 mm și lățime de 600 mm. Parantele laterale, de

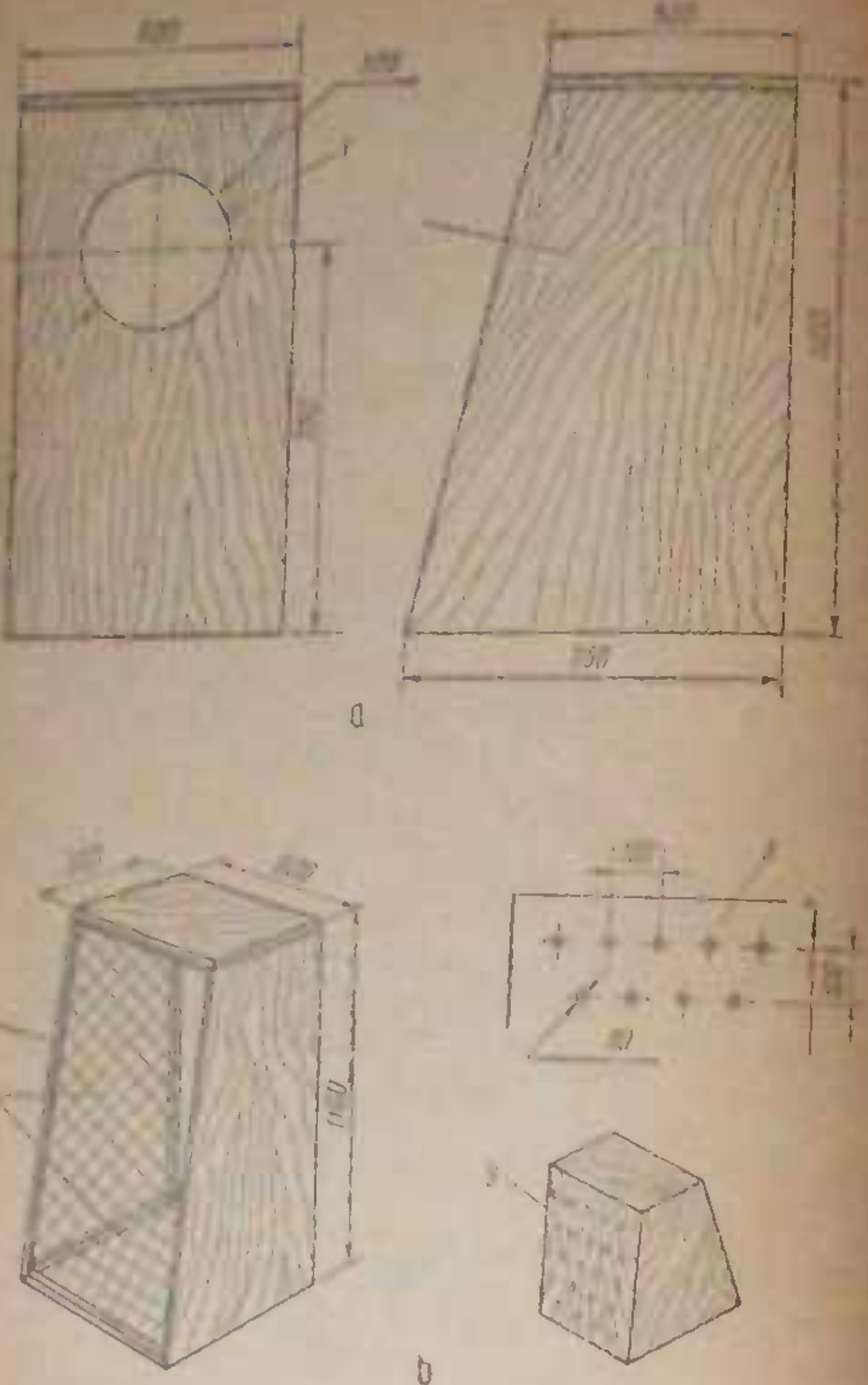


Fig. 4.6. Îmântă acustică de chimă, tip Vega:
a - vedere din față; b - vedere din spate; c - detaliu de construcție;
d - tratament acustic în spatele dintre
panouri de placă.

formă trapezoidală, având latură mare 750 mm, latură mică 500 mm și înălțimea 1000 mm, astă fiind clasa de performanță superioară și celorlalte. Aceste ultime prezintă un formă dreptunghiulară cu dimensiunile de 600 mm × 500 mm, respectiv 500 mm × 500 mm.

Este recomandabil ca rezistența inclusă să nu depășească, pe un lumen pătrat, confecționat dintr-un material rigid ca de exemplu plăci de carton sau P.F.L. său perete.

Irezistența acustică este obtinută dintr-un difuzor fabricat Vega, tip HP 340 ACTI-B, având un diametru exterior de 300 mm. Se menționează că pentru rezistență ridicată trebuie să fie amplasat un alt rezistență în perete înclinate, ca în altă coloană (cfr. de mai sus și figura 4.6a sau 4.6b).

În scopul rigidezii conectorilor se vor folosi rezistențe de lemn cu secțiunea de 20 mm × 25 mm amplasate la extremitățile panoulor (cfr. fig. 4.3 b).

Panoul frontal, pe care este montat difuzorul, se va fixa cu 16 mențiuni de cricuri pentru lemn, 4 × 40 mm, distanță de la 60 mm, inclusiv celălalt.

Peretii incidenți sunt confecționați din plăci de PAL¹ cu grosimea de 20 mm. El poate fi realizat în diverse dimensiuni tip „sendviș” folosindu-un cile 2 plăci de placă de 10 mm, separate printr-un spațiu de 10 mm, apoi cu o cale fină, unică, pe cărora este aplicată o capă sau lipsește cu ajutorul cimentului spumos.

Tetova metalică alcătuită constă din cinci din tuturor peretilor cu placă ion-boritante, de 25 - 40 mm grosime, similară cu cele de fabrică (comprimate tip FA 140-SV sau P²). În scopul reducerii costului calei, tratamentul acustic se poate executa doar sub forma unui vată minerală tip SCO sau SPS³.

Capacul de protecție din spatele călei este realizat, astfel cum s-a mai aratat, dintr-o placă de carton, grosă de

¹ Plăciile de PAL sunt compuse din două straturi de lemn adesate și presate după un anumit procedeu tehnologic.

² și ³ Aceste producție se fabrică la întreprinderea de produsele minierătoare „Petceni” - Ploiești.

2 mm, perforată, cu unghiuri având un diametru de 5 mm și o distanță între ele de 10 mm.

Suprafata exterioră a cutiei este acoperită cu hama de mătase varianță mult puțin conchidătoare de frunze, astfel încât se poate faceu placă de mătematice sau chiar coperta de hama din vînt sau plăci de nisip.

● Incinta acustică tip IA 36-1 MAESTRO.

construcție românească, este destinată să servească ca cutie pentru sistemul MAESTRO STEREO din programul de fabricație și testare Electroacustică.

Iernita, de formă paralelepipedică (fig. 44), are următoarele dimensiuni – înălțime 270 mm, lățimea 210 mm și adâncimea 200 mm.

Volumul interior este de 0,6 m³.

Cuiera cuprinde un anexă difuzor, de tip P 21480, cu următoarele valori alese în figura 45, parametrii acustici următoarele valori: putere rezonantă 6 W, rezistență nominală 4 Ω, frecvență rezonanță 100 Hz, caracteristica de frecvență ca în figura 46, c.

Nivelul puterii acustice, generată de difuzorul montat în incintă, este de minimum 35 dB (0,0356 W/m²), la căpătul de frecvență ai anexei, cu difuzorul în poziție prezentată în figura 46, b.

În figura 47 se prezintă schema constructivă a cutiei, alcătuită din două părți, paralelepipedice, realizate din cartonă reinfățat cu hama Palast Crown și materialul de lemn de 15 mm pe direcția peretei laterale și de 10 mm pe direcția frontală. Biela zornă asamblată și obținută în apărul unei bielițe de lemn, cu secțiunea de 20 mm × 20 mm și lungimea de formă prismatică cu capătul bătătorit.

Scutul de casă este alcătuit din o placă perforată, realizată din PTFE, cu un grosime de 5 mm. Detaliul de pefigură și al anexelor este întregul ansamblu, sint prezentate în figura 47. În interiorul exterior al cutiei se poartă două bielițe latente de oță și anicin sau de mânecă.

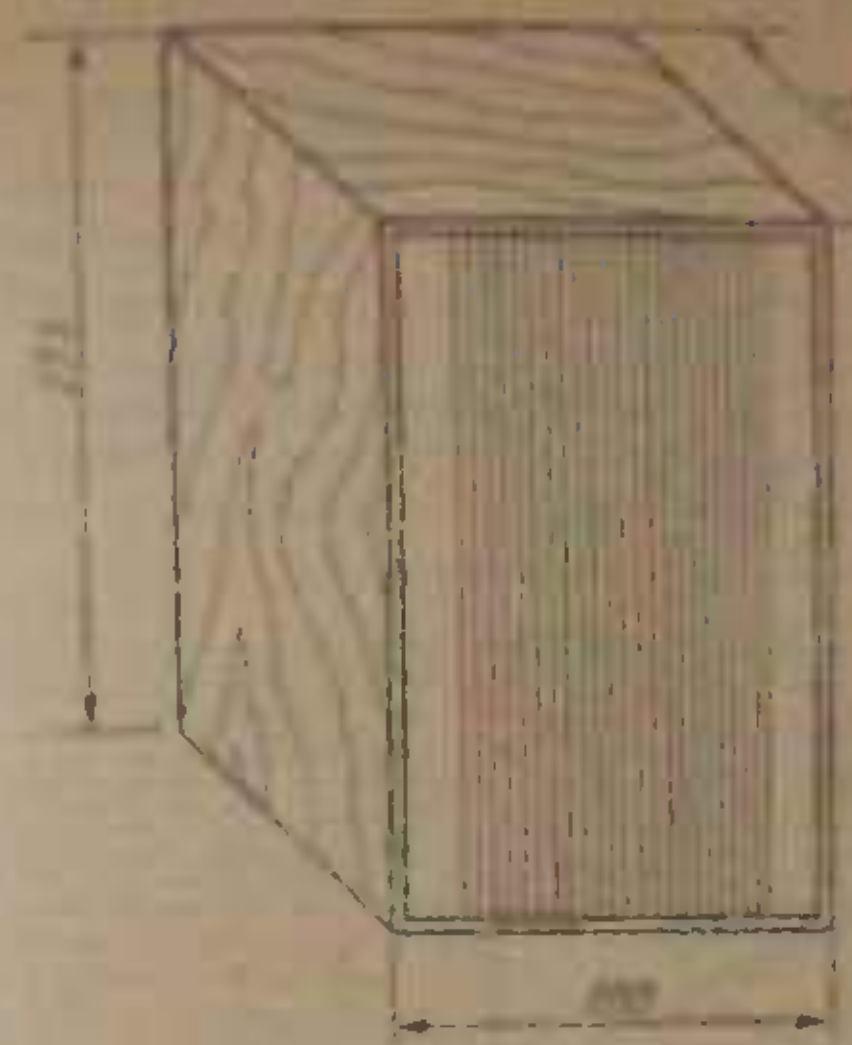


Fig. 44. Formă generală a incintei acustice tip IA 36-1 MAESTRO.

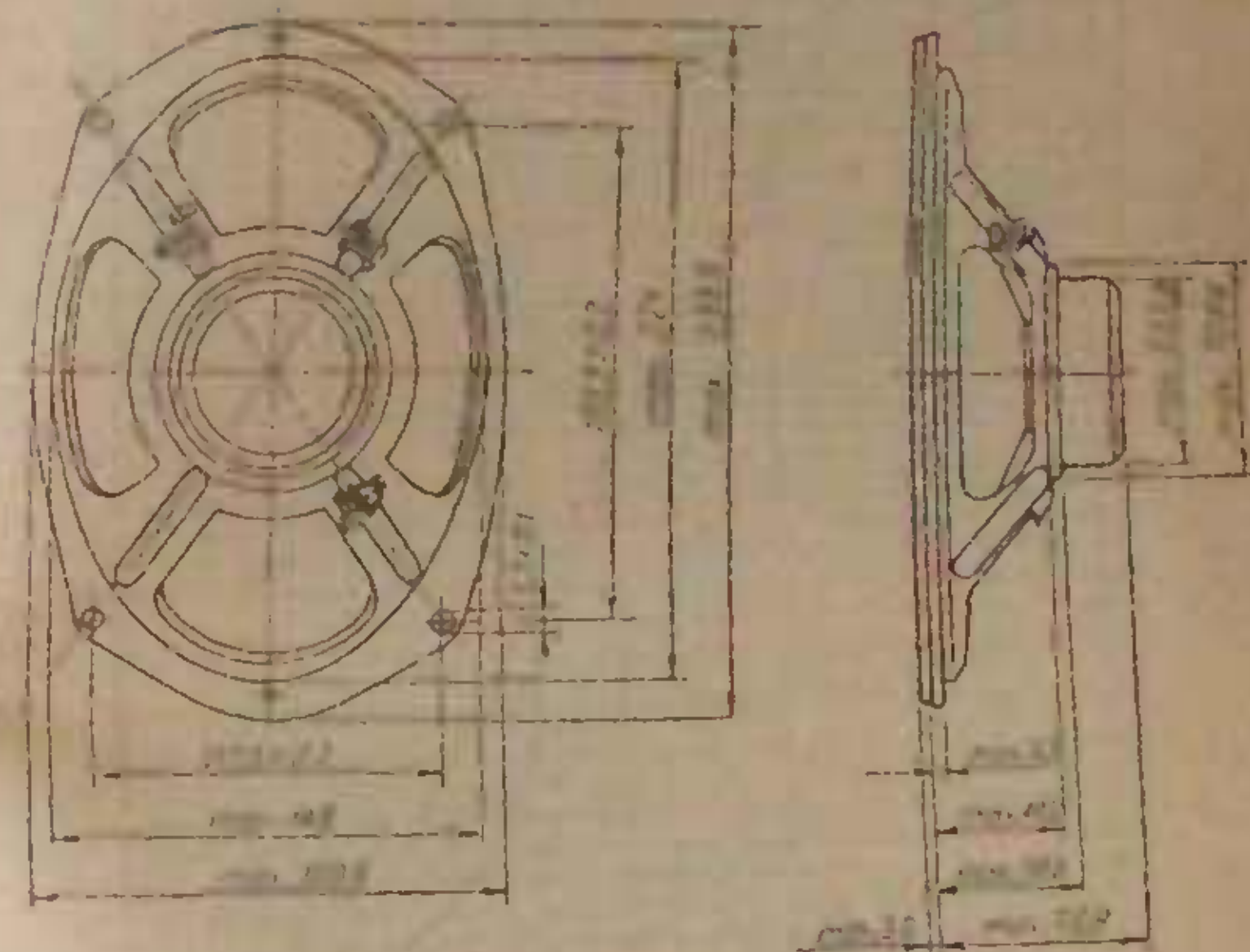
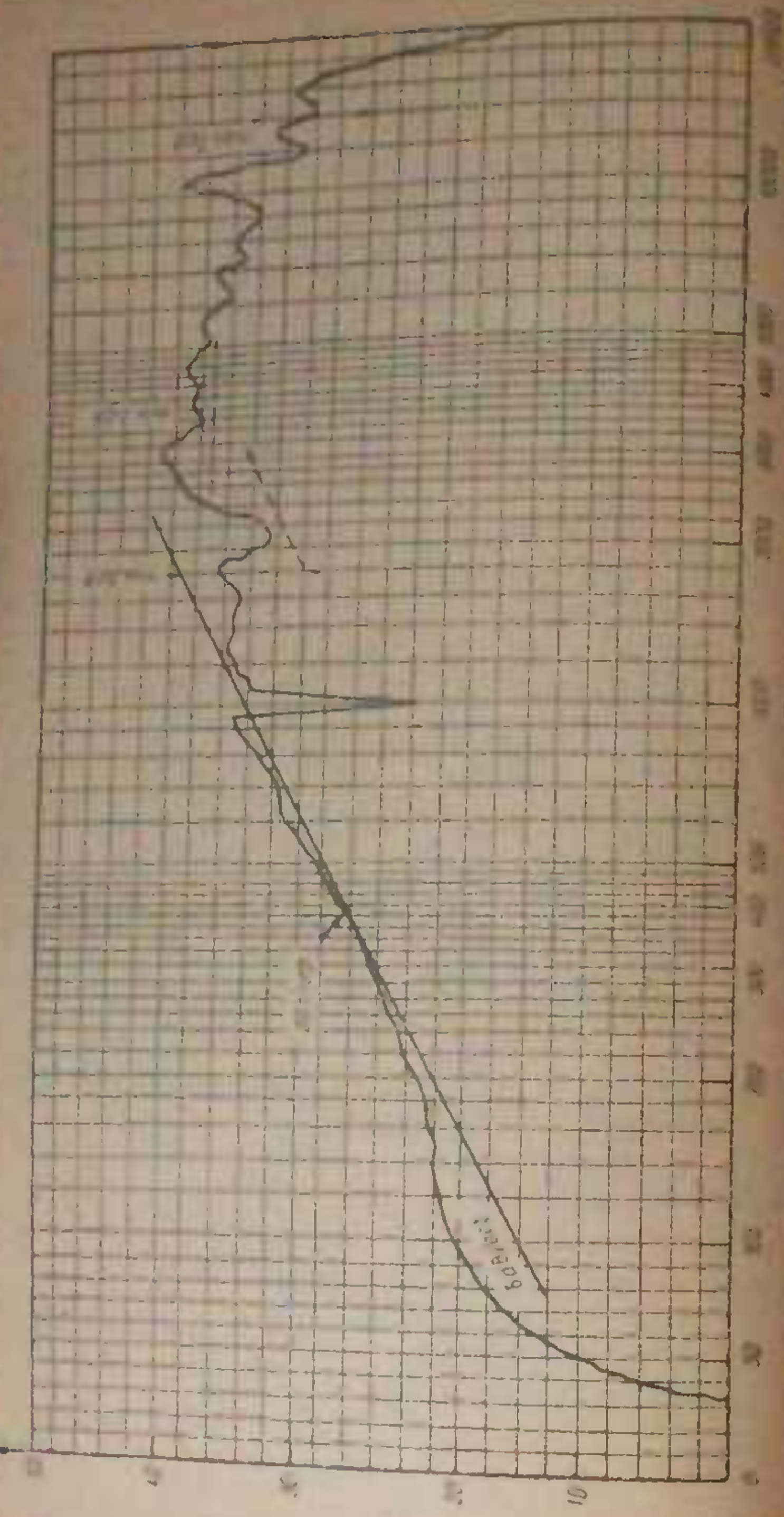
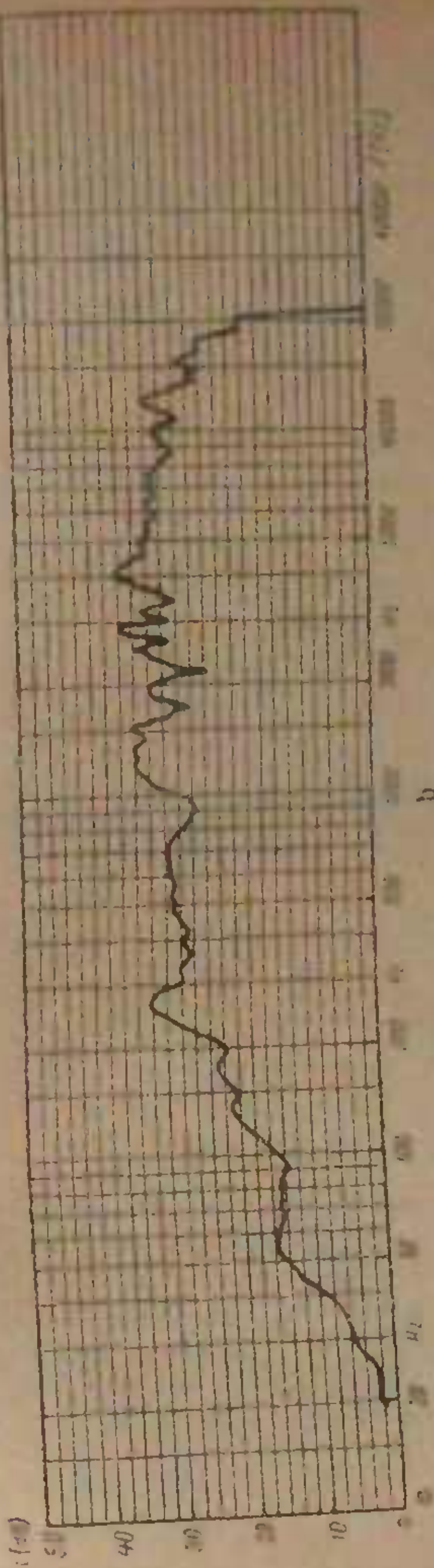


Fig. 45. Datele construcție și diferențele între P 21480 și P 21480.

Fig. 13. Curves of current-voltage characteristics of the diodes.



În vedere de protecție din interiorul panoului frontal este prevăzut cu un grilier din lemn sau din material plastic (fig. 4.6 și 4.7).

Greutatea totală a incintei este de aproximativ 2,5 kg.

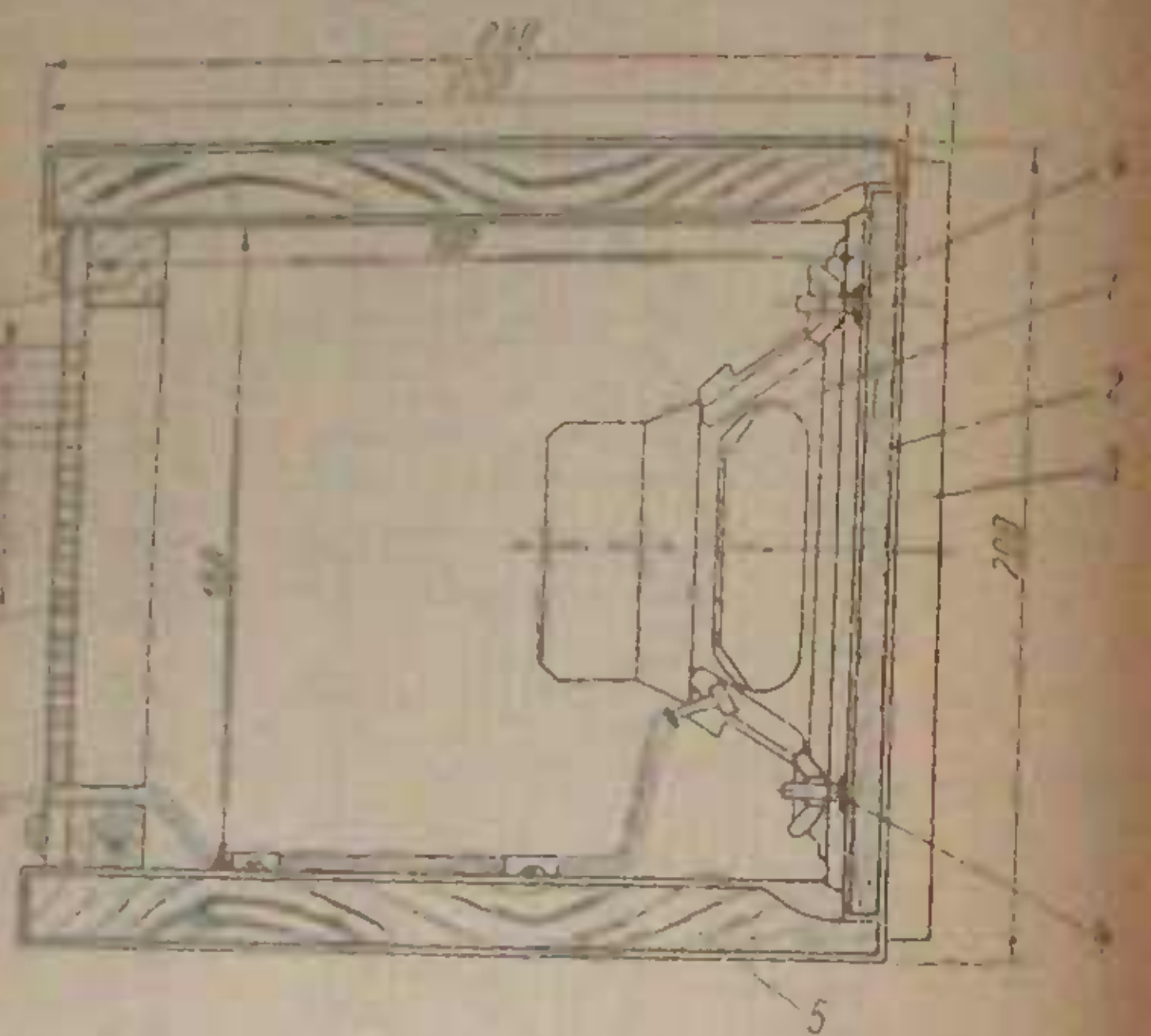


Fig. 4.6. Detaliu constructiv pentru incintă acustică tip I-A
MALSTROM:

1 — bordură — panou cu 1,5 — măr. atât din panouri
2 — bordură — fuză; 3 — pereții laterali din PAL cu
4 — gh. 15 — panou PEI perforat de 5 mm și 10
5 — grilier.

încintelor de locuri. Tendința actuală este astăzi de a încărcăta în templa construcțiilor rezidențiale.

În cadrul acestor parcuri se va încuraja către fabricație îndepărtaște niciun indențuș pentru ambi direcții, și modul în care se va crea funda de suportă concreată preșteror componentă și către suportării lor.

● Incintă acustică cu volum de 7 dm³ (7 l), de fabricație Philips. Această casetă are o formă paralelipipedică, cu dimensiunile extinției: înălțime 330 mm, lățime 250 mm, adâncime 160 mm.

Ea este echipată cu un difuzor cu AD 700 W și cu diametrul de 7" (17,78 cm) ale cărui date constructive sunt prezentate în figura 4.8. Valorile parametrilor tehnici ai difuzorului sunt următoarele: putere nominală 20 VA, impedanță 8 Ω, frecvența de rezonanță 25 Hz.

Așa cum se vă observă din desenul său înaltă, panoul frontal al acestei casele este prevăzut cu o deschidere circulară suplimentară în dreptul căreia se poate fixa un al doilea difuzor, pentru reproducerea frecvențelor joase. Pentru acest ultim caz, al cărui amplificator este dintr-un difuzor, este prezentată în figura 4.9 o bucată rezervată acestui.

Modul de realizare a incintelor acustice de fabricație Philips. Pentru reușita construcție a casetei trebuie să se reducă durata de execuție, se descriu în continuare urmăzii principalele etape de confecționare, astfel cum au rezultat din experiența constructorilor firmei Philips.

a) Determinarea elementelor componente ale incintei. Principalele piese pentru construcția casetei de fabricație Philips sunt următoarele:
2 bucăți — panouri, din panel, placaj sau PAL, cu dimensiunile de 310 mm × 240 mm și cu grosimea de 15 mm (pentru panourile frontale și de spate);

2 bucăți — panouri, din panel, placaj sau PAL, cu dimensiunile de 340 mm × 160 mm și cu grosimea de 15 mm (pentru panourile laterale);

2 bucăți — panouri, din panel, placaj sau PAL, cu dimensiunile de 200 mm × 160 mm și cu grosimea de 15 mm (pentru panourile superioare și inferioare);

4.3. INCINTE ACUSTICE ÎNCLOSE

Incintele în huse sint în prezent frecvent utilizate pentru reproducerea muzicale de înaltă fideltate. Ele sunt realizate de către constructori într-o mare varietate de forme, scopul urmărit fiind acela de a oferi amatorilor posibilitatea de a crea sunete mai bune și mai armonioze decât în casă.

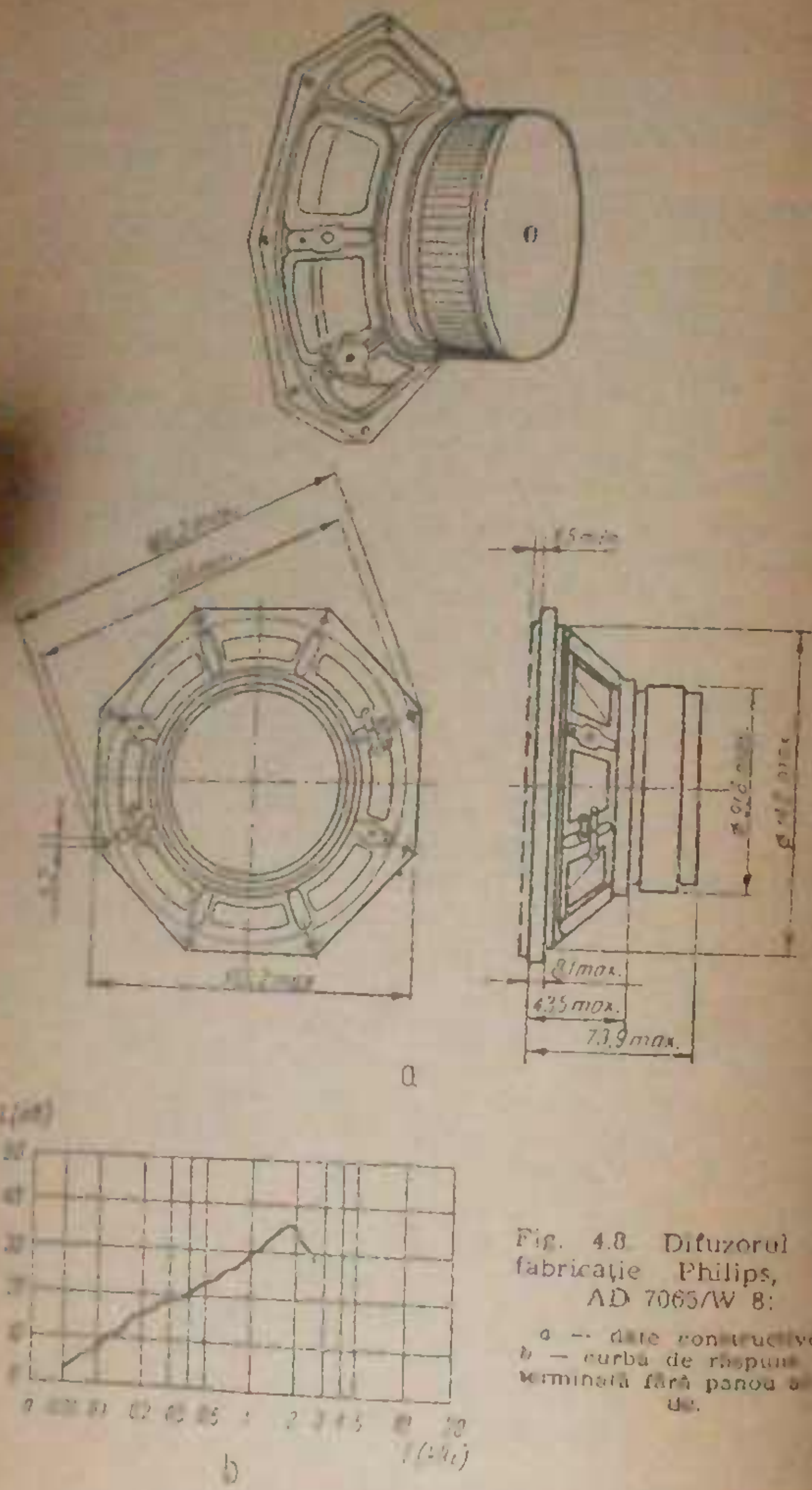


Fig. 4.8. Difuzorul de fabricație Philips, tip AD 7065/W 8:

a — date constructive;
b — curba de răspuns în terminata fără panou acustic;

4 bucăți — baghete din lemn de brad, de secțiune patrată, cu latură de 20 mm, de lungime 310 mm (pentru interiorul casetei);

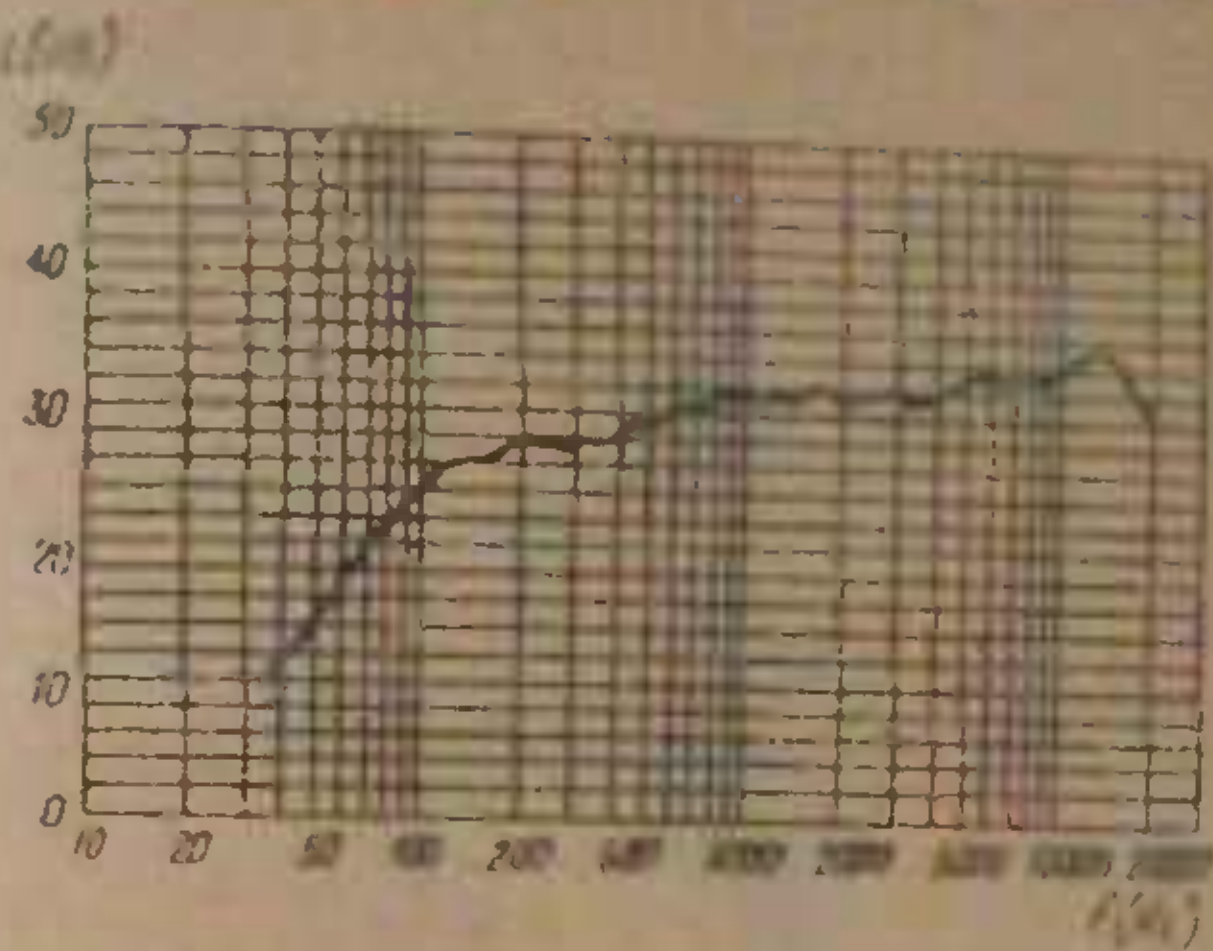


Fig. 4.9. Curba de răspuns a sistemului de difuzor, montat în interiorul casetei.

4 bucăți — baghete din lemn de brad, de secțiune patrată cu latură de 20 mm, de lungime 180 mm (pentru interiorul casetei);

2 bucăți — baghete din lemn de brad, de secțiune patrată cu latură de 10 mm, de lungime 310 mm (pentru rama protectoare din față panoului frontal);

3 bucăți — baghete din lemn de brad, de secțiune patrată cu latură de 10 mm, de lungime 180 mm (pentru rama protectoare din față panoului frontal).

Componentele enumerate, care sunt indicate în figura 4.10, delimităaza astă cum s-a mai arătat un volum util de aproximativ 7 dm³ (7 l) dimensiunile cutiei fiind înălțimea de 340 mm; lățimea 200 mm și adâncimea 160 mm. În afară de materialul lemnos, amintit construcțorul trebuie să-și mai procure șasăura „transparentă pentru sunet” ce se aplică pe rama panoului frontal ma-

se adăugă un suport cu o capacitate de pătrat pe centimetru și un suport de pernă pentru lemn și alte accesorii (fotoframe, scâne, etc.).

(3) Amplasarea difuzoarelor și al altor elementelor în interiorul casetei. La așezarea difuzo-

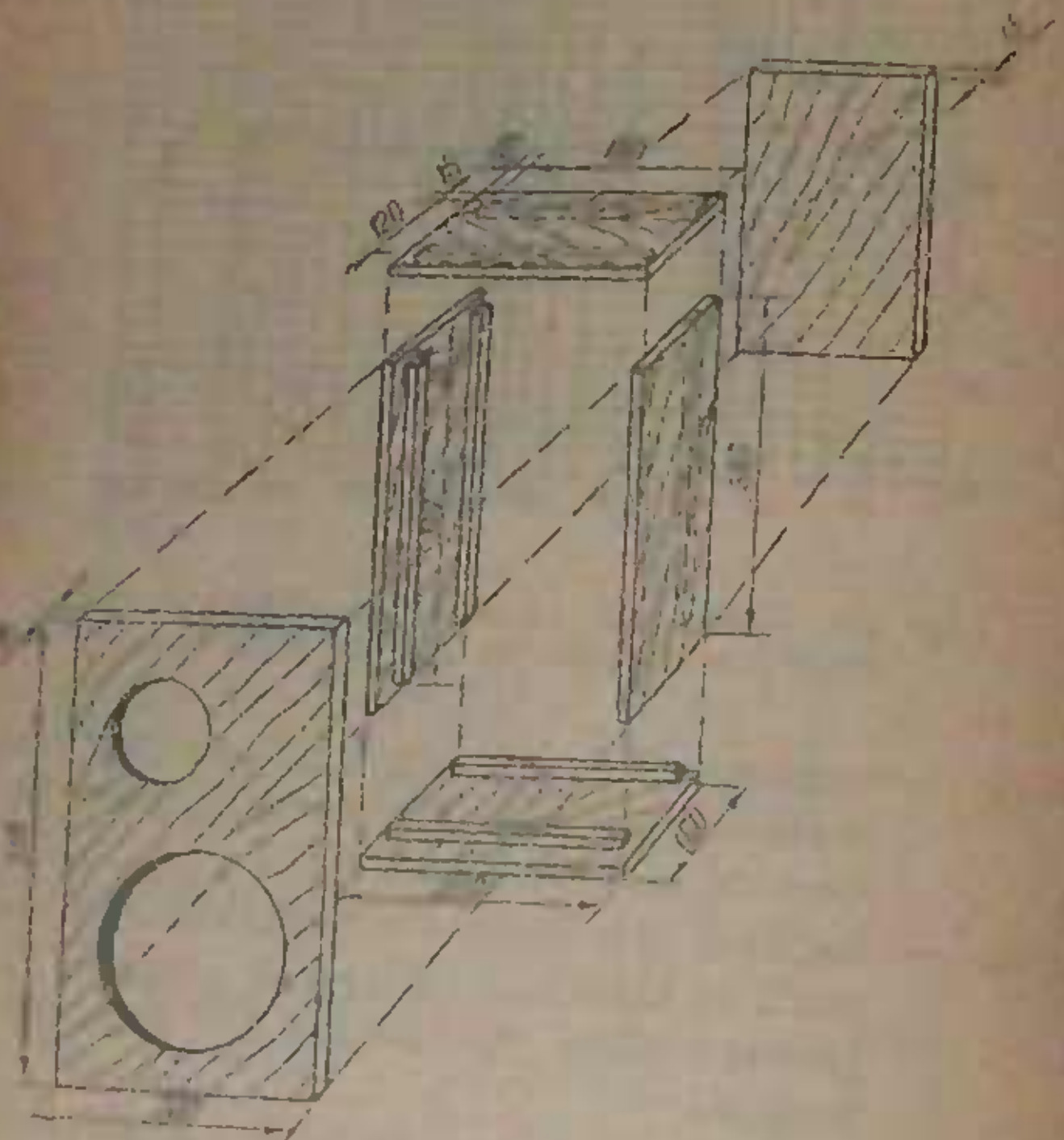


Fig. 4.10. Părțile componente ale incintei de 7 dm^3

relor în interiorul incintei acustice trebuie să se aibă în primul rind în vedere posibilitatea de a le verifica și eventual a repara, după un anumit timp de funcționare. Este cunoscut faptul că în cazul aplicării unor puteri electrice superioare celor indicate de fabricant sau în situația depozitării în spații cu condiții climatice necontrolate, difuzoarele se deteriorează, parametrii calitativi reducindu-se din punct de vedere valoric. De aceea cauză este de dorit ca în cazul unor asemenea in-

tervenii, acestui la pernă să nu aducă prea multă tensiune și să nu dureze prea multă vreme. Un alt motiv pentru care se adoptă astfel de soluții fizice este că, în cadrul unei incinte acustice, perna trebuie să se sprijine pe fața pernului frontal, unde, în urma fixării, vor străbate în acest fel găuri situate pe fața pernului și numai după acest material, înainte de pernoului. În acest caz diametrul ocupat de pernă este de 142 mm, centrul cău înăindu-se la 100 mm distanță în raport cu fețele interioare ale pernului lateral (fig. 4.11). Găurile de fixare ale difuzorului sunt amplasate pe o circumferință cu diametru de 156 mm (fig. 4.8, a). Difuzorul pentru redarea frecvențelor mici și s-a rezervat un spațiu în partea superioară a pernului difuzor însă cum rezulta din figura 4.12. Să în acest caz este de dorit să se adopte o soluție de tipul prezentat

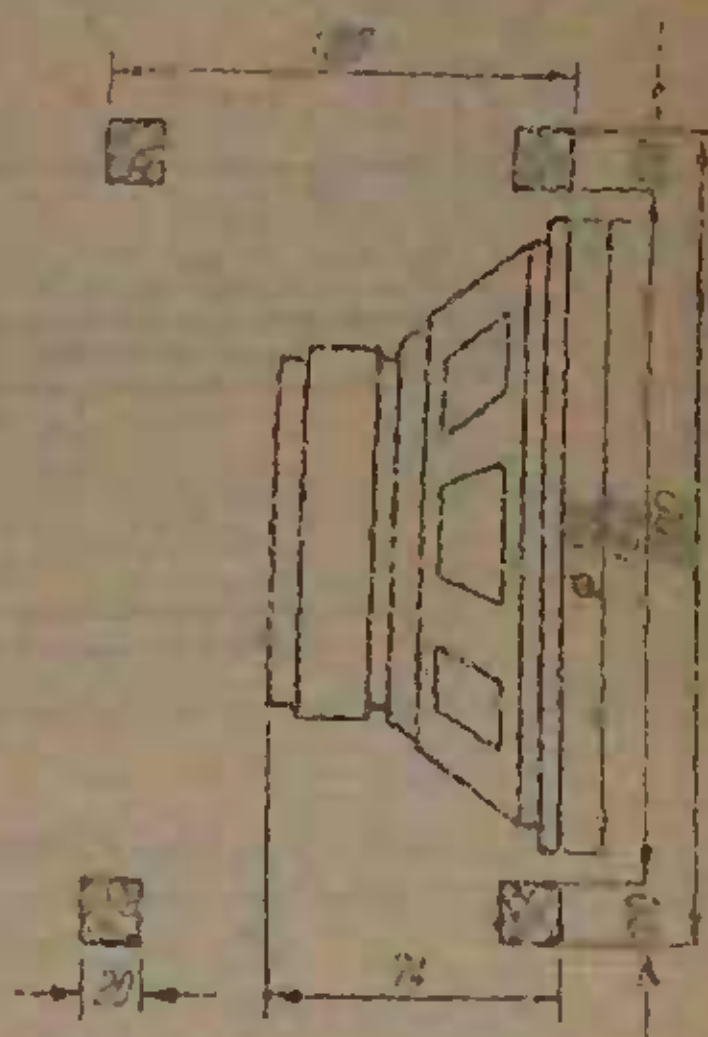


Fig. 4.11. Amplasarea lui difuzorului în interiorul incintei (secțiune orizontală prin lățime).

toare cu cea din cazul precedent (a se vedea figura 4.13). Distanța interax a celor două decupări, pe verticală, este de 140 mm iar, pe orizontală, este de 30 mm. Adoptând un asemenea amplasament, se creează un spațiu suficient de mare necesar fixării rețelei de separare.

d) **Fixarea baghetelor din lemn pe peretele interioară ale incintei.** Pentru exemplificare se consideră pereti superioare și inferioare ale căror dimensiuni sunt de 200 mm \times 160 mm. Procedul de montare a baghetelor este următorul:

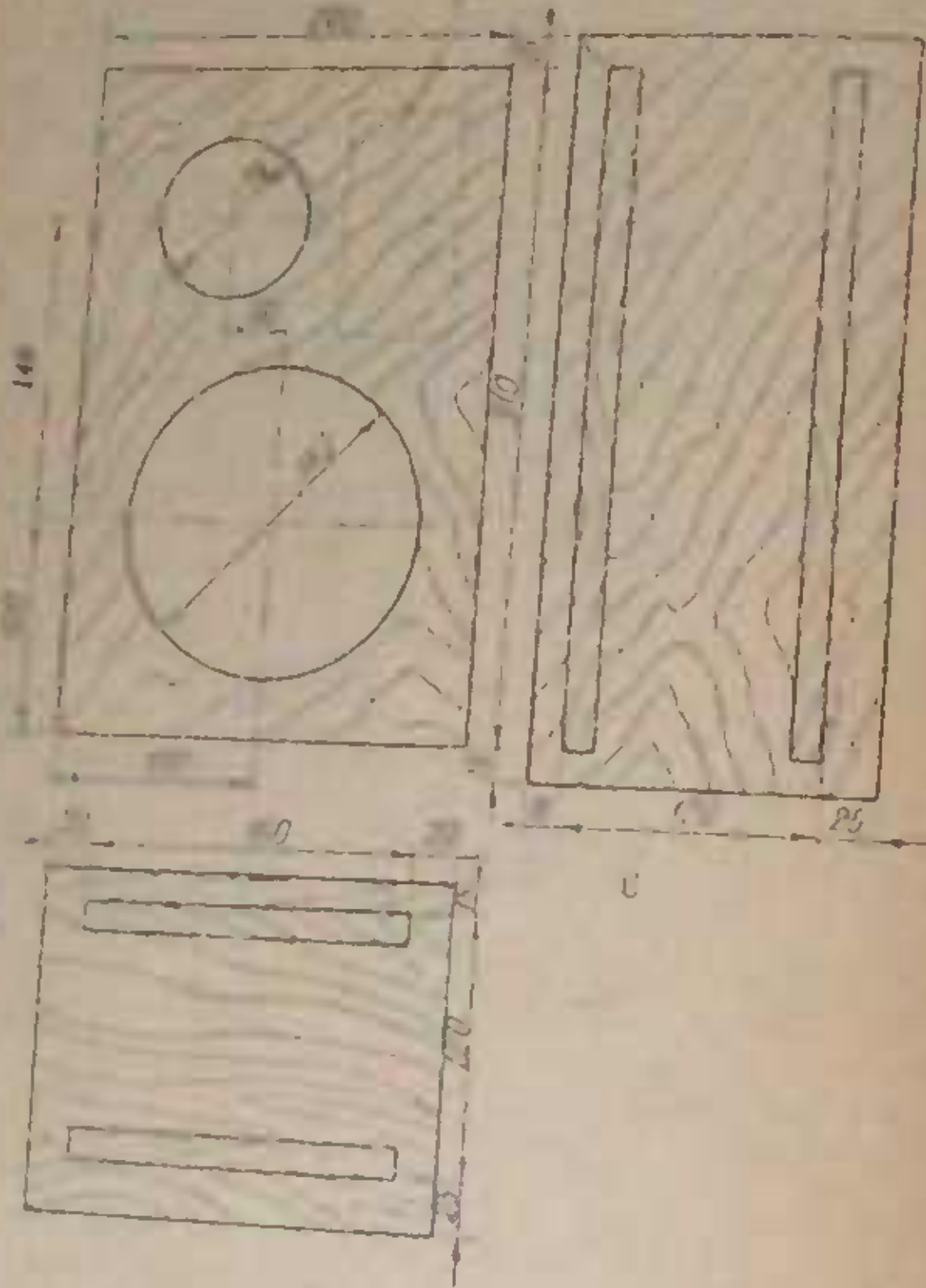


Fig. 4.12. Poziția difuzoarelor și a sășiului retelei de separație pe panoul frontal
1 - leul retelei de separare

Se așază același doi pereti pe un plan orizontal. Bănetele în lungime de 160 mm se fixează astfel încât să amintă o distanță de 15 mm față de latura corespunzătoare spatelei casetei și de 25 mm față de latura opusă.

Cota de 15 mm rezultă din grosimea materialului utilizat pentru peretii iar cea de 25 mm din grosimea

unei materiale la care se adaugă grosimea ramei pe care este întinsă poziția ce susține peretele din spațiu casketă (a se vedea figura 4.14). Este recomandabil ca peretii să fie fixați corect la incintă să se facă unele distanțe calibrate corespunzător. După cum se vede

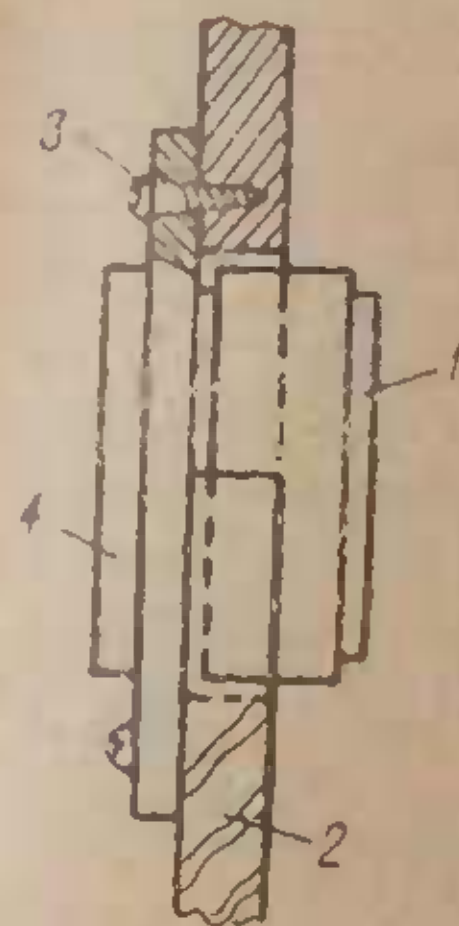


Fig. 4.13. Montarea difuzorului pentru reproducerea frecvențelor finale

1 - magnetul difuzorului; 2 - panoul frontal; 3 - surub de fixare; 4 - planșă frontală difuzorului.

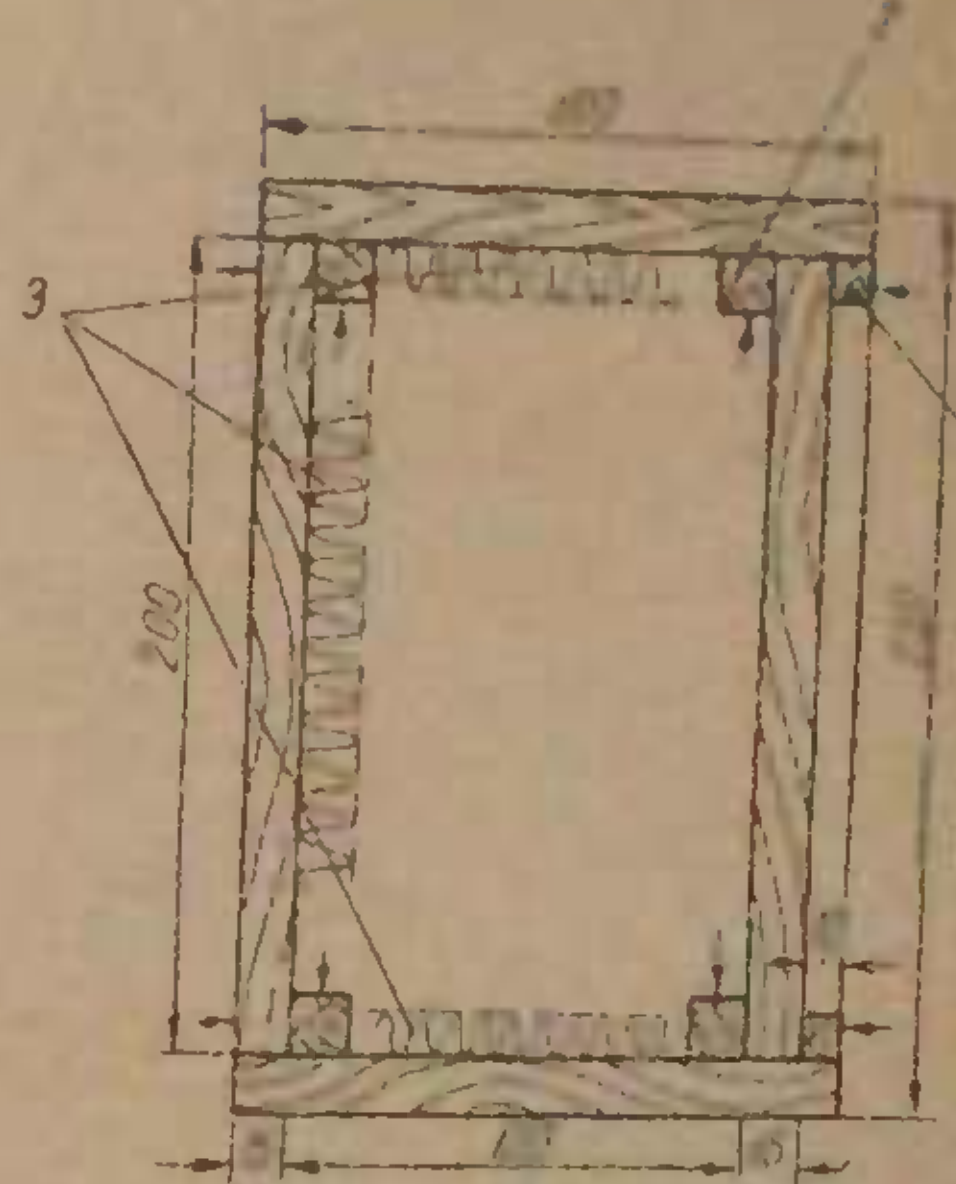


Fig. 4.14. Secțiune verticală prin incinta cu retele

1 - rama frontală; 2 - bănetul de rezistență; 3 - material folicaborbant (85g/m²) montat în locul în care se fixează suruburile pentru lemn.

arătat în lista de materiale, lungimea acestor spini a fost stabilită la 160 mm, lăsindu-se în acest fel spațiu necesar (de 20 mm) pentru imbinarea cu baghetele fixate pe peretii verticali (figurile 4.10, 4.12 și 4.14). Într-un mod asemănător se procedează și pentru peretii laterali ai incintei.

d) **Rețeaua de separare.** Pentru grupul de difuzoare cu care este echipată incinta de 7 dm² de fa-

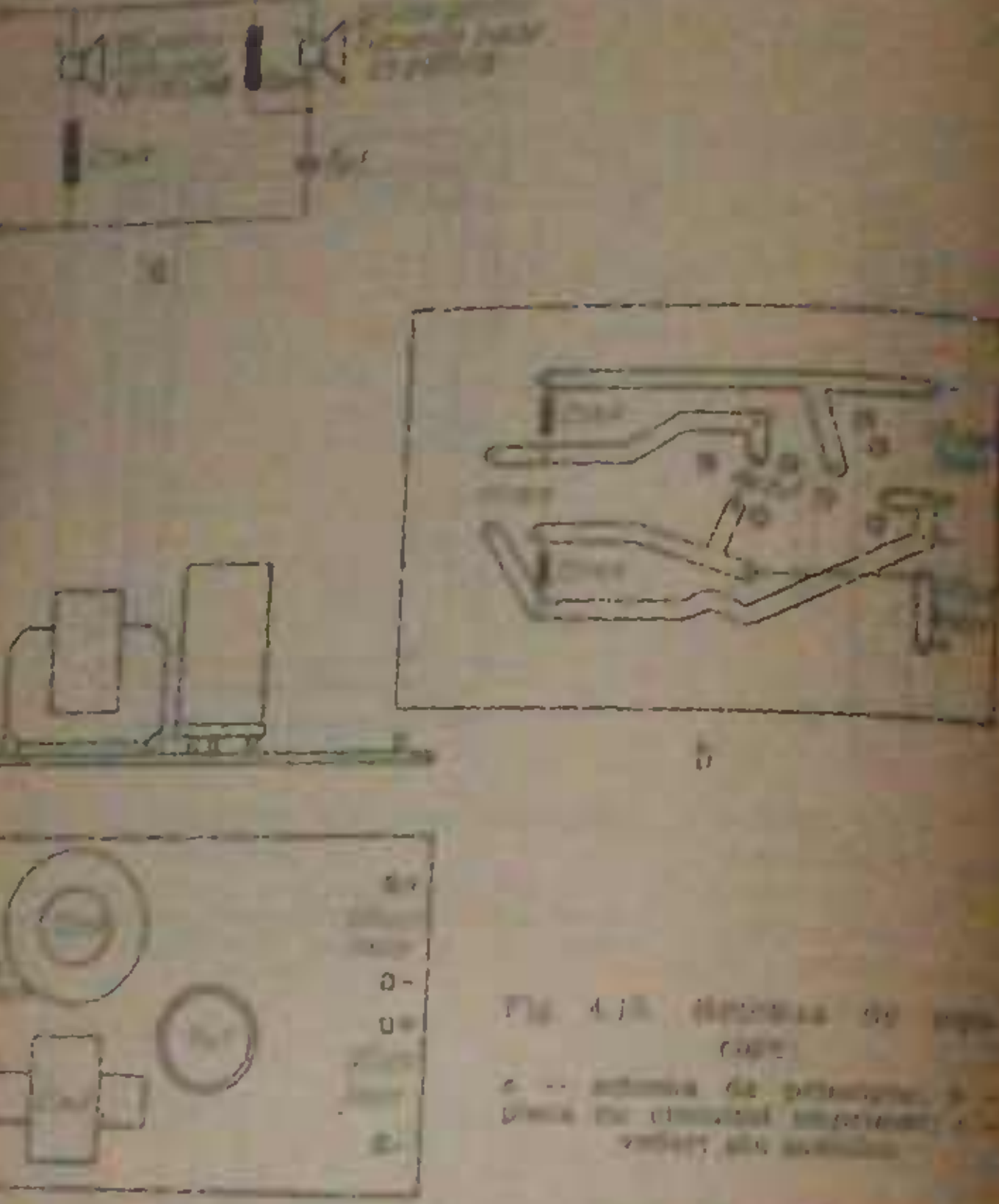


Figura 4.11. Circuitul de alimentare cu curent continuu obținut prin transformator cu două secundare și rectificare în pontă.

Prin urmare, se poate obține o tensiune continuuă de:

$$U_{DC} = \frac{2}{\pi} U_{AC} \cdot \eta_{rect} \cdot \eta_{transformator}$$

Dacă se lucrează cu un transformator cu secundare de tensiunea acmea, rezultă că tensiunea continuuă obținută este de:

$$U_{DC} = \frac{2}{\pi} U_{AC} \cdot \eta_{rect} \cdot \eta_{transformator} \cdot \eta_{secundar}$$

Urmată după operație a transformatorului, tensiunea continuuă obținută este de:

$$U_{DC} = \frac{2}{\pi} U_{AC} \cdot \eta_{rect} \cdot \eta_{transformator} \cdot \eta_{secundar} \cdot \eta_{curent continuu}$$

În mod similar, se poate calcula componentele piezoelectricale ale tensiunii continue obținute de la secundarele transformatorului, ceea ce va fi făcut în următoarea secțiune.

Operează transformatorul cu tensiunea continuuă obținută și se obține la ieșirea sa tensiunea continuă obținută pe secundar. Această tensiune continuă obținută este numită tensiunea continuă obținută de la secundar. Se va prezenta următoarele date care să demonstreze că tensiunea continuă obținută pe secundar nu coincide cu tensiunea continuă obținută pe primar.

• Pentru apăsare se va verifica că în interiorul incintei nu există niciun obiect care să fie adăpostit din spatele ei și să nu mănuște multe direcții. În cazul în care asta nu este posibil, aplicându-lu simultan ușă și ușă, menținându-le tot se deplasarea între ele.

• Așamblarea incintelor acustice. Acestea vor fi așamblate cu ajutorul celor patru pereti la unghiuri. Pe loc prindere se vor folosi mituri și lemn. Înainte să se sublinieze adesive. Este de dorit să se evite să se prindă părțile frontale și cel de spate se vor fixa în locul numai disponibili, în caz contrar se vor face următoarele necesare. Înainte de fixarea acestui element se vor pătruni și practica în peretele de spate un orificiu cu diametrul de circa 1 cm care are un dublu scop: să realizeze egalizarea presiunilor pe cele două fețe ale montajului difuzorului și să constituie orificiul de trecere al extinderii conductoarelor electrice. Capetele de extensie vor fi conectate la bornele unei reglete fixate în interiorul caserii, pe panoul din spate.

Pentru prinderea panoului frontal se tine seama de indicația de la pct. b.

Rezultatul executiei unei astfel de caserii poate fi văzut în capitolul 2, § 2.3.3, în tabloul 1 în felul în care se execută tratamentul acustic. Se poate observa mai multe categorii de materiale sonore: între exemplarele FA 140 P sau V de 20 mm grosime, placile coperioase armate AP'S sau AP,V de 50 mm grosime și pisoanele elastice din vată minerală P 40 sau P 60, de 60 mm grosime.

Pentru unirea acestor materiale absorbtive se va mări înălțimea și alege unu din soluțiile prezentate în figura 2.22.

Dacă totuși se constată în verificările incintei, că în interiorul ei nu există unei bune etanșezări se vor apăsa

• În interiorul incintei acustice, din carele situate pe latură, la o distanță de 400 mm împreună cu vopsea roșie și cu unghia de 10 mm se va etanșea de separație.

din hincapă și se va apăsa pe latură și pe fundal astfel ca să nu se facă decișări și să nu se obțin căderi. În final se va efectua etanșarea.

După amfibierea intineri și următoarea confectionare ramei caserii se va efectua următoarea:



Fig. 4.16. Ramă pentru fixarea pe un mitru de prindere a unei incinte acustice.
I - loc prins de la o placă izolantă de lemn

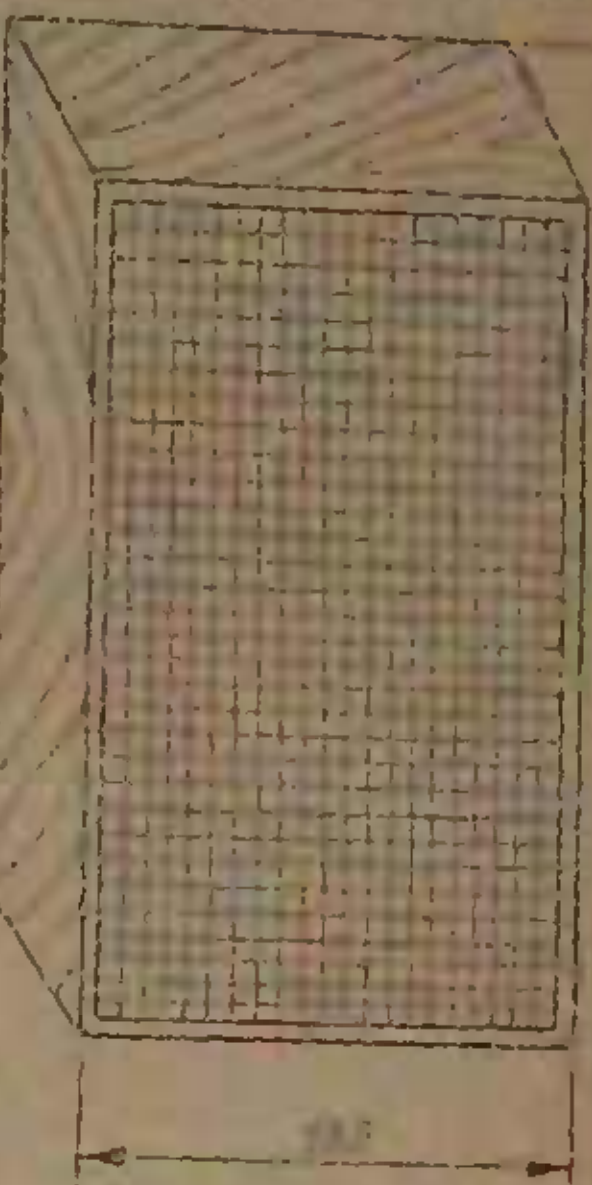
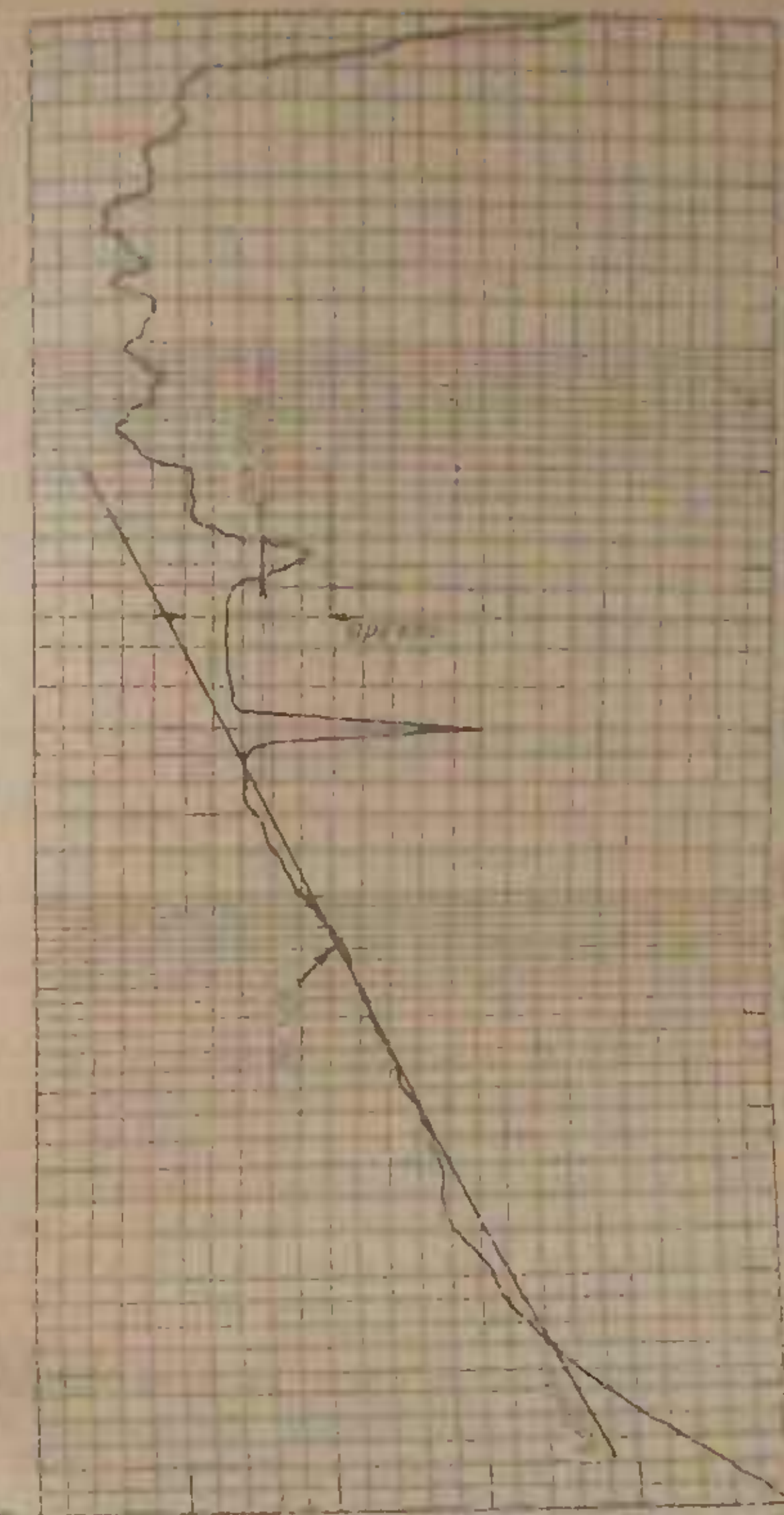
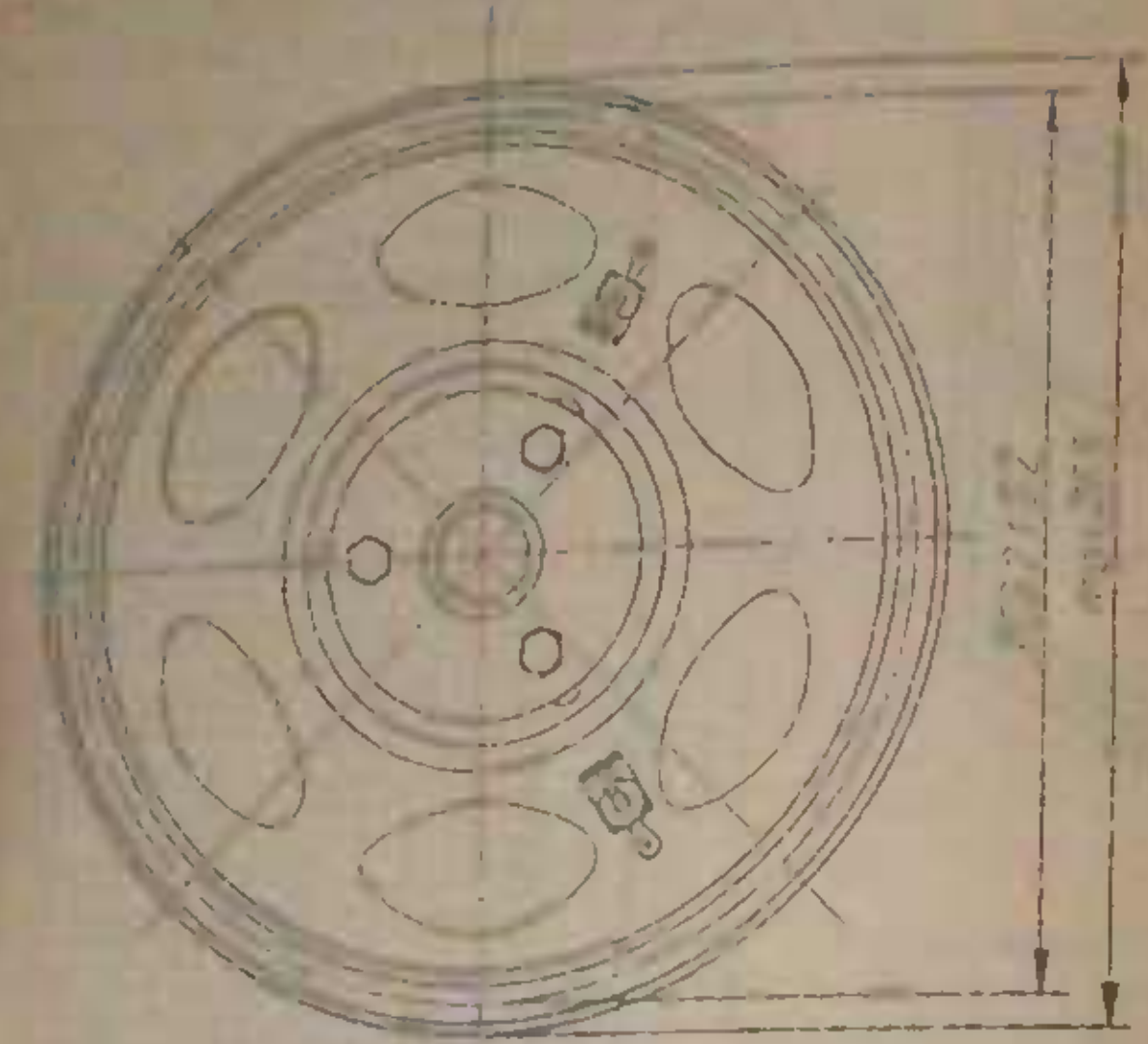
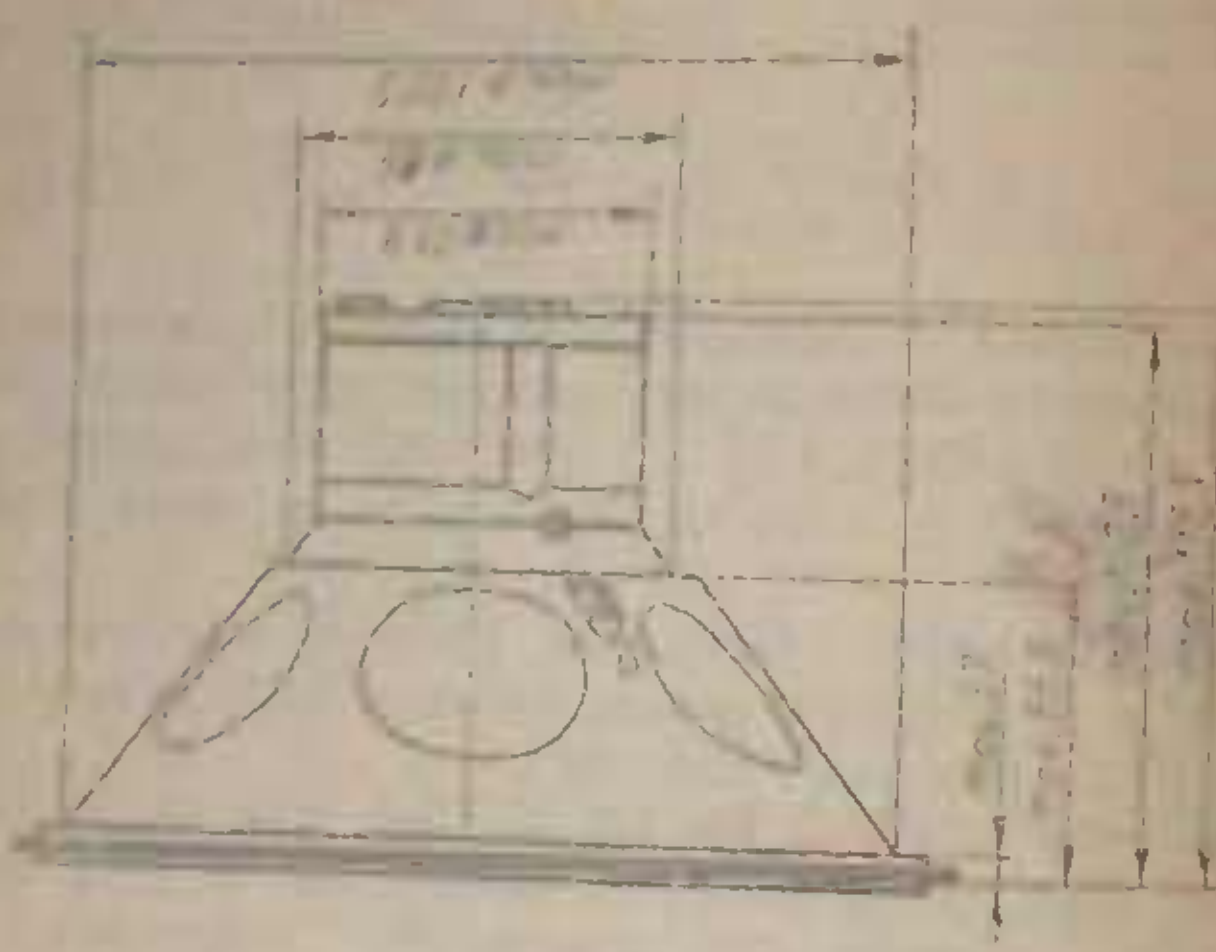


Fig. 4.17. Incintă acustică IA 35/10-1

constituie masca incintei. Această ramă este executată din cinci baghetă de lemn de secțiune pătrată (10 mm x 10 mm) montate ca în figura 4.16. Pe față baghetelor se aplică un strat de substanță adezivă pe te care se adaugă lemnul bine întins.

Pentru înălțimul exterior al incintei acustice se va folosi, ca și în celelalte caseri, furnirul lemnuit și următoarele cauze: sau placile de inelacare.

• Incinta acustică tip IA 35/10-1 este un produs al Uzinelor Electronica aflat în etapa de experimentare. Caseta are dimensiunile exterioare: înălțimea 575 mm, lățimea 850 mm și adințimea 250 mm.



de 470. Aceste dimensiuni le compun doar un volum interior de 35 dm³ (3.5).

Iocanta este echipată cu un difuzor de fabricație Elegance, de tipul E-1403 și cu o eminență sunătoare închisă în figura 4.19,c.

Volumul puterii este de cinci difuzoare cu o capacitate de 10 VA, impedanță nominală 8 Ω, frecvență de rezonanță 85 Hz; reacția la frecvență este în figura 4.19,b. Nivelul de presiune acustică este de 100 dB (0,01 Km⁻¹).

Iocanta a cărei secțiune este arătata în figura 4.19,a este realizată din plastic de PAL, cu grosimea de 20 mm. În spatele membranăi difuzorului se află încașul 15, realizat din material inferioră a cutiei. Secțiunea cutiei este făcută de panoul frontal prin intermediul unei grăbiuri cu plătit.

Tot mentalul secundar și neutru se poate aplica în spatele cutiei de perci și de baghetele de rigidizare, se vede în figura 4.19,b.

Cubul de rezonans al microfonului montat în interiorul tip IA 35/10-1 este prezentat în figura 4.19,c.

Secțiunea secundară a difuzorului montat în ea este de 11 kg.

În spatele membranăi membrană acustică este realizată în formă de malină susținută de fundă, iar planza care acoperă difuzorul (cu patru puncte suport) este întinsă direct pe planul frontal. Un crumant în tabie maschează imbarătul frontal.

● Iocanta acustică de fabricație Goodmans, tip „MV 31 P” este un model miniaturizat, dimensiunile exterioare fiind 267 mm, 140 mm, 184 mm (fig. 4.21, a). Această jocantă este în mod normal implementul casetelor în cutii interioare de rezonans și polind în rezerve chiar pe treptele unui bibliotecar, aşa cum se observă în figura 4.21,b. Volumul interior, anul al acestei casete este de a cincea dinăuntru de ordinul a 3,3 dm³ (3,3 l).

Iocanta MAXIMUS este echipată cu două difuzoare, unul cu diametrul de 112 mm pentru reproducere în cîmpul mediu și unul mic lateral cu diametru de 48 mm pentru cîmpul surcelor de frecvență înaltă. Puterea totală a sistemului de difuzoare este de 8 VA, impedanță nominală a cîmpului din care ele lucrează de 15...16 Ω.

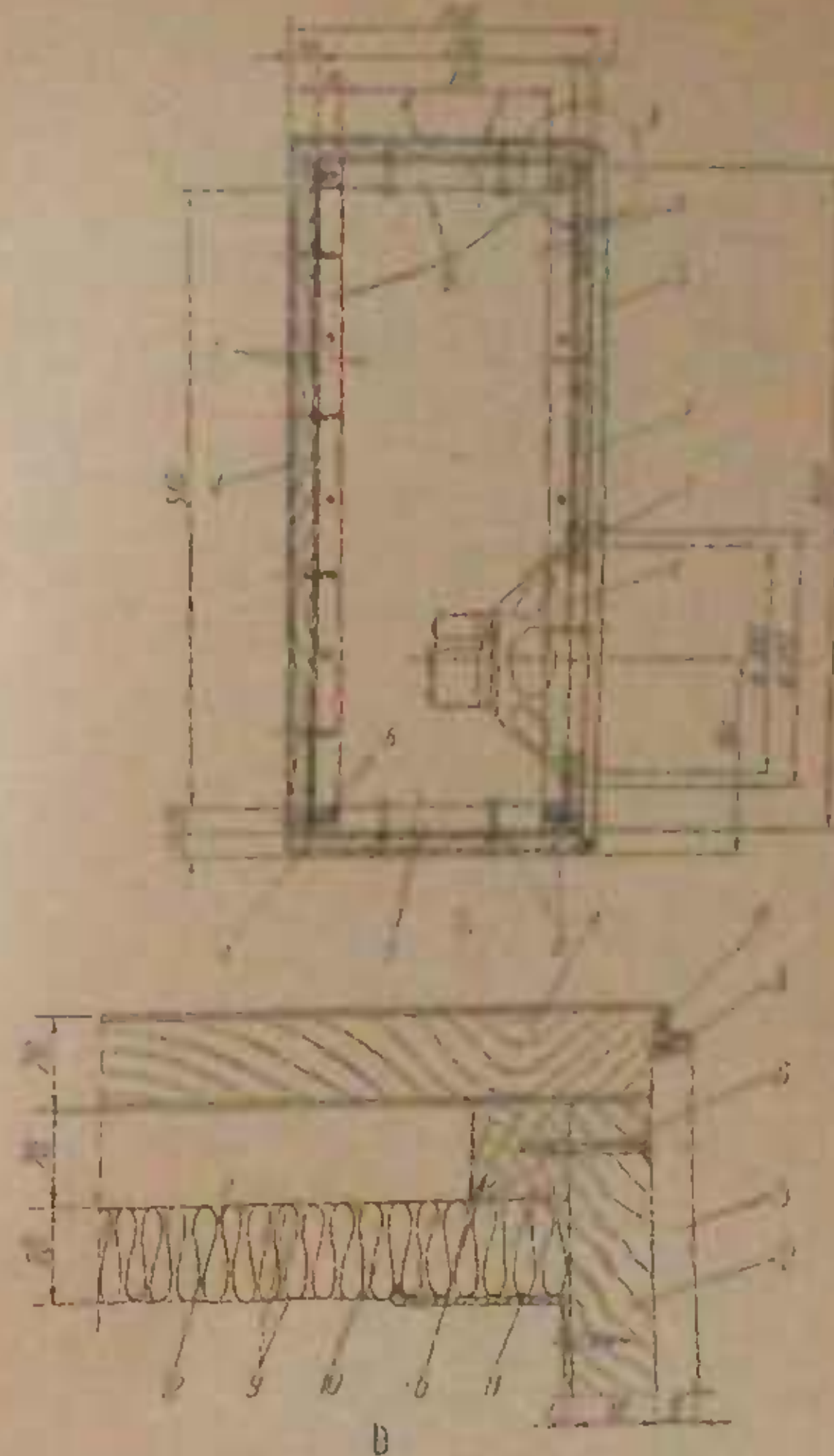


Fig. 4.19. Detalii constructive ale iocantei acustice tip IA 35/10-1

a - Secțiune secundară; b - secțiune laterală; c - secțiunea rezonatorului; 1 - panou frontal; 2 - panou lateral; 3 - difuzor principal; 4 - difuzor secundar; 5 - rezonator; 6 - baza de suport; 7 - suport; 8 - șuruburi; 9 - placă electrică; 10 - mal fondator; 11 - placă de rezonanță; 12 - vîrful fundatorului.

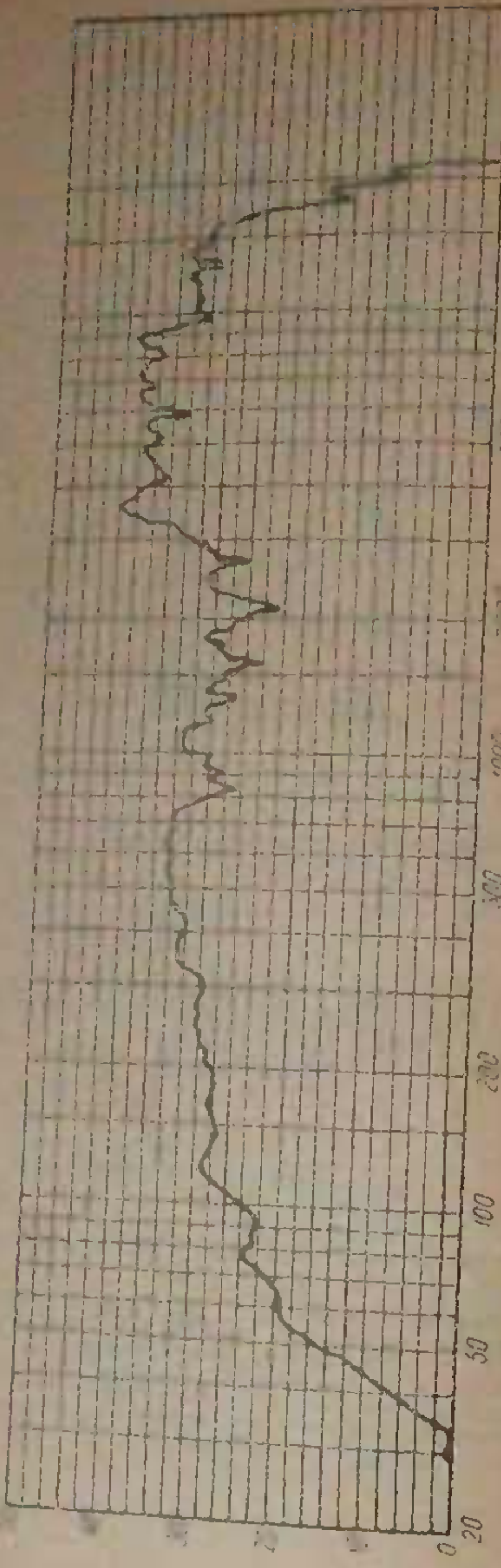
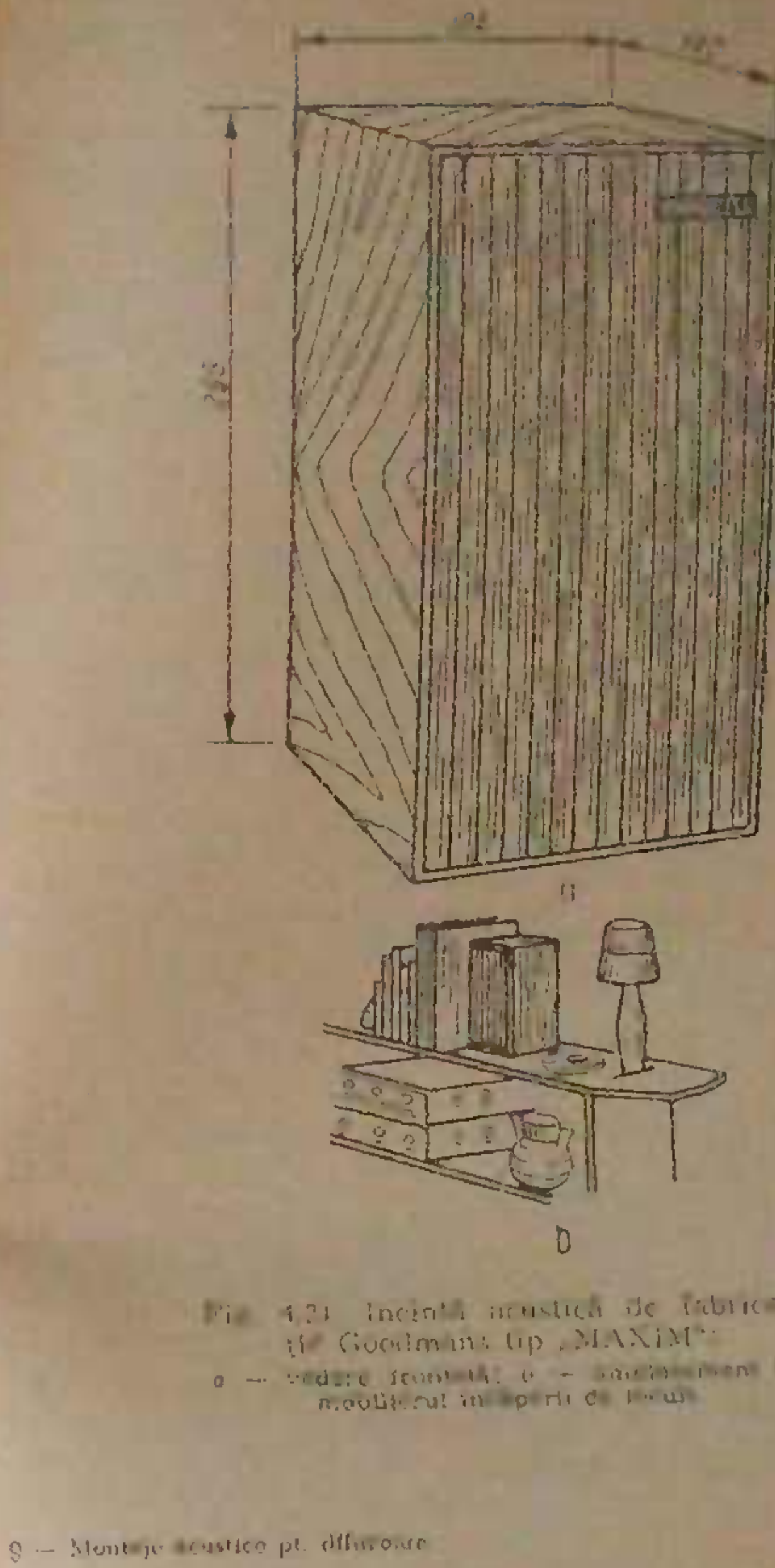


Fig. 4.30. Curba de raspuns a difuzorului tip P.214B montat in incinta acustica tip MAXIMUS.



(a) - Incinta acustica de vibroacustica
tip Goedelius tip /MAXIMUS/
b - Vedere frontală a unei camere cu un
mobila putin personalizata

b - Montaj acustic pt. difuzoare

Pereții casetei sunt realizati din material termosigur și tare, montată ca în figura 4.21. Deosebit de important este ceea ce se referă la interiorul incintei, cu găuri de ventilație dreptunghiulare, cu scopul de a facilita

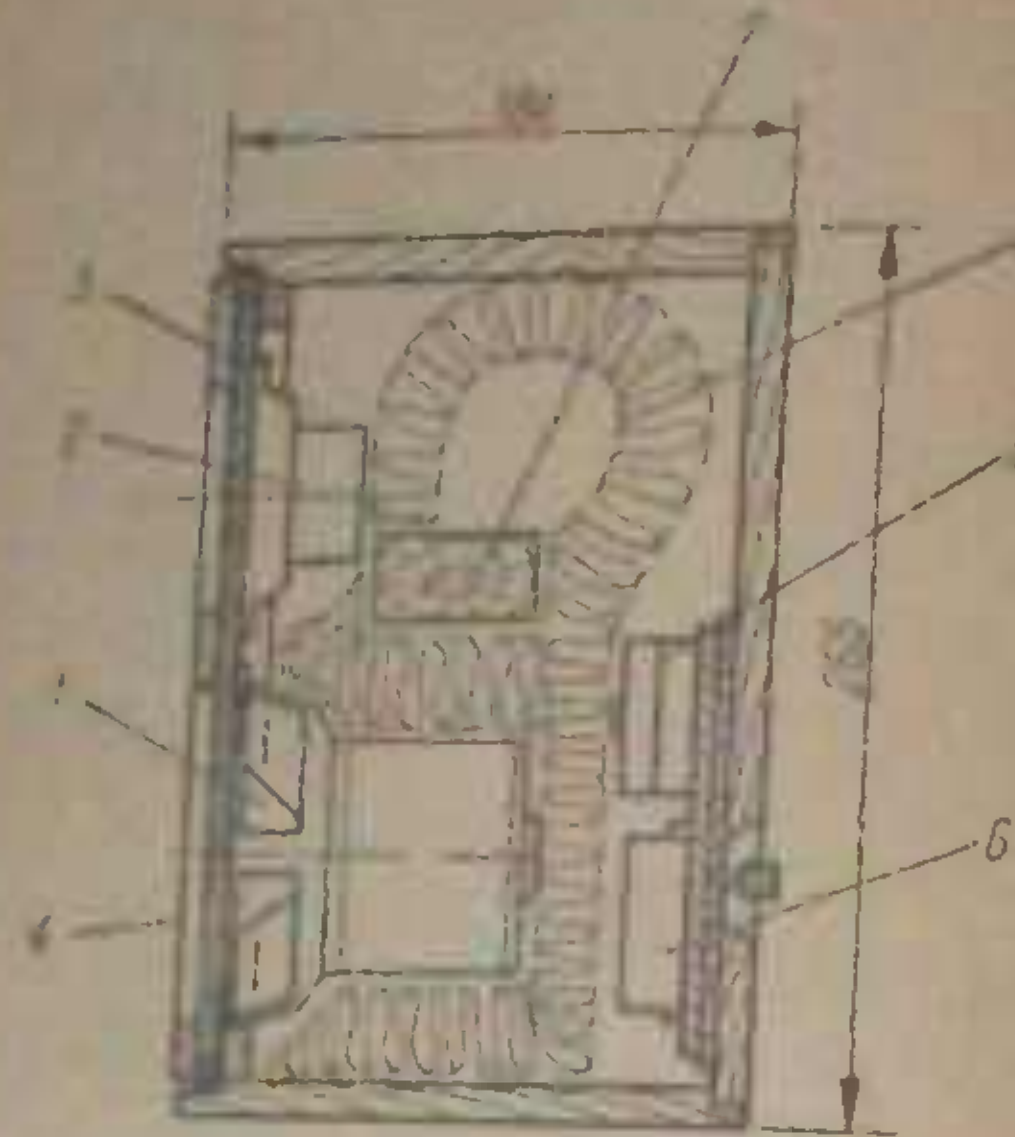


Fig. 4.22. Secțiune prin incintă acustică de tip „MAXIM”.

- 1 — difuzorul posterior redirecționant; joasă;
- 2 — șanțuri de fixare a grilei; finală;
- 3 — placă de baffle;
- 4 — gaura de apărare;
- 5 — difuzor central fixat pe sasiu;
- 6 — grilă de protecție;
- 7 — material fonoabsorbant.

înălțarea materialului fonoabsorbant. Pe fața interioară a peretelui de spate s-a fixat sasiul rețelei de apărare și înălțător.

Cu o astfel de incintă acustică se obține o căciuță de difuzori corespunzătoare, asemenea celei din figura 4.23.

● Incintă acustică cu volum interior de 11 dm^3 (110), arătată în figura 4.24 are dimensiunile exterioare $355 \text{ mm} \times 230 \text{ mm} \times 230 \text{ mm}$.

Ea este echipată de secvențe cu două difuzoare unde secvența reproducerii sunetelor de frecvență joasă și medie cu diametrul de 170 mm , iar secvența pentru reproduceerea frecvențelor înalte cu diametrul de 110 mm . Pilaferele elec-

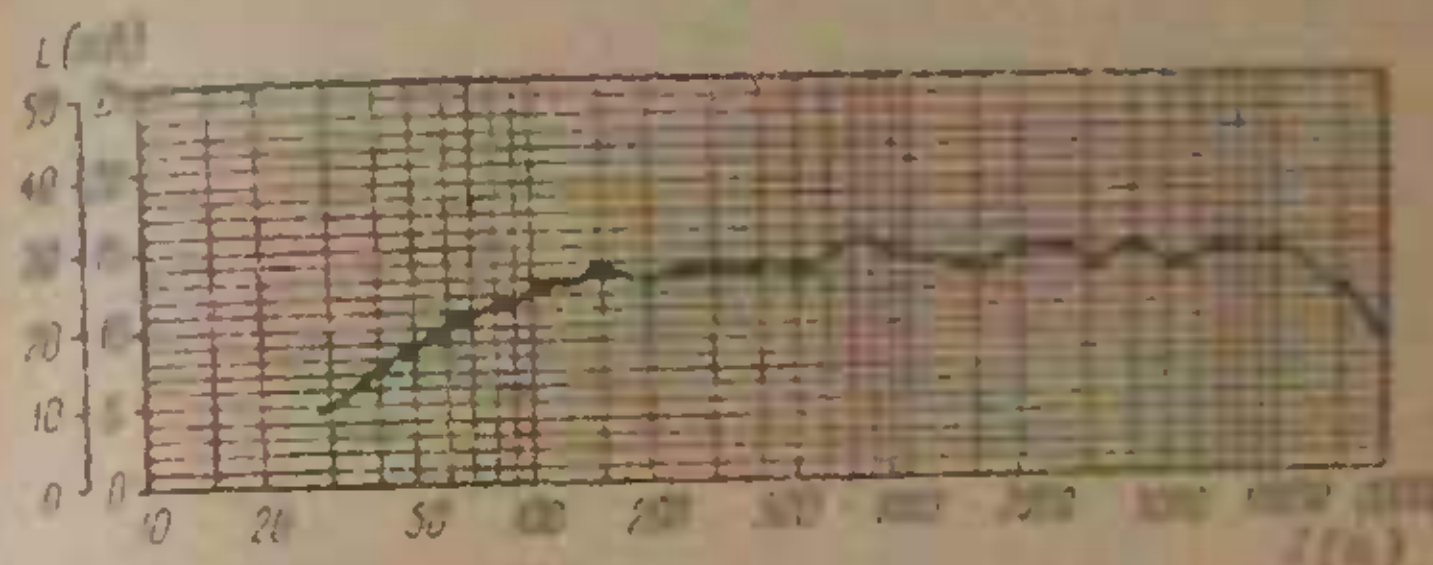


Fig. 4.23. Curba de răspuns pentru sistem de difuzori Goodmans montat în incintă acustică MAXIM.

trică nominală a primului difuzor este de 16 VA , frecvența rezonantă și primul difuzor este de 43 Hz . Impedența lui de rezonanță fiind de ordinul a 40 Hz . Impedența înță fierbător este de $4 \dots 5 \text{ } \Omega$. Curba de răspuns

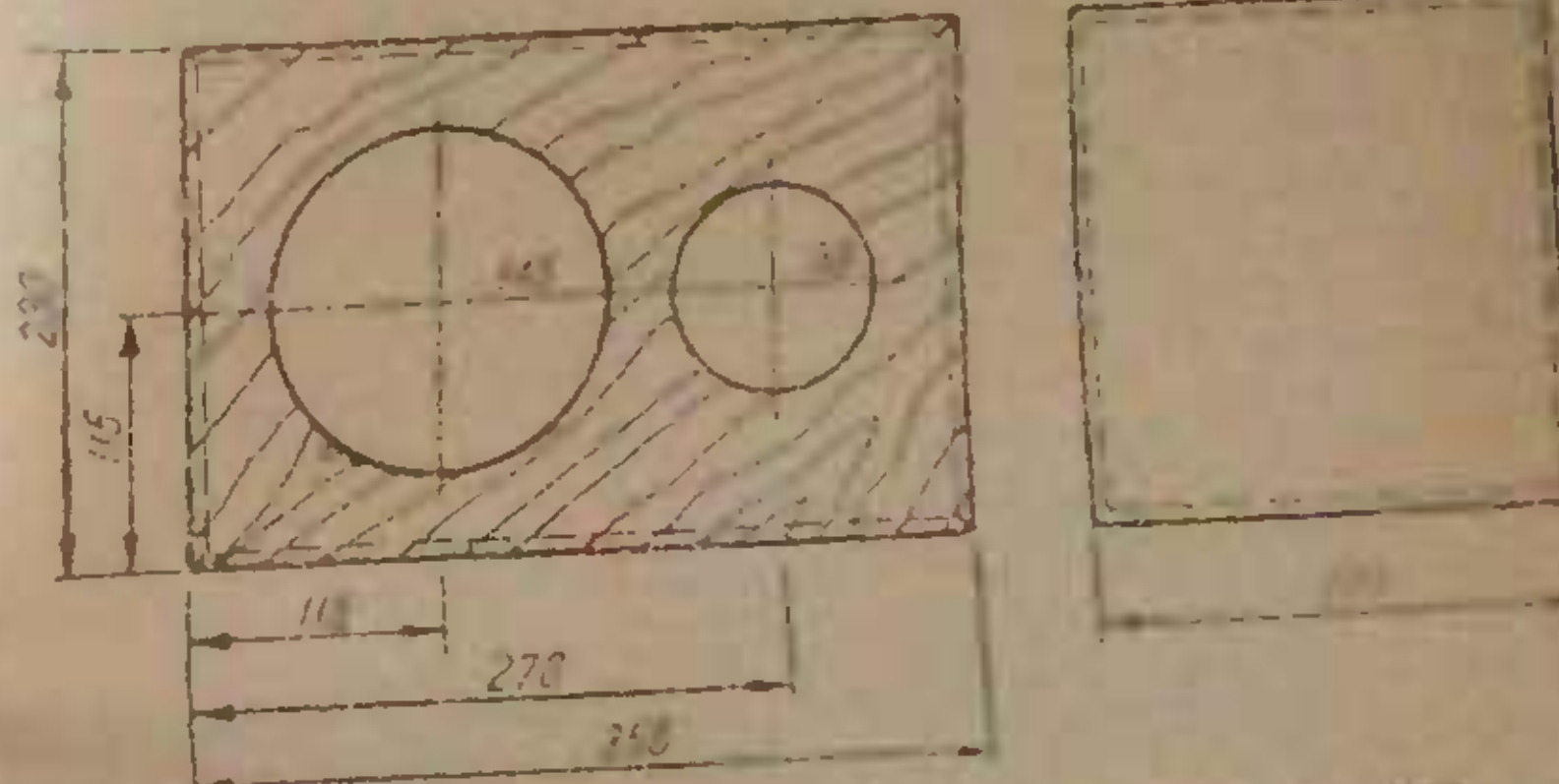


Fig. 4.24. Incintă acustică inclusă în volum de 11 dm^3 .

a ambelelor de difuzoare montate în caciula se înălță până la 10 cm de la nivelul grilei, ceea ce este în limitele de $\pm 5 \text{ dB}$, într-un domeniu cuprins între 15 Hz și $12\,000 \text{ Hz}$.

Actualmente existen cintas formadas con 1000 hilos de poliamida (PA11) con un diámetro de 20 micras. Dicho material tiene una densidad de 1,1 g/cm³, una resistencia a la tracción de 1000 kg/mm² y una resistencia a la compresión de 1500 kg/mm². La densidad de la fibra es de 1,15 g/cm³ y su diámetro es de 15 micras.

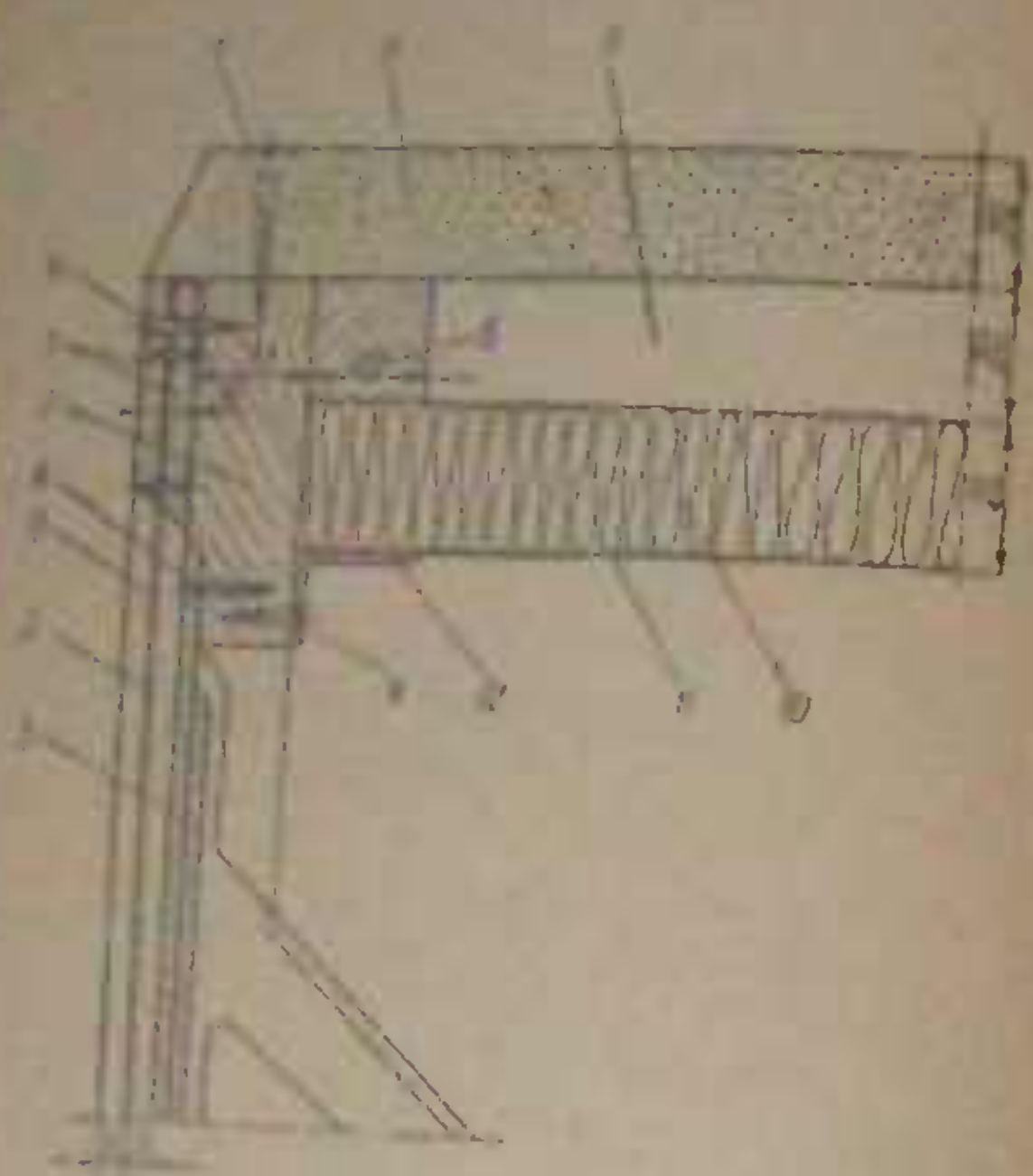


Fig. 4-10. Detallado de la parte central de la mitad izquierda de la figura.

Pentru întrevenirea în cazul apariției unor defecțiuni
de difuzător, extintorul a prevăzut ca peretele din
spațiu să fie demontabil, îndărăcată construcției astfel:
într-un număr mai mare de cuburi (3-4).

C. tratament cu leu alantoinat. Tratament cu leu
alantoinat este disponibilă parte de la o plicule de 100 mg
pe pachet FAHAD V S sau P sau H-50 F-100 sau P-100
(fig. 20).

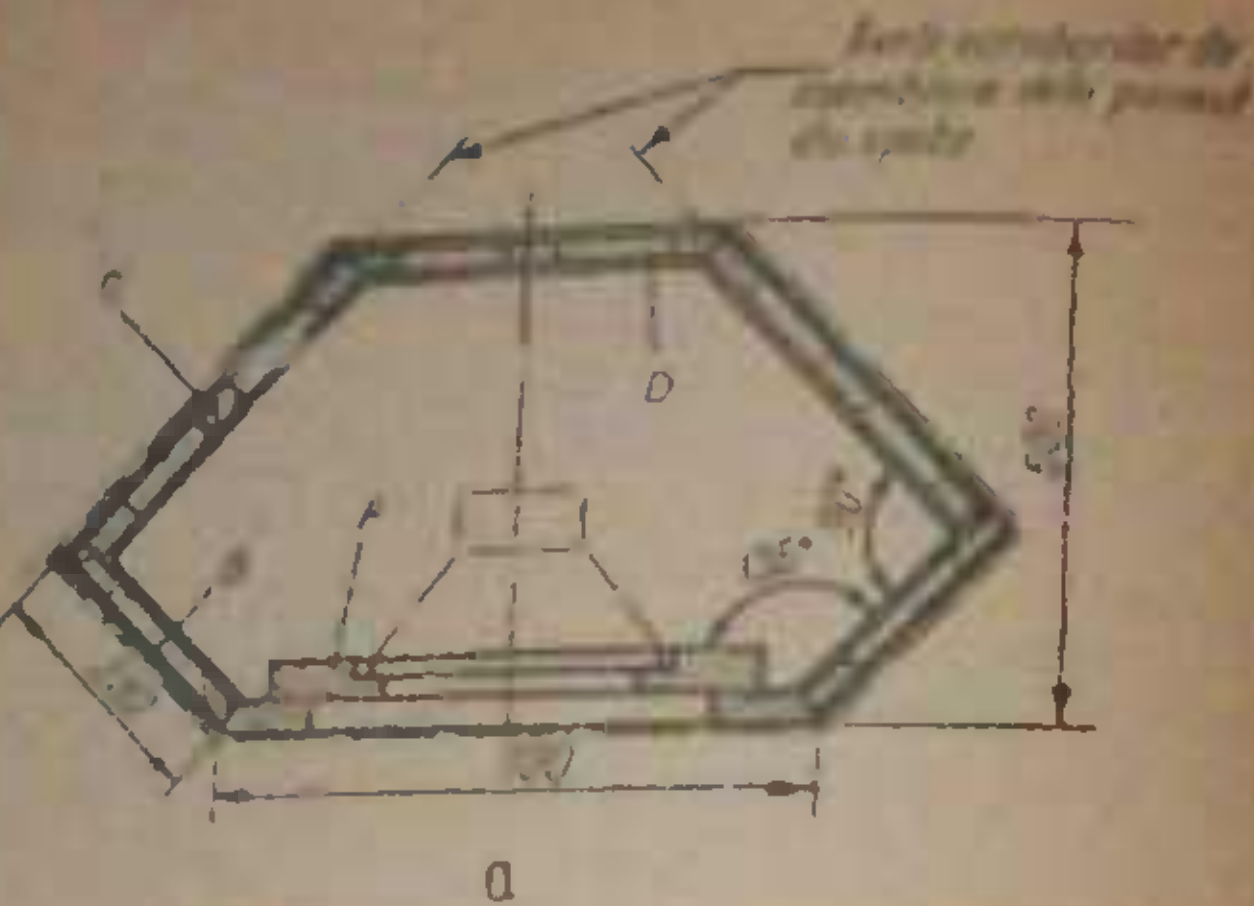
Finalul extenției de casetă publică în realizare și în
cadrul proiectului cu finanțare internă, cu venituri destinate
lucrării. Pentru extenția de casetă mai pot fi acordate și
lucrări de tipuri semidecizionale pe suport de mărită; acele luc-
rări sunt TIP și TC.

INCINSE ACUSTICHE BASSREFLEX (ANTIBIZONANT)

Asemenea ca atelor în fizică, există o analogie între efectele și realizările într-o mare varietate de formă și în cadrul unor explicații care încearcă să legăte obiectivul raporturilor dintre volumul și altrei apărări ale soluției. Selecționarea și dezvoltarea incipientă a teoriei capătă obiectul cercetării noastre, și este făcută cu înțelegere de valoarea parțială și concretă și de importanța relativă a soluției obiective. Întrucât se apără teoria de la ecuația diferențială și rezolvării ecuațiilor diferențiale într-un mod

● Incinta acustica bassreflex cu volum de 250 litri.

Dimensiunile exterioare ale acoperisului (fig. 125.) sunt următoarele: lățimea 1.000 mm și înălțimea 250 mm. Sunt următoarele dimensiuni interne: lățimea 1.000 mm; adâncimea 500 mm. O caracteristică a acoperisului este forma sa de casă cu terasă — ceea ce permite să se joace chiar și în exterior. Dacă fundul grădinării este relativ plat, se poate construi un acoperis pivotant cu sprijinuri și cărămidă, protejat și fără depărtarea în periferie a grădinării. Există casă și pe suprafață de grădinării, neînălțică, dar și ca 55 mm înălțime (1.000 mm lățime și 1.000 mm).



a

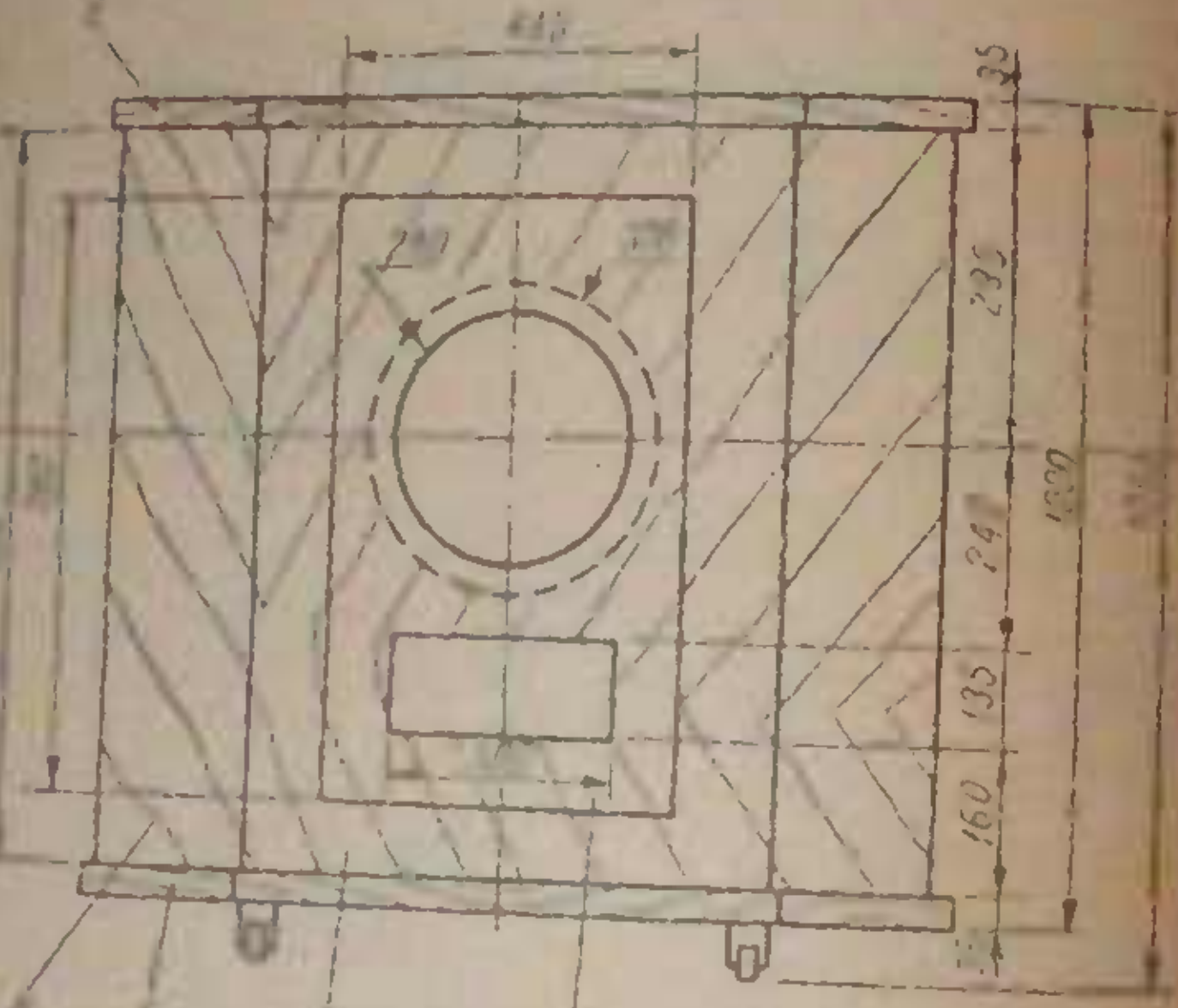


Fig. 4.26. Incinta acustica bassreflex cu volum de 250 dm³:
a - plan; b - secțiune laterală.

Incinta acustica bassreflex este echipata cu un difuzor central de 250 mm de putere 15 VA și impedanță 15-16 Ω și căruia frecvența de rezonanță este de cel mult 25...30 Hz.

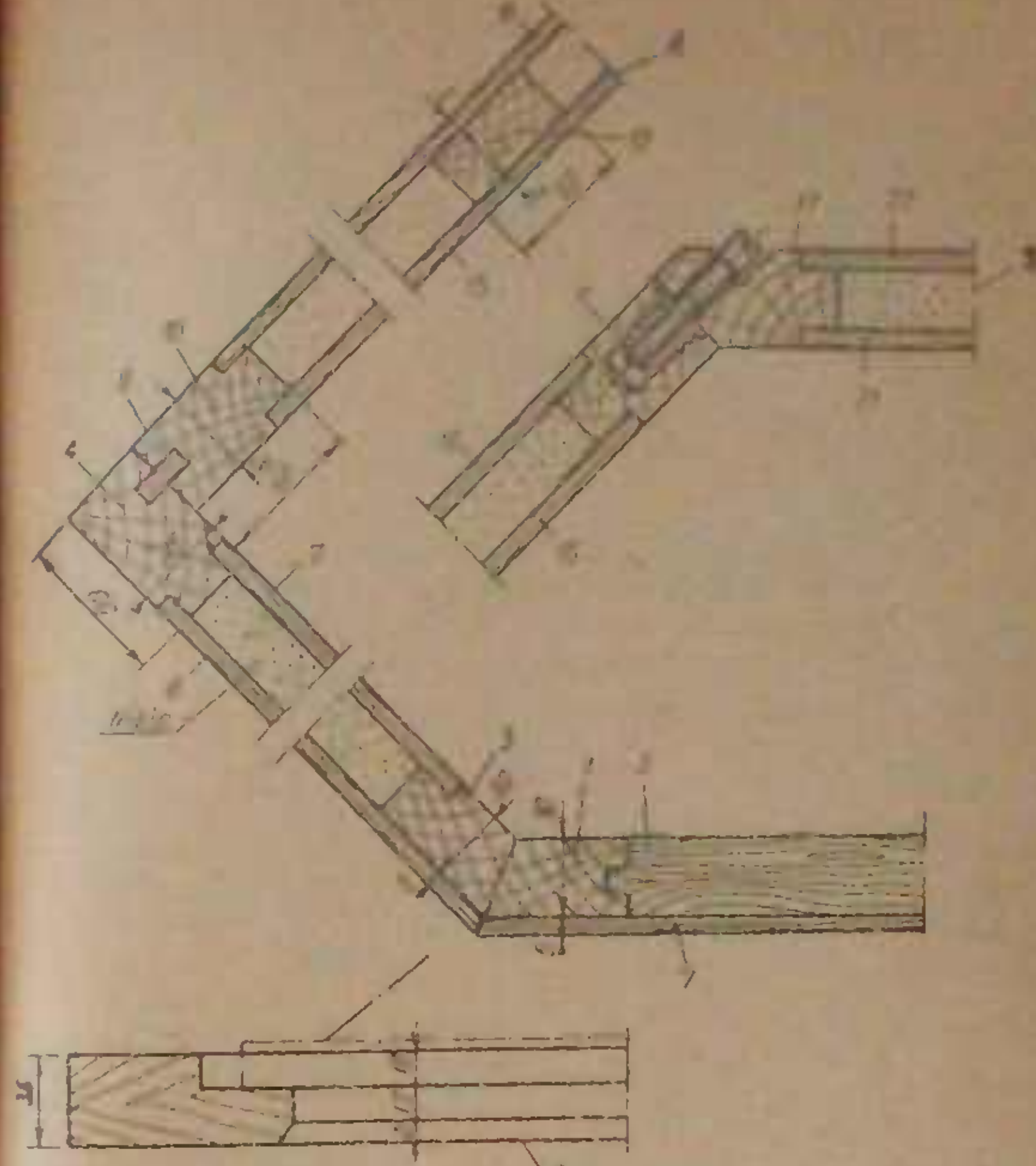


Fig. 4.26. Incinta acustica bassreflex cu volum de 250 dm³:
b - ampolă și tuburi.

A - combator plăci și lemn; B - placă metalică; C - ampolă și tuburi.

E poate fi confectionata atât din material lemnos, cit și din plăci pline, din ipsos de conținut 6% (STAS 545-59), cu adios de ciment și spuma (rumegu sau zgură). În cazul întrebuintării lemnului ca

^{*)} La aceste plăci se poate da o formă în formă de valuri sau de proiecte de la designer sau un loc de muncă care să dețină tehnicii de lucru libere libere.

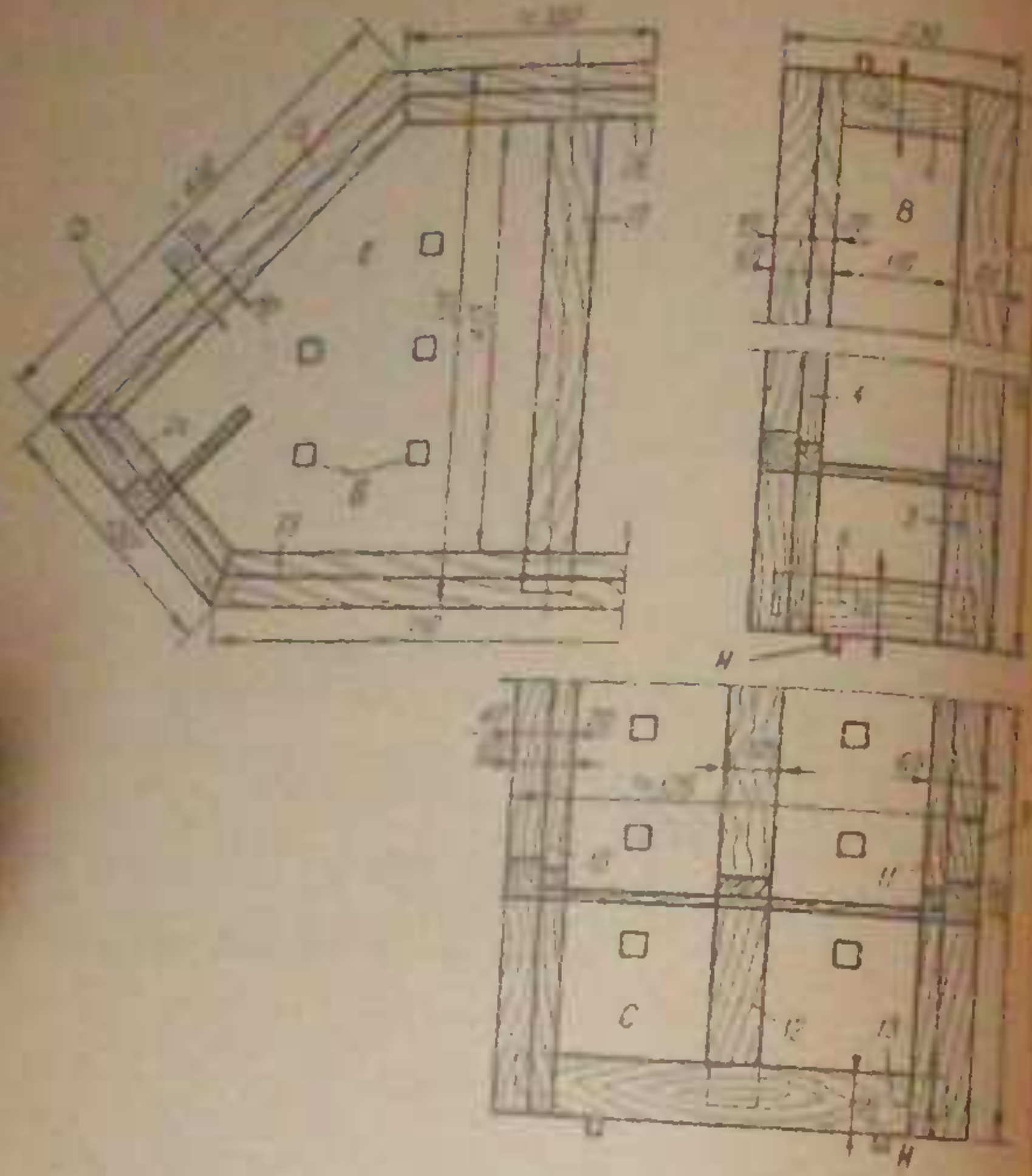


Fig. 4.26. Detaliu de montaj basculant cu volum de 250 dm³

D - panou lateral
E - traversă laterală
F - panou interior
G - suport vertical

materiale de construcție și pot adopta mai multe soluții de realizare. Astfel, poate fi utilizate fie panourile din lemn, strânsă sau din PAL, cu grosimi de 35 mm și structură alcătuită din două panouri de placaj cu grosime de 5 mm, separate prin intermediu unor băghete cu grosime de 25 mm x 50 mm, asezate la distanțe de 15

25 mm (fig. 4.26, b). Spatiul de 25 mm rămas după înmontare poate fi umplut cu nișip fin tăiat.

Pentru ultima varianta de soluție constructivă se poate adopta un panou cu spate care prezintă în tabelul 4.3 materialele necesare și dimensiunile fiecărui subelement. Procesele specificate aci sunt indicate și în figura 4.26.

Cu indicație generală de confectionare a panourilor se precizează că acesta se vor realiza din radacini de lemn fixate la capete cu lemn al scobiturii, precum se întâlnează prin încadrare piatră de placaj. Nu se va trece la montarea traverselor superioare la peretele verticali respectiv a traverselor din spate la peretele interior și superior decit după ce s-a procedat la umplerea lor cu nișip. Nisipul destinat umplerii ale fețelor peretilor va avea o granulație cît mai fină și un procent de umiditate cît mai scăzut. Tasarea se va face pe căile naturale, depozitat în timp de cîteva zile, panourile umplute cu nisip, în roți verticale.

In ceea ce privește confectionarea panourilor laterale se menționează că cele de dimensiuni mici, notate cu \mathcal{E} în figura 4.26, b, vor conține doar doi trotinți și două traverse, spre deosebire de peretii laterali mari (notati cu \mathcal{F}), la care se adaugă un montant intermediu, cu rolul de a mări rigiditatea și a menține paralelismul fețelor de placaj. Nerespectarea acestor recomandări poate conduce la deformarea peretilor ca urmare a continuării, în timp, fenomenului de tasare. Din aceleși motive este important să se introducă între fețele de placaj mai multe distanțe cu formă cubulară, cu latura de 25 mm.

După ce s-a terminat operația de umplere cu nișip a peretilor și după ce s-au montat traversele superioare, respectiv cea de spate, se poate trecă la prinderea panourilor unele de altele. În acest sens se precizează că planurile peretilor laterali \mathcal{E} și \mathcal{F} (figura 4.26, b) determină între ele unghiuri de 90° . Așimblarea lor se face astăzi cu ajutorul unei adezive cît și cu șuruburi pentru lemn.

Panoul lateral de dimensiuni mari notat cu \mathcal{F} (fig. 4.26, b) face un unghi de 135° cu panoul de spate. Deoarece acest ultim perete este demontabil și s-a prevăzut o prindere cu șuruburi mecanice ale căror bucle sunt

National plan de simplification

Placă de tei cu fag	2	Stojar	—	930, 700×35
Montat cu fag	2	Placi de tei furatur cu mehon, nec palton sau stojar	930×60×30	(1) Cale furatur cu mehon
Fasă lateral	2	—	930×230×35	Cale furatur cupacuri cotel de tive
Montat cu fag	2	Stojar	930×60×35	cute de planuri route la lăzii blare ante
Montat cu fag	2	Brad	100×60×25	
Montat cu fag	2	Brad	110×60×25	
Fasă interior	2	Placi de tei cu fag	930×190×5	
Placă interior	2	Placi de tei furatur cu mehon, nec palton sau stojar	930×190×5	(2) Lăzii cupind ruburi p lemn
Sapca (lăzii)	2	Placi de stojar	930×30×8	— baie — intăriri — părăsi spatele p sunet
Fasă lateral	2	—	930×125×35	— vidă alveolele retilor
Montat cu fag	2	Stojar	—	
Montat cu fag	2	Stojar	930×60×35	
Montat inter mediu	2	Brad	850×50×25	
Traversă de tei	2	Brad	385×60×25	
Traversă de tei	2	Brad	305×60×25	
Fasă interior	2	Placi de tei cu fag	930×315×5	

a	Perețe exterior	2	Placi de lemn firmit cu mătonie, poliță sau sticla	1000x1000x5
D	Panou de su-	1	—	600x600x5
17	Montat de colt	2	Sticla	100x60x5
18	Montant inter- med.	1	Brod	50x50x25
19	Traversă de jos	1	Brod	800x100x25
20	Traversă de sus	1	Sticla	200x100x5
21	Perețe interior	1	Placi de lemn sau fier	120x100x5
22	Perețe exterior	1	Placi de lemn firmit cu mătonie, poliță sau sticla	900x100x5
E	Perețele super- ior și inferior	2	—	1000x500x5
23	Traversă de sus	2	Stejar	710x50x5
42	Traversă mică (de colt)	1	Stejar	250x50x5
25	Traversă mare (de colt)	1	Stejar	190x50x5
26	Traversă de spate	2	Stejar	350x50x5
27	Traversă me- diană	2	Stejar	445x435x5
28	Perețe interior	2	Placi de lemn sau fier	955x435x5
29	Perețe exterior	2	Placi de lemn firmit cu mătonie, poliță sau sticla	955x435x5
F	Panou de difuzor	1	Suport de placă dintr-o lemn	925x700x5
G	Distanță di- lemn	23	Fier ușor	25x25x25
H	Cercuri de lemn	10	Fier ușor	14

se dă în emplasare la greutatea pionierilor (Fig. 4.26, a).

Pereții ambielor frontal și laterală din ambele părți laterale și unghiuri de 135° (detaliile 1 și 2 din Fig. 4.26, b) le sunt posibile prin efectuarea unei copiere circulare, diametru diametral de 170 mm și cărămida de 10 mm pe spatele său și alături de diametrul de 200 mm și adâncimea de 6 mm pe fața de difuzor, montată în secțiunea de aranžare de la Figura 4.27. Tot aici se face printr-



Fig. 4.27. Detaliu de montare a mitocului.
1 - copieare circulare; 2 - diametru peșteră și unghiuri.

a unei decupări, de data aceasta dreptunghiulare cu dimensiunile de 200 mm \times 135 mm. Distanța dintre mijlocul unei unele a unei decupări și axul orizontal al copierei circulare este de 30 mm, așa cum rezultă din Figura 4.28, a.

Este necesar să se mențină ca decuparea cu diametrul de 200 mm să nu treacă în afara de marginile evaziei.

Panoul frontal este prevăzut și cu o mască alcătuită dintr-un cadru de lemn pe care se fixează o țesătură acrilică.

Ca finisaj exterior se poate alege una din soluțiile propuse la incinta acustica închisă.

Dacă la verificările ce se fac după montarea difuzorului se constată că nu s-a obținut obținerea unei bune etanșări, se vor accepta evanđele interstiții cu un co-

putit din amestecul unor cuciunete fini tip Rovati Bucică sau negru fin bisecat.

Tratamentul acustic din interiorul mitocului se poate realiza conform indicatiilor din Figura 2.22, c și d, materialul foamezatorbant fiind alcătuit din cărămidă de valoare mecanică de tip SCD sau SPS, de producție românească.

O construcție de formă asemănătoare cu cea arătată în Fig. 3.20, a a fost realizată G.A. Grigore. Din desenul de a obține o rigiditate maximă a peretei nu altă ca m-

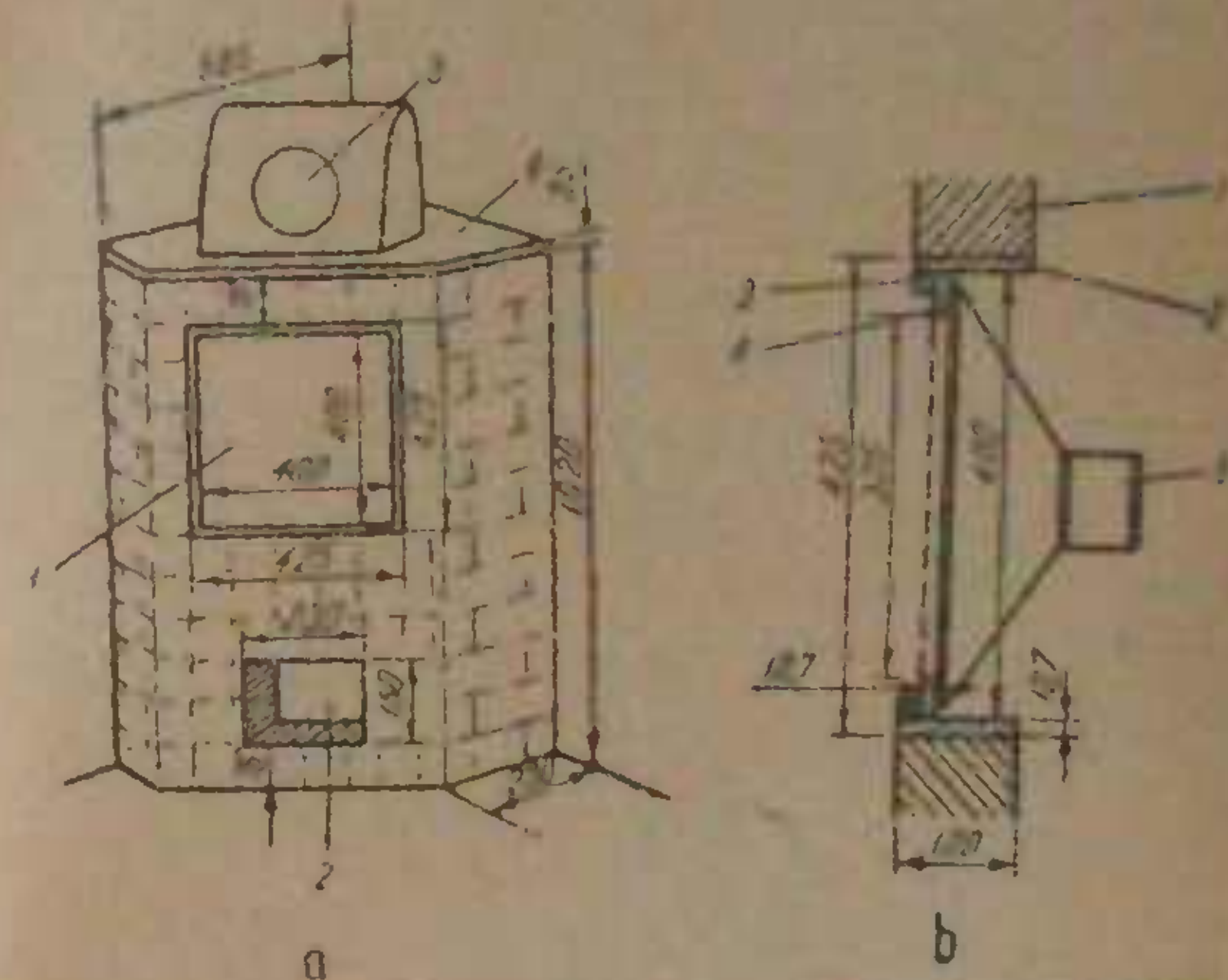


Fig. 4.28. Incintă acustică bisecată realizată din cărămidă.
a - vedere generală;
b - secțiunea verticală.
1 - decupare pentru panou peșteră și unghiuri;
2 - decupare pentru planșă și unghiuri;
3 - panou din lemn de evazie;
4 - diametru peșteră și unghiuri;
5 - planșă de evazie;
6 - secțiune verticală mitocului;
7 - panou din lemn de evazie;
8 - panou din cărămidă;
9 - cărămidă din PVC;
10 - lățime de evazie = 15 mm \times 100 mm;
11 - panou din PVC;
12 - cărămidă din PVC.

terial de execuție, cărămidă plină presată (aproximativ 50 bucăți) fixată cu mortar de ciment (fig. 4.29, a). Volumul interior este de aproximativ 240 dm^3 . Dimensiunea mitocului este de

fel de incintă este difuzorul de mănușă, și se prevăzut pe panou frontal o ocupare de formă pătrată cu dimensiuni $900 \text{ mm} \times 400 \text{ mm}$. În dreptul căreia se poate fixa un panel din lemn PAL (fig. 4.28, b) de către care se poate difuza în diametru de 300 mm , putere nominală de 20 VA și impedanță 16Ω .

Dacă după un anumit timp de funcționare, se dă incinta respectivului transducător cu un altul având o formă diferită, nu mai este necesară de facere o nouă încinte, înlocuirea parțială din panel. De exemplu, în cadrul reatorului Holophon are formă unui dreptunghi cu dimensiuni $1100 \text{ mm} \times 150 \text{ mm}$.

Pentru reproducerea emisiilor de frecvență înaltă se mai prevăzută o casă incintă inclusă, în care se va monta un difuzor separat (fig. 4.29).

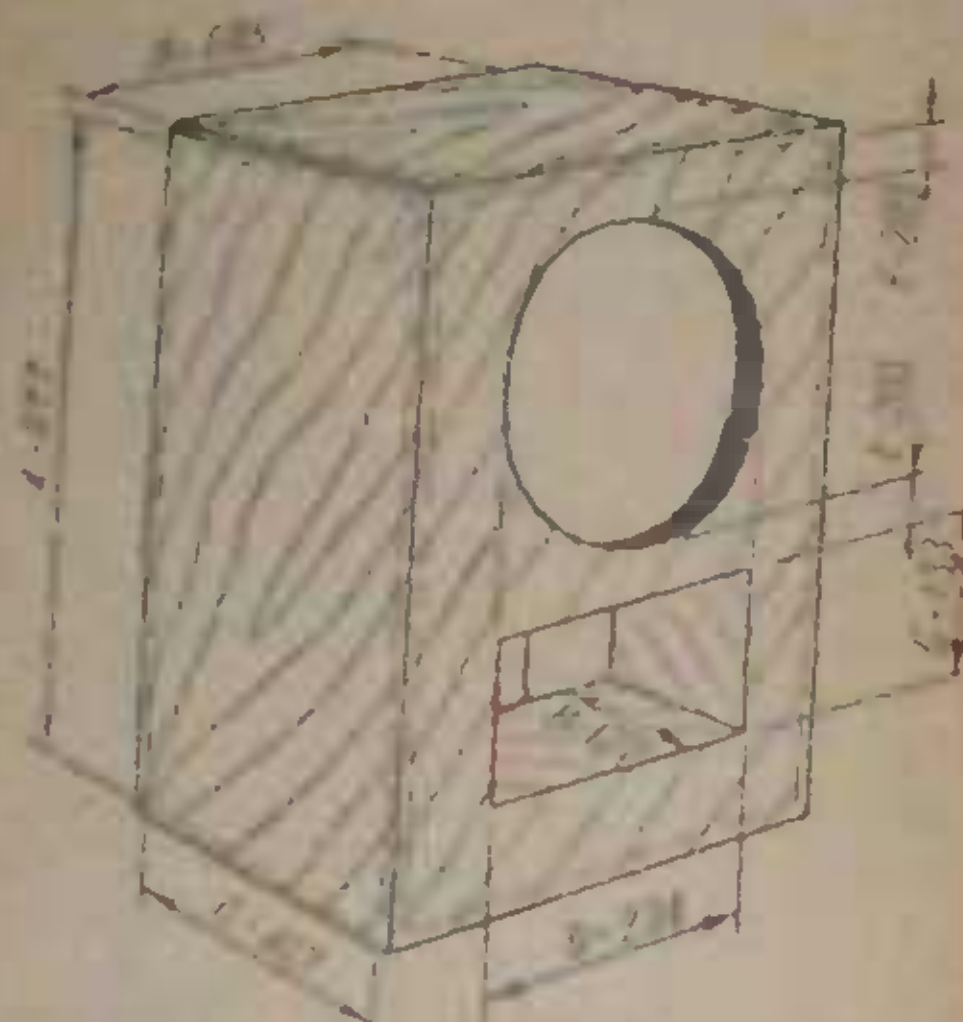


Fig. 4.28. Incinta acustică bi-sriflex cu volum de 360 dm^3 .

● **Incinta acustică bi-sriflex cu volum de 360 dm^3 .**
Acumă incinta, prezentată în figura 4.29, este de formă paralelipipedică, având dimensiunile exterioare de $1031 \text{ mm} \times 729 \text{ mm} \times 501 \text{ mm}$.

Caseta este dimensiunea pentru un difuzor cu diametru de 250 mm și cu frecvență de rezonanță de 35 Hz .

Perețele frontale și laterale sunt fi confectionate din paneluri sau din placi alegorante din lemn (PAL) grosime de 22 mm . De asemenea mai pot fi utilizate și plăci de PVC stratificat. Pe acestă perete se montă o deschidere de formă circulară cu diametrul de 234 mm . În dreptul căreia se montează difuzorul. Constată ocupare astătoate constituie deschiderea incintei bi-sriflex care trebuie să corespundă la dimensiunile de $234 \text{ mm} \times 133 \text{ mm}$. În spatele ei se montează un tub de secțiune dreptunghiulară cu lățimea de 127 mm , diametrul interior fiind identic cu cel al deschiderii. Acest tub se poate confectiona de asemenea din paneli sau PAL, cu grosimea de 22 mm . Prinderea de panoul frontal se executa prin lipirea la încleiere. Distanța dintre peretea astătoată ocupată și gura circulară este de 213 mm .

Dimensiunile pergelor existente sunt următoarele: pe frontal și pe față de spate: $977 \text{ mm} \times 685 \text{ mm}$; pe lateral: $977 \text{ mm} \times 457 \text{ mm}$; pe inferior și superior: $685 \text{ mm} \times 457 \text{ mm}$.

Pentru prinderea parțială unde de astătoare se lipesc scantii și suruburile pentru lemn și suporturile astătoare. Sunt cele demontabile este pe spate, pentru care se iau măsurări speciale de fixare (distanță sprijin de mijlocul și marii extremități — este cum rezultă din fig. 4.30), și astfel încât să se încearcă să nu se aducă în vibrație.

În scopul evitării formării undelor stationare în interiorul casetăi să prevăză cătușea superioară între cele două peretelelor cu material foibabsorbent, de tipul pergelor de vata minerală tip FA 140 S, V sau P. Prinderea acestor plăci de materialul lemnos se face cu ajutorul indicărilor de dimensiunea 4.30 .

Fiecare extremitate ale pergelorelor astătoare se lipesc cu furnituri de zăphon, răsturnat, ceea ce îi oferă un aspect plisat. În dreptul deschiderii circulare pe față interioară a cutii. În dreptul deschiderii circulare pe față exterioră a panoului frontal este lipită o țesătură vară, care împiedică difuzorul.

Ca urmărire compresionare ale acordurii inițiale, nu se pot
bucate de diametru 45 și 4 cu o altă cără din metalică.
În celelalte cazuri sunt utilizate cu diametre
100 mm, 110 mm, 130 mm și 200 mm.

- **Bombă acustică de fabricație Vega**, prezentată în
figura 4.31, are o formă paralelipipedică,

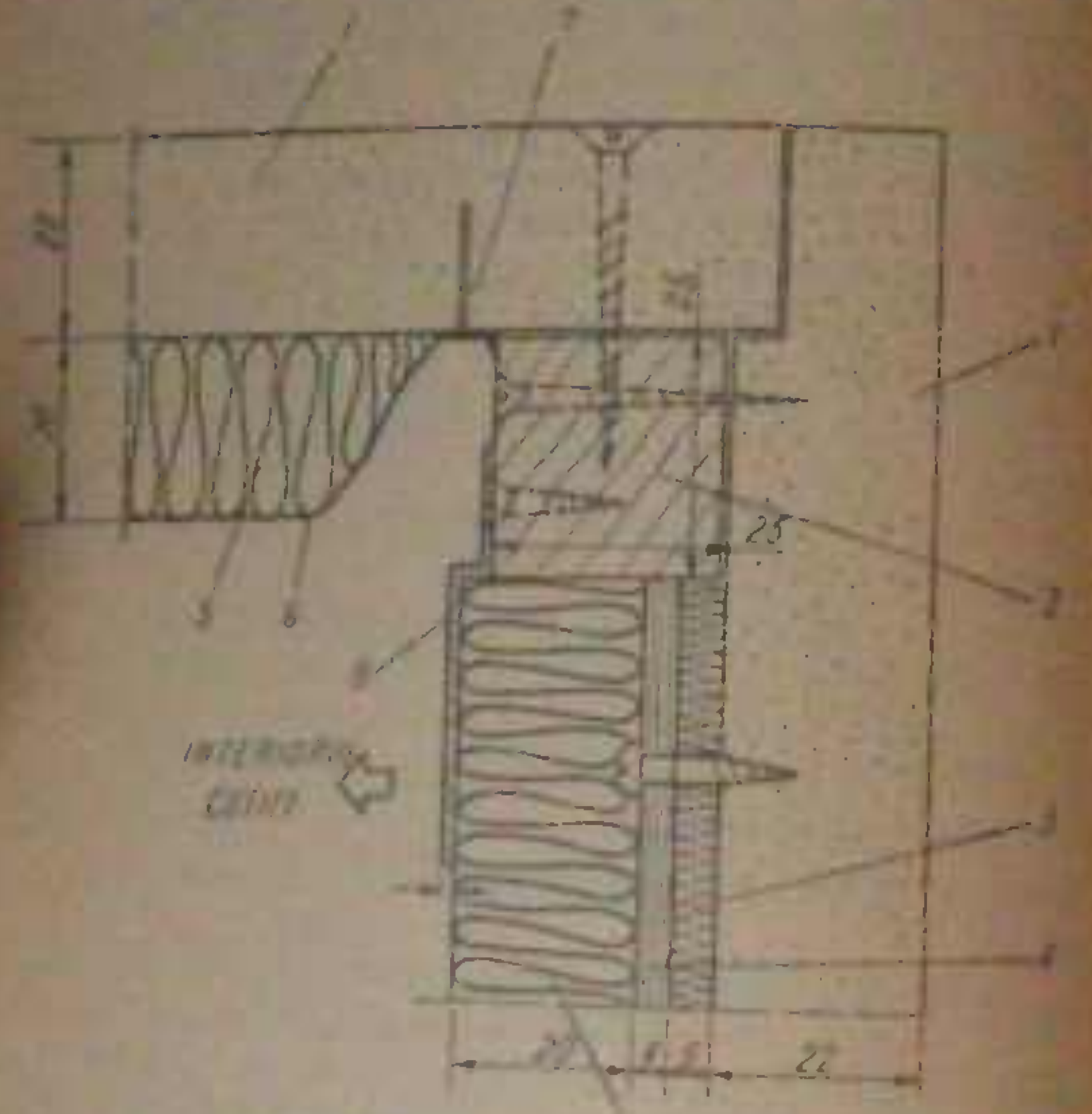


Fig. 4.30. Detaliu de montaj al periferiei:

F = fixare; G = bucle de rigidizare; H = plăci din fer
oală; I = anelă suportătoare; J = bule eliptice; K = anelă de
securitate; L = plăci de fier.

înălțimea totală fiind înălțimea 360 mm, lățimea
450 mm și adâncimea 100 mm. Volumul interior al mecanismului
este de 20 litri.

Difuzorul montat în cadrul unei din secțiunile de fa
bricatie Vega, tip MP 240 AATL-P, cu un diametru de
240 mm.

Tabel 4.3
Dimensiunile cadrului la funcție de diametrul difuzorului

Diametru difuzor mm	Diametru cadrului mm	Dimensiunile cadrului la funcție de diametrul difuzorului									
		100	110	120	130	140	150	160	170	180	190
100	45	324	346	364	386	404	424	444	464	484	504
110	55	339	361	380	400	420	440	460	480	500	520
120	65	354	376	394	414	434	454	474	494	514	534
130	75	369	391	410	430	450	470	490	510	530	550

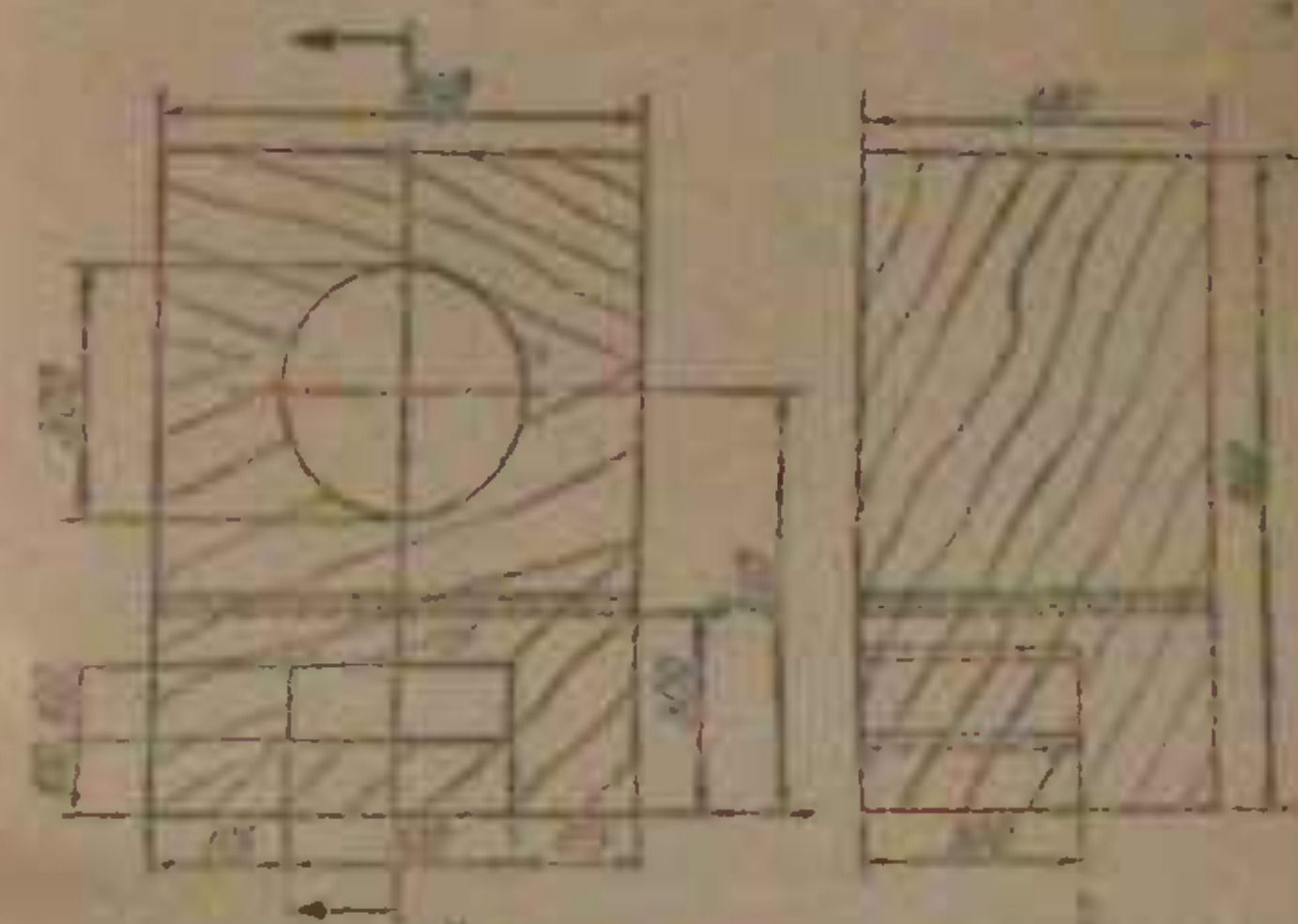


Fig. 4.31. Bombă acustică Vega. Cadrul este
cu vîrfuri rotunjite și cu vîrfuri ascuțite.

frunză acustica cu o frecvență de 30 Hz.
Panoul este confectionat din panou cu grosime de
29 mm și densitatea săptămânală de

— — — — —	— — — — —	— — — — —
— — — — —	— — — — —	— — — — —
— — — — —	— — — — —	— — — — —
— — — — —	— — — — —	— — — — —

Pe partea frontală se poate monta o grămadă de caleze cu diametru de 300 mm (în cazul în care difuzorul are unghiul său de pe față extins până la peretele) sau o șase cu diametru și lungime de 300 mm × 100 mm. În dreptul abținătorilor ocupării se poate monta un trâmbău din lemn de marmură, identic cu marimea cu care a deschis ușa, cu o grosime de 100 mm. Amplasarea și dispozitionul acestor accente basculante, făcute de marmură, este indicată în figura 4.31, a. În ceea ce privește posibilitatea de a întări față de panoul frontal, sunt date indicații de montaj în figura 4.32 pentru cele două variante posibile.

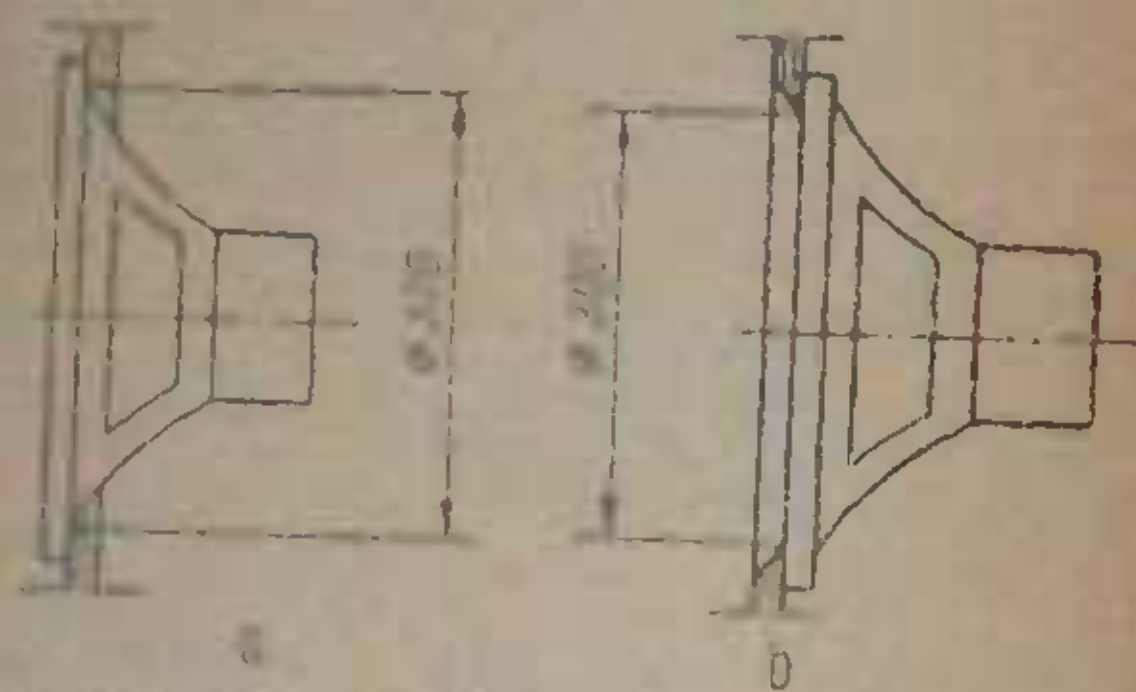


Fig. 4.32. Fixarea difuzorului pe panoul frontal:
— — — pe față frontală (cu găuri); — — — pe spatele panoului frontal

În interiorul ușor și bass-alex de fabricație Vego se montează în același mod un miting acustic realizat într-o formă anthonioză și care este utilizat la construcțiile precedente, în panou confectionat din două placi de mușe,

această combinație având o grosime de 50 mm. Panoul acustic este compus în exteriorul său de un strat de poliuretană de grosimea de 10 mm, în interiorul său de un strat de poliuretană de grosimea de 10 mm și în mijlocul său de un strat de poliuretană de grosimea de 10 mm. Panoul este suportat înăuntru de un suport de grosime de 106 mm și 438 mm. Plăcile de mușe sunt grosi de 5 mm și depărtate de 30 mm una de cealaltă astfel încât să nu se întâlnească între ele.

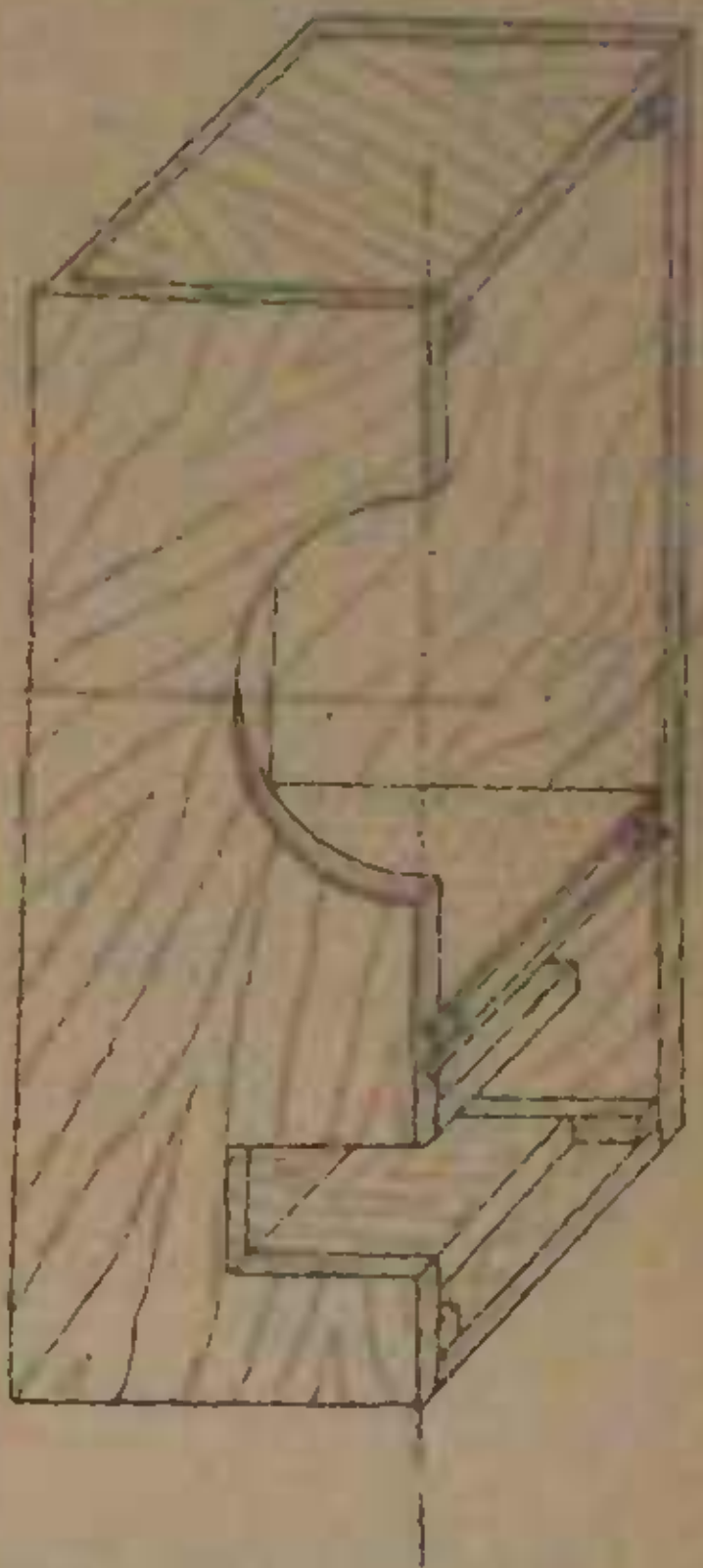


Fig. 4.33. Vedere laterală a mitingului:
— — — panoul frontal din spate și mitingul de pe spate

fornite cu găuri cu diametrul de 4 mm, distanță de 12,7 mm.

Acest panou este fixat în mod similar de pe spate basculantă.

• **Imperialism** is another term for the control of colonies by a powerful nation.

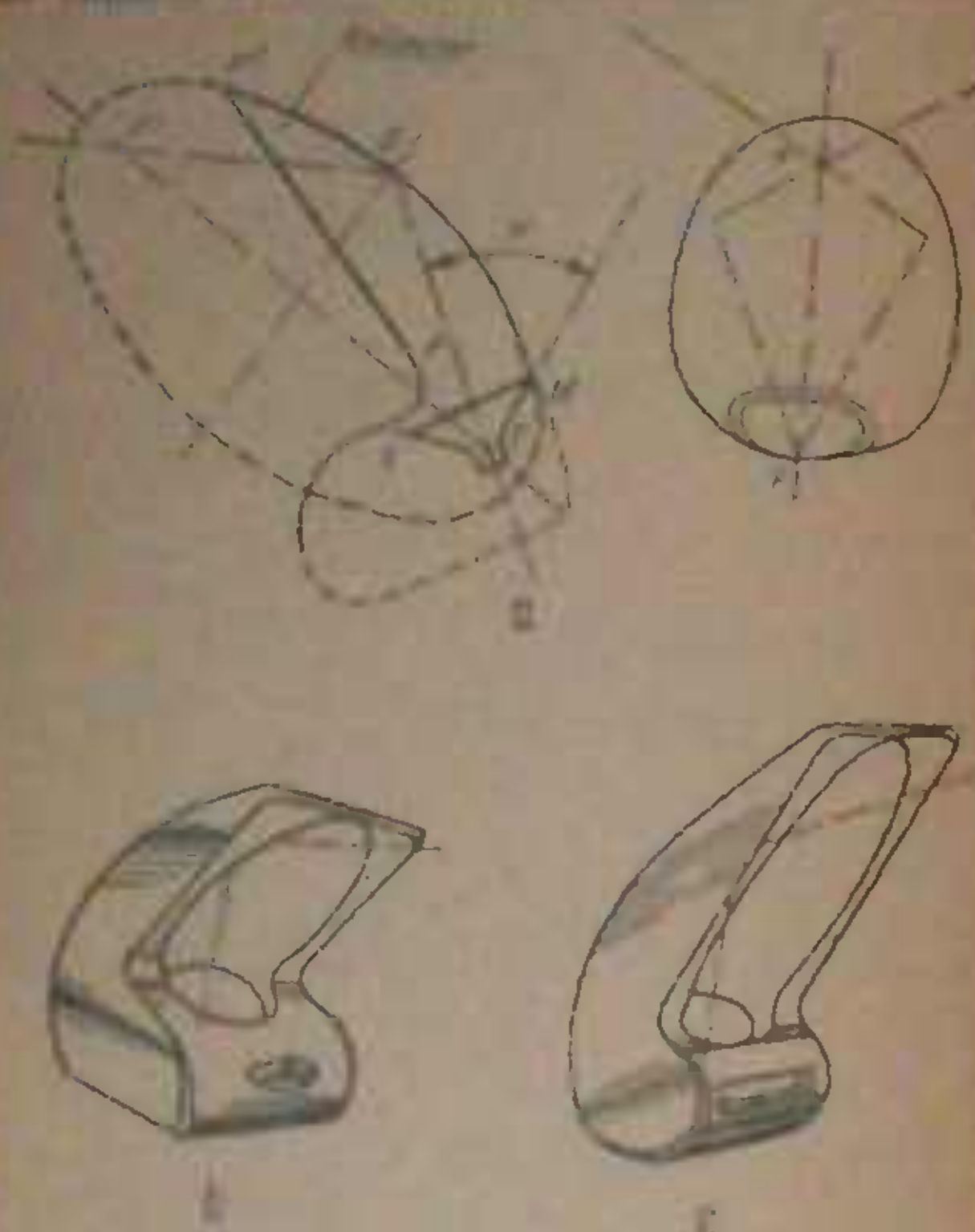
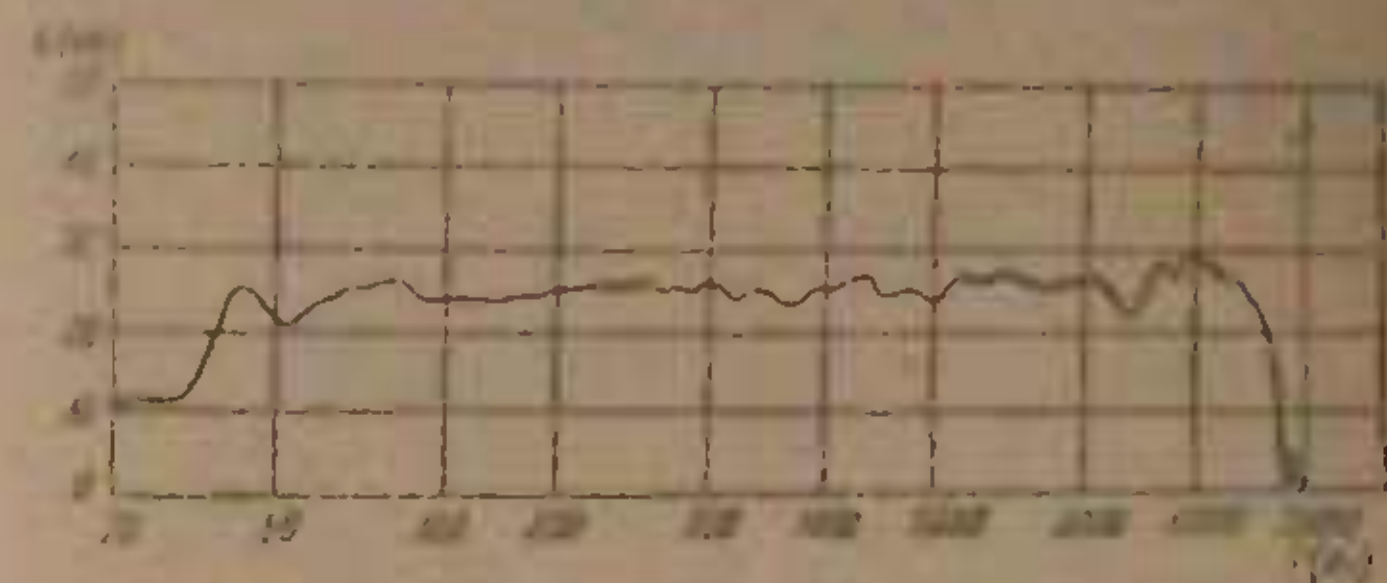


Fig. 438. *Mesocyclops edax* (L.) (Diptera). A female cyclopoid copepod from the Mississippi River, showing the typical cyclopoid body form.

finestra (v. Fig. 434) este unul din cele trei ferestre, restul fiind situate în partea de sus a zidului și sunt săpături mici. Când se deschide ferestrele, lăsuțele sunt acoperite cu

In each case there is a marked
and continuous decline in the number
of dead fish. Consequently, the
percentage of mortality is also
decreasing from day to day as older
fish are eliminated by death. The
percentage of mortality is given in
the following table.



The *CC* Card does require a certain degree of discipline, but it is well worth the effort.

electrica nominal 6 V.A., impedancia $25\ \Omega$, frecuencia de resonancia 100 Hz.

Most of us feel there is a more gradual change from the simple Prehistoric man to the complex modern man, but in making the transition we have lost our past and do not remember it well.

que se produz in este organismo principalmente
entre os 20 e 30 de setembro, quando o ventre
está cheio de fome e quando os 200 g.
de carne comestível estão em 100 g.

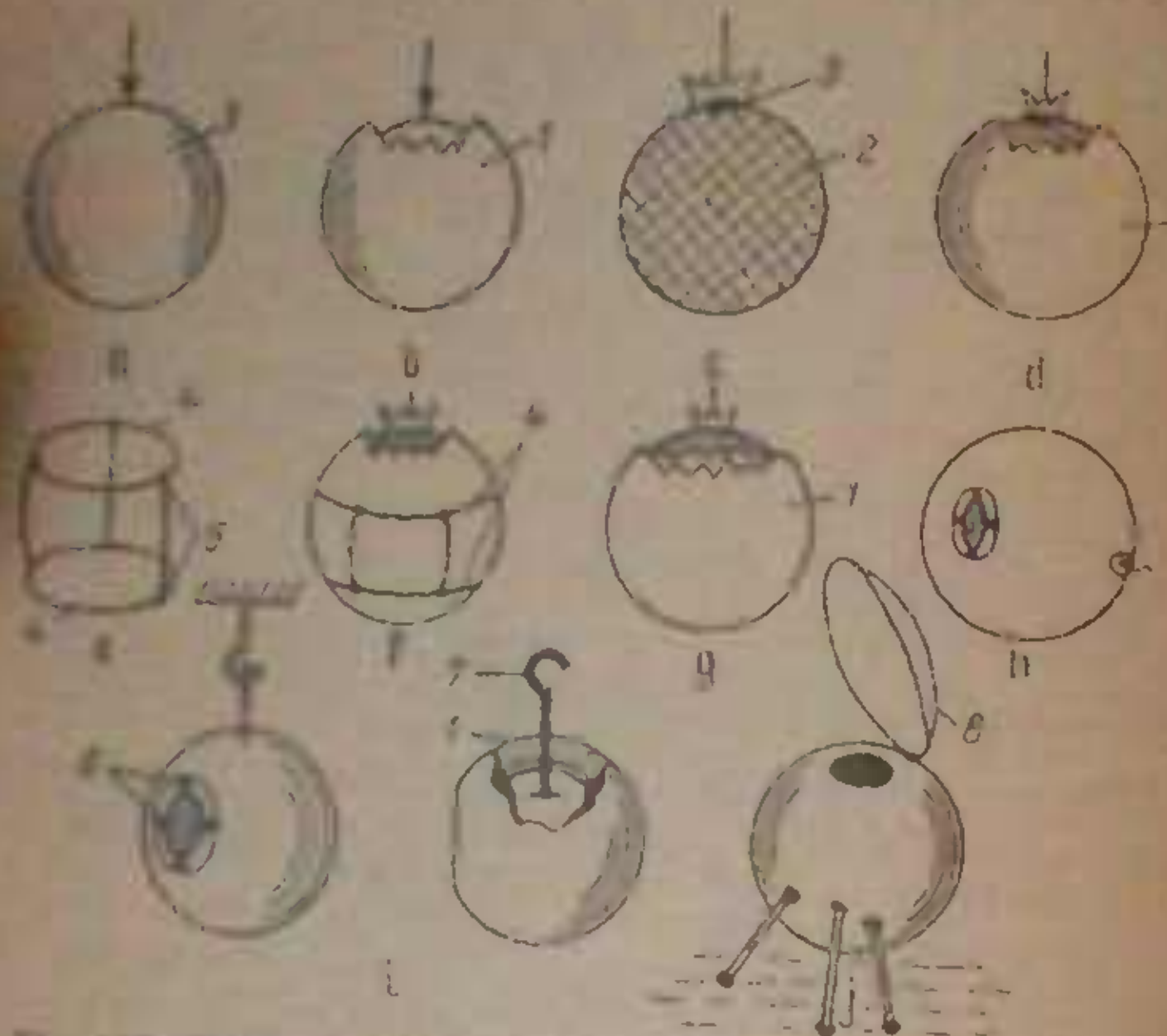


Fig. 4.26. *Principles of the construction of the main inclined top Elliptical*
concrete arch bridge of the 19th century. 3 = node, 1 = main masonry
arch, 2 = side masonry arches, 4 = central pier, 5 = central pier, 6 =

“Special Agent in Charge, FBI, Boston, Massachusetts, before the con-
ference, I had the pleasure of meeting Mr. Frank Clegg, who

Dosă depărtăm următoarele obiceiuri de viață, care aduc
obligații și încântări în ceea ce privește dezvoltarea
în fizică și să ne lăsăm să ne ocupăm numai cu
dezvoltarea intelectuală și spirituală a elevilor, să ne abținem
de la jocurile de cărți și să ne ocupăm cu dezvoltarea fizică.
În ceea ce privește dezvoltarea morală elevilor
în două părți: cunoașterea spirituală sau cunoașterea
materială. Cineva să spună: "Nu este bine să
pe deschide să învețe cunoștințe morale, nu este
la parte să învețe cunoștințe materiale".
Dar de fapt nu există cunoștință morală, fără cunoștință
materială. De exemplu ca elevul să învețe cunoștințe de
matematică după ce nu înveță cunoștințe de
litteratură și de istorie.

On the morning of the 21st, we had
arrived at the coast of the island, and
the armament was sent ashore to search
and explore the sea bottom, and to find
upwardly ten fathoms water, so as to avoid
dangerous reefs. On this day we had
passed through the strait between the two
(or three) islands, and were now in the open
tip of the bay, where our anchorage was
at 1300, and the temperature was 70°, the
wind N.E.

Următorul său lucru constă în preluarea
unei cărămidă de 10 mm. pe care se aplică
un apăsare de patru decese. Această presiune
se aplică pe o suprafață de 10 mm. de la
înălțimea mijlocului cărămidă și se aplică
pe o durată de cinci secunde. În urmă se aplică
la același loc un altă cărămidă de 10 mm.
pe care se aplică încă o presiune de 10 mm.
de la înălțimea mijlocului cărămidă și se aplică
pe o durată de cinci secunde.

Difuzorul este înlocuit cu un alt de tip λ și se adaugă o valoare de ipas (nu o valoare exagerată) și se urmărește să se obțină rezultate în jurul superfluu, sau cel puțin în ceea ce privește amplitudinea înainte de către un alt difuzor.

Ca material pentru cunoașterea istorică și culturală a românilor în răsăritul său se recomandă că mai multe cămine să fie construite.

centered on what you want to collect, selection techniques and moderation effects.

Spiralele se potrivesc cu lărgimea de apă și se însetează pe un strat de vopsea de la părțile având rezistență electrică de sunet. La treptele următoare se verifică la vedere indiciile menționate anterior.

• **Încărcător sonic basenelor cu decădere multiplă**, raportată în jurul circumferinței difuzorului. Un tip de cavități basenelor cu decădere multiplă este de mai sus. Acestea sunt folosite pentru reproducerea sonorilor de medie și înalte. Dintre acelora care au asigurat de multe o clăire foarte bună este cavității din figura 4.37 a. Acestea au caracteristica de frecvență în decăderea periferică a acusticei și sunt utilizate de obicei în combinație cu cavitățile de medie și înalte prin împărțirea unei amplitudini de frecvență în cinci rate.

Iechita de lucru este de 100 mm, cu dimensiuni exterioare de 210 mm x 610 mm și 390 mm are un volum util de 100 litri. Ea poate fi confectionată din panel sau PAL cu grosimea de 10 mm.

Panoul frontal este prevăzut cu o ocupare circulară centrală de 300 mm în diametrul căruia se fixază un magnet de 127 Universit, având o șiră de 300 mm.

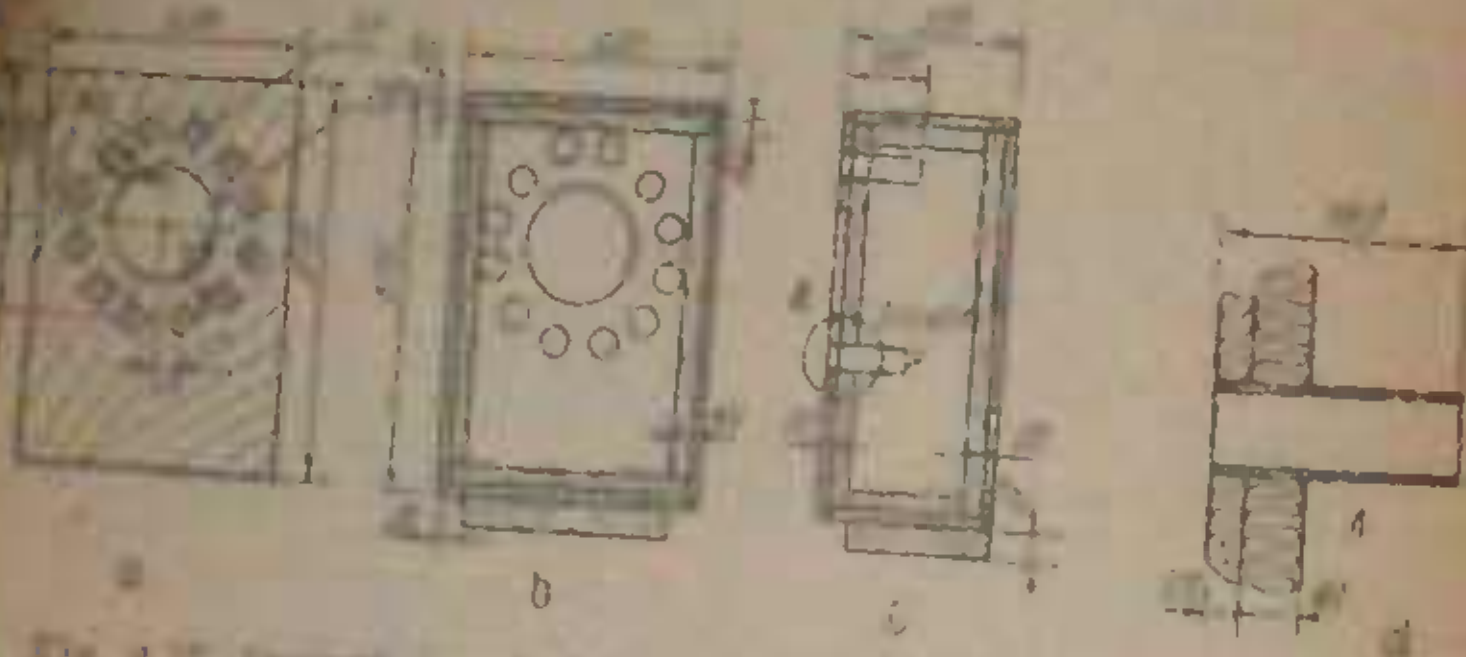


Fig. 4.37. Tipuri de cavități basenelor cu decădere multiplă:
a - cavitățile de medie și înalte; b - cavitățile de medie; c - cavitățile de înaltă; d - cavitățile de bază; e - cavitățile de înaltă și de bază.

Circuitele sunt generate terminal de 15 VA, impedanță de 8 Ω și o rezonanță de rezonanță de 40 Hz. Tot de 300 mm, diametrile lor sunt de axile de simetrie ale cavităților de bază, 57 mm, 150 mm și respectiv 210 mm.

Se se vede în figura 4.37 a. În dreptul fundației găsim o valură de plastică în formă de tunel cu lungimea de 100 mm și diametrul exterior de 60 mm. Pe fundalul acestui tubul se face să intre în peretele frontal și se extinde astfel încât să nu mai fie depășită stăriile maxime (fig. 4.37 c, detaliu A).

Ca să se evite rezonanță, se prevede lipirea rezistență realizată din plăci de vopsea minerală cu grosimea de 10 mm, raportată pe suprafața interioară a peretei.

În interior, cavață este acoperită cu plăci de vopsea.

Versiunea confectionată din paneluri acoperătă cu decădere multiplă. Ca o variantă construcției a cavității hifi, elă cu decădere multiplă poate fi montată și în casă (fig. 4.38), de la care parțial se deschide și cu dimensiunile exterioare de 210 mm x 610 mm x 150 mm. Volumul său interior este de aproximativ 40 cm³.

Caseta este echipată cu 2 difuzoare de diametru 150 mm. Puterea nominală a unei elice este de 6 VA, impedanță este de 16 + 16 Ω și frecvența de rezonanță este de 65 Hz.

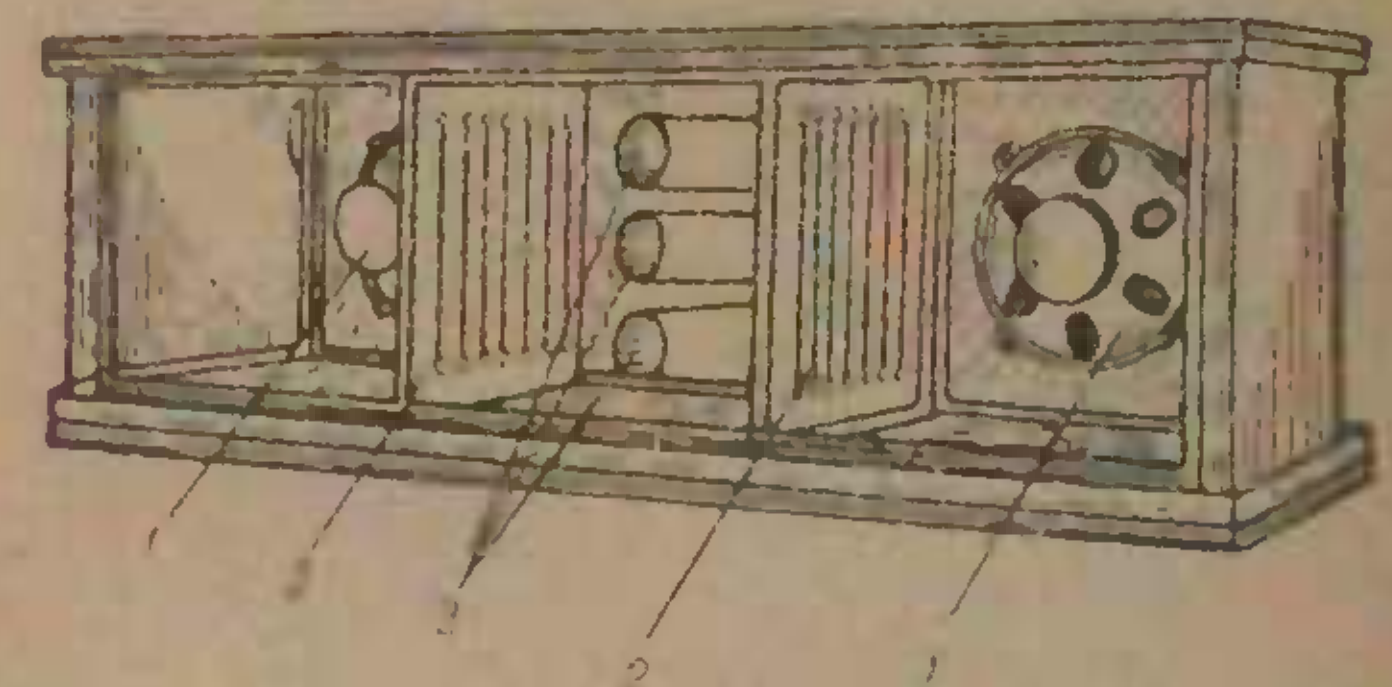


Fig. 4.38. Varianta realizată din paneluri acoperătă cu decădere multiplă.
1 - elice; 2 - difuzoare; 3 - panou de fundal; 4 - cavitățile de bază.

Ela poate reține, de asemenea, din panel cu grosimea de 20 mm.

Pentru tensiuni prezintă două secțiuni circulare cu diametrul de 140 mm în dreptul cărora se fixează o

pozitie (fig. 4.39, a). La mijlocul distanței dintre cele două decupări se plasează amplasarea trei orificii circulare cu diametru de 50 mm și cu o distanță interax de 60 mm. În dreptul fiecărui foseu stătează trei tuburi din cauciuc butoane, fiind care să de susțină o înălțime de 30 mm, și lărgimea de 150 mm.

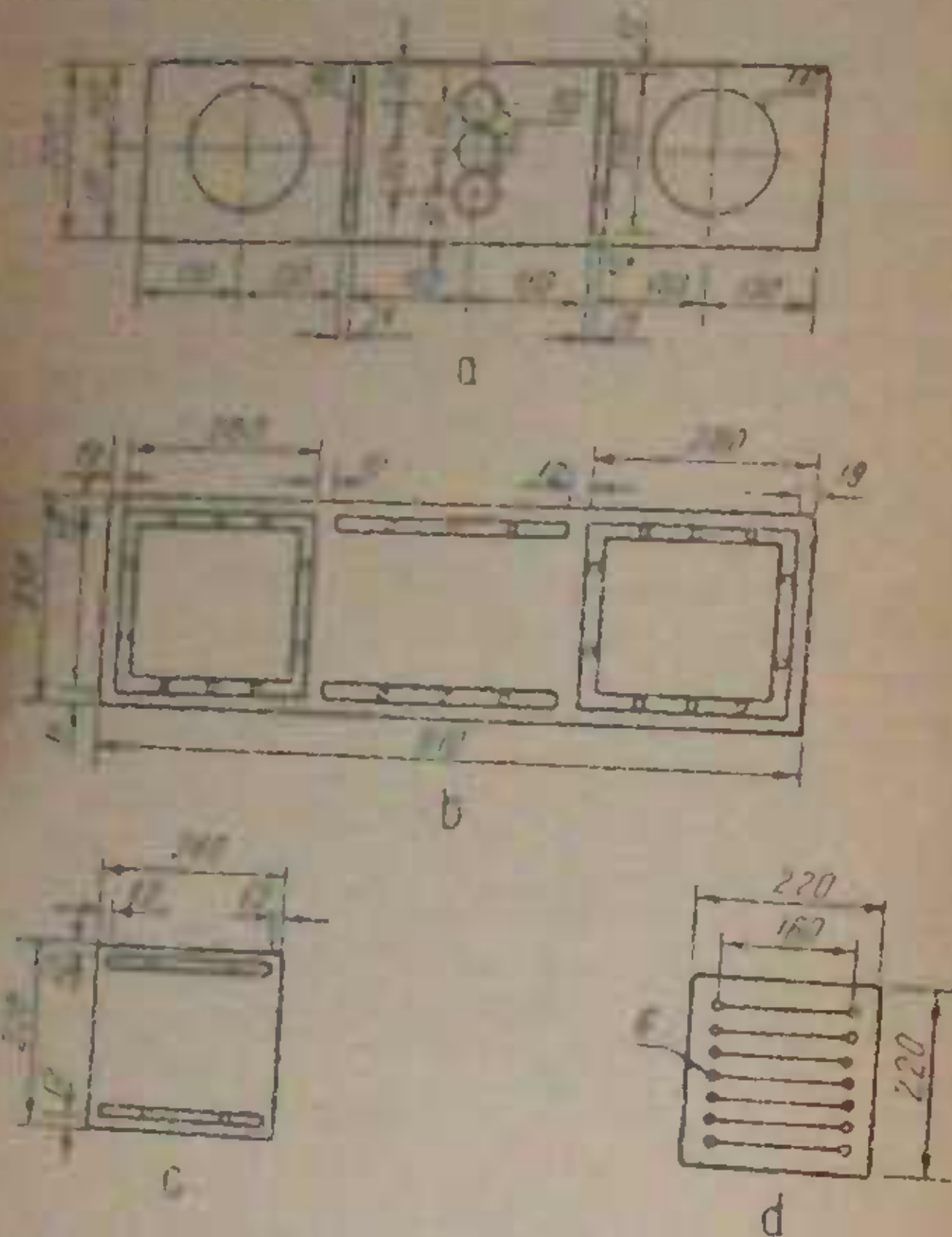


Fig. 4.39. Detaliu de construcție

a - decupări; b - poziția panoului frontal; c - panoul frontal; d - secțiunea unui foseu

În interiorul casetei sunt montat două panouri din PFL (fig. 4.40, a), care suportă direcția și pot fi ascoperiți cu ajutorul unei chei specializate. Panourile sunt realizate din lemn și sunt fixate pe panou frontal prin intermediul unor șuruburi de inox (fig. 4.40, b).

Spatiile în care sunt amplasate difuzoarele sunt delimitate de felile interioare ale peretilor superioară și inferioară de către ale peretilor lateral și de peretele din spate, acesta din urmă se căptușește cu material flexibil sau, cu grosimea de 10 mm.

Panoul frontal și peretii laterali pot fi ascoperiți în exterior cu o testătură metalică cu o grămadă de 10 mm. În cazul în exemplul precedente, se va avea grămadă la poziția panoului frontal și fie vorbește în culoarea grii mat, posibil să nu putea fi observată prin plasa sau prin fereastra decupările circulare.

Peretii superioară și inferioră se vor ascoperi cu folii de furnir a căror culoare să se armonizeze cu cea a panoului și a măstii.

O altă variantă constructivă a acestui tip de lucru este cea cunoscută sub denumirea de „caseta RJ”, care se caracterizează prin faptul că în panoul frontal se practica o singură decupare astfel pentru difuzor și se permite deschiderea rezonatorului Heimholtz. Denumirea de RJ a fost preluată de la numele celor care au construit pentru primele astăzi, F. Röper și W. Jensch.

Deschiderea, sau mai corect astăzi vorba care se găsește de-a lungul circumferinței difuzorului, se realizează prin montarea trăsăturii respectiv pe un panou auxiliar, montat cu fieri (fig. 4.40, a și b).

După cum se observă în aceste figure, panourile auxiliare se pot să se ascopere în spatele peretului frontal (fig. 4.40, a), fie în fața acestuia (fig. 4.40, b).

Caseta are formă paralelipipedică, cu dimensiunile exterioare de 560 mm × 520 mm × 350 mm, ceea ce reprezintă un volum interior de 35 dm³.

Difuzorul din interior are un diametru de 210 mm, o putere nominală de 6 VA, o impedanță de 15...16 Ω și o frecvență de rezonanță de 65 Hz.

Materialele din care este confecționată caseta RJ, este ca și în celelalte casete, panoul frontal și fereastra de PFL, grosimea fiind de 10 mm, panoul auxiliar care este realizat și el din același material, are prevăzută o decupare de diametru 180 mm și este fixat cu butoane și plăci de pernă frontal al casetei. Prinderea se face astfel încât prin intermediul al casetei. Prinderea se face astfel încât prin intermediul

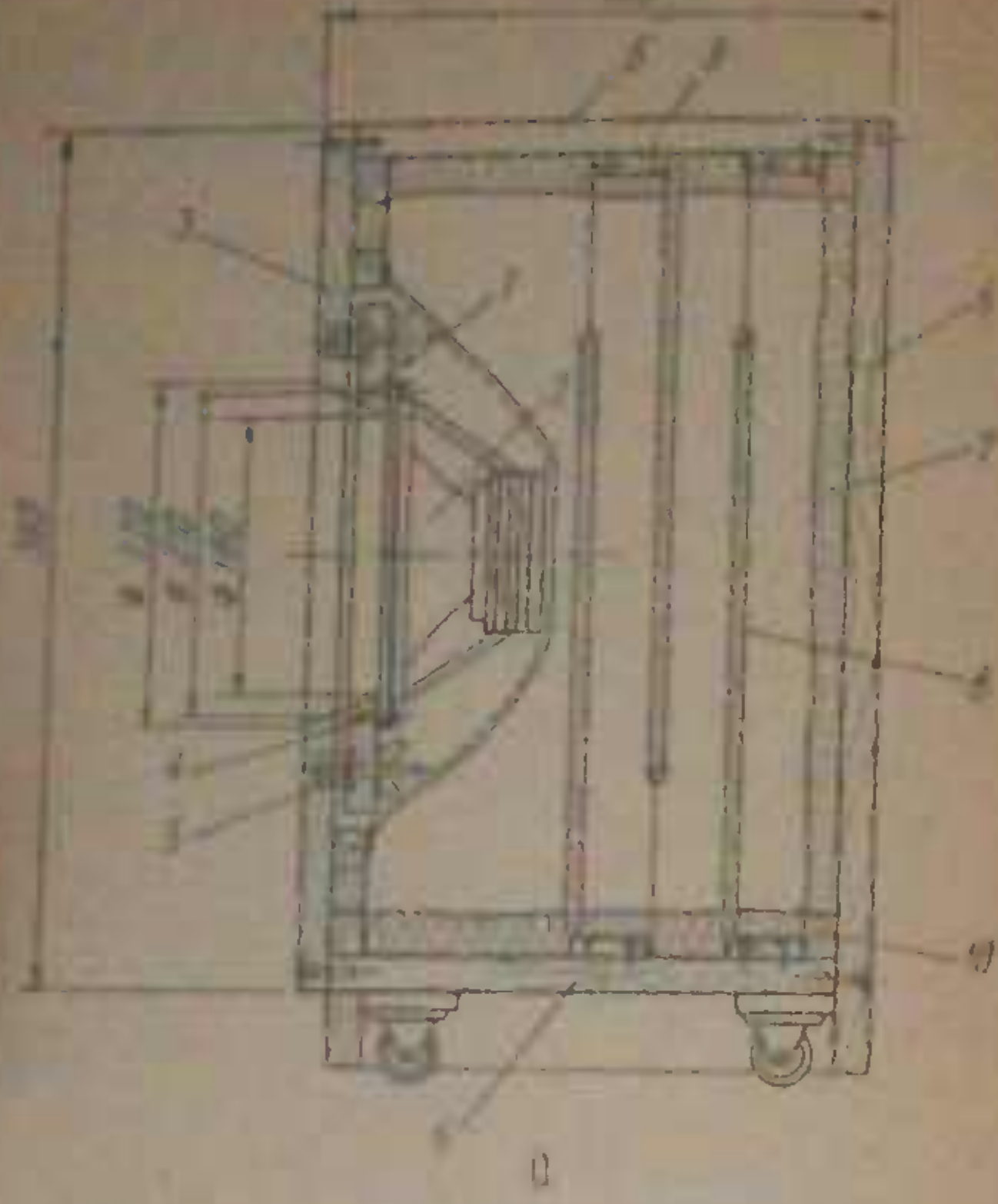


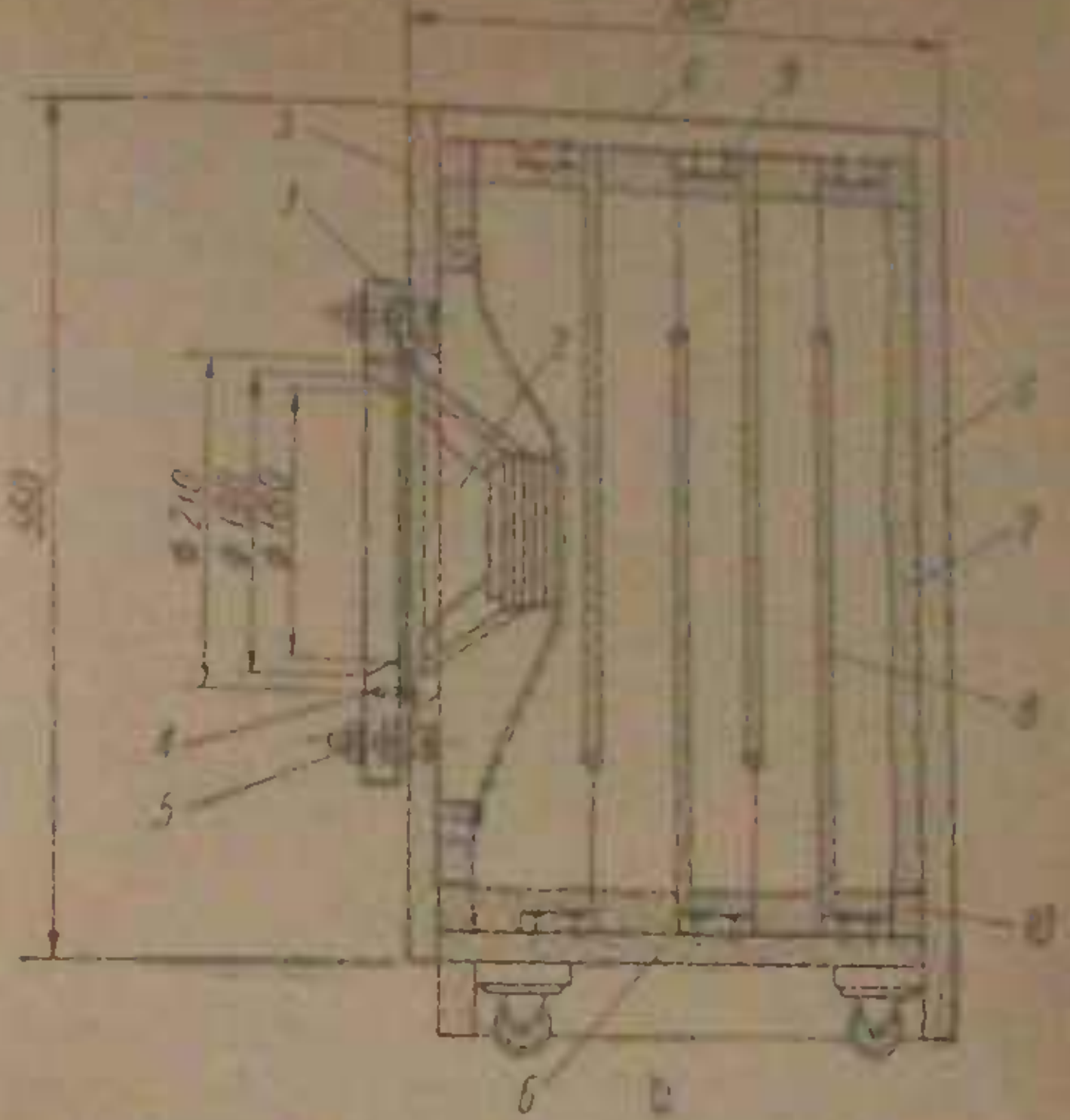
Fig. 44. Tendons of a boar; flexor pollicis longus.

monstrări și înțelegeri compunute să se poată regăsi după ceva timp într-o formă simplă și ușoară.

Trădarea și vîrte din ianuarie este reușită de către moș Nicolae Popescu, care înțelege exemplu multe din cîteva zile înainte, în modul unor fiză din școală.

Acute accidents often prevail in children (in pivoting cases, the transverse ligament may tear or, in inferior cases, the annulus).

En el año de 1927 se fundó la Federación de maestros



Consequently, the author of the book of Psalms, who was a man of God, did not write the psalm in question, but the author of the book of Psalms, who was a man of God, did not write the psalm in question.

• Incinta acustica bassetti x cu „membrane pasive”

Cu titlu informativ, se prezentă în cadrul unei reacții de setă de tip basoreflex (magnet) de H. Olsson.

Elementul specifică de la înaintea constelației
biunghiulară, montată în dreptul ochilor și
torul lui Helmholtz. Diametrul ei este egal cu cel al
branțelor active, materialul din care este confectionat
trebuie să fie suficient de rigid, iar frecvența proprie
azondului să se situeze în jurul valoare de 15 Hz. Cu
ajutorul de înainte se obțin rezultate foarte bune în ceea
ce privește prevenția și combaterea înălțării.

tel. Aceste incintă au determinat ca multi producători de aparaturi electroacustice ca de ex. JBL, Lansing, Celestion și SIARE să adopte o astfel de soluție constructivă.

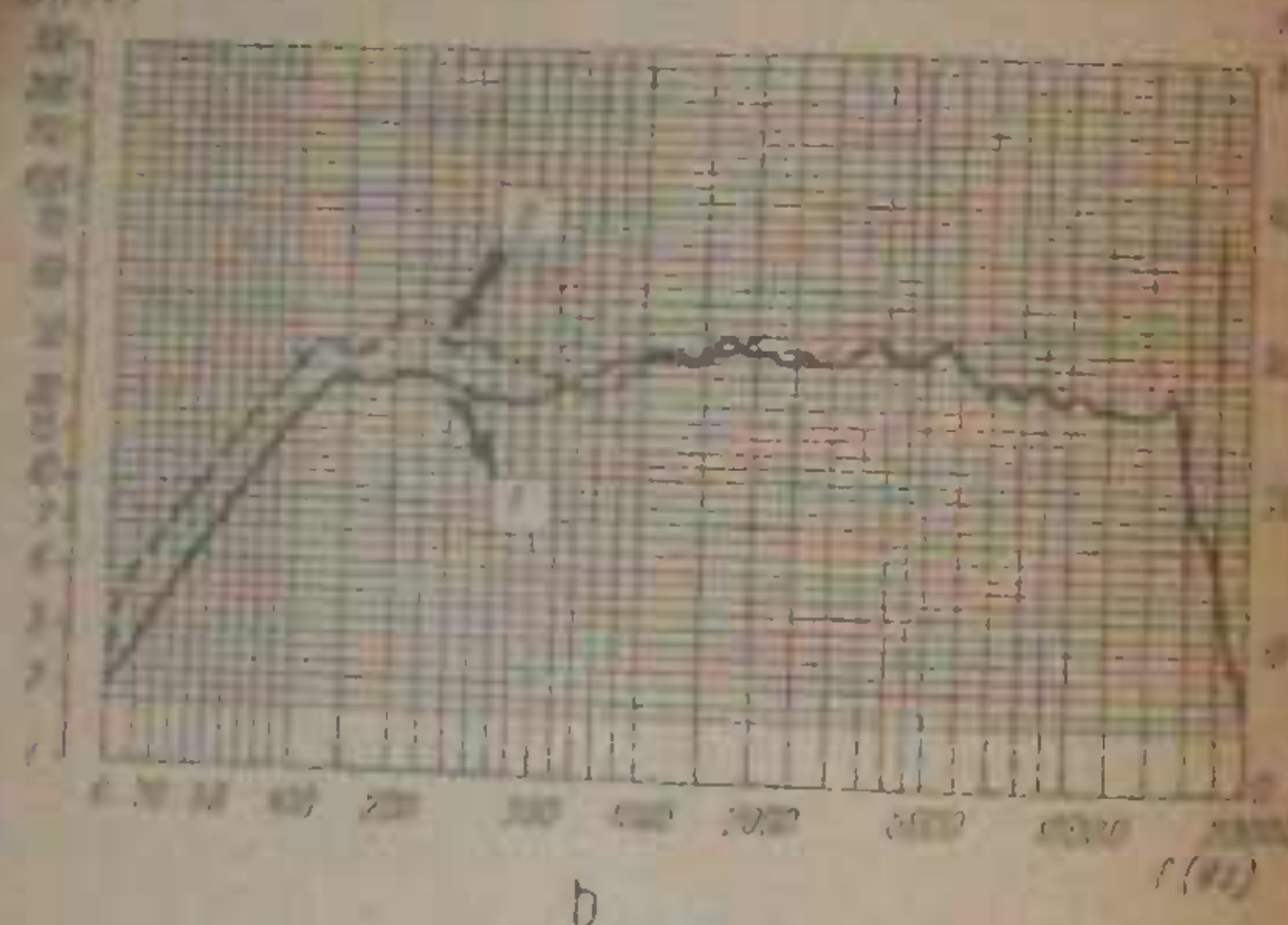
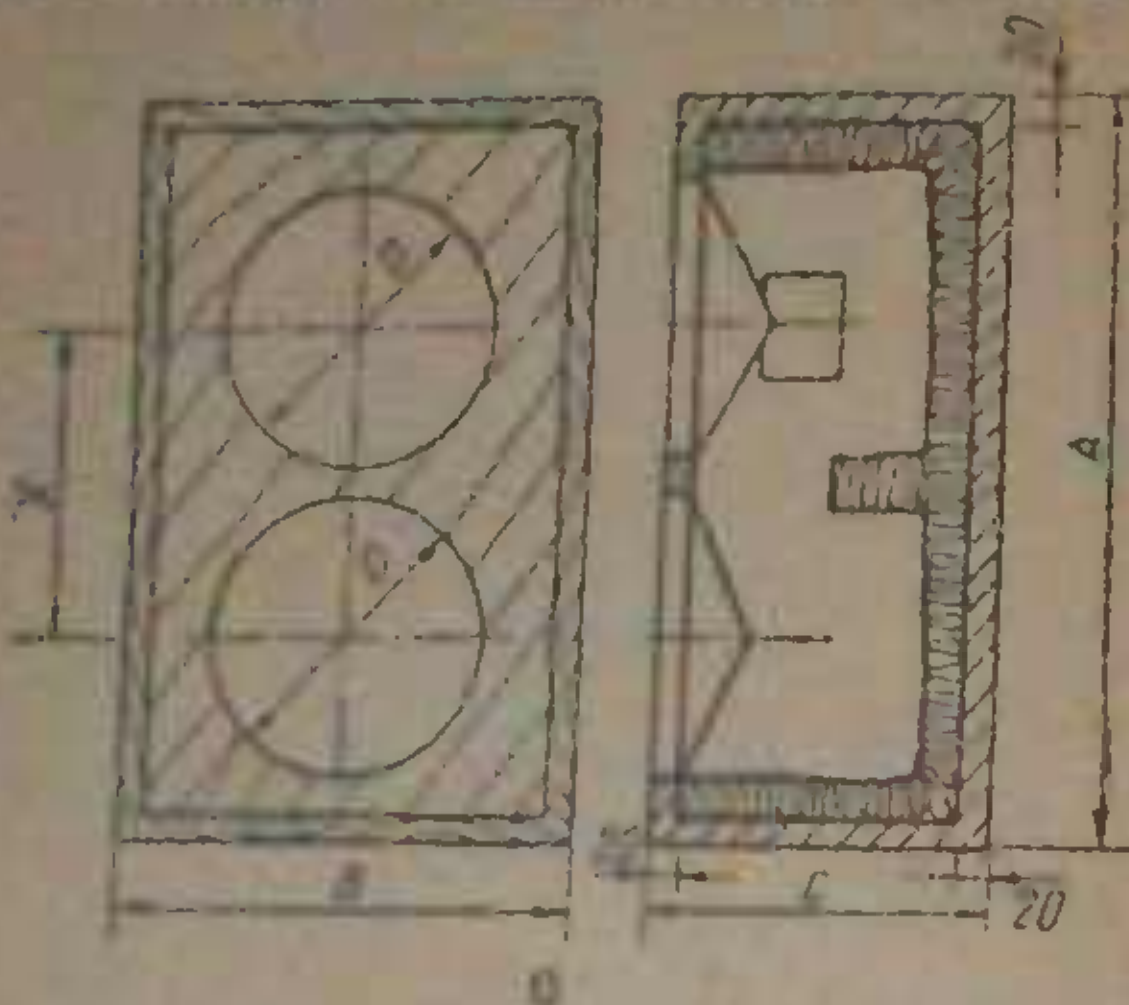


FIG. 4.41. Incintă acustică cu uniflux cu membrană polară: a - secțiune transversală; b - secțiune longitudinală.

Schematizare se indică în figura 4.41, a - secțiune frontală și o secțiune pe un alt sens de înainte către spate (secțiune STARK), iar în figura 4.41, b - secțiune de rezistență a membrană polară montată pe o placă (membrana polară) cu suporturi laterale (membrana polară).

În tabelul 4.8 sunt date principalele dimensiuni ale incintelor în caselă utilizând trei diferențe de diametre (220 mm, 170 mm și 130 mm).

Tabel 4.8

Dimensiunile cunoscute la incinte de diametru diferențial

Diametru incintă mm	220	170	130	130	130
Alte dimensiuni mm					
Alte dimensiuni mm	220	170	130	130	130
Alte dimensiuni mm	170	120	80	80	80
Alte dimensiuni mm	130	90	60	60	60

4.5. INCINTĂ ACUSTICĂ CU LABIRINT

Incinta acustică cu labirint, al cărei principiu de funcționare a fost descris (în § 2.4.1), reprezintă o casă deosebit de compactă, ea căreia se poate considera și din punct de vedere practică, o incintă acustică. Forma exterioră a incintei prezentată în figura 4.42 este paralelipipedică, iar dimensiunile exteriore sunt următoarele: înălțimea 700 mm, lățimea 500 mm și adâncimea 400 mm. Volumul interioar util rezultă ca de aproximativ 100 dm³.

În interiorul cufărului se poate monta un difuzor de fabricație Supavox, tip RTF-54 al cărui diametru este de 220 mm.

Materiulul de execuție este PAL-ul cu grosimea de 25 mm pentru panoul frontal și peretei laterale și de 22 mm pentru peretele de spate. Panourile din interior sunt delimitate pereti labirintici lății de extensie conformă, nălățea panel cu grosimea de 25 mm.

Panoul frontal este prevăzut cu două decupări unei forme circulare cu diametrul de 100 mm în dreptul căreia se montă difuzorul și ca de a doua decupare dreptunghulară, difuzorul și ca de a doua decupare dreptunghulară.

ghidură, astfel lungimea noastră este de 400 mm (cu o lățime de 10 mm).

Lățimea este o secțiune de 100 mm \times 400 mm. Ca tratament acustic nu se folosește vată minerală, în veac, nu

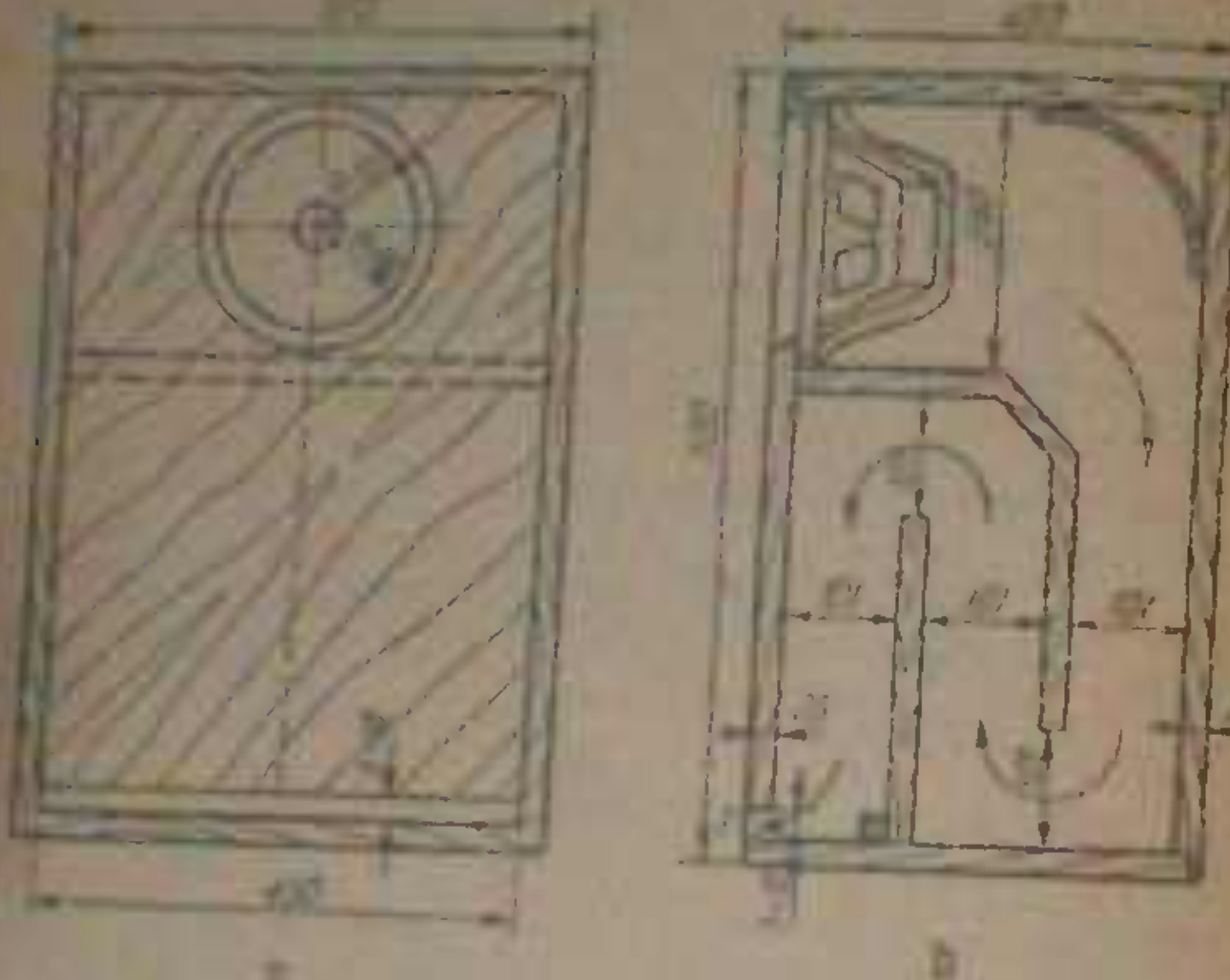


Fig. 4.42. Secțiunea unei uși duble

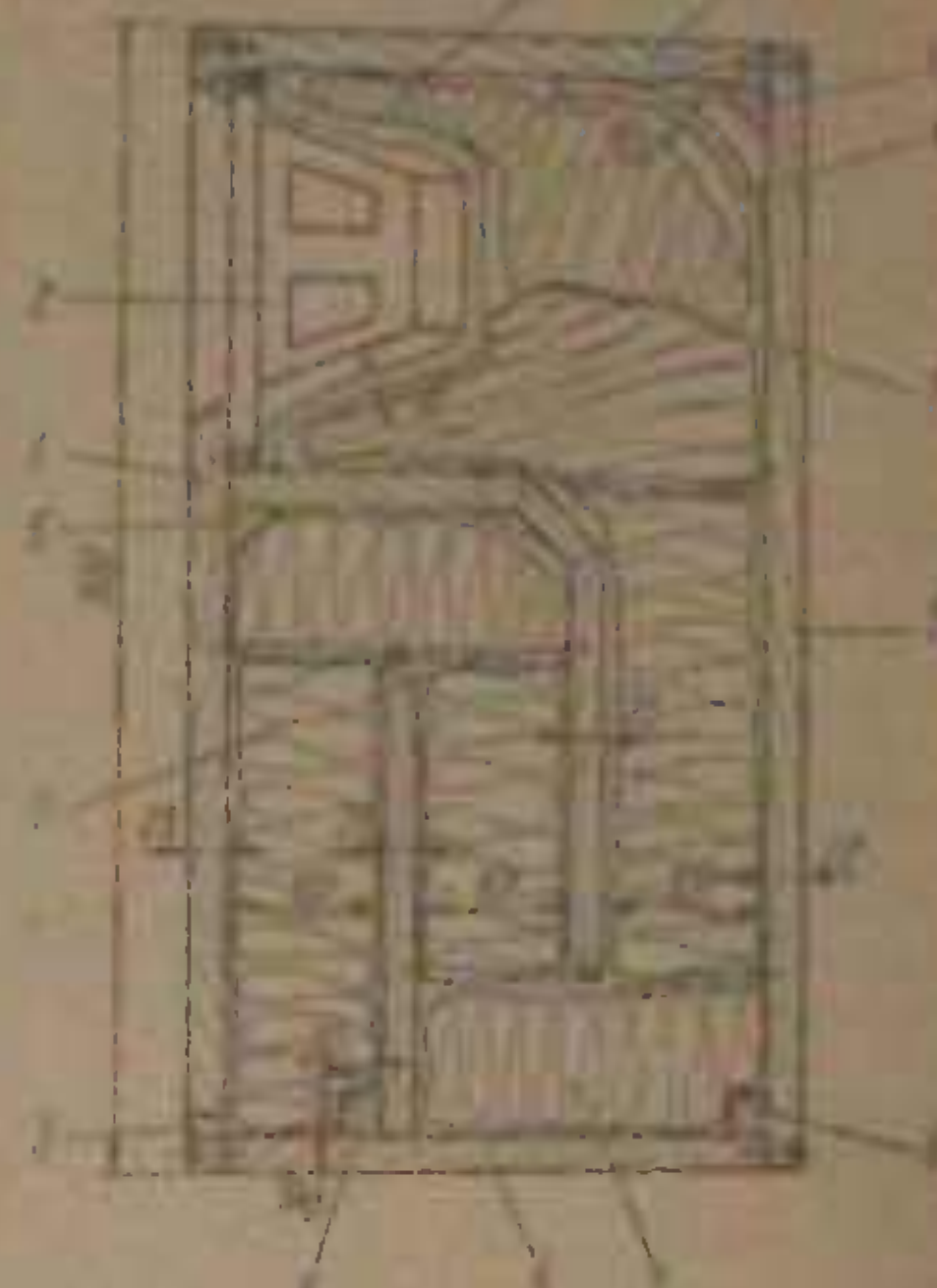
— poartă stangă; — poartă dreaptă.

Pentru fereastra de perete din plană cu care suntem înțotdeauna împreună, după cum se observă în figura 4.43, se mai utilizează un strat de material plastic cu grosime de 10 mm cu care se acoperă scările din ușorul.

O ușă comună are acordat obiectivii unei bune calități fizice și mecanice. În acest scop s-a folosit un amestec într-un raport de 1:1 de cărăuș cu care se au acoperit

peste tot corpul oamenului durată de funcționare de patru săptămâni din interiorul menținându-se provizoriile de conservare și păstrarea materialului astfel încât să nu se schimbe în timpul confectionării labirintului.

Cu ajutorul materialului esențial de coagulare și vîntul, se realizează alegerile materialelor de la care se pot obține adâncimea și grosimea respectivă în cadrul ușorului.



Efectele de convectori și radiatori, astfel încât aspectul exterior să fie conform cerințelor sale și să se poată armoniza cu mobiliul împrejur de ușor.

4. INCINTA ACUSTICA CU PILSII

Realizarea practică a unei uși de incintă acustică depășește dificultăți constructive și tehnice care pot fi recomandate pe totu anumitor construcții și într-o multă simplitate. Totuși pentru a exemplifica și procede în realizarea practică și teoretică cu pilșii se prezintă în figura 4.44 o ușă de incintă acustică transversală, pe care ea are avind dimensiuni de lățime de 1.100 mm și 1.100 mm, 750 mm.

Accordat incinta este echipată cu 2 difuzoare Goodmans Audiom 51-Bass, având putere nominală 15 VA, impedanță nominală 15...16 Ω , și frecvență de rezonanță 35 Hz.

Aceeași sunet se arată în 2-42 și cum se poate construi. În figura 4-44 există o similaritate de principiu între unghiul acostic cu tuburi și cu plăci. Ambele conțin în interiorul lor un tub la săcă capete se găsește di-

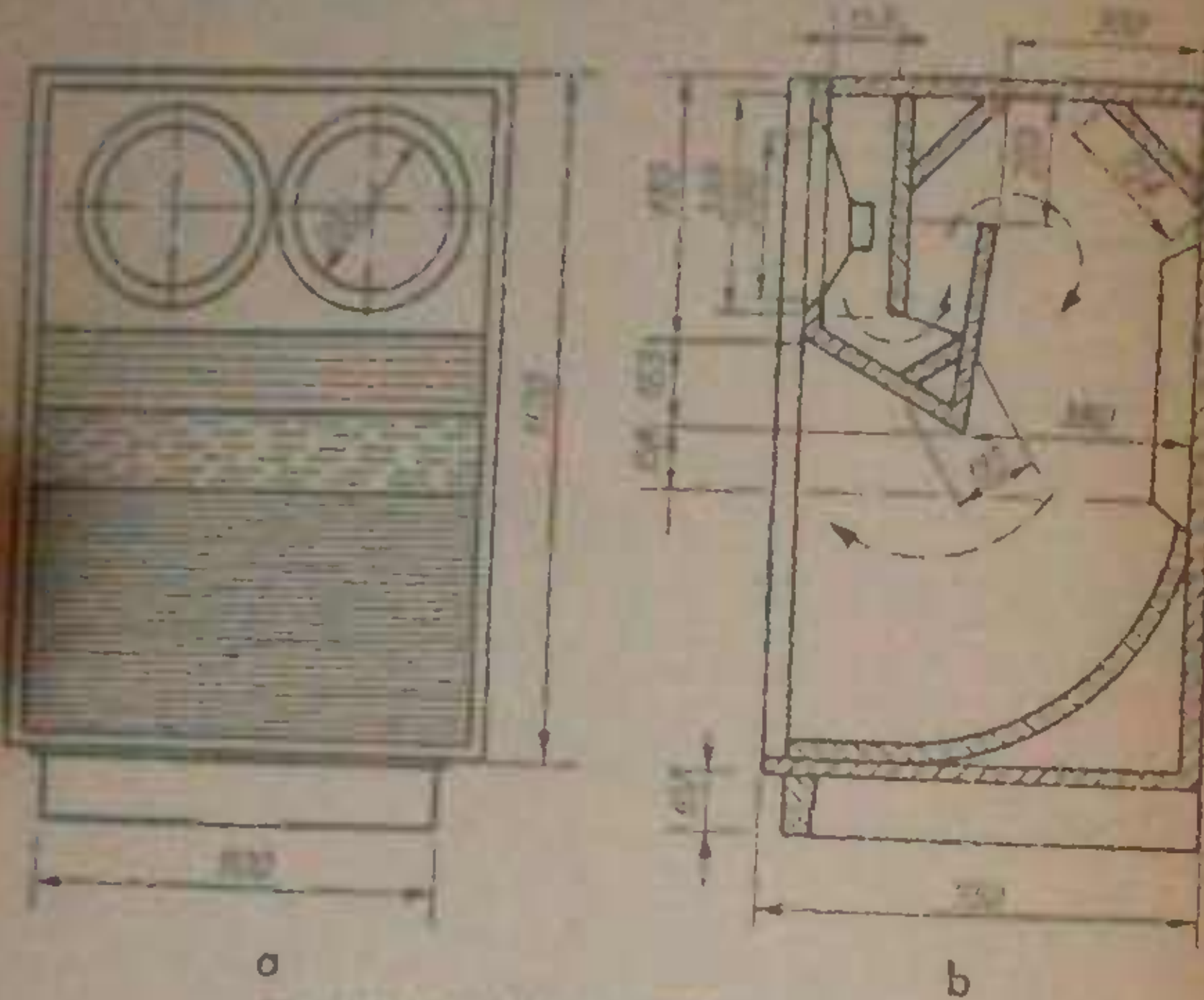
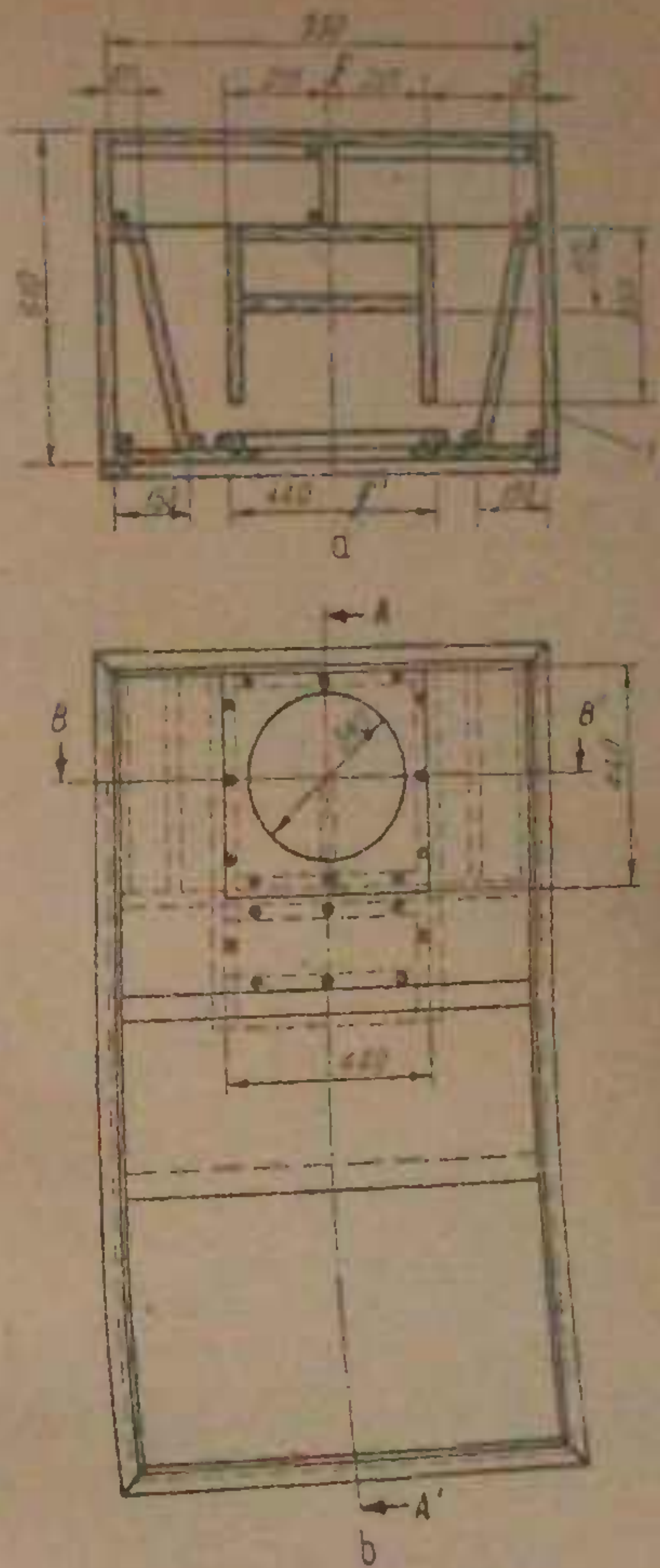


Fig. 4-44. Incintă acustică cu plăci:
a - secțiune longitudinală; b - secțiune transversală.

ferior și respectiv o deschidere. Ceea ce le dezvăluie este anumite tuburi care în perimetrul lor sunt de mărime constantă pe cind în cel de al doilea este progresiv de la difuzor spre deschidere.

Trbuie remarcat că pentru pereti exteriori și pentru cer plăci din interior să fie folosit ca material de construcție panoul. Mai difcil de confectionat este peretele concret situat în partea inferioară a casetăi. Execuția este posibilă prin realizarea unei structuri din ma-

Fig. 4-45. Incintă acustică cu plăci:
a - secțiune longitudinală; b - secțiune transversală.



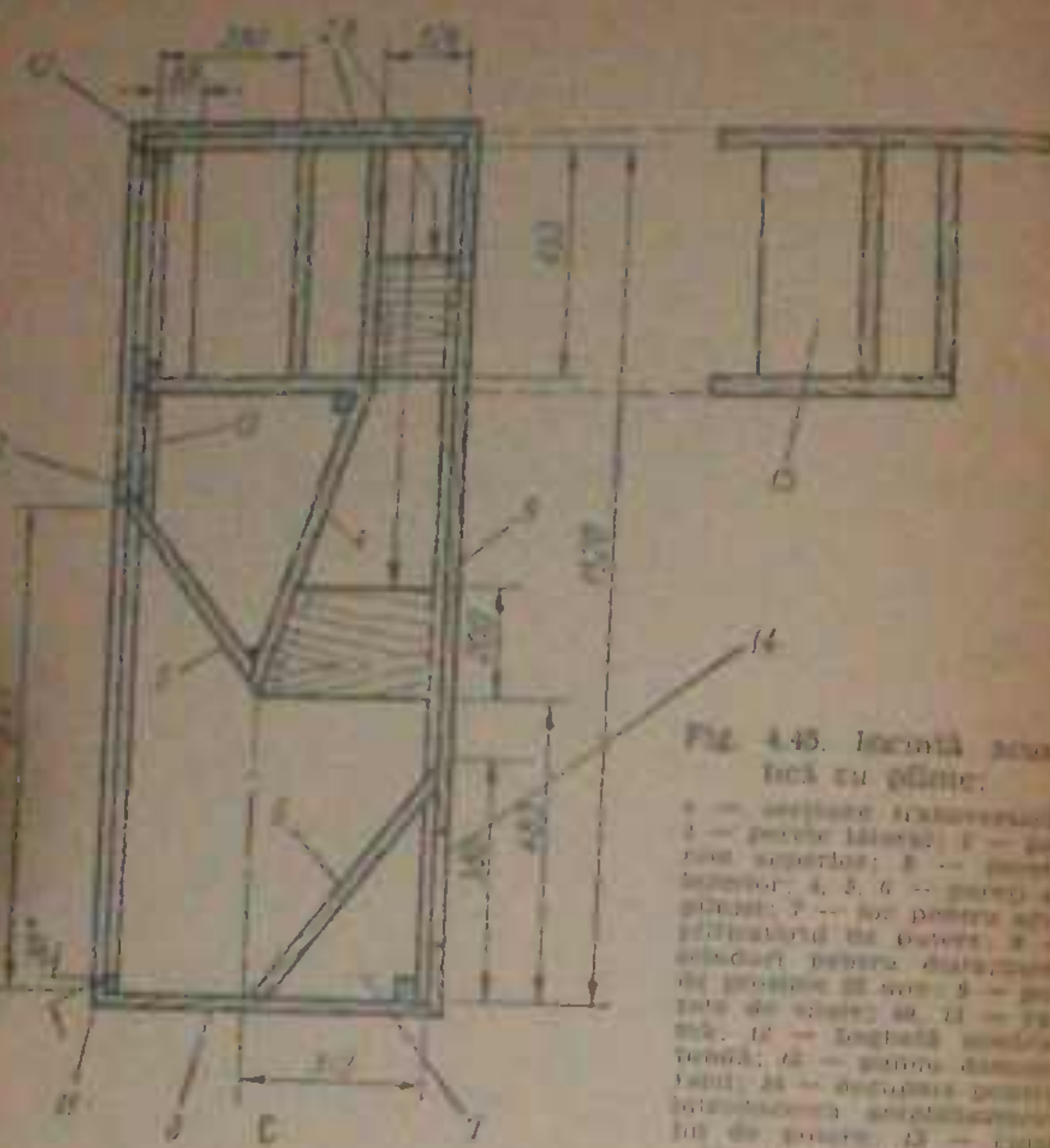
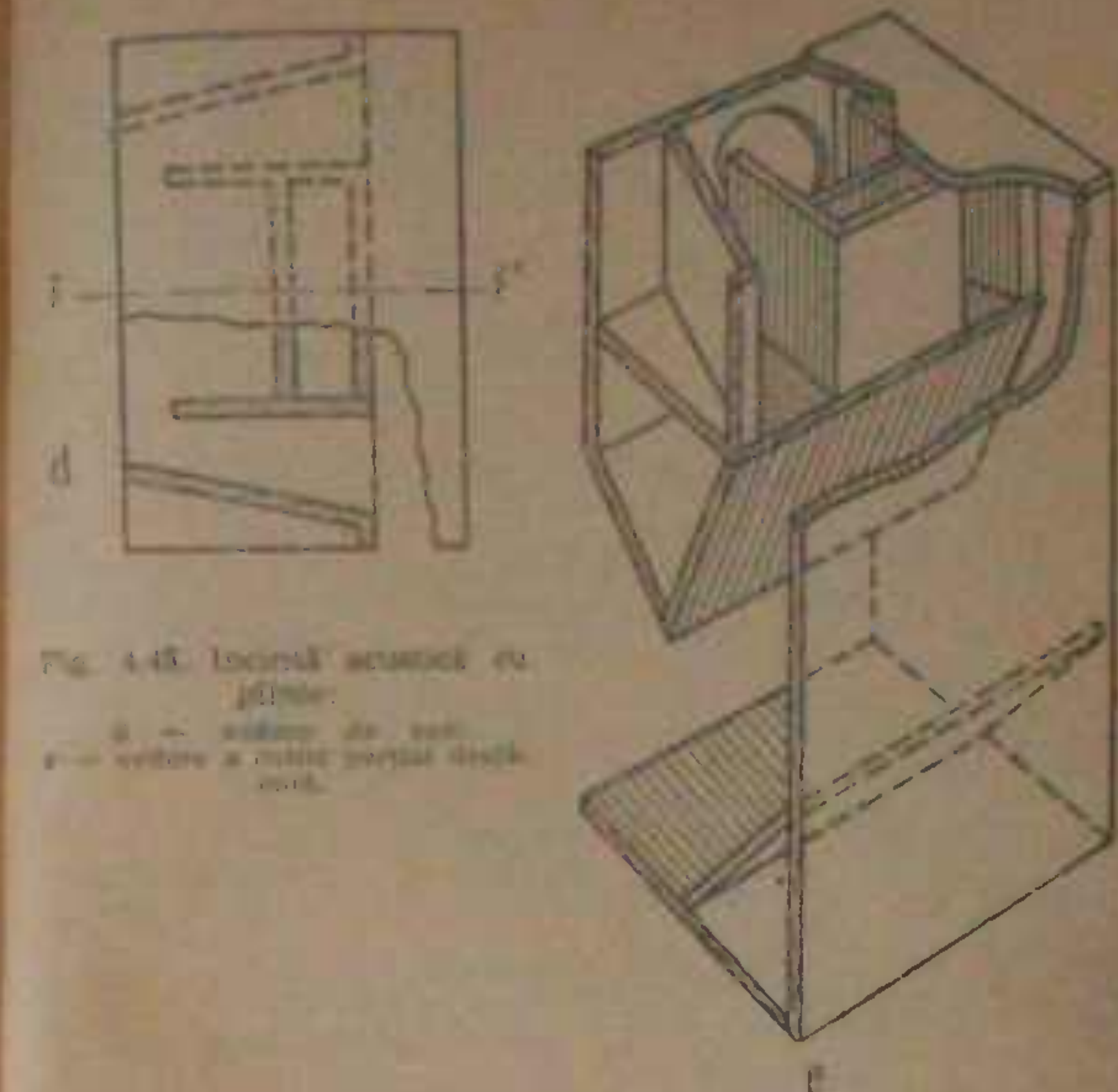


Fig. 445. *Lemna* sp.
Tec. et t. 30.

multiple polyclonal antibodies in our cell staining index, and a double-staining procedure.

Dimensiones de la caja de este año: 1.060 mm X 120 mm. Dejando un espacio de 10 mm.

Prima sa cunoaștere cu un drăguț în de la următoarele 302 tom. Diminuță nu o pot să-mi spui că e de 25 VA o importanță comună.



15...16. O sô o fôrça de resistência de 30 kN. Pente
de 18% e frequência de tremor de 3-3000 Hz no su-
porte de um solo com resistência de 1500 kN/m². A velocida-
de da onda de tremor é de 150 m/s. 150 m/s.
A tensão de solo é de 1000 kN/m².

Pentru realizarea acestui obiect s-a propus în 1999
proiectul de construcție a PAI, de dimensiuni 1.400 mm.
x 300 mm x 70 mm din care se confecționează o serie de
blocuri de cimentă realizate în Octombrie.

Construcció de la muralla i fortificacions de la ciutat de Girona i finançament dels obres de la muralla de Girona.

BIBLIOGRAPHIE

- Audiffroy, A. *Étude comparative de quelques caractéristiques de baffle*. In Revue du son, Nr. 263, Mars 1970 pag. 125—129.
- Ashley, R. J., Sapperton, T. H. *A wisdom and witchcraft of old newsletters about woofe baffles*. In Journal of the audio engineering society, Nr. 25, Oct. 1977, pag. 524—529.
- Baran, F. L., Aronoff, M. C. John Wiley & Sons, New York, 1964.
- Bassani, F. *Comment construire baffles et enceintes acoustiques*. Union de la Radio, Paris.
- Bassett, G. A. *Sound Reproduction*. Macmillan Wireless Works, London, 1954.
- Cattaneo, N. *Nouvelle série de diffusoire en performance ridicule réalisée par Unicel Electronica*. In Télécommunications, Nr. 2, 1958 pag. 99—102.
- Denecker, J. *Le haut-parleur musical*. In Revue du son, Nr. 166, 167, 168, 169, 1977, pag. 71—73 et 170—181.
- Geffrède, B. *À la recherche du baffle idéal*. In Tout le son, Mai 1977, pag. 17—20.
- Hahn, M., D'Amato, S., K. R. Building Hi-Fi Speaker Systems. Jordan, L. J. Doubleday, Fleet Press, London, 1963.
- Kellie, L. *Die physikalischen Bedingungen für optimale Bassreflexschalze*. In Technische Mitteilungen, Nr. 1, 1957 pag. 11—19.
- Lefebvre, J. *Les transducteurs électro et mécano — acoustique*. Quim, Éditions Quim, Paris, 1963.
- Lemire, R. C. *Low cost, easy to build stereo speaker enclosures*. In Radio-Electronics, mai 1965, pag. 40—41.
- Lopez, J. P. *Le haut-parleur Mustang M-12 T University*. In Revue du son, Nr. 164, Oct. 1977, pag. 409.
- Luna, C., Miltzén, P. *Stereofonia și aplicații ei*. Ed. Tehnică, București, 1969.
- Mateescu, I., Zincaescu, L. *Sonorizare*. Ed. Tehnică, București, 1969.
- Mateescu, I., Apostol, P. *Difuzoare electrodinamice*. Ed. Tehnică ITI, București, 1957.

- Mecenatis, A. *Elektroakustik in wissenschaft und technik*. Bremen, 1953.
- Moore, F. J. *Designing a studio port bass reflex enclosure*. In Electronic World, Jan. 1968 pag. 21—26.
- Olson, J. H. *Acoustical engineering*. D. Van Nostrand Company, New York, 1957.
- Reichard, W. *Grundlagen der technischen Akustik*. Leipzig, 1961.
- Rochambeau, J. *Les baffles*. In Tout le son, Nr. 276, Mai 1978 pag. 129—134.
- Sternfeld, D. *Electroacoustics*, Ed. Didactica si Pedagogica, București, 1968.
- Weber, F. *Tonabstrichteristik*. Francke — Verlag, München, 1958.
- Westergaard, O. *Berechnung von Bassreflexzylindern*. In Funktechnik Nr. 5, Mai 1968, pag. 149.
- Wohlgemuth, S. et Wegener, K. *Elements de acoustica si electroacoustica*. Ed. Didactica si Pedagogica, București, 1967.
- * * * Speaker system design guide. In Audio, March 1970 pag. 2—52.
- * * * Electronic components catalog. Motorola Electronics, 1976.
- * * * Audax — France, prospect.
- * * * Haut-parleurs Vifa, prospect.
- * * * Enceinte acoustique pour HP 380 ACTI-B, prospect Vifa.
- * * * Goodmans high-fidelity manual. Goodmans Industries, Victoria, Victoria, 1966/1967.
- * * * 3 way, 3 speaker system KL 400, prospect Kenwood.

—*Concordia et concordia, quae sunt in vita nostra, utrumque*

înălțarea său și extinderea unei păouri și înclina-

COLLECTIA RADIU SI TELEVIZIUNE

[97]

Qui va être admis de nous
prendre à la tâche
Qui va servir au plus vite
notre plus grande cause
Qui va nous aider à faire de notre
ville une ville meilleure

1

- ## THE CHIEF COUNTRIES OF THE WORLD.

Introduction
Reaction mechanism

1955

- C. F. V. Chauhan
T. P. Nalabanda
C. C. Venkatesh

Culcarea tranzistorelor în valoare
televiziunii și în valoare de la
Transformatorul de rețea și în
baza de rezonanță.
Numărăm punctele de contacte
de ieșire cu cel din urmă.
Ajustează receptorul emisie de unde
sunete și ultra-cure.